

INSTITUUT VOOR CULTUURTECHNIEK EN WATERHUISHOUDING
WAGENINGEN

Onderzoek veranderingen in het grondwaterregime rondom het
toekomstige Zoommeer c.a.

Verslag gegevensverwerking 1983.

Deel II: figuren

LIJST VAN FIGUREN EN BIJLAGEN

Bijlage 1a	Overzichtskaart meetnet (1:25000) zuidelijk deel
1b	Overzichtskaart meetnet (1:25000) noordelijk deel
2	Overzichtskaart waterlopen en bemonsteringspunten
Figuur 3a	Cumulatief overzicht verdamping
3b	Cumulatief overzicht neerslag en neerslagoverschot
3c	Staafdiagram neerslagoverschot

Dwarsprofielen

Bijlage 4	raai A
5	raai B
6	raai C
7	raai D
8	raai E
9	raai F
10	raai G
11	raai H
12	raai J
13	raai K
14	raai L
15	raai M
16	raai N
17	raai P
18	raai Q
19	raai RI en RII
20	raai a
21	raai b
22	raai c
23	raai d
24	raai e

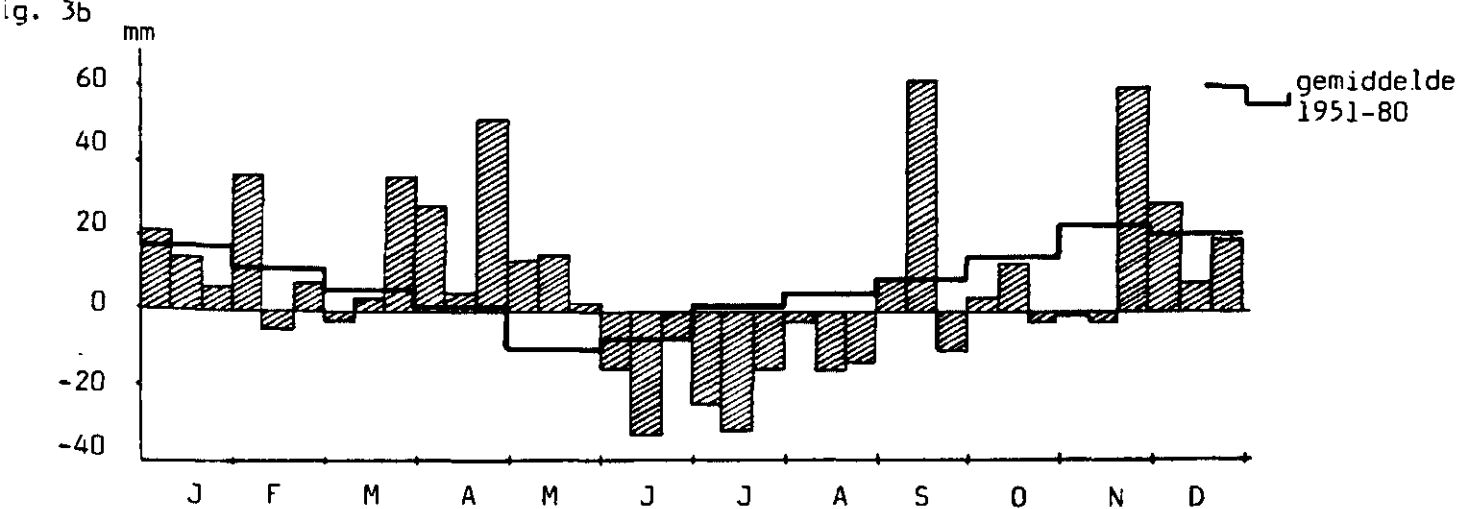
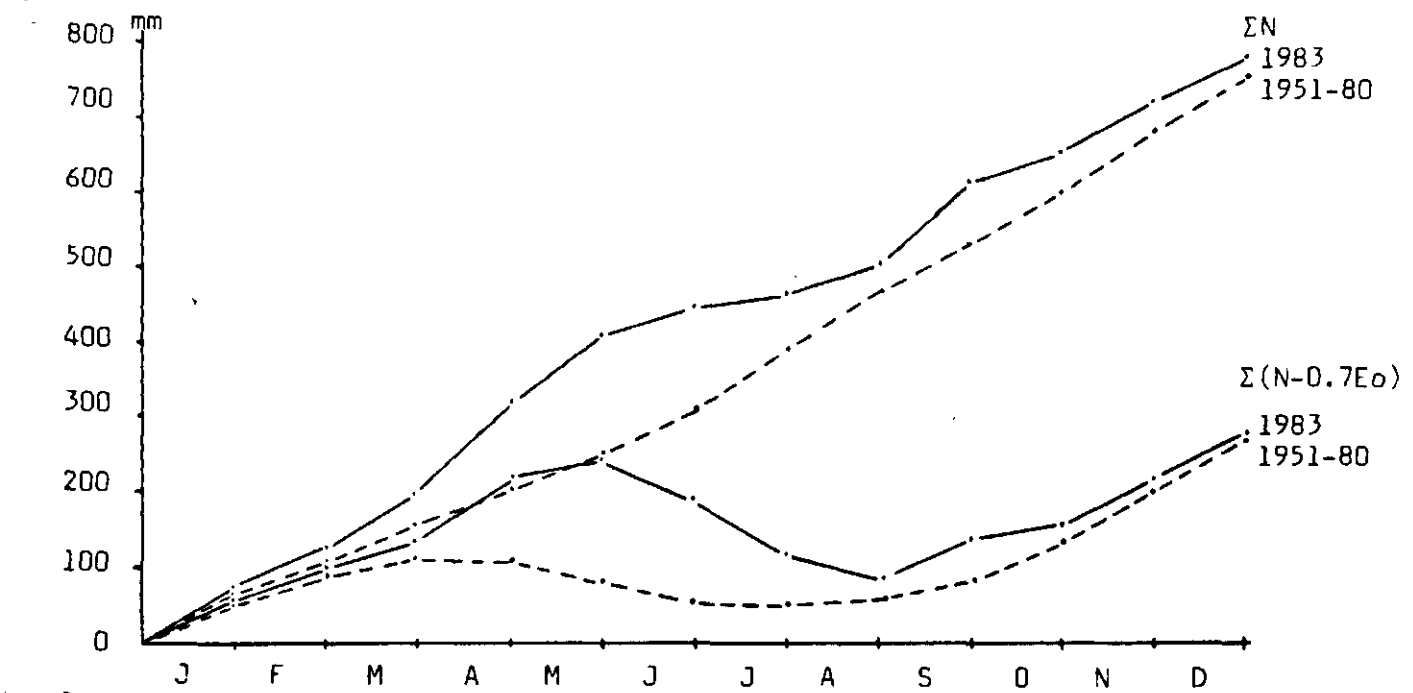
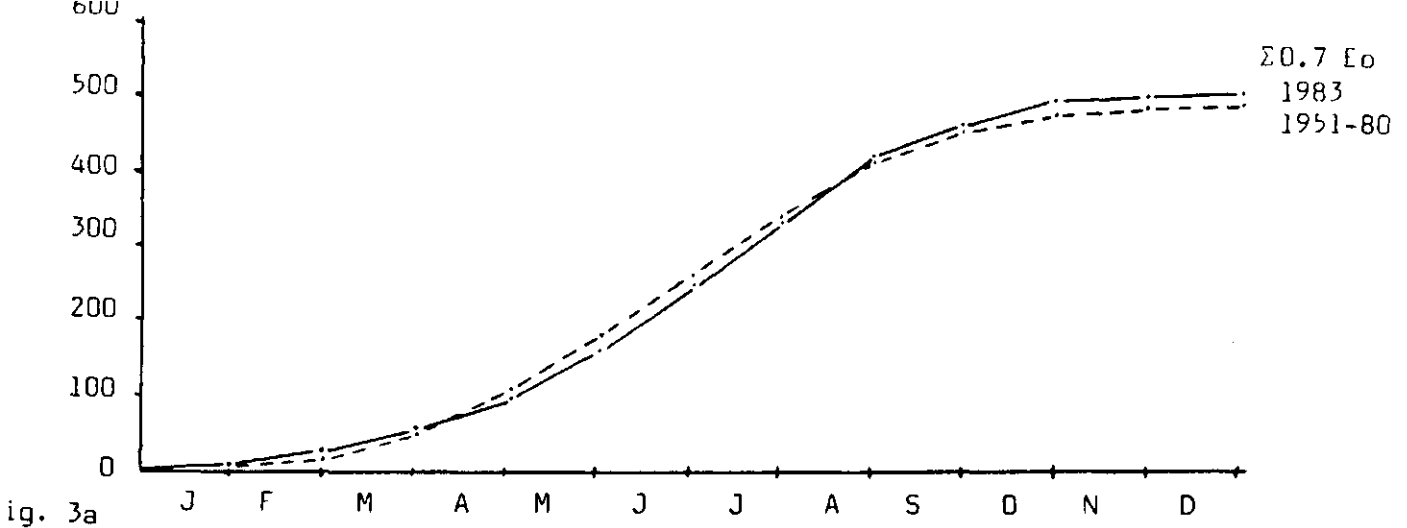
Tijdstijghoogtediagrammen

Figuur 25	Schorwaterstanden van de raaien A, B, C en RI
26	Schorwaterstanden van de raaien E en F
27	Schorwaterstanden van de raaien G, H en J
28	Schorwaterstanden van de raaien L en N

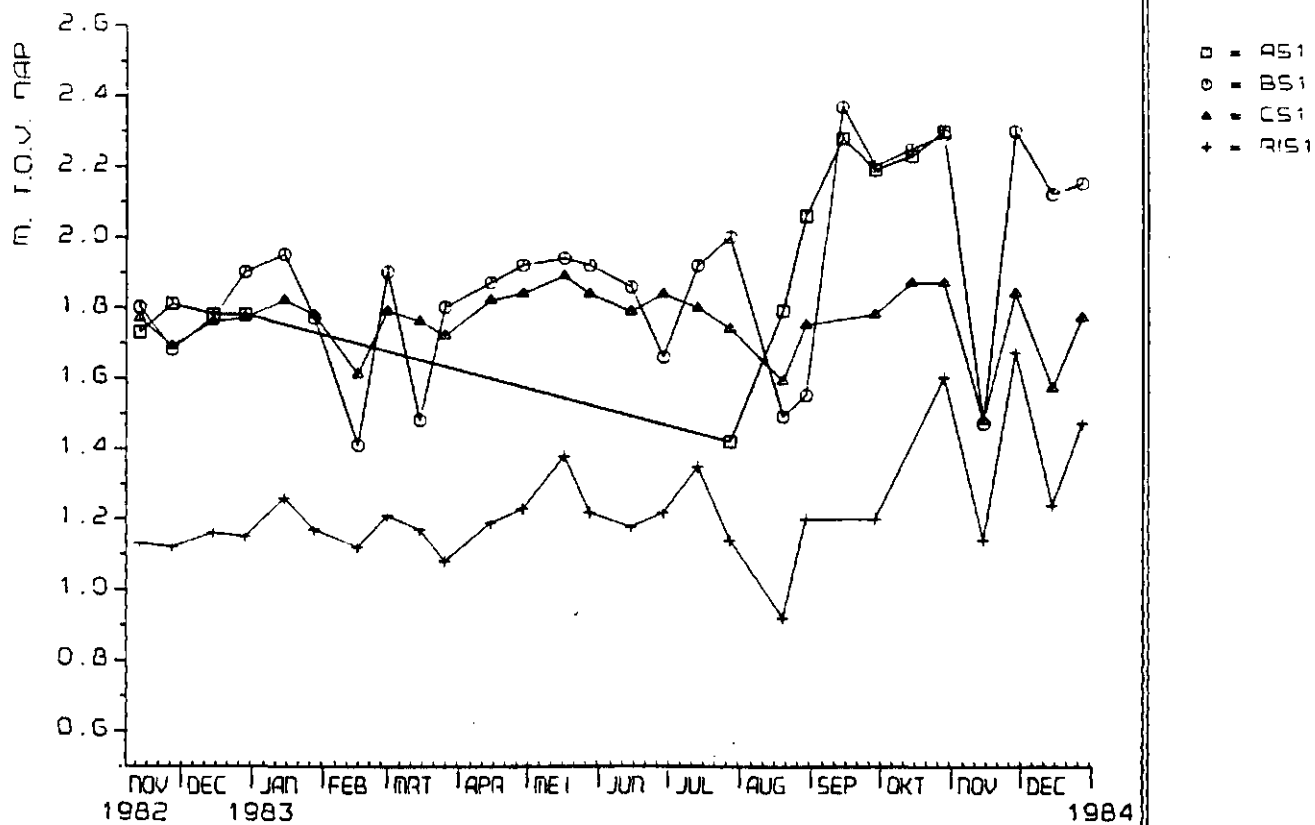
Figuur	29 t/m 32	Meetpunten van raai A
	33 t/m 36	Meetpunten van raai B
	37 t/m 40	Meetpunten van raai C
	41 t/m 43	Meetpunten van raai D
	44 t/m 46	Meetpunten van raai E
	47 t/m 50	Meetpunten van raai F en meetpunt JD3
	51 t/m 53	Meetpunten van raai G
	54	Meetpunten van raai H
	55 t/m 57	Meetpunten van raai J
	58 t/m 59	Meetpunten van raai K
	60	Peil in het Markiezaatsmeer
	61 t/m 63	Meetpunten van raai L
	64	Peilput 49D-48
	65	Peilput 49D-49
	66 t/m 68	Meetpunten in raai M
	69 t/m 71	Meetpunten in raai N
	72	Peilput 54
	73 en 74	Meetpunten in raai N
	75	Peilput 52
	76	Peilput 56
	77 t/m 80	Meetpunten in raai P
	81 t/m 83	Meetpunten in raai Q
	84	Peilput 41
	85	Peilput 45
	86	Peilput G1
	87	Peilput G2
	88	Peilputten G2 t/m G5
	89	Overzicht onttrekkingen langs Bathse Spuikanaal
	90 t/m 93	Meetpunten in raai RI
	94 t/m 95	Meetpunten raai RII
	96 t/m 98	Meetpunten raai a
	99 en 100	Meetpunten raai b
	101 en 102	Meetpunten raai c
	103 en 104	Meetpunten raai d
	105 en 106	Meetpunten raai e
	107	Overzicht automatische peilregistraties

Correlatiediagrammen

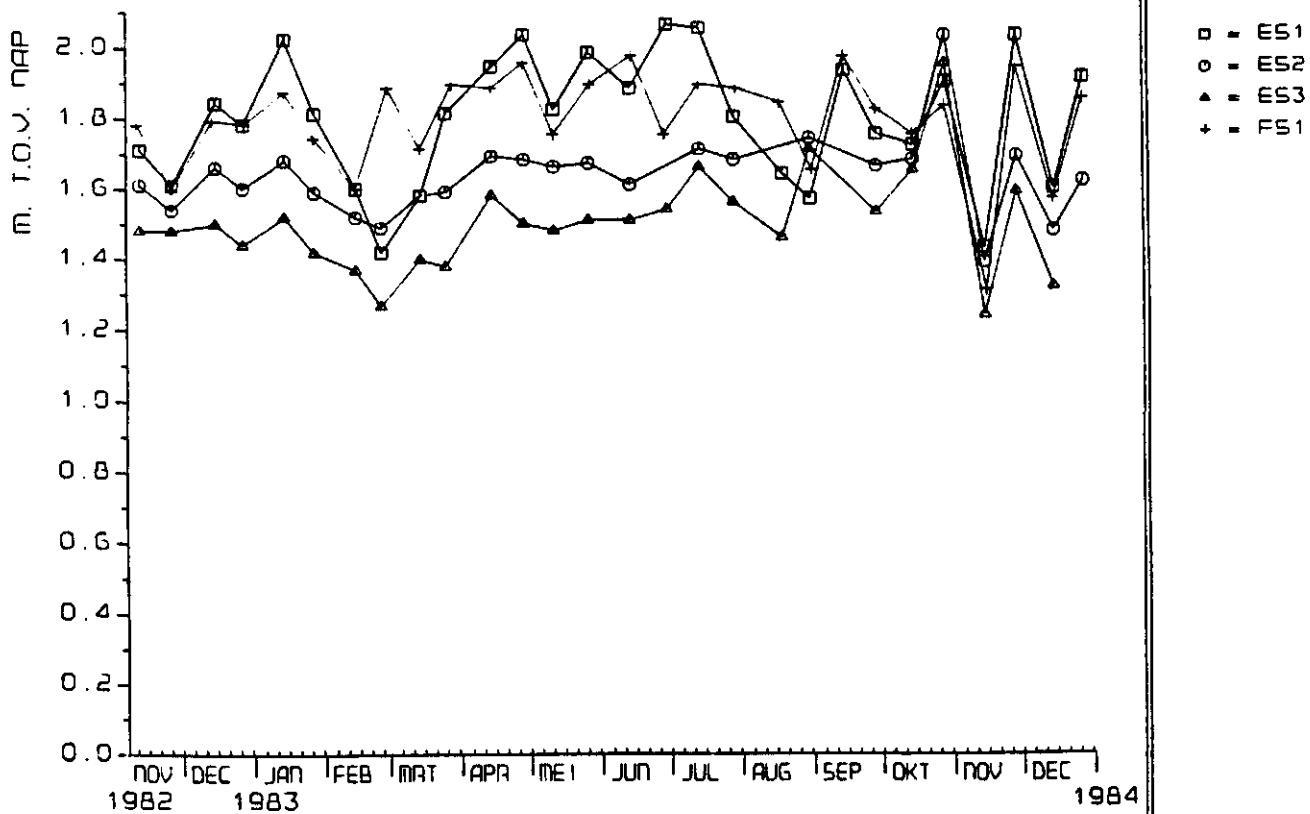
Figuur	108 t/m 113	Meetpunten raai A
	114 t/m 120	Meetpunten raai B
	121 t/m 127	Meetpunten raai C
	128 t/m 132	Meetpunten raai D
	133 t/m 138	Meetpunten raai E
	139 t/m 146	Meetpunten raai F
	147 t/m 149	Meetpunten raai G
	150 t/m 154	Meetpunten raai H
	155 t/m 160	Meetpunten raai J
	161 t/m 163	Meetpunten raai K
	164 t/m 169	Meetpunten raai L
	170 t/m 172	Meetpunten raai M
	173 t/m 181	Meetpunten raai N
	182 t/m 188	Meetpunten raai P
	189 t/m 194	Meetpunten raai Q
	195 t/m 200	Meetpunten raai RI
	201 t/m 204	Meetpunten raai RII
	205 t/m 210	Meetpunten raai a
	211 t/m 215	Meetpunten raai b
	216 t/m 221	Meetpunten raai c
	222 t/m 227	Meetpunten raai d
	228 t/m 232	Meetpunten raai e
Bijlage	233 a,b,c	Tabellarische overzichten van gemeten en gewenste grondwaterstanden
	234	Tabellarisch overzicht van Cl^- -concentraties van grondwater
	235 a+b	Tabellarische overzichten van Cl^- -concentraties van oppervlaktewater



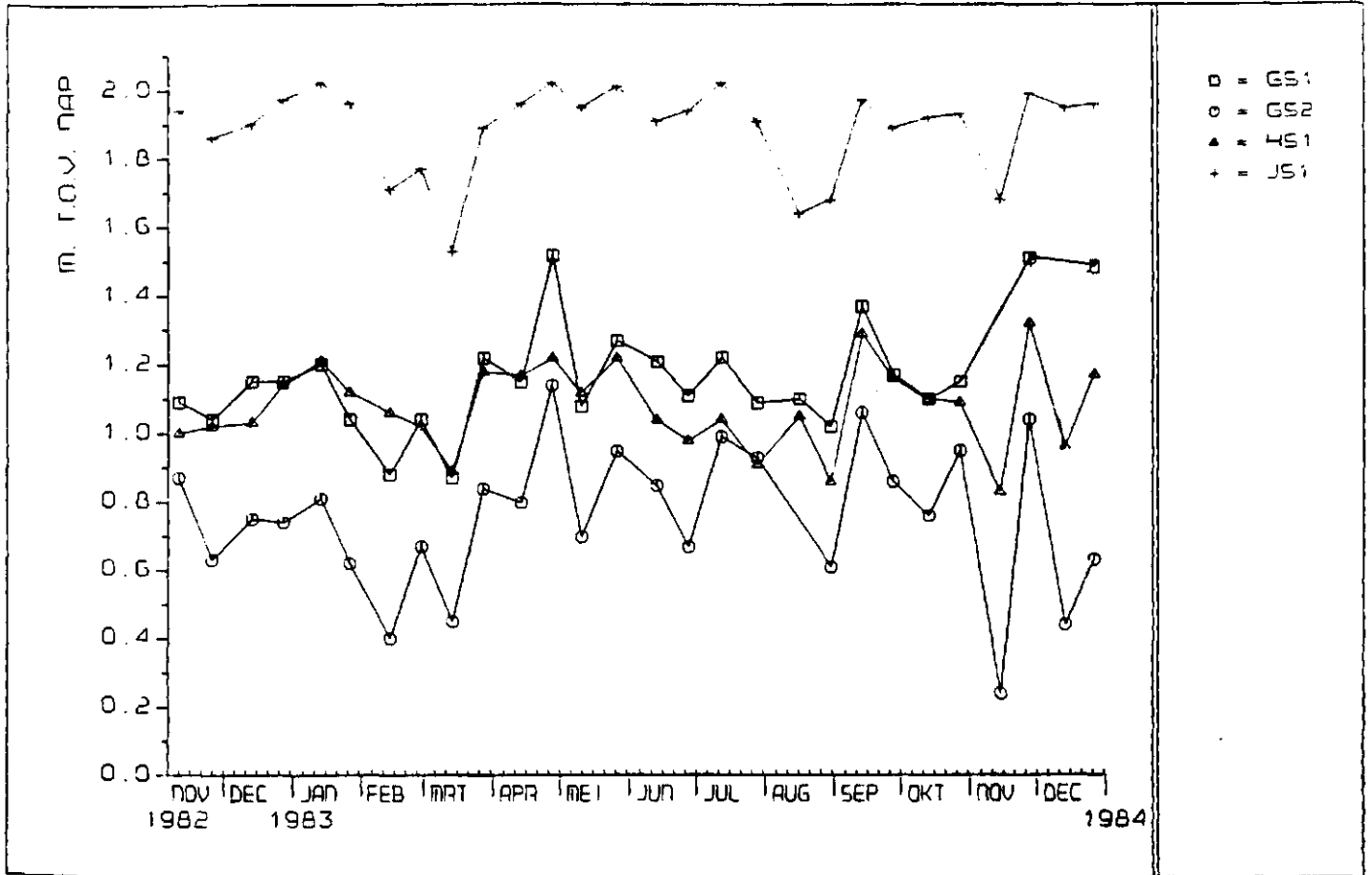
Cumulative evaporation (Fig. 3a), neerslag en neerslagoverschot (Fig. 3b) van 1983 t.o.v. dertigjarig gemiddelde en een staafdiagram (Fig. 3c) van de neerslagoverschotten per decade in 1983.



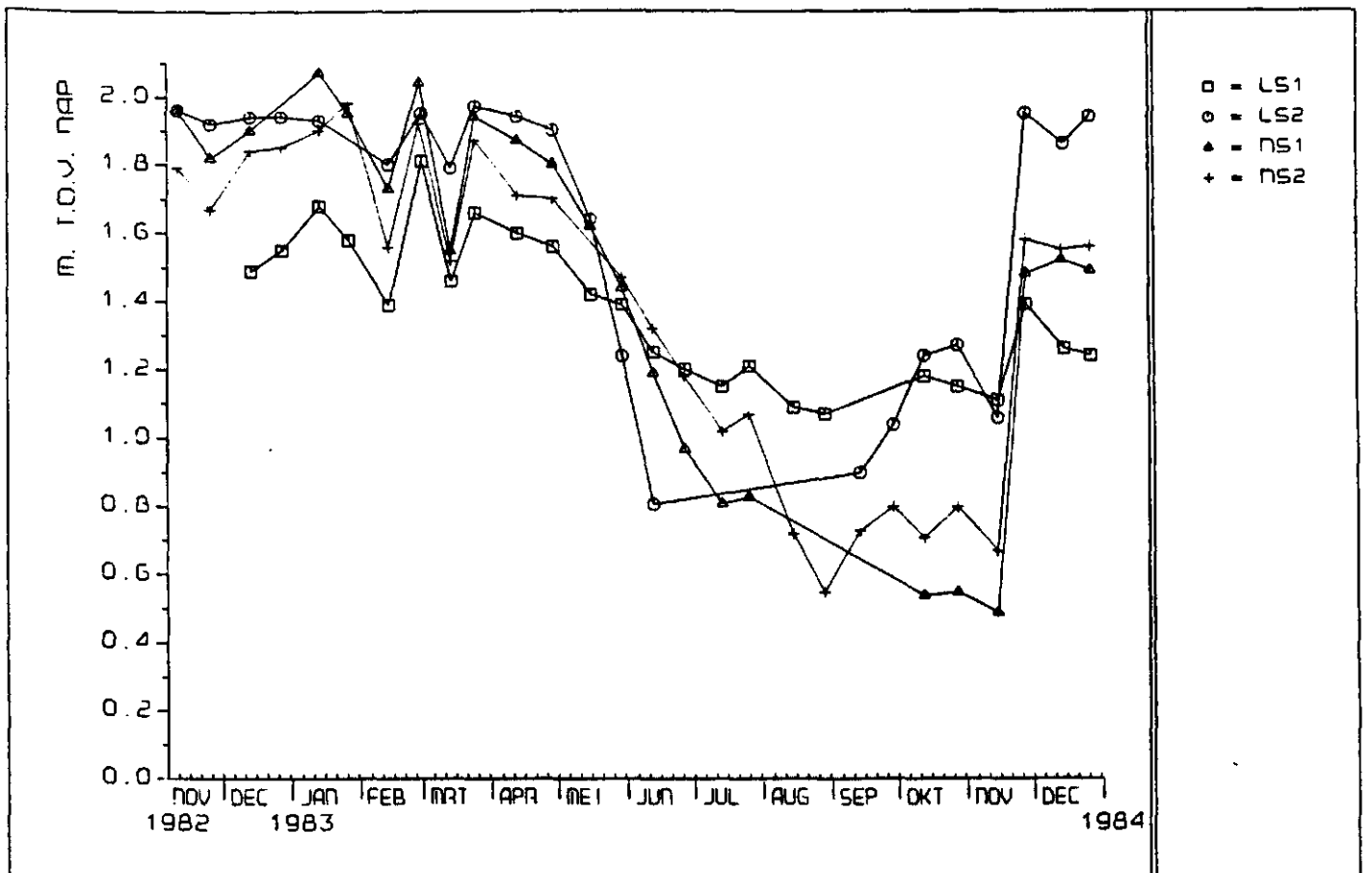
Figuur 25. Verloop van enkele schorwaterstanden in het Hellegat (raai A) en in de Kramerse Slikken (raaien B, C en RI).



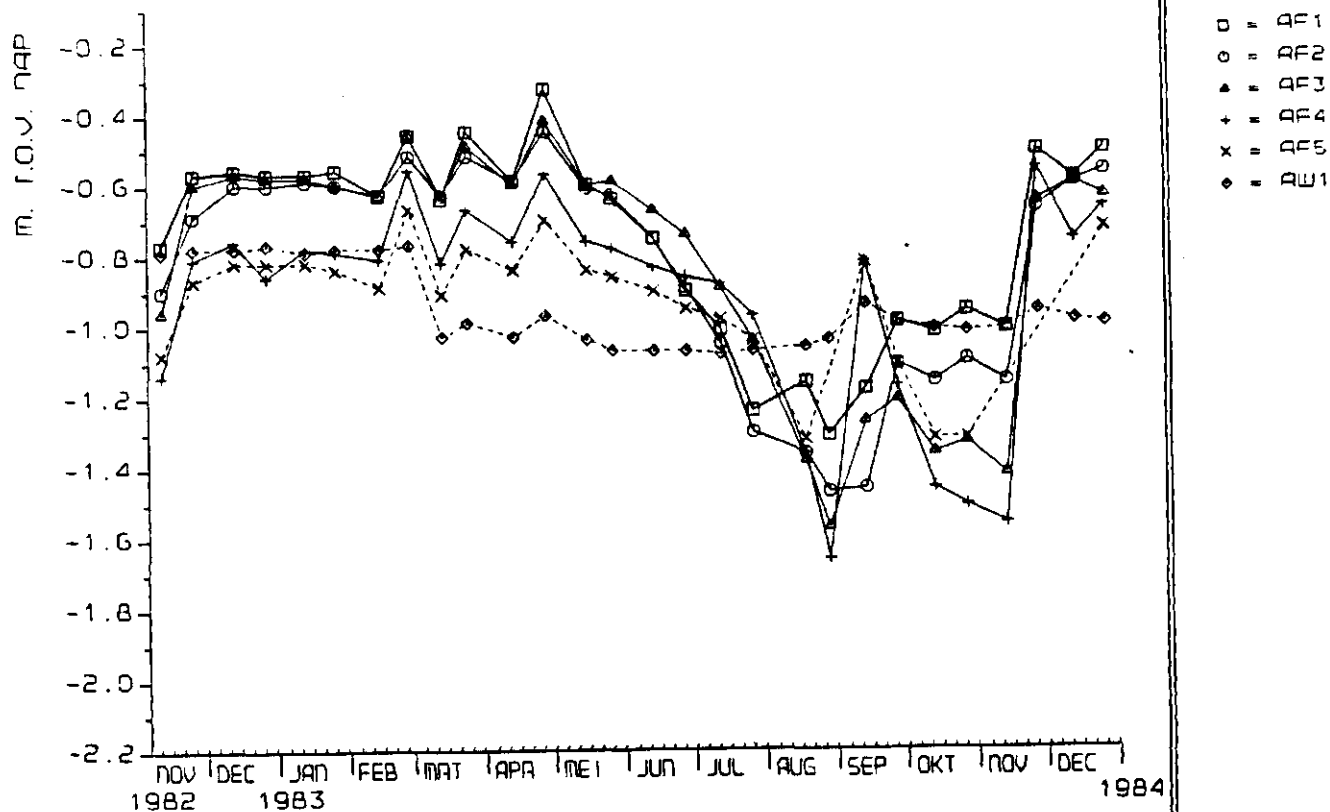
Figuur 26. Verloop van enkele schorwaterstanden gemeten in de Slikken van de Heen (raai E en F).



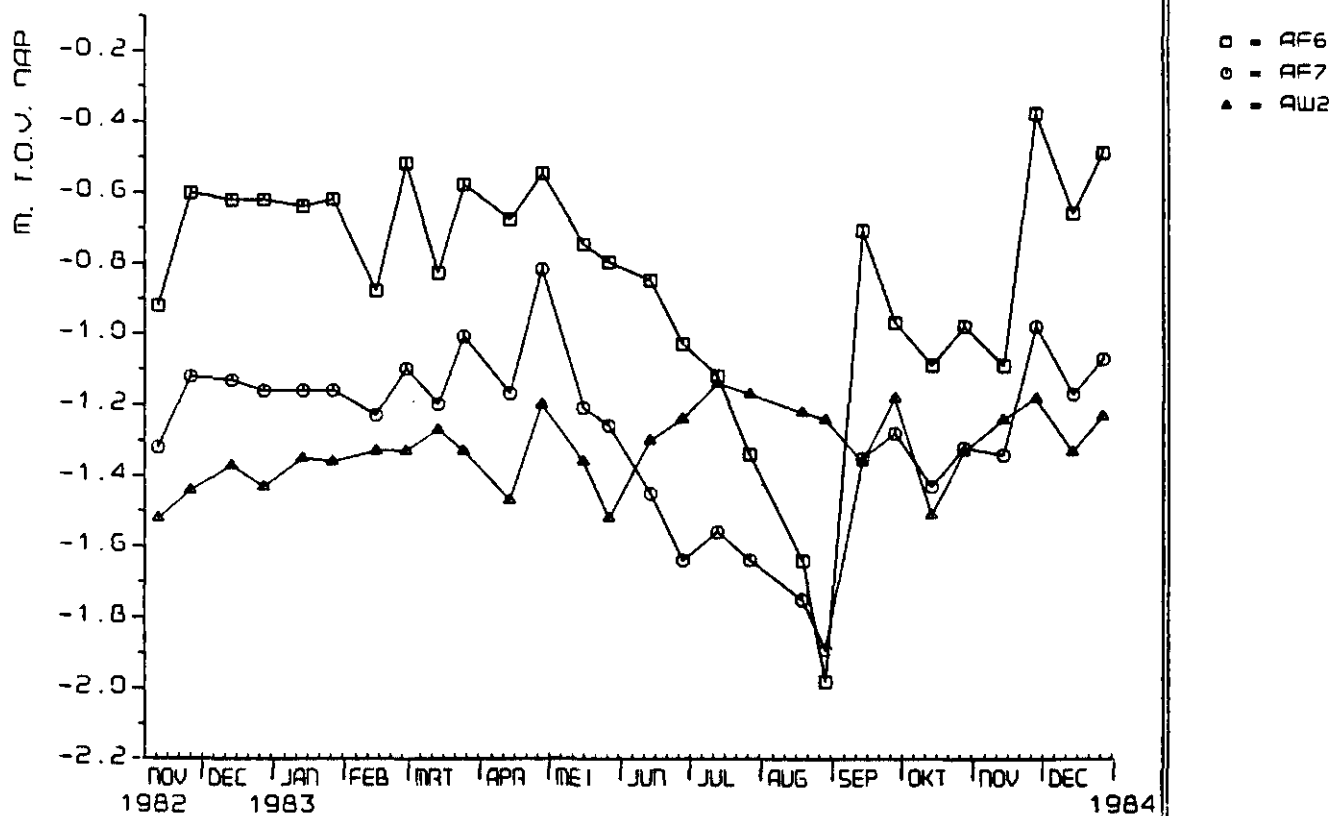
Figuur 27. Verloop van enkele schorwaterstanden gemeten in de Slikken van de Heen (raai G) en langs de Eendracht (raai H en J).



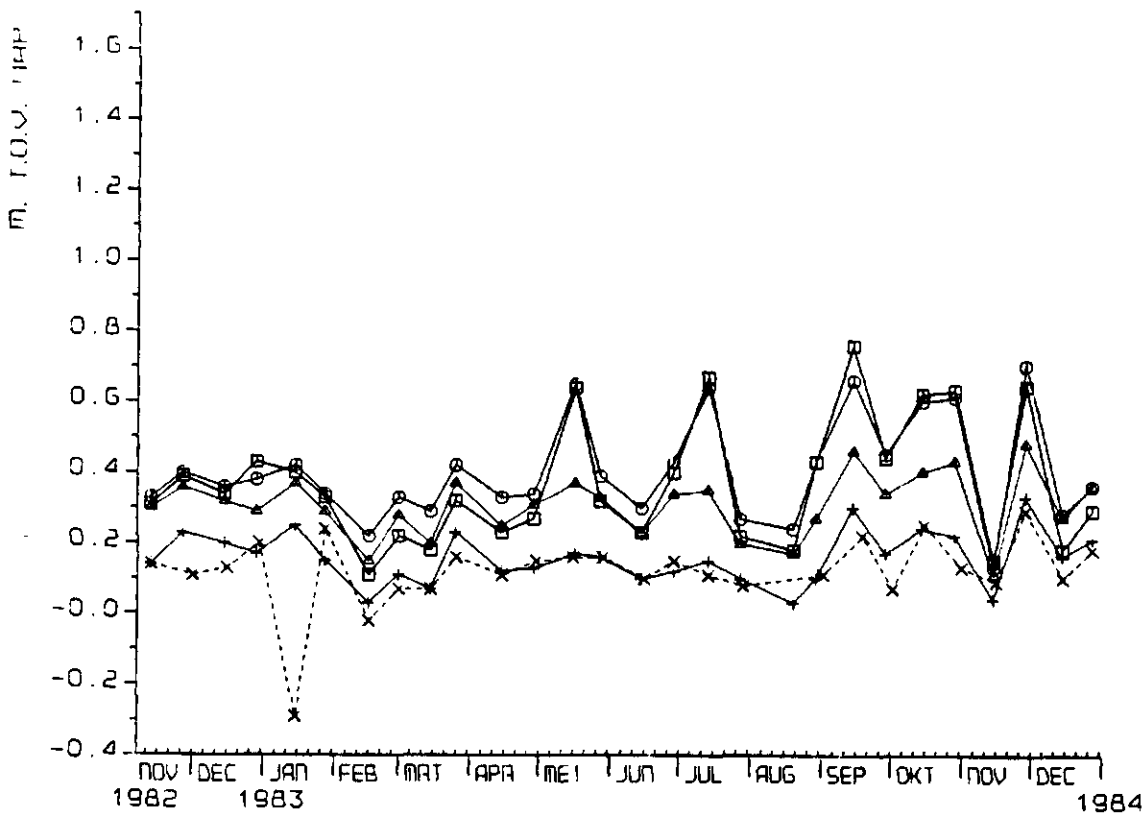
Figuur 28. Verloop van enkele schorwaterstanden op het Markiezaat van Bergen op Zoom in raai L en N.



Figuur 29. Verloop van de grondwaterstanden in de landbouwbuizen en een slootpeil in raai A.

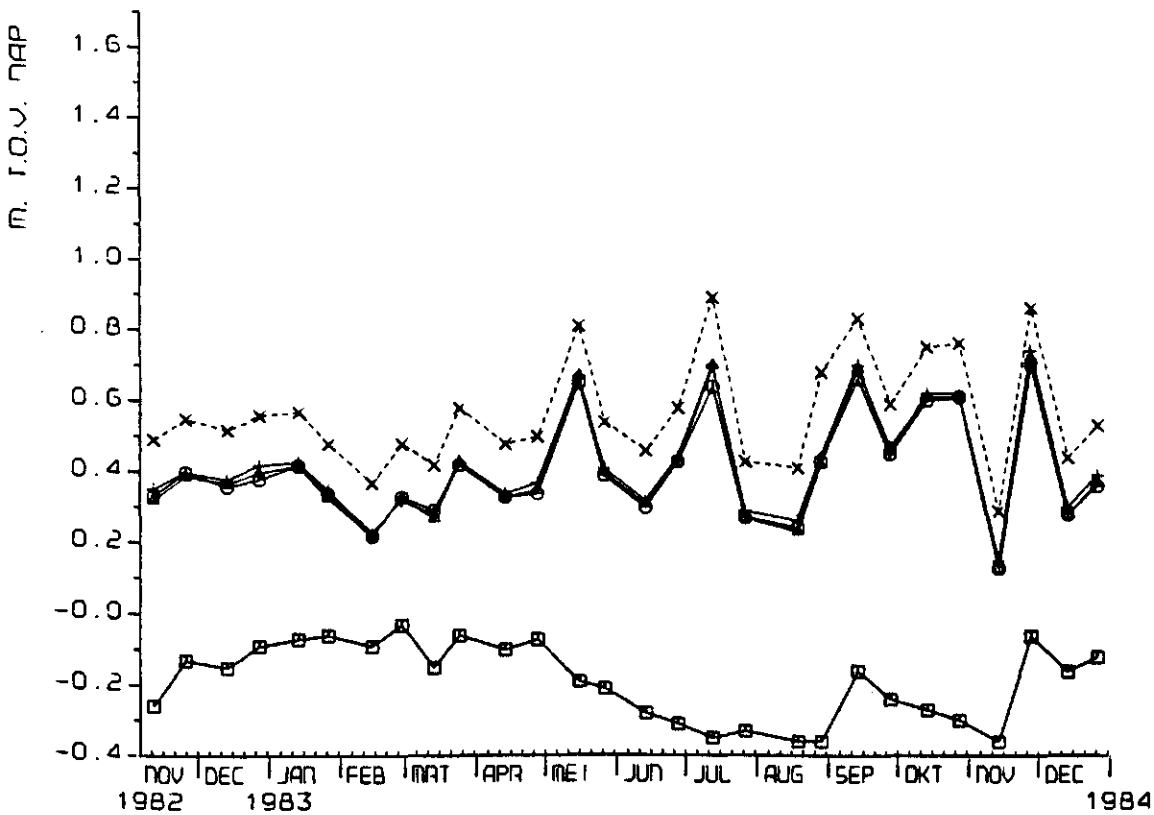


Figuur 30. Verloop van enkele grondwaterstanden in de landbouwbuizen en een slootpeil in raai A.



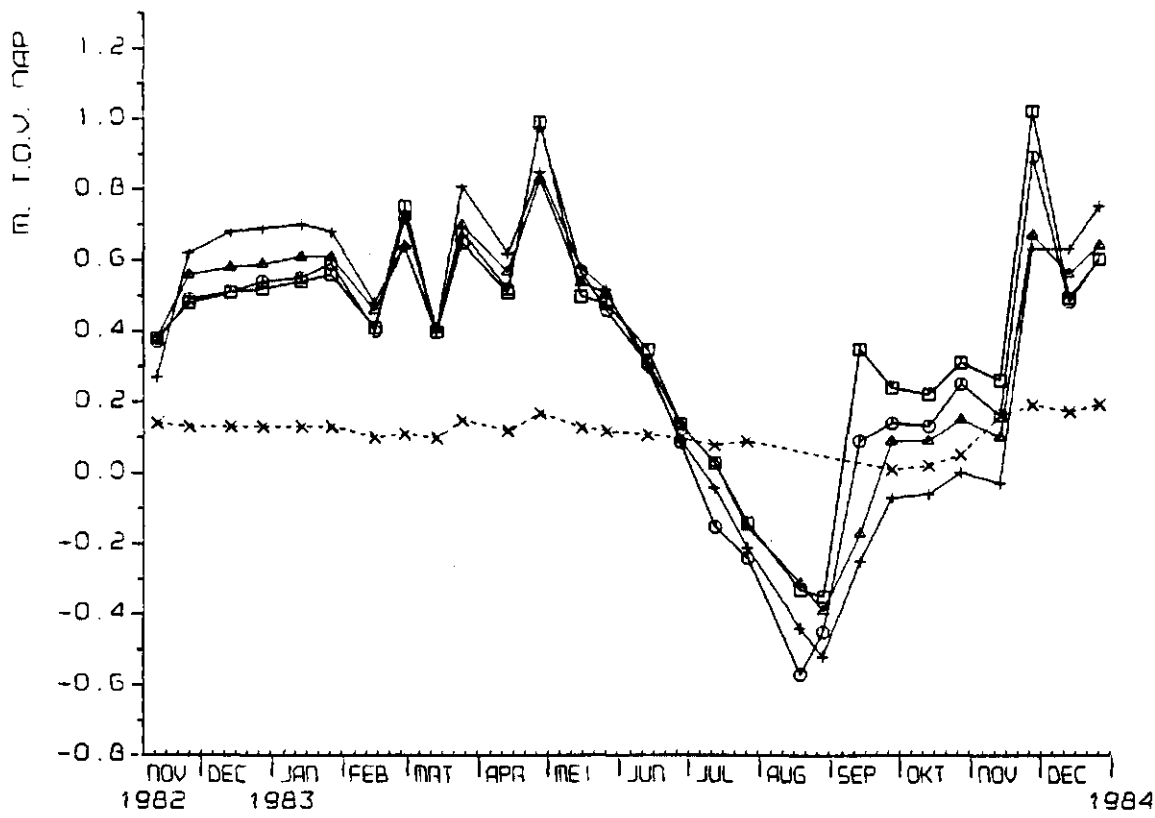
- = AD1 FILTER 2
- = 68 FILTER 2
- ▲ = AD3 FILTER 2
- + = AD4 FILTER 2
- x = 66 FILTER 2

ur 31. Verloop van de gecorrigeerde stijghoogtes in de peilputten in raai A.



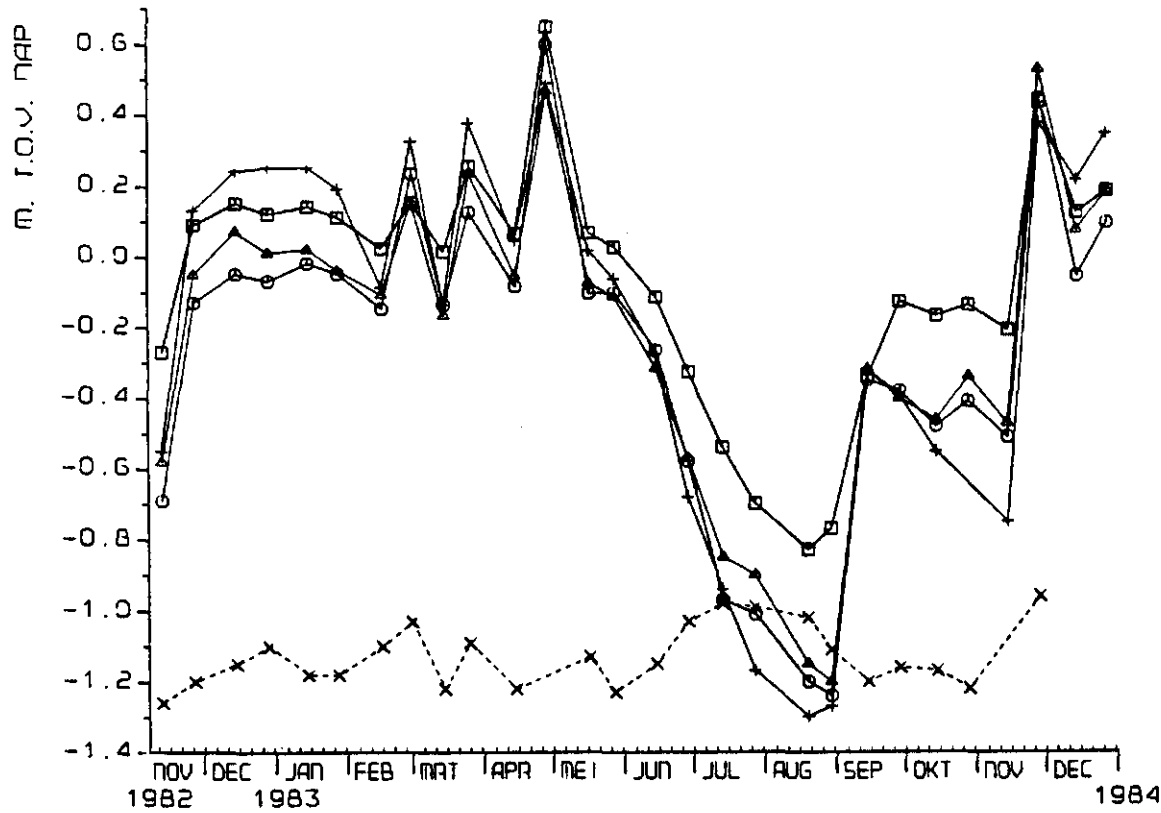
- = 68 FILTER 1
- = 68 FILTER 2
- ▲ = 68 FILTER 3
- + = 68 FILTER 4
- x = 68 FILTER 5

ur 32. Verloop van de gecorrigeerde stijghoogtes in peilput 68 op Flakkee (raai A).



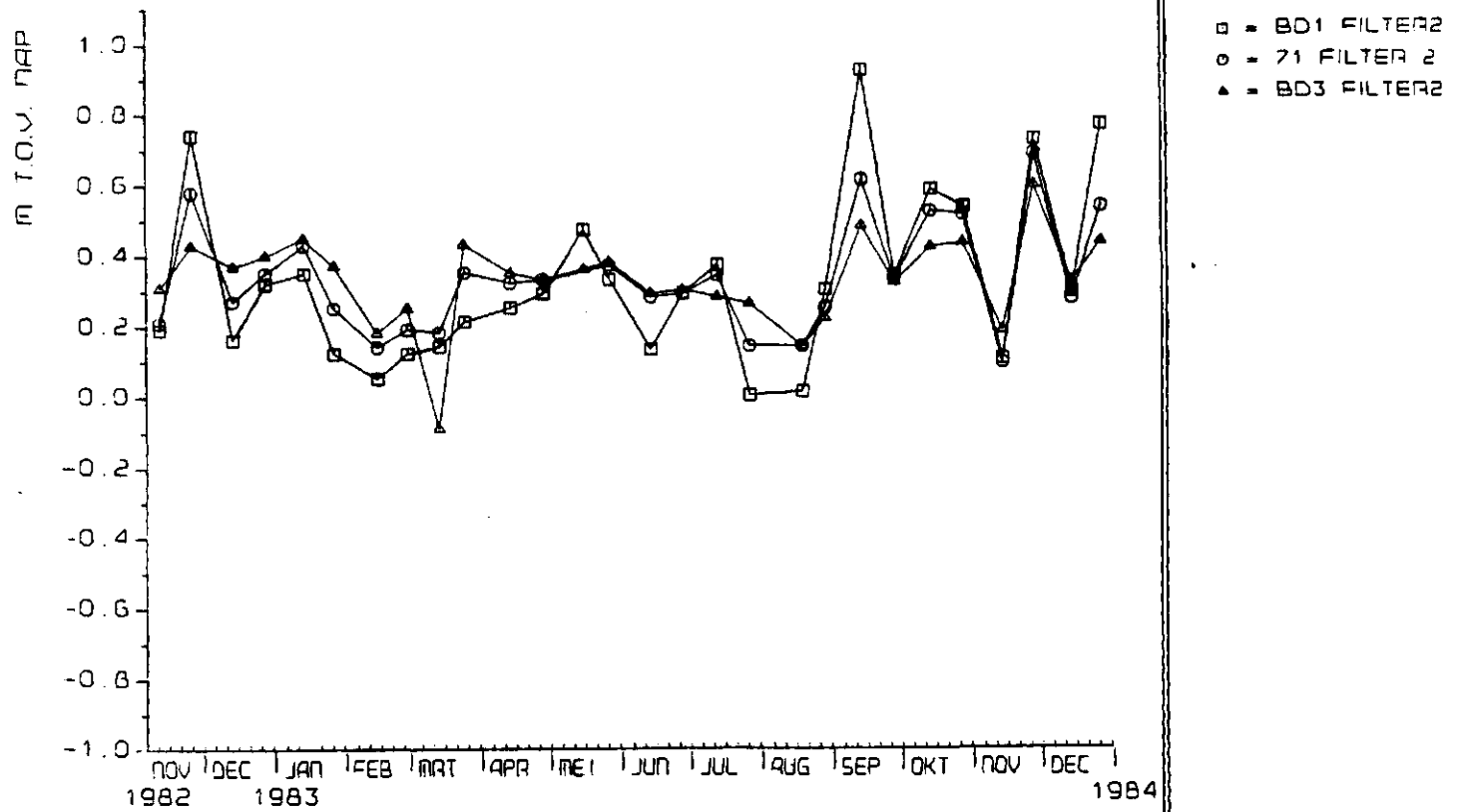
□ = BF1
 ○ = BF2
 ▲ = BF3
 + = BF4
 x = BW1

Figuur 33. Verloop van de grondwaterstanden in de landbouwbuizen en een slootpeil in raai B.

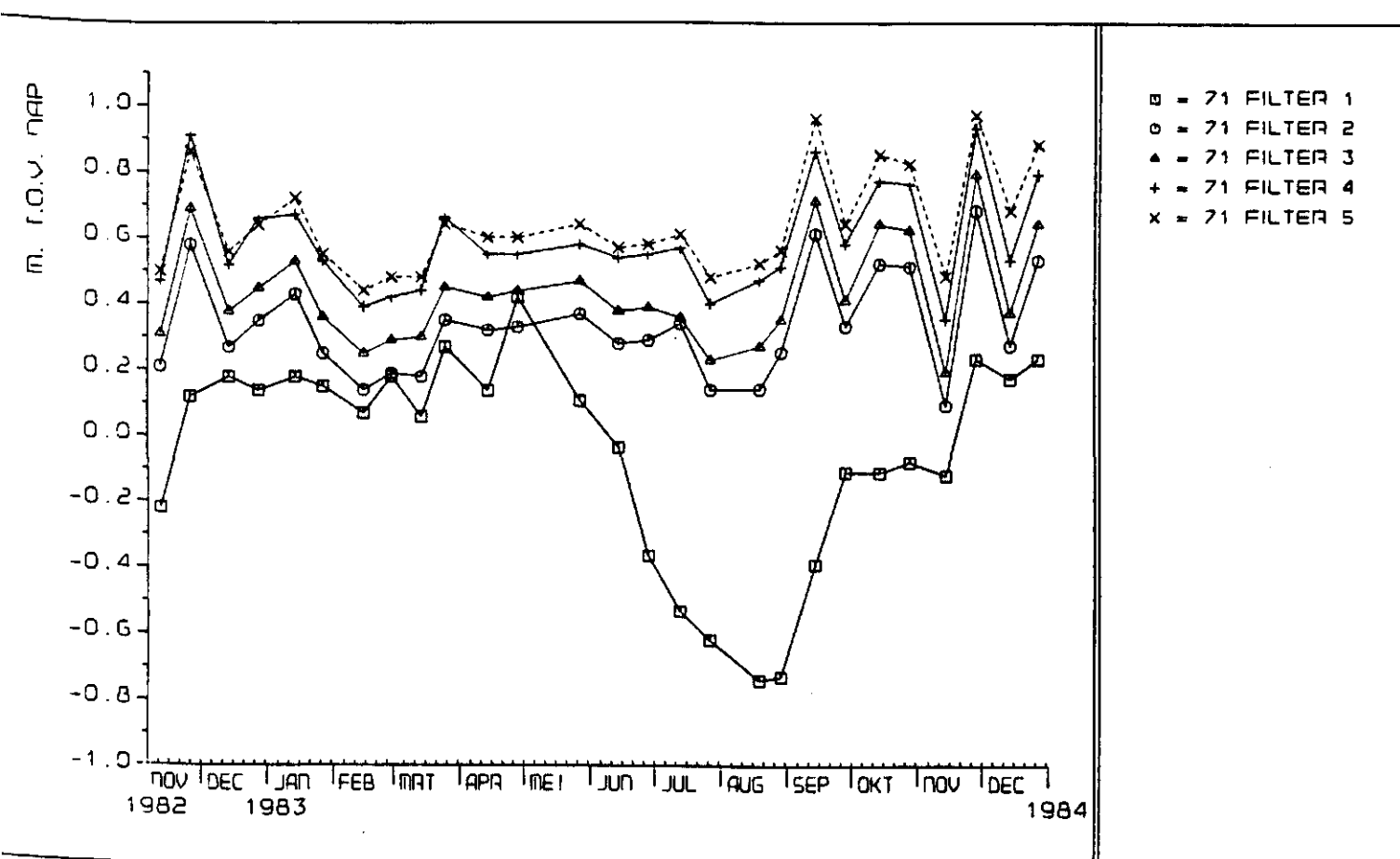


□ = BF5
 ○ = BF6
 ▲ = BF7
 + = BF8
 x = BW2

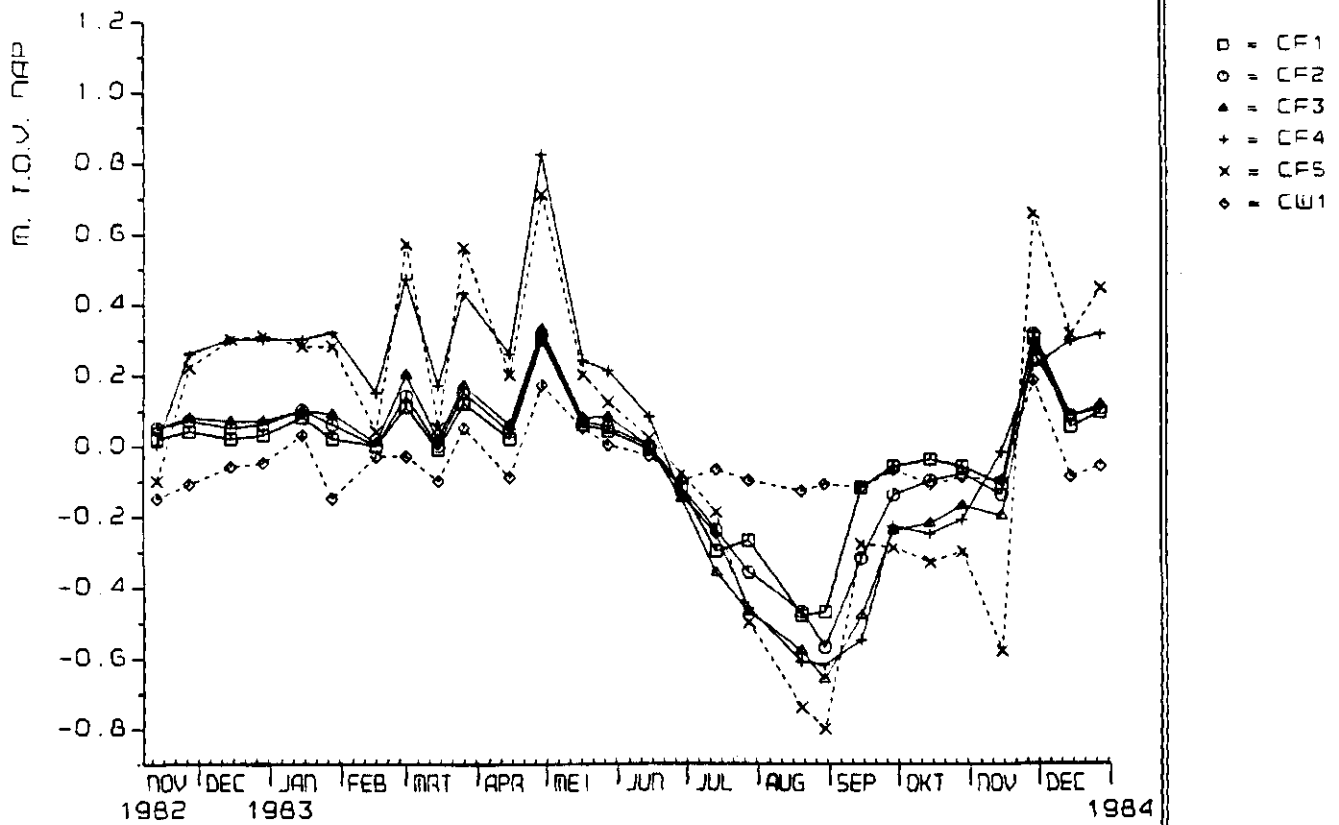
Figuur 34. Verloop van de grondwaterstanden in de landbouwbuizen en een slootpeil in raai B.



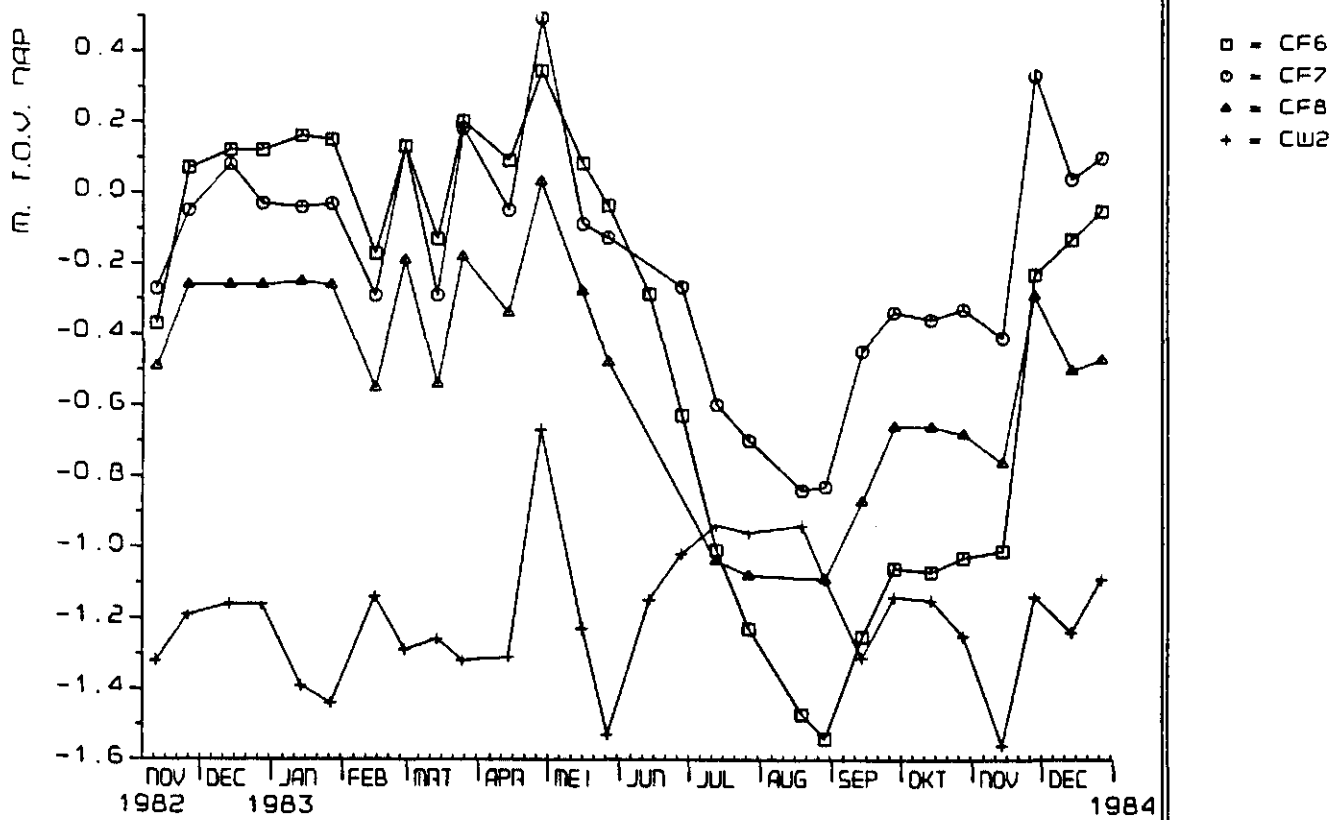
guur 35. Verloop van de gecorrigeerde stijghoogtes in de diepe filters van raai B.



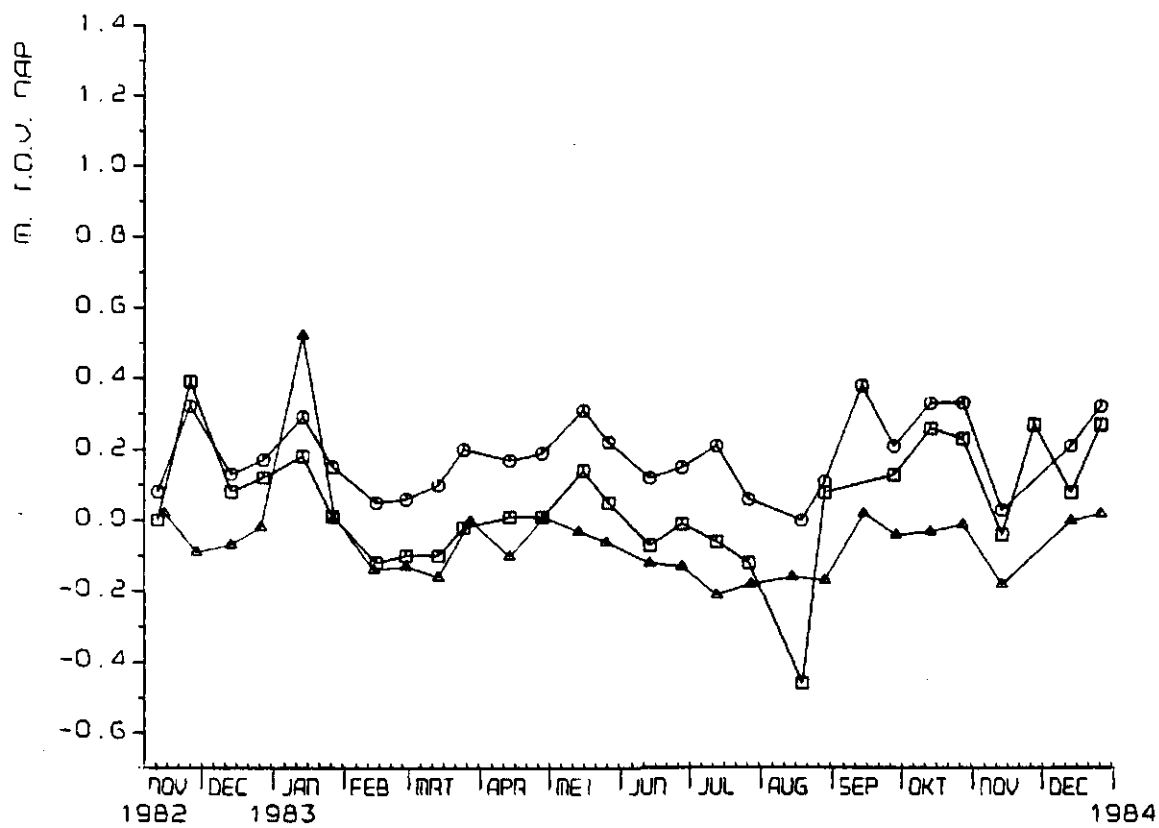
guur 36. Verloop van de gecorrigeerde stijghoogtes in peilput 71 in raai B.



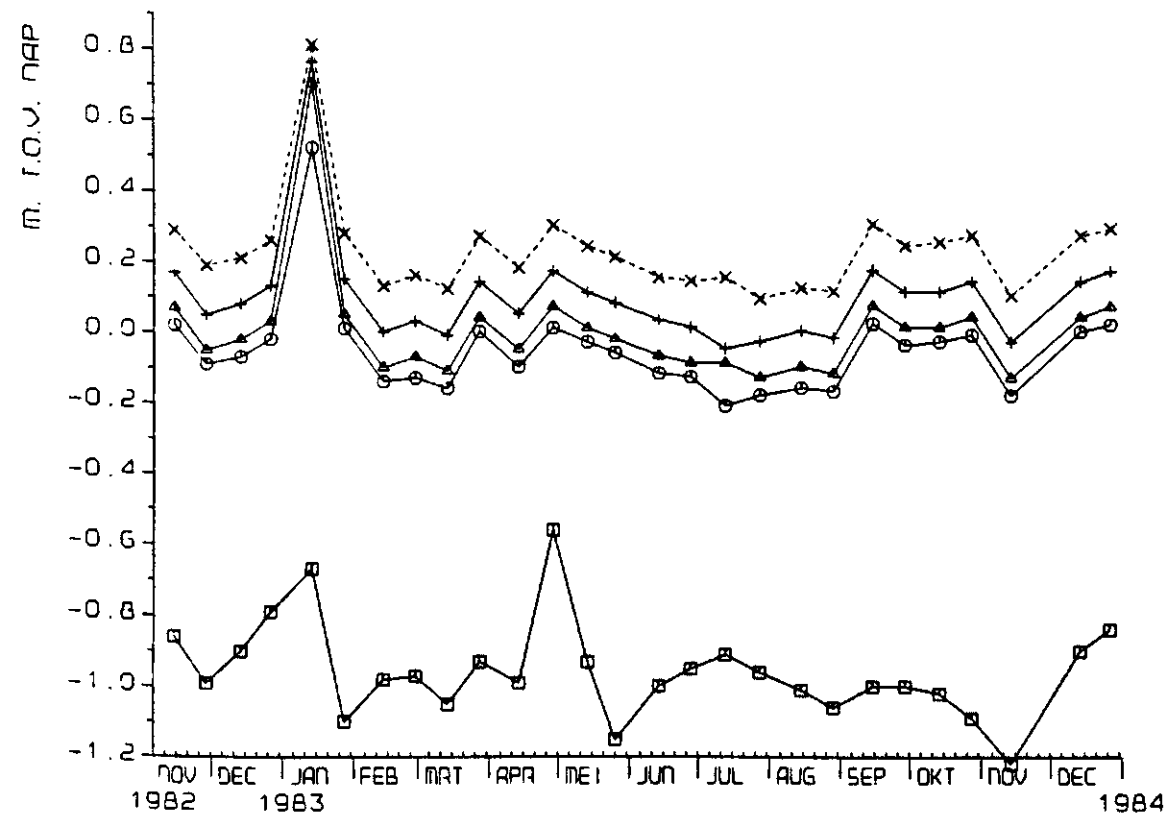
Figuur 37. Verloop van de grondwaterstanden in de landbouwbuizen en een slootpeil in raai C.



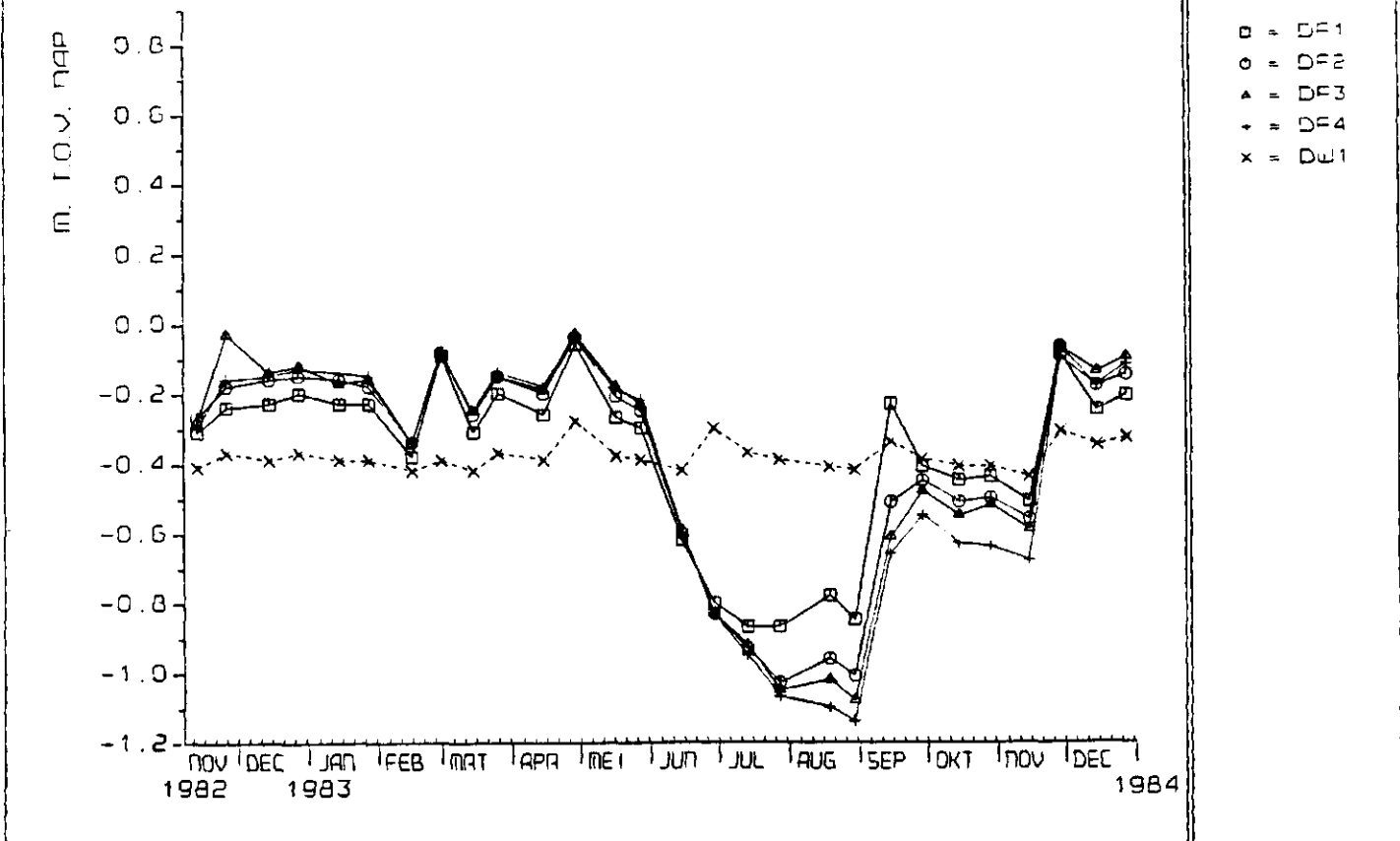
Figuur 38. Verloop van de grondwaterstanden in de landbouwbuizen en een slootpeil in raai C.



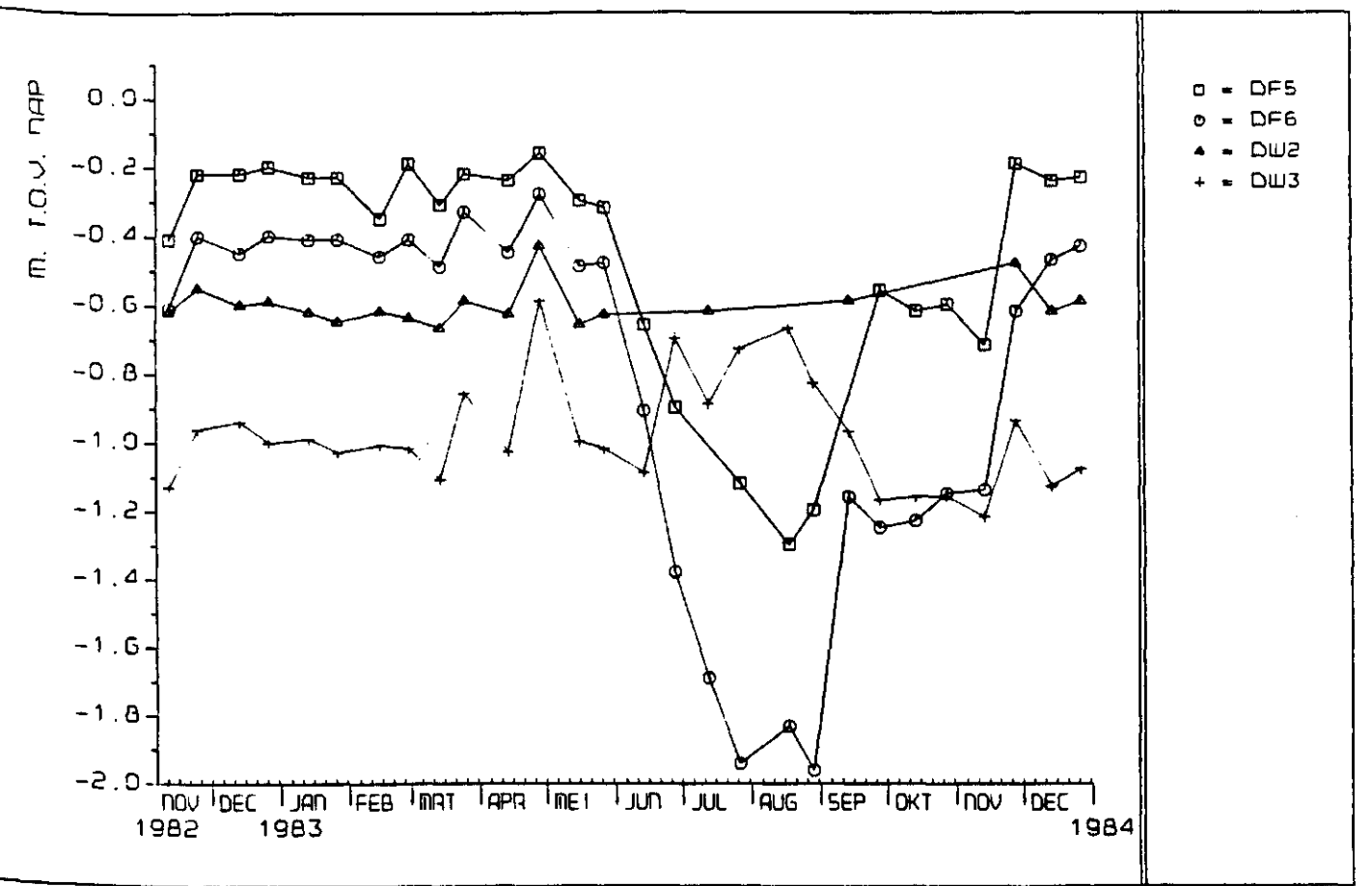
uur 39. Verloop van de gecorrigeerde stijghoogtes in de peilputten in raai C.



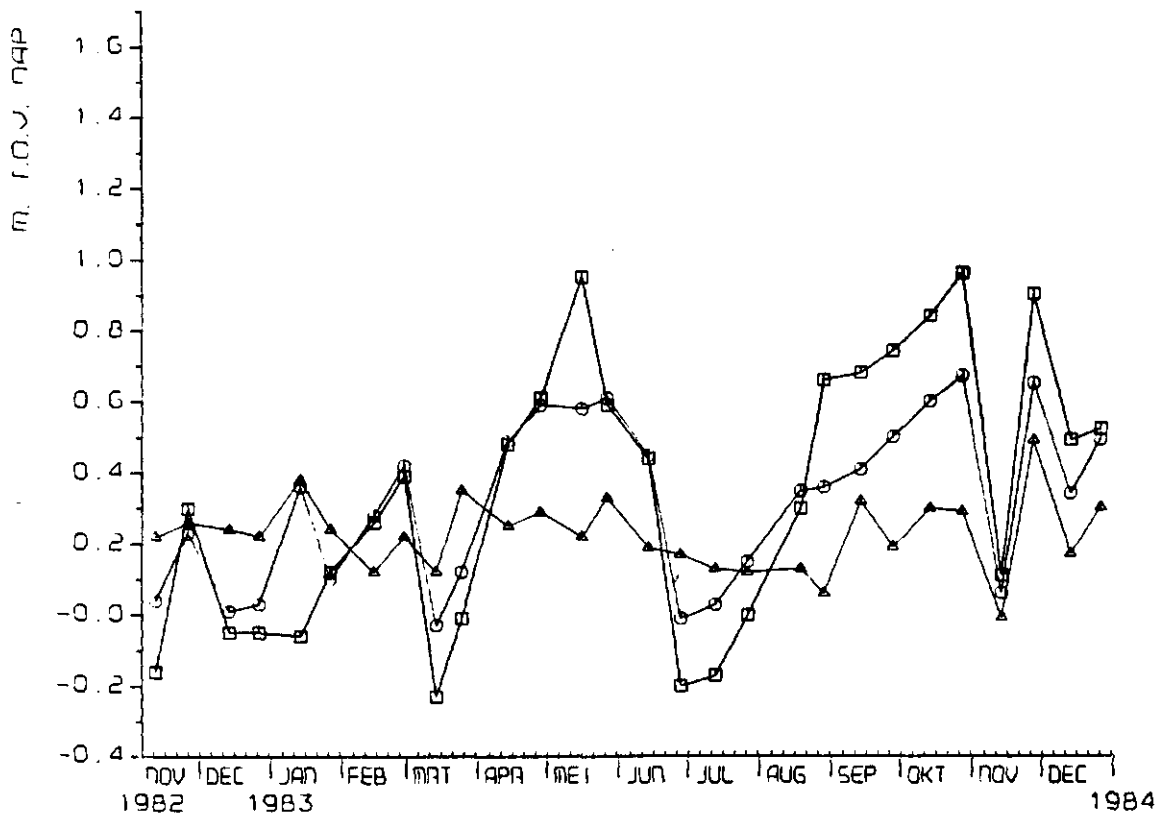
uur 40. Verloop van de gecorrigeerde stijghoogtes in peilput 62 in raai C.



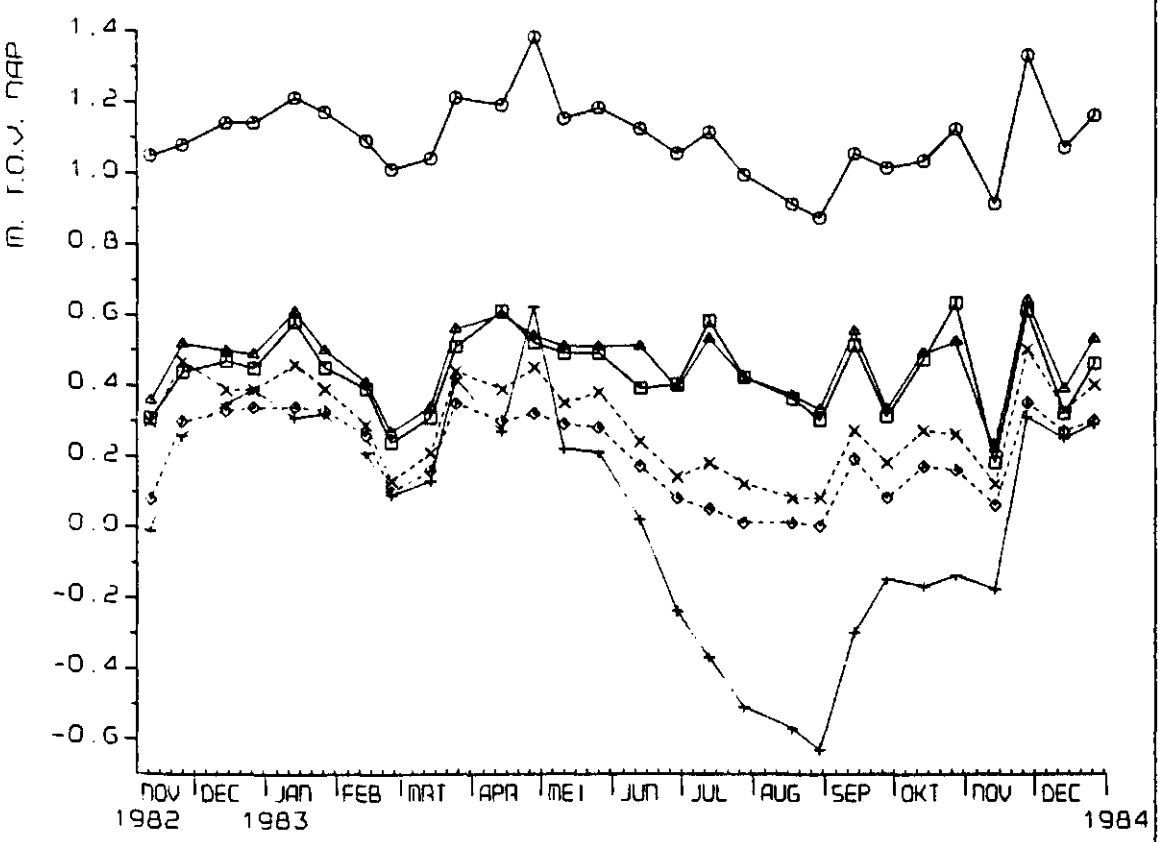
Figuur 41. Verloop van de grondwaterstanden in de landbouwbuizen en een slootpeil in raai D.



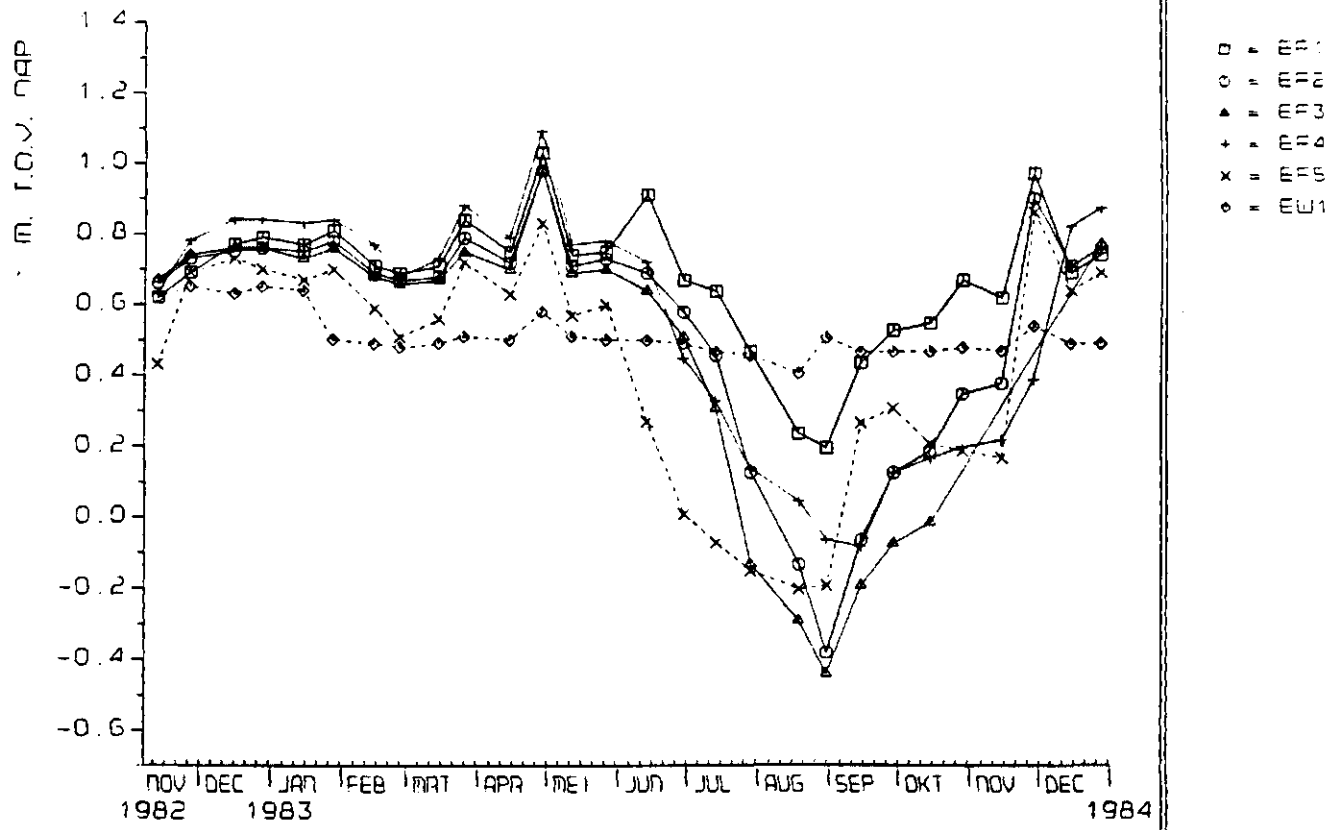
Figuur 42. Verloop van de grondwaterstanden in enkele landbouwbuizen en slootpeilen en raai D.



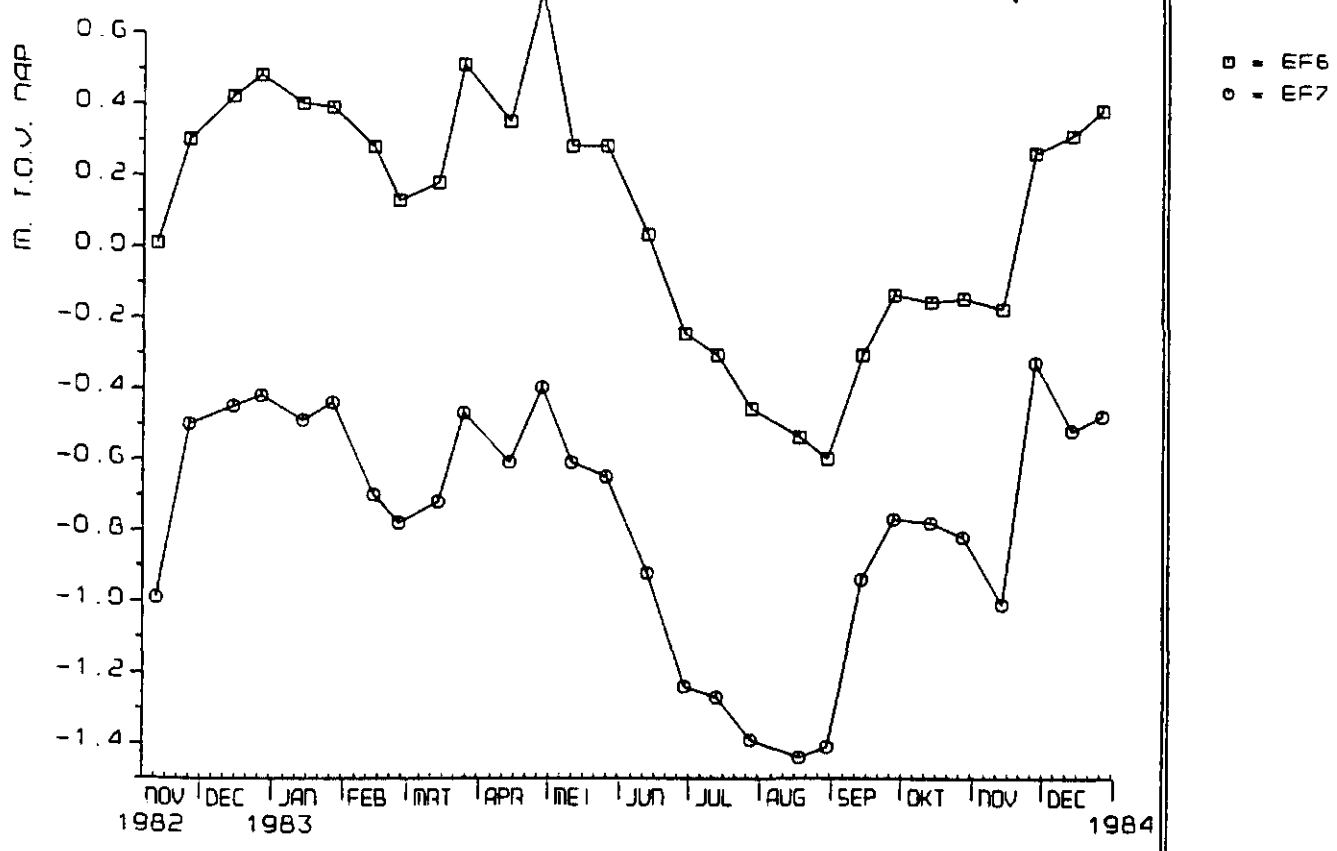
jaar 43. Verloop van de gecorrigeerde stijghoogtes in de peilputten in raai D.



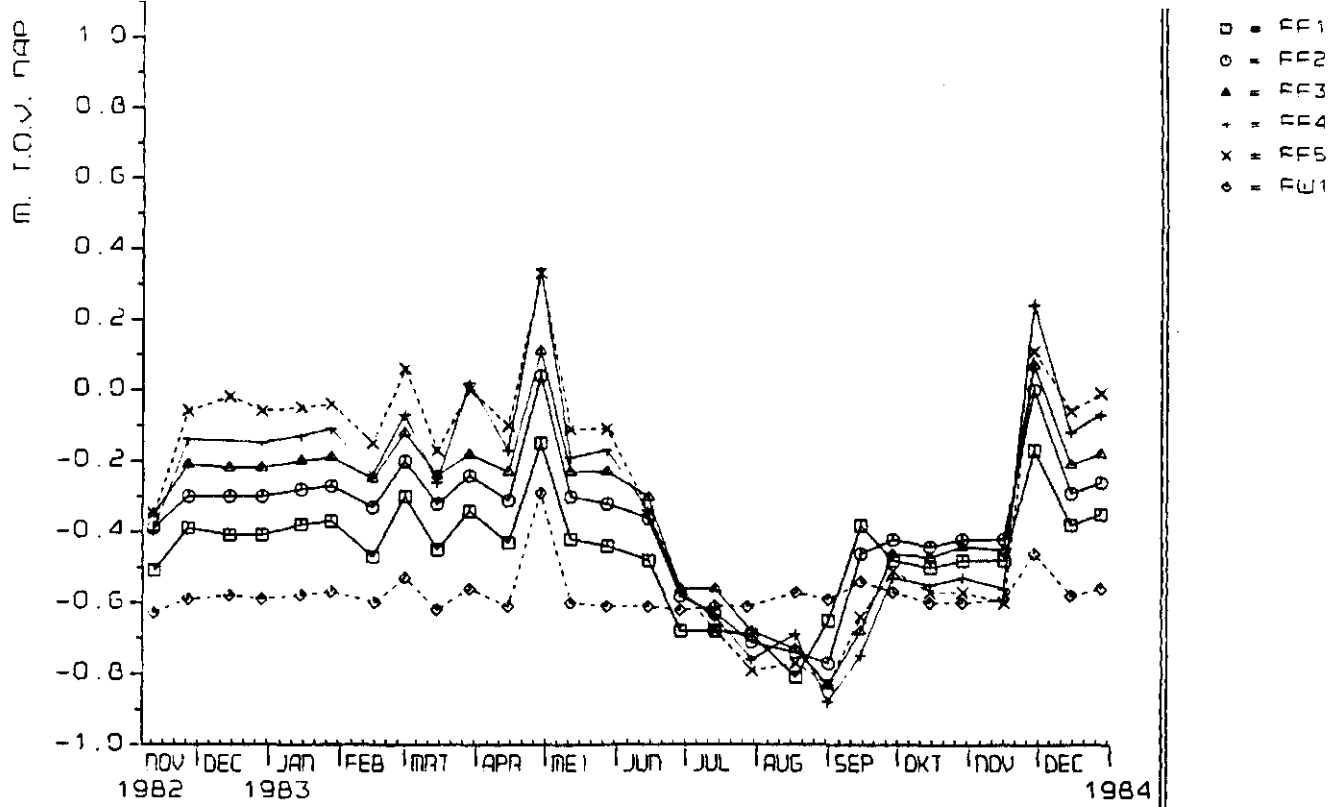
jaar 46. Verloop van de gecorrigeerde stijghoogtes in de peilputten in raai E.



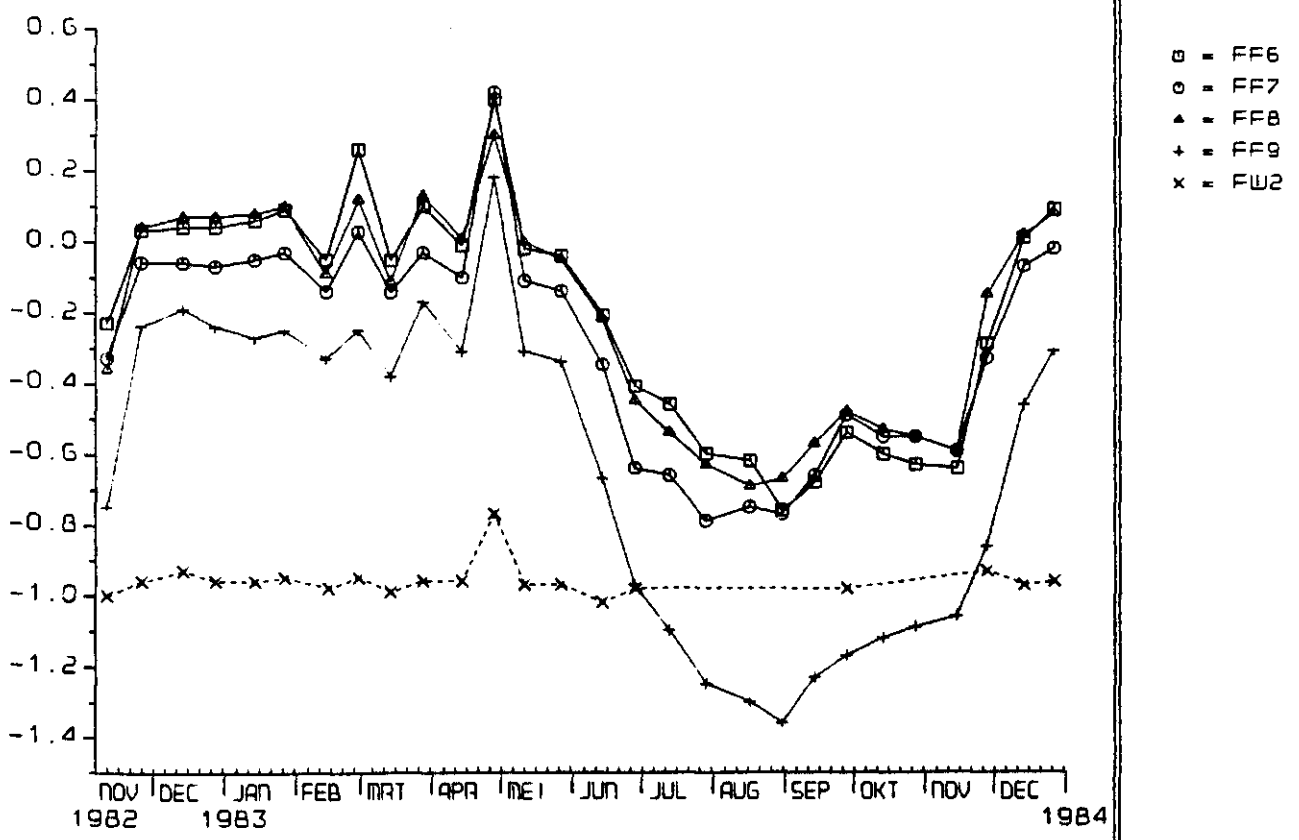
Figuur 44. Verloop van de grondwaterstanden in de landbouwbuizen en een slootpeil in raai E.



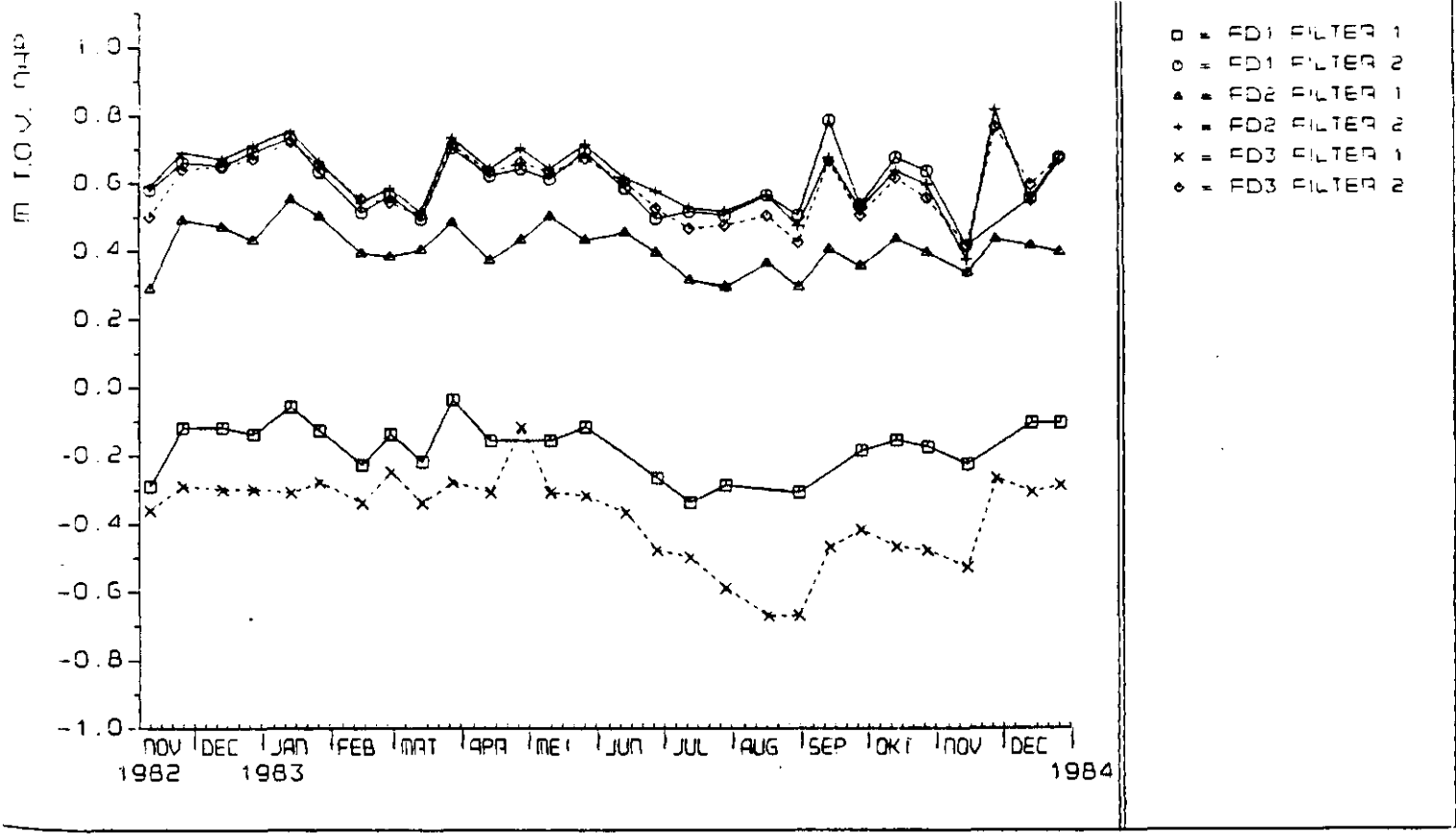
Figuur 45. Verloop van de grondwaterstanden in enkele landbouwbuizen in raai E.



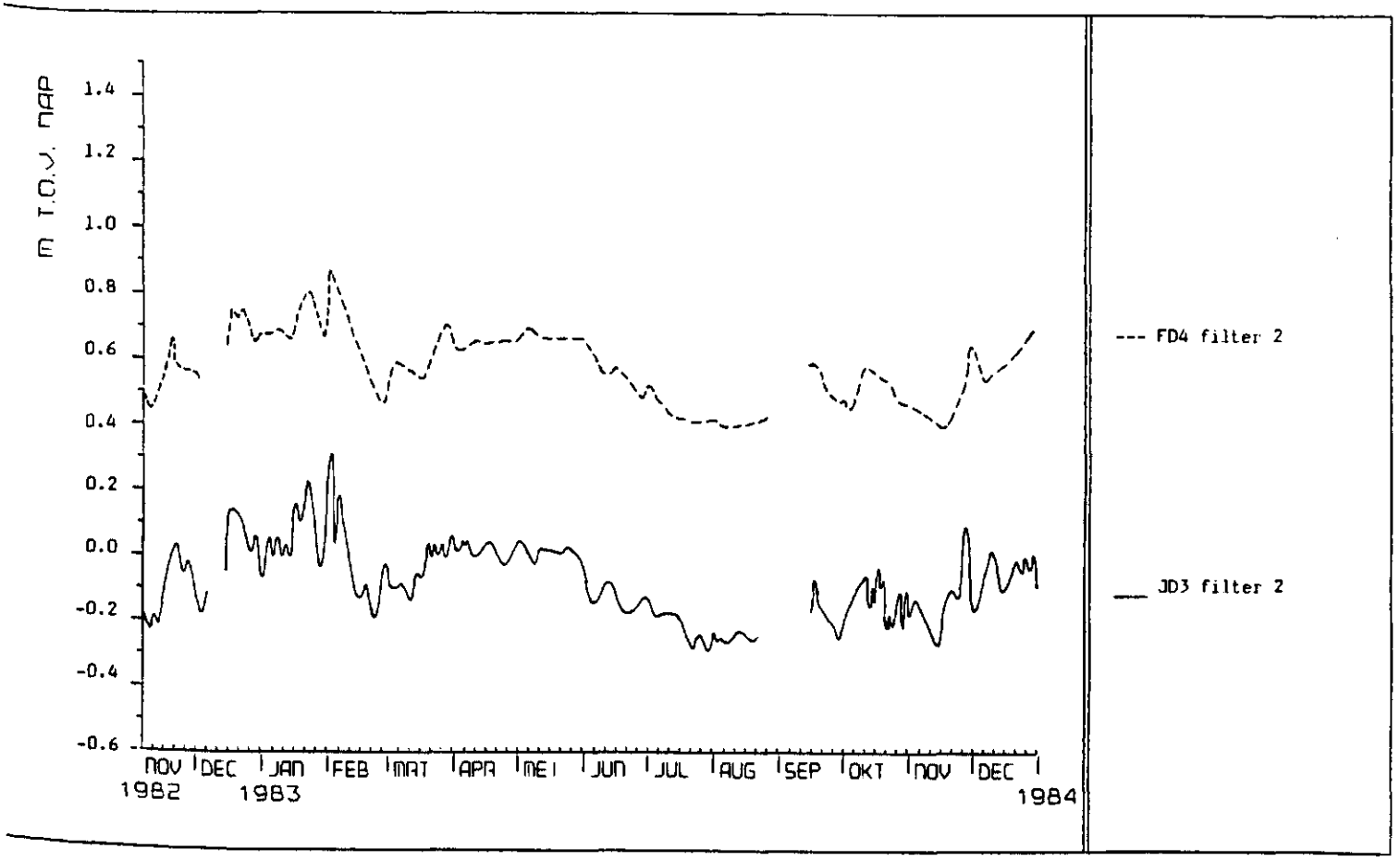
Figuur 47. Verloop van de grondwaterstanden in de landbouwbuizen en een slootpeil in raai F.



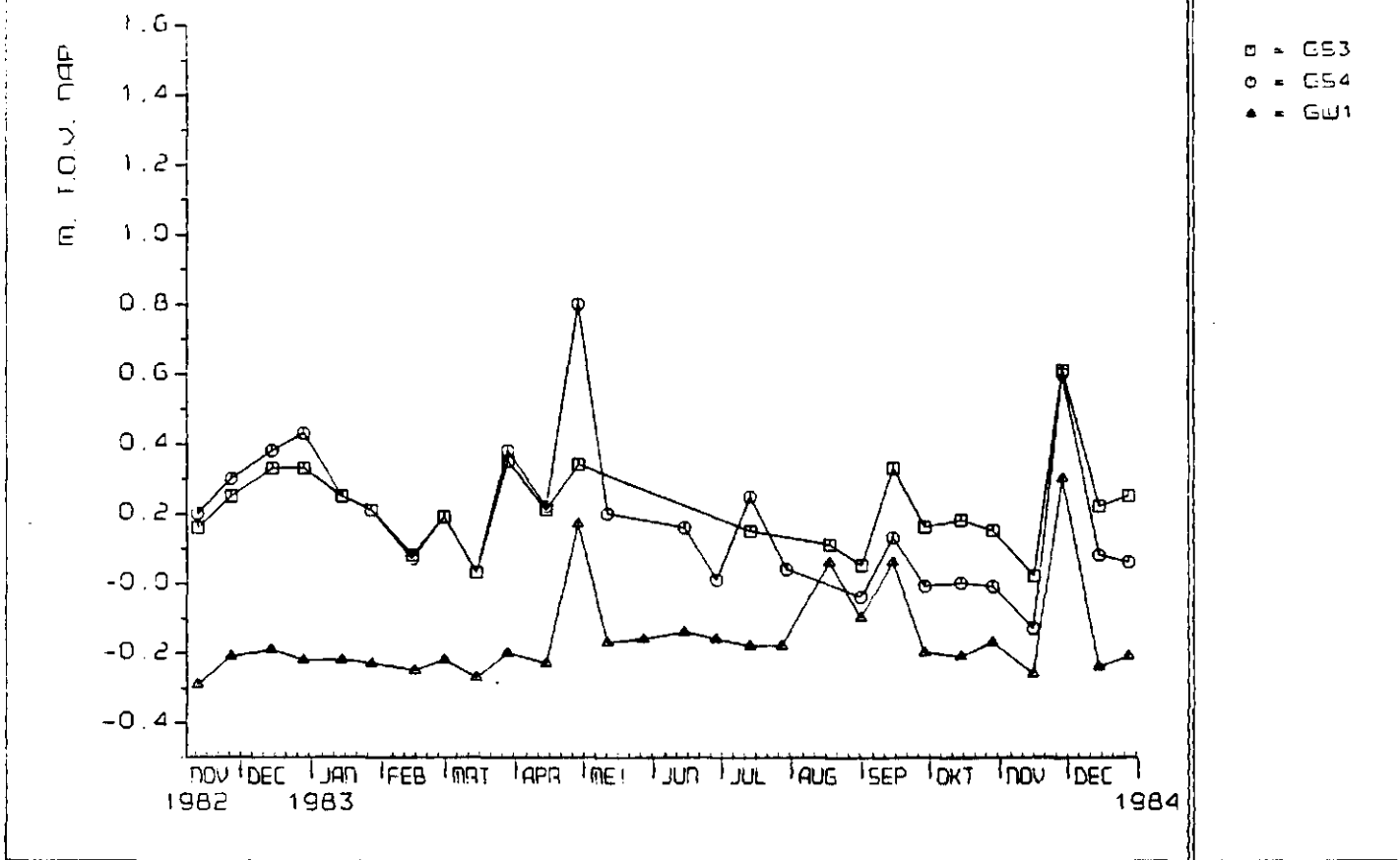
Figuur 48. Verloop van de grondwaterstanden in de landbouwbuizen en een slootpeil in raai F.



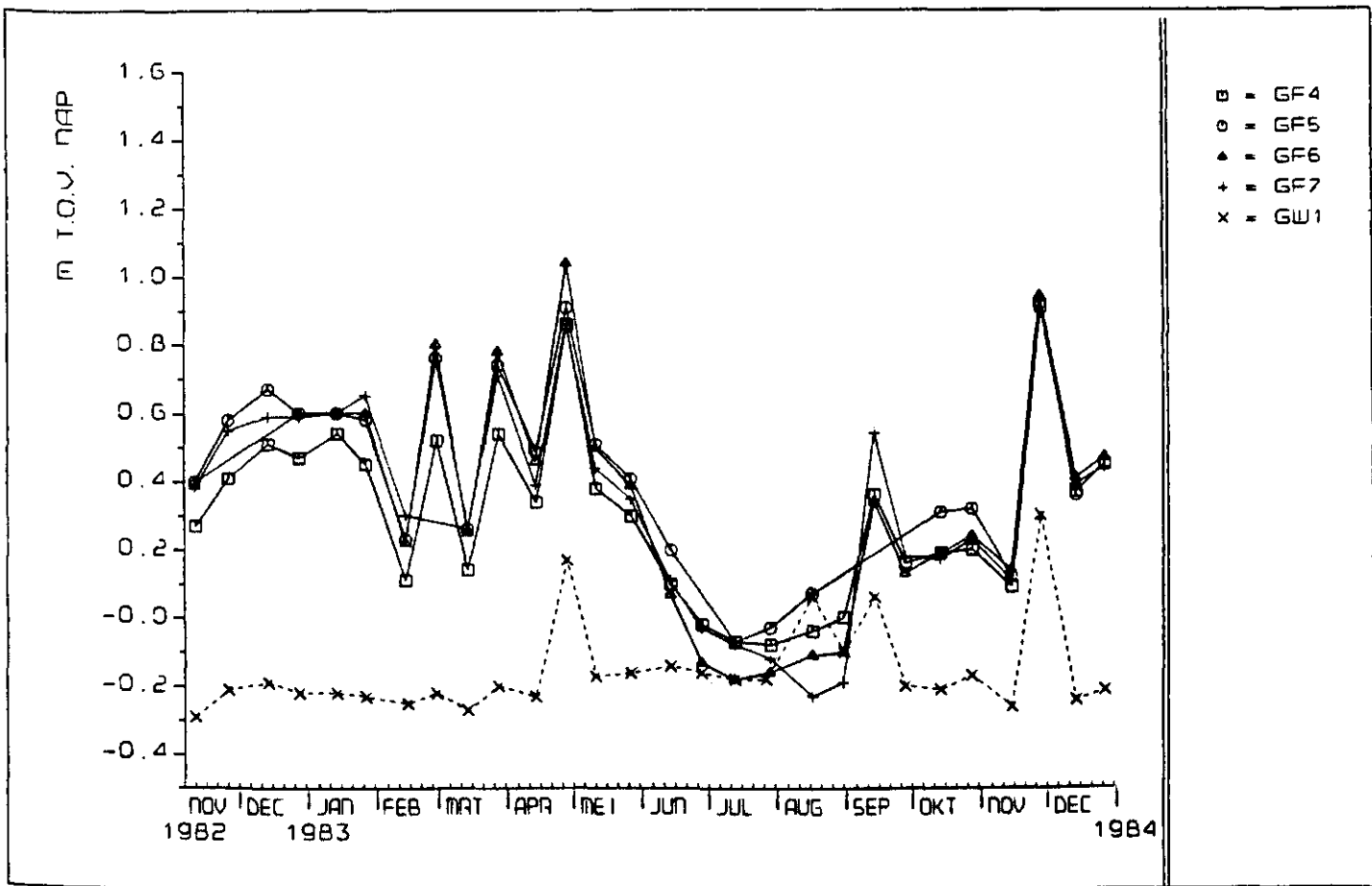
figuur 49. Verloop van de gecorrigeerde stijghoogtes in de peilputten van raai F.



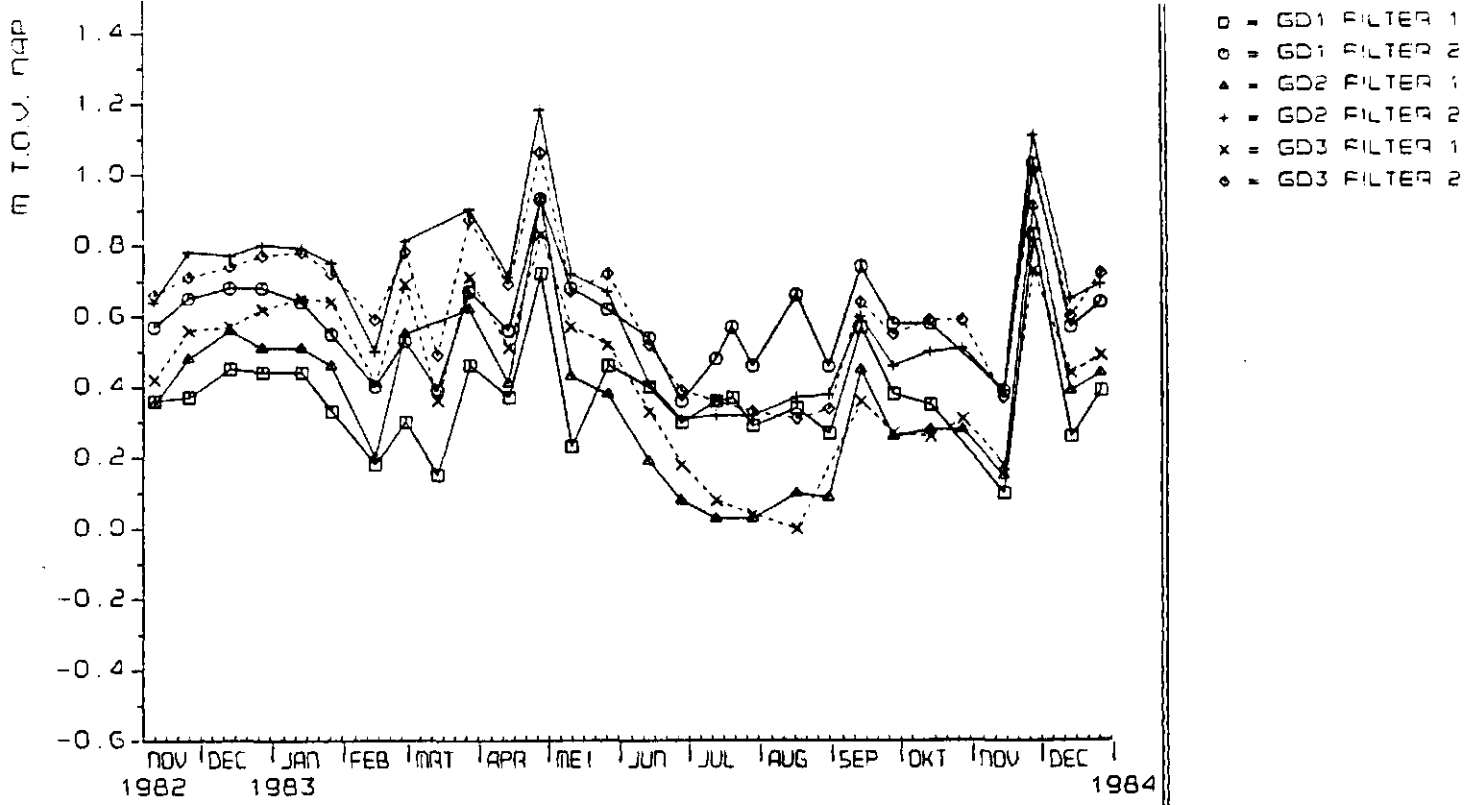
figuur 50. Verloop van de automatisch geregistreerde en gecorrigeerde stijghoogtes van enkele diepe filters.



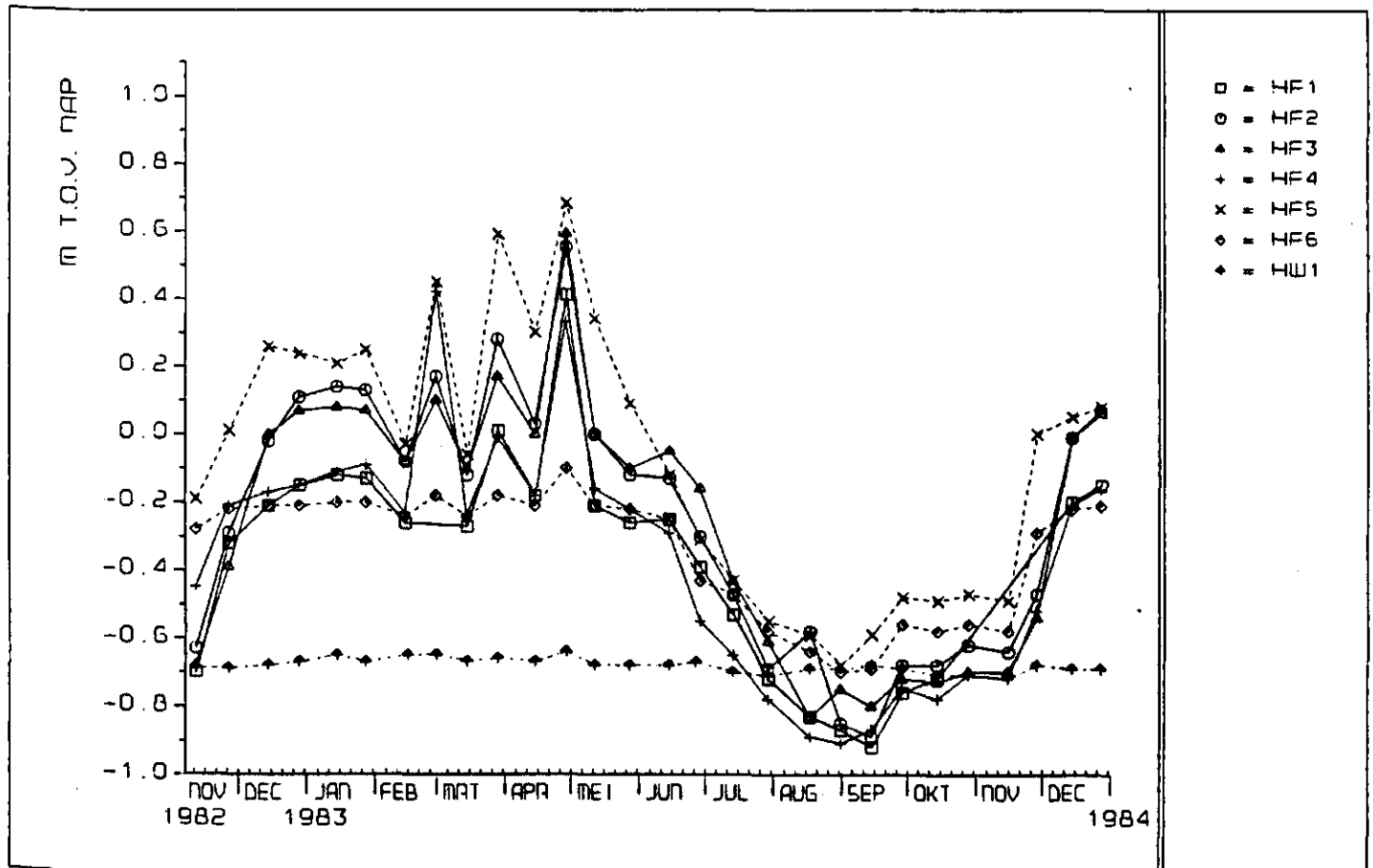
Figuur 51. Verloop van de grondwaterstanden in enkele landbouwbuizen en een slootpeil in het nieuw ingepolderde deel van de slikken van de Heen.



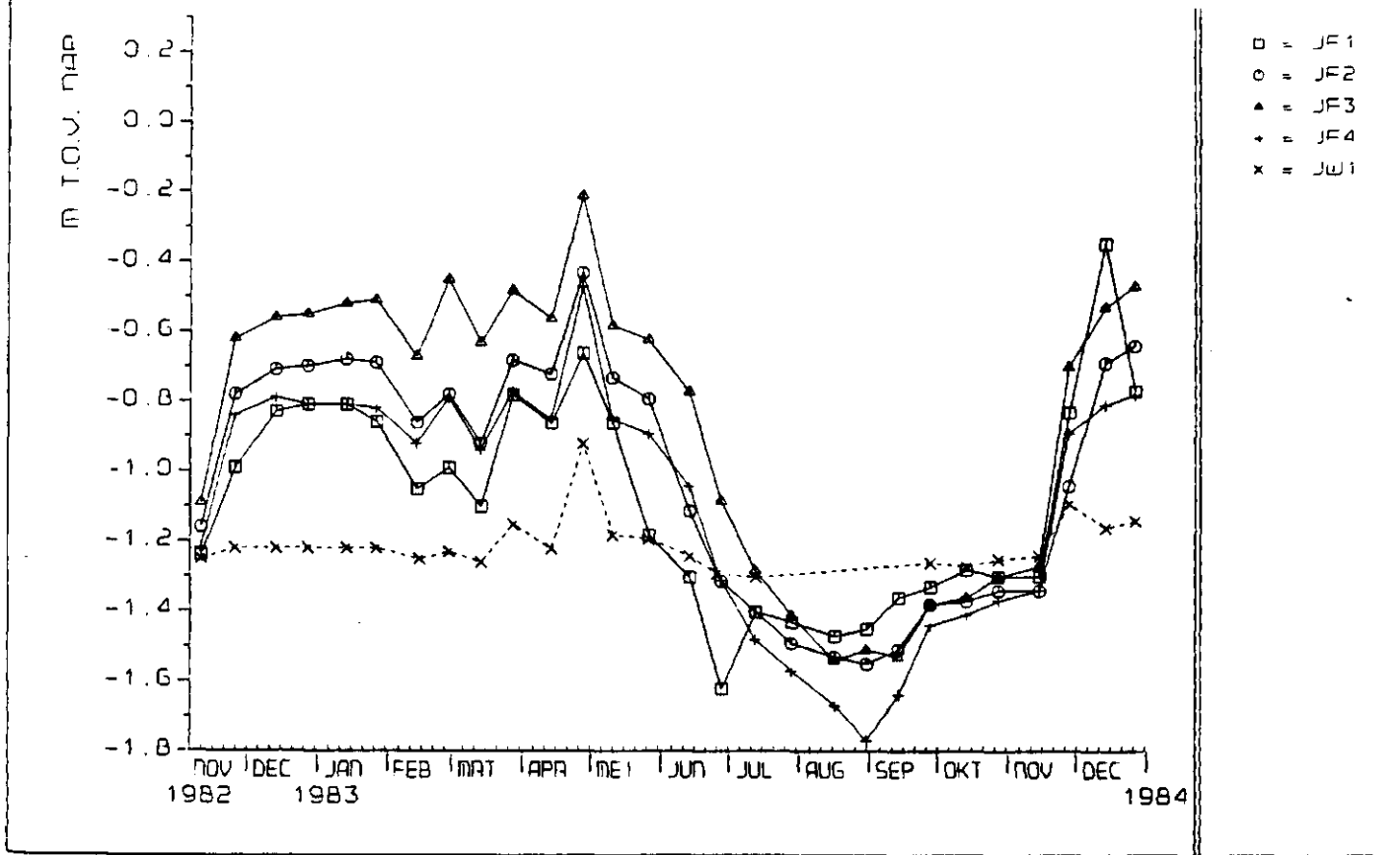
Figuur 52. Verloop van de grondwaterstanden in de landbouwbuizen en een slootpeil in raai G.



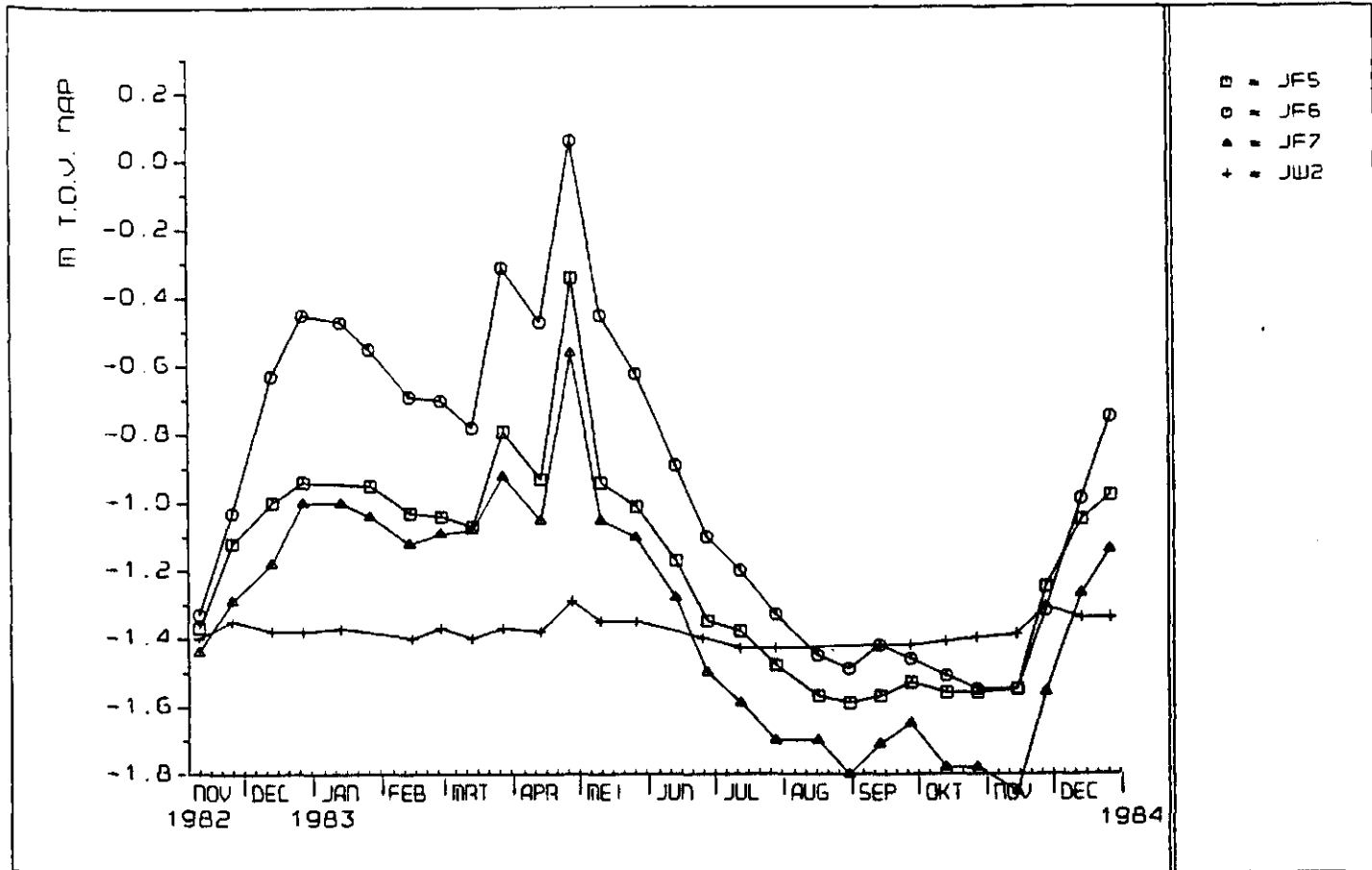
figuur 53. Verloop van de gecorrigeerde stijghoogtes in de peilputten in raai G.



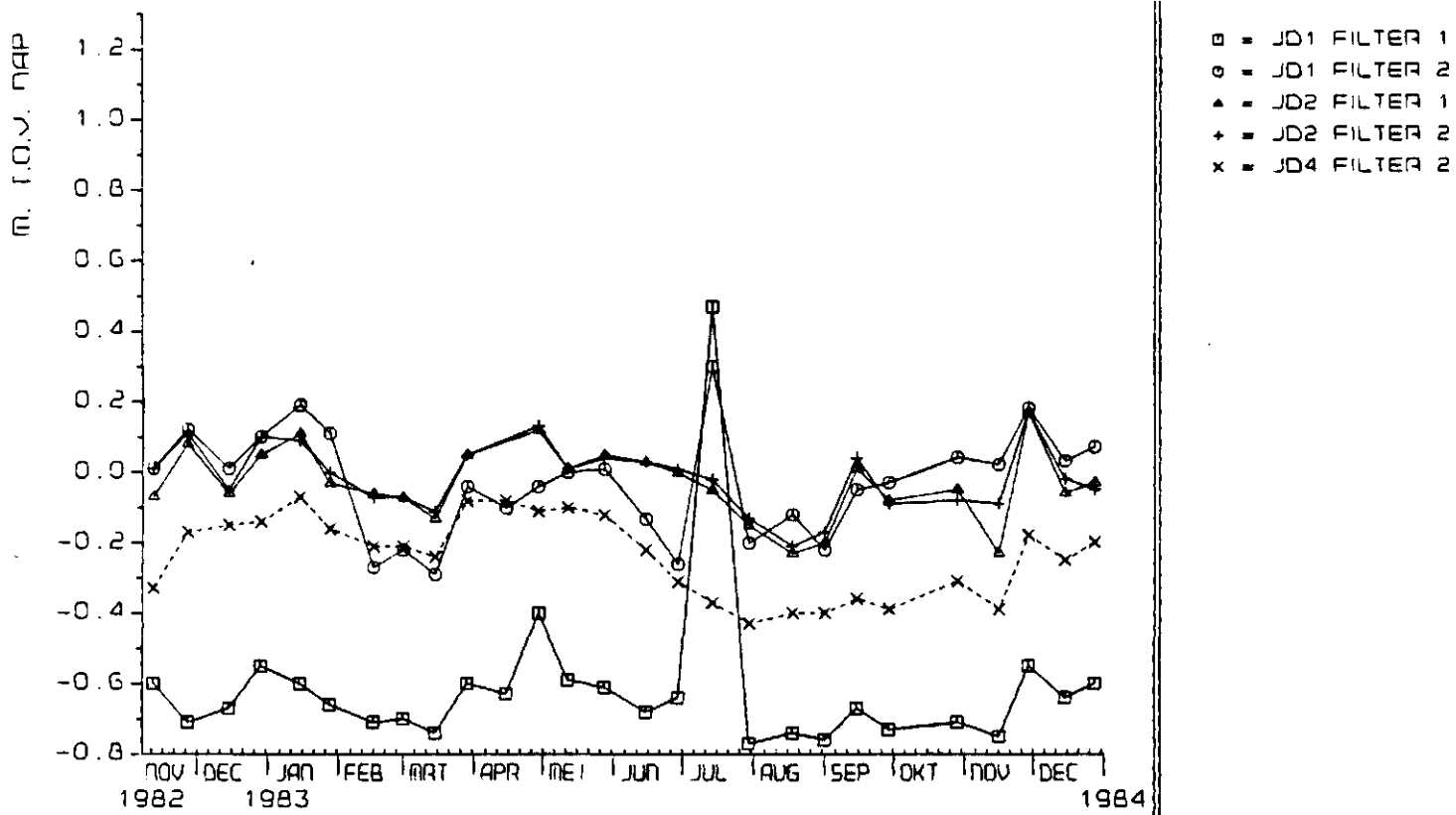
Figuur 54. Verloop van de grondwaterstanden in de landbouwbuizen en een slootpeil in raai H.



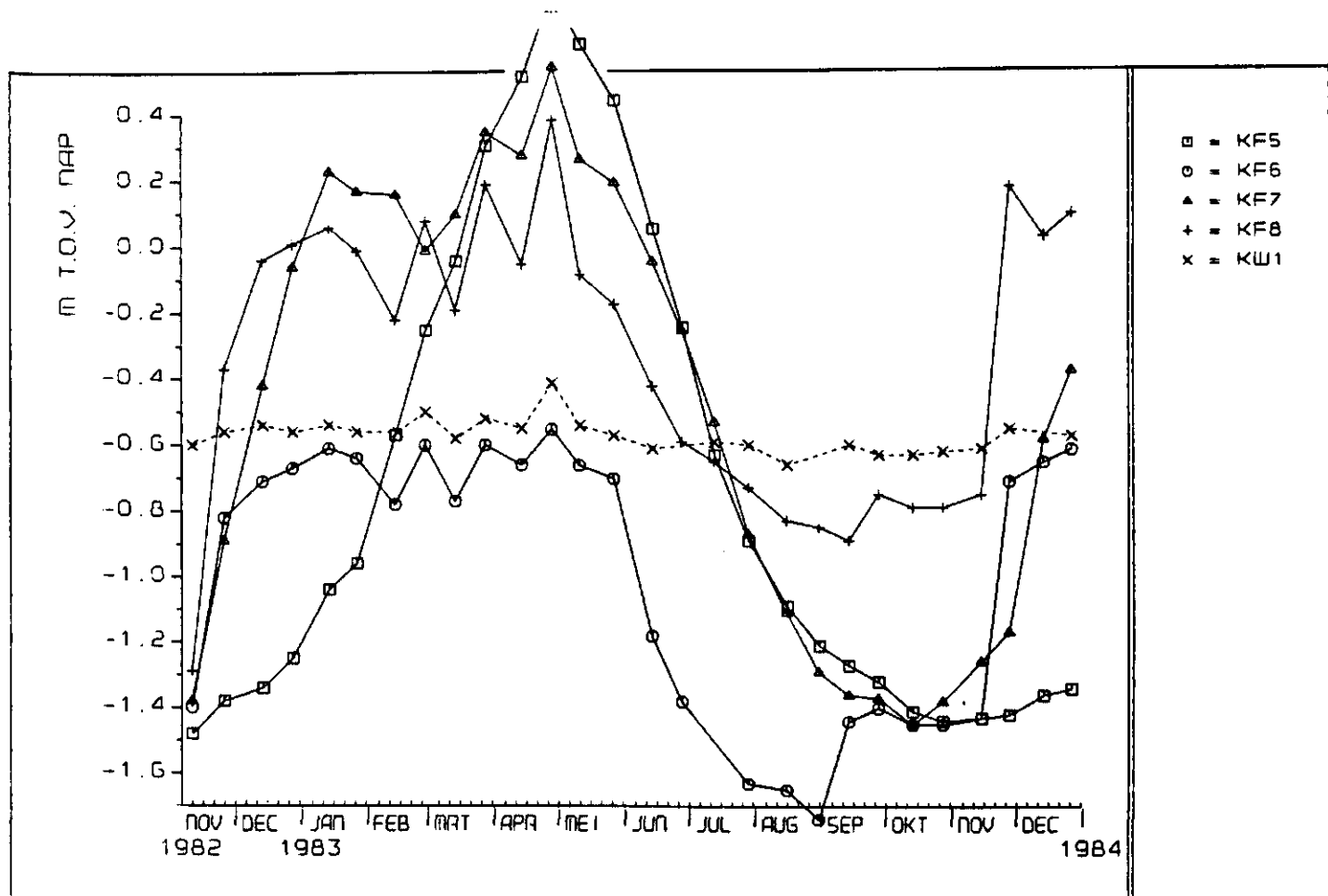
Figuur 55. Verloop van de grondwaterstanden in de landbouwbuizen en een slootpeil in raai J.



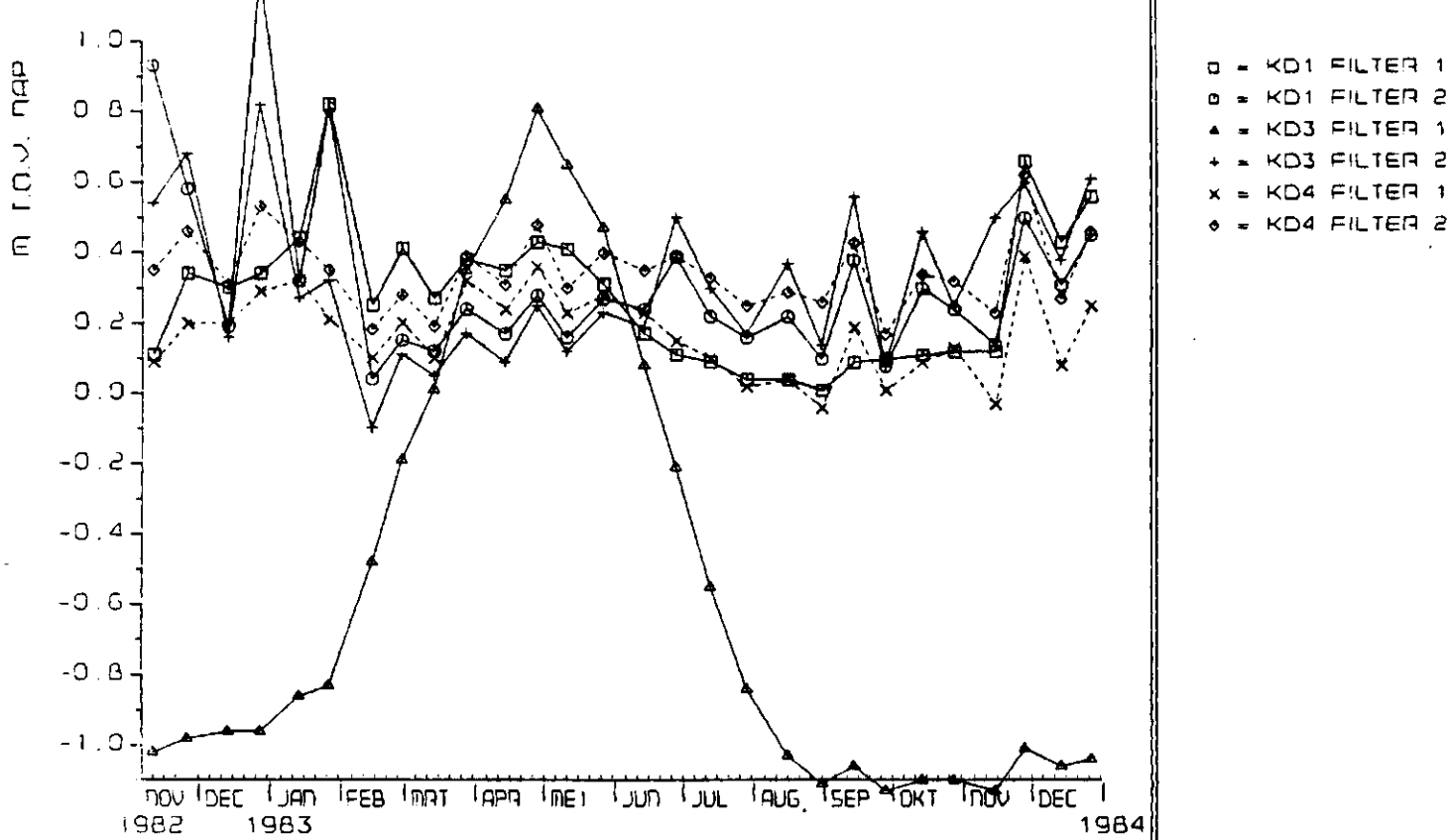
Figuur 56. Verloop van de grondwaterstanden in de landbouwbuizen en een slootpeil in raai J.



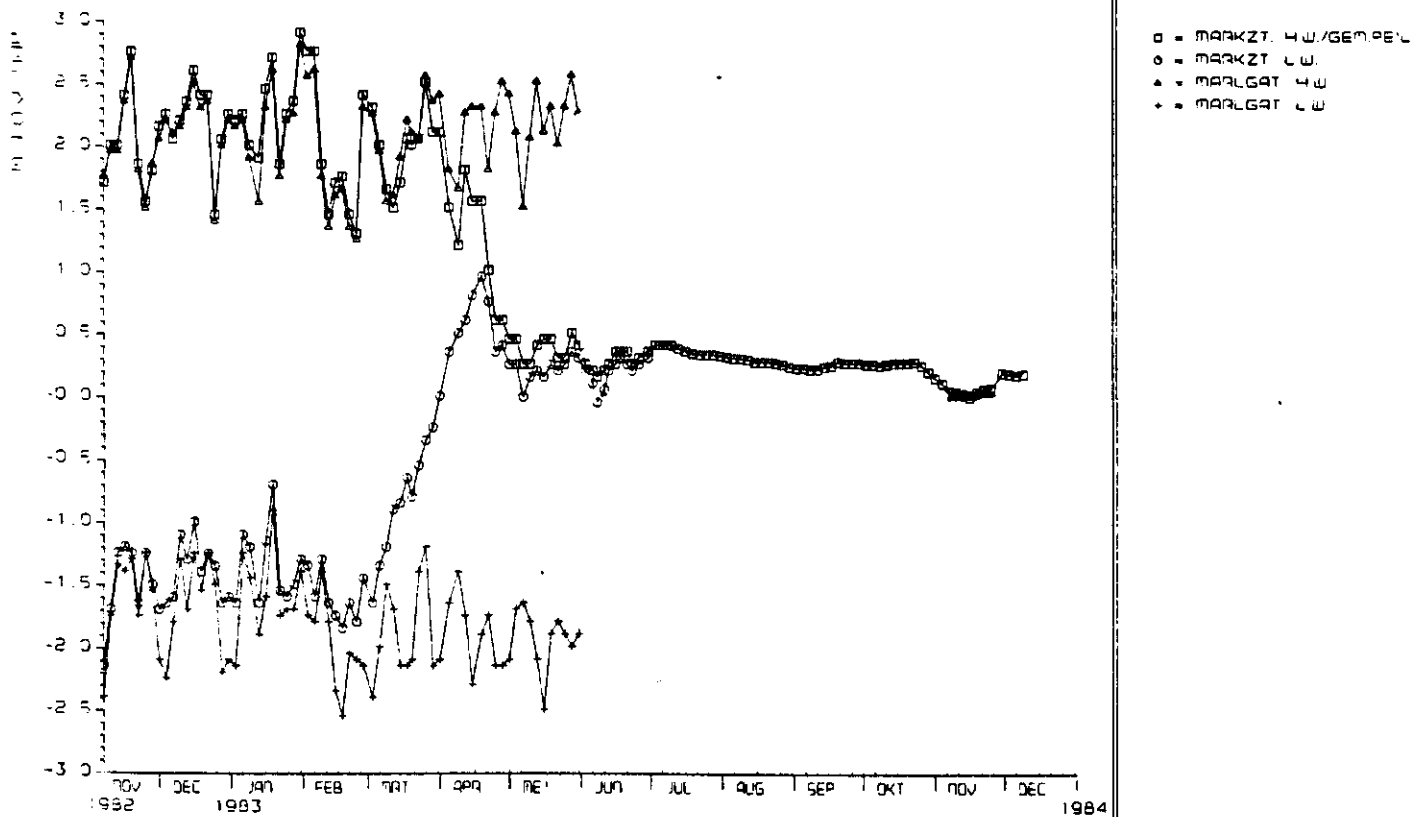
Figuur 57. Verloop van de gecorrigeerde stijghoogtes in de peilputten in raai J.



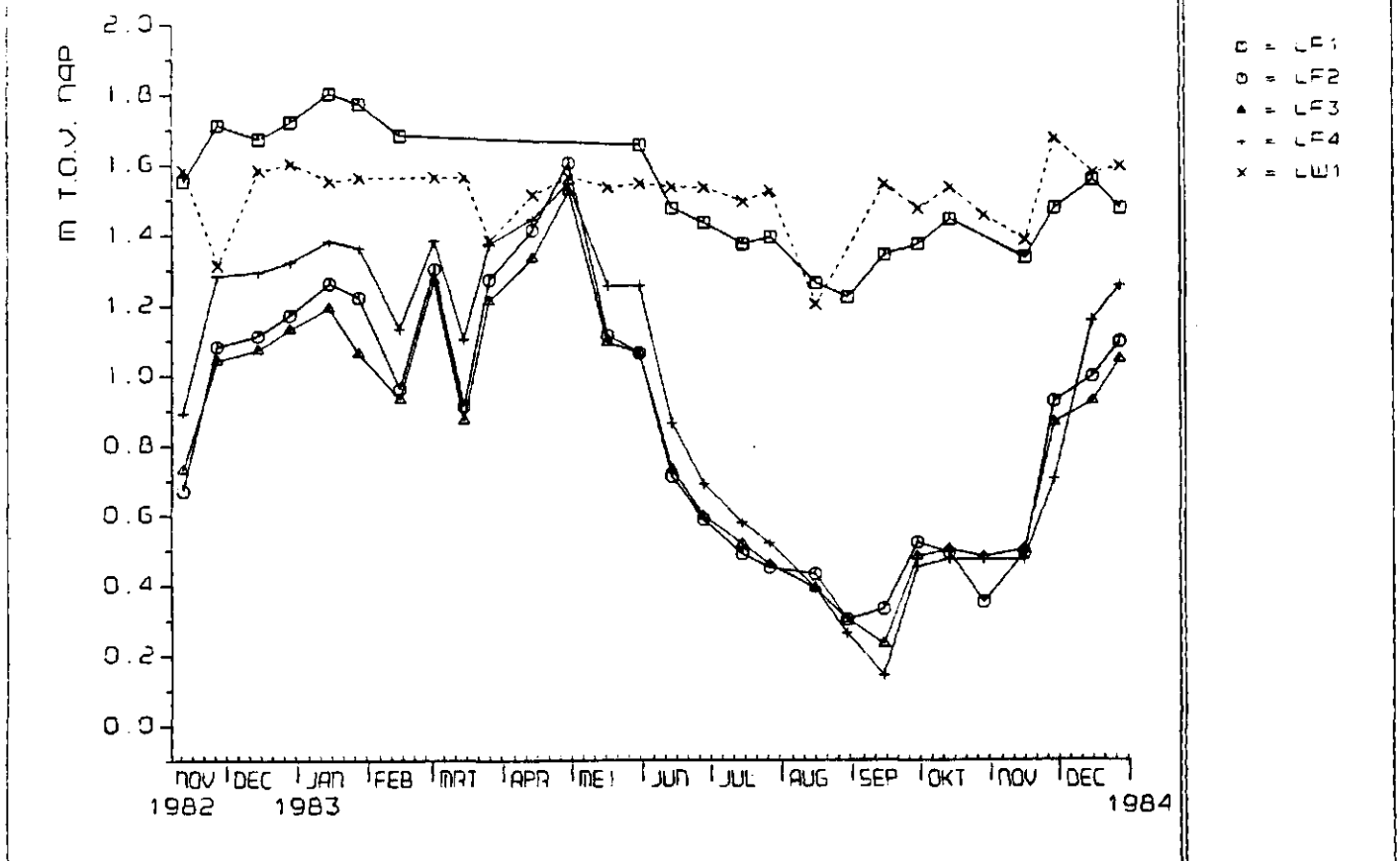
Figuur 58. Verloop van de grondwaterstanden in de landbouwbuizen en een slootpeil in raai K.



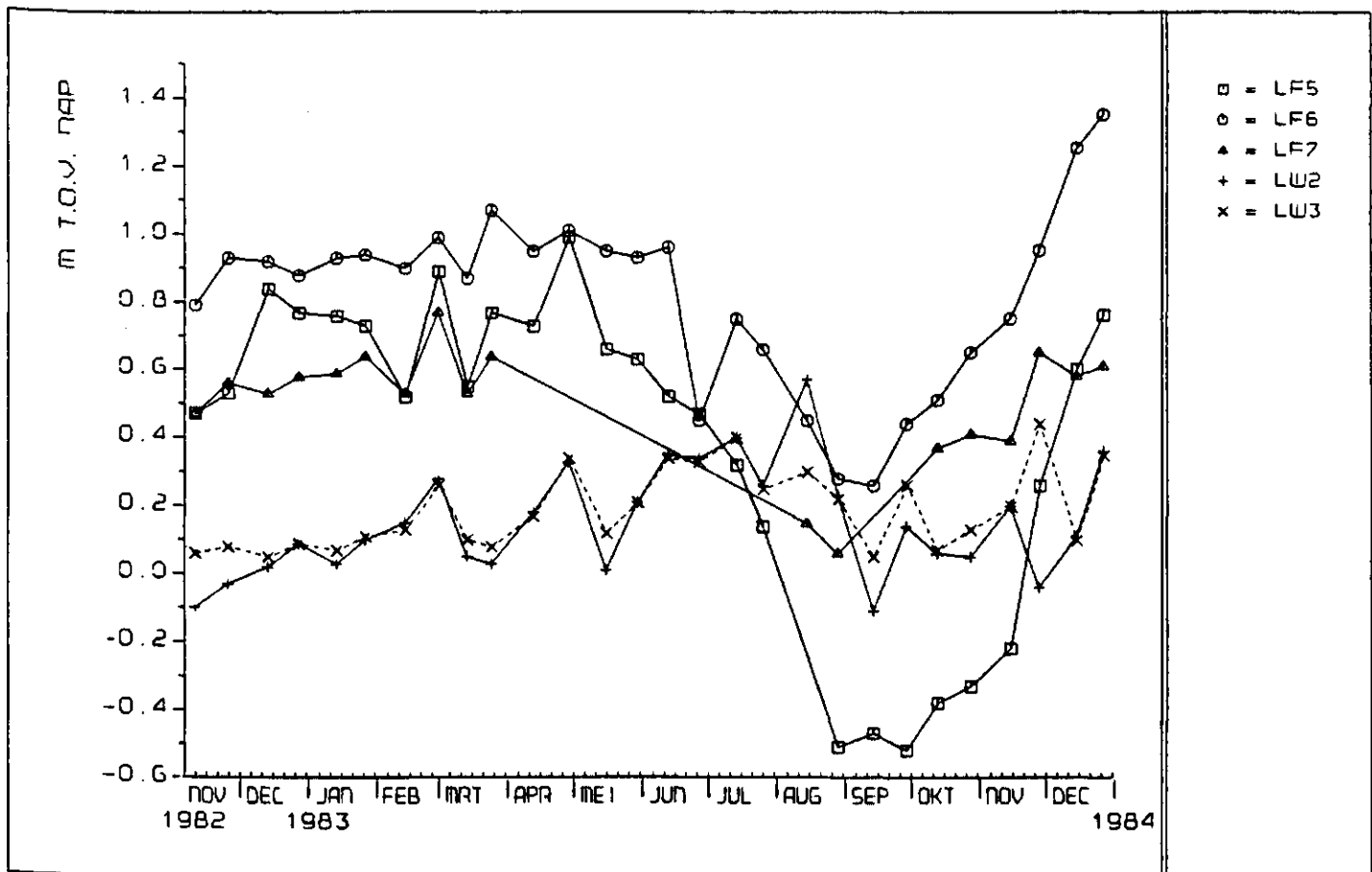
Figuur 59. Verloop van de gecorrigeerde stijghoogtes in de peilputten in raai K.



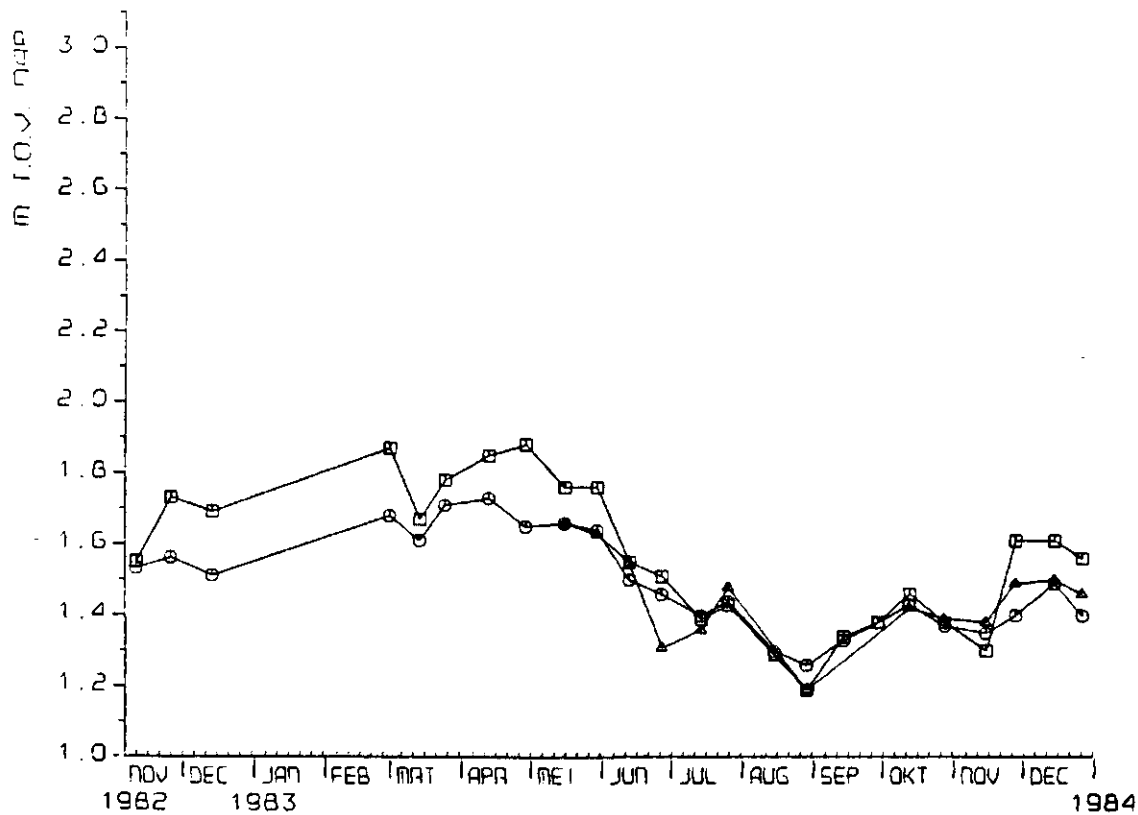
Figuur 60. Getijdenverloop (H.W. en L.W.) gebaseerd op 3-daagse gemiddelden van de getijmetingen in het Marrollegat (Dosterschelde) en het Markiezaatsmeer.



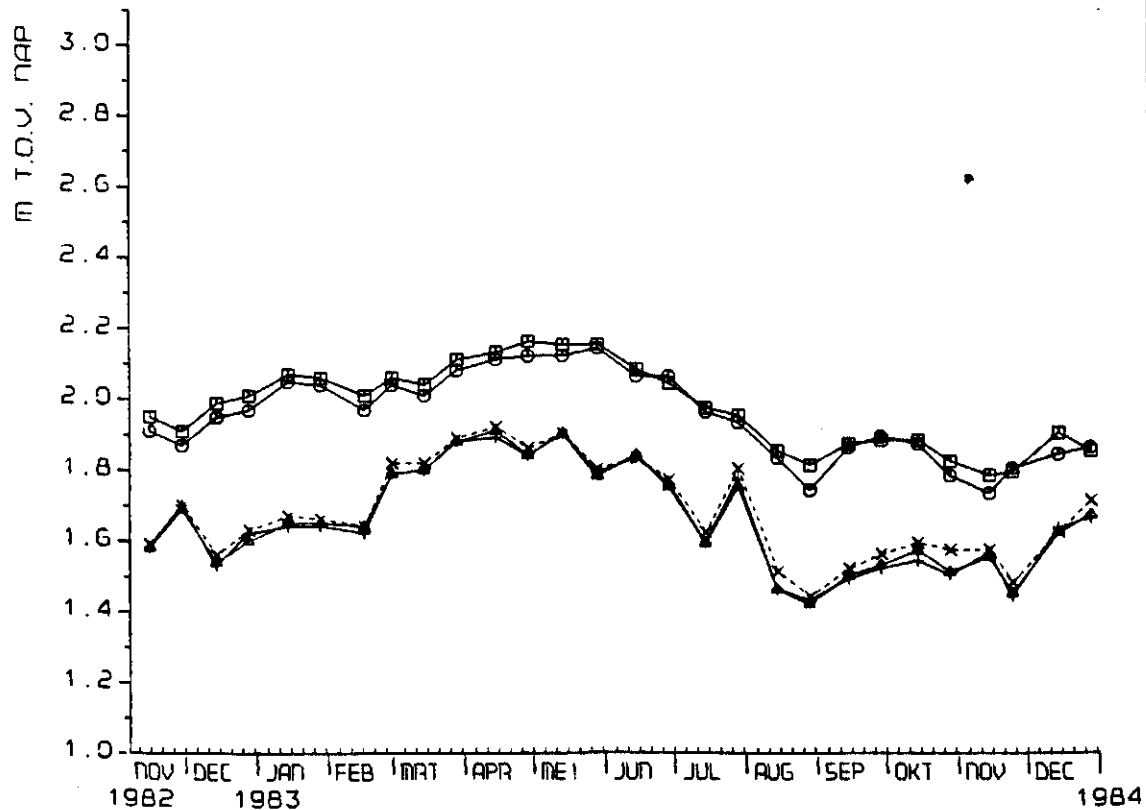
Figuur 61. Verloop van de grondwaterstanden in de landbouwbuizen en een slootpeil in raai L.



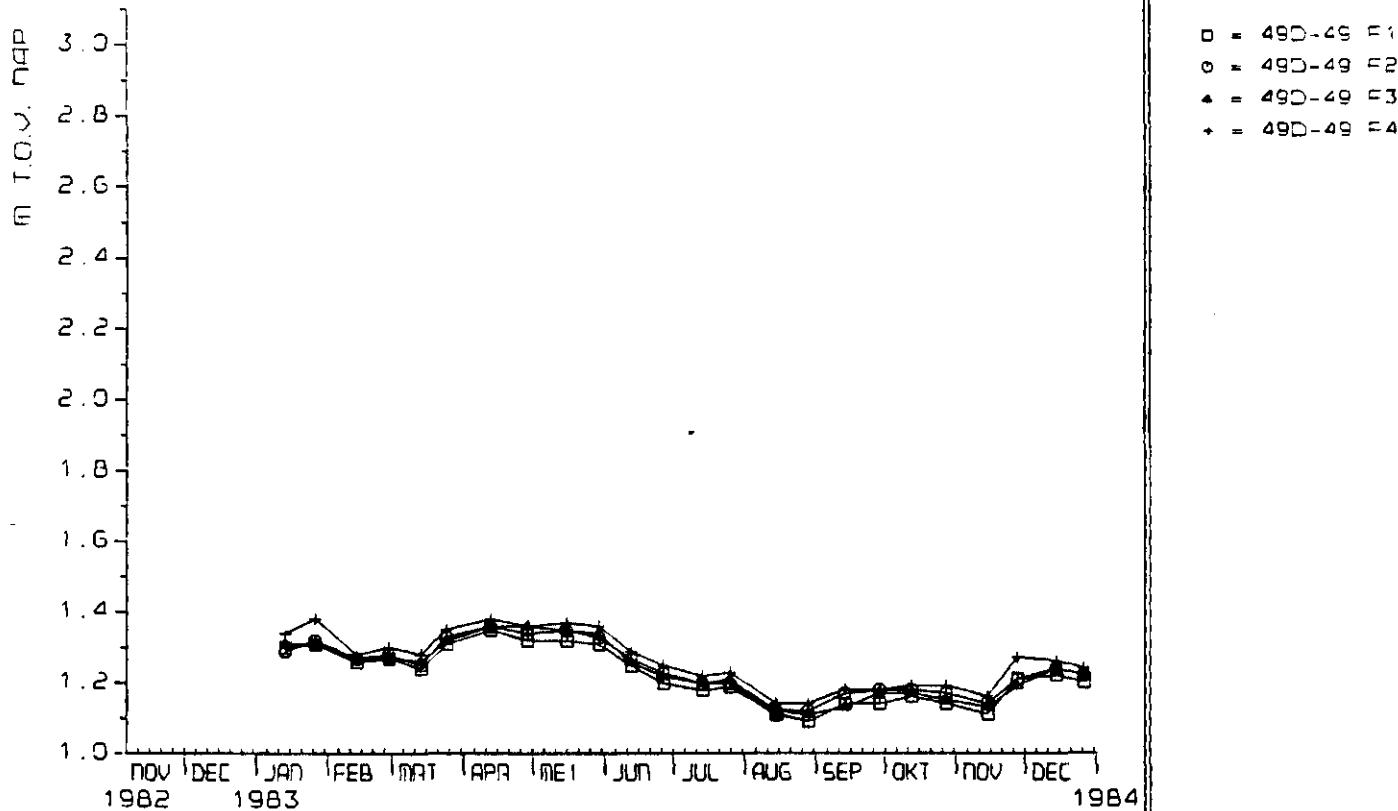
Figuur 62. Verloop van de grondwaterstanden in enkele landbouwbuizen en slootpeilen in raai L.



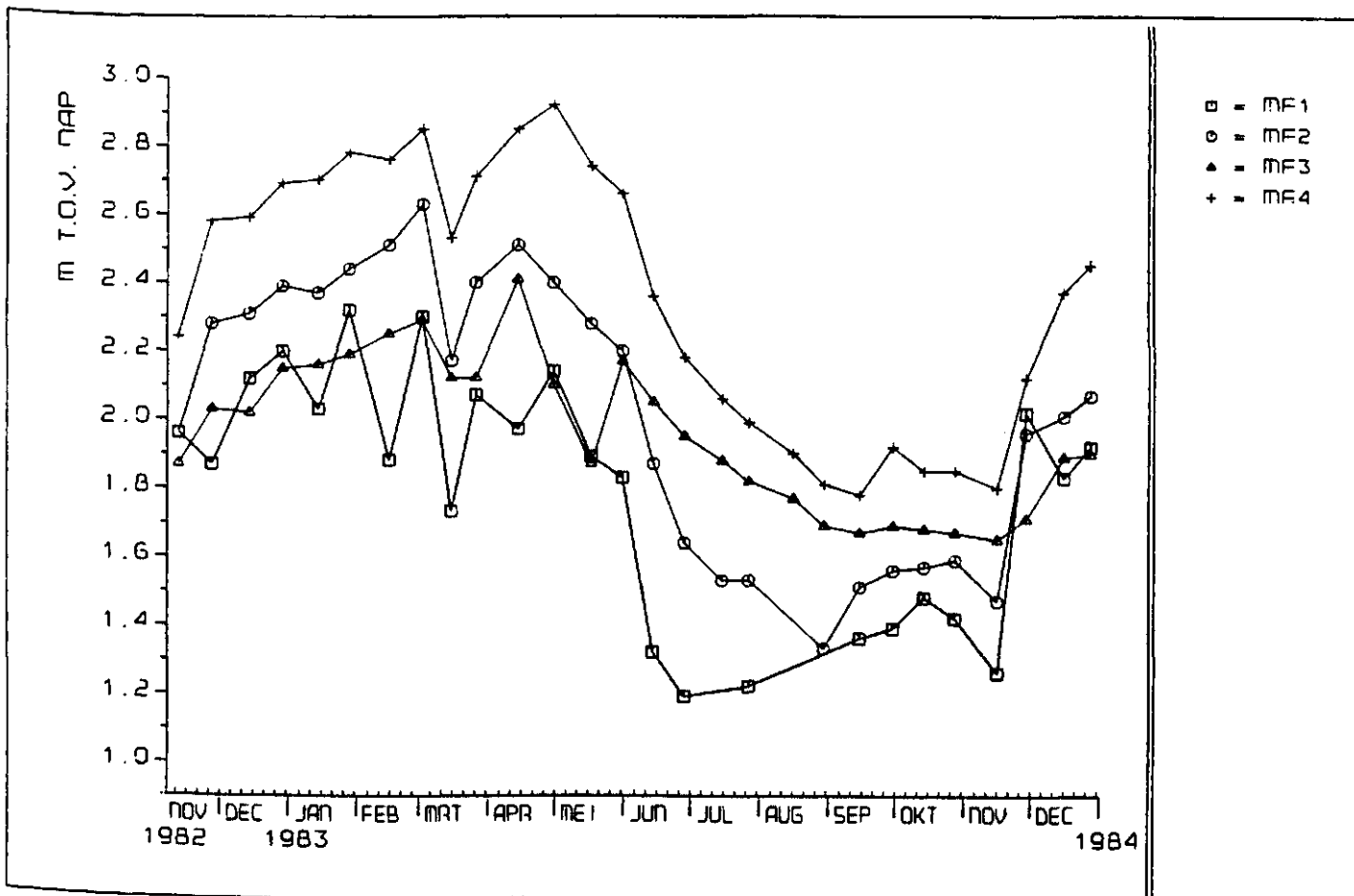
Figuur 63. Verloop van de gecorrigeerde stijghoogtes in de peilputten in raai I.



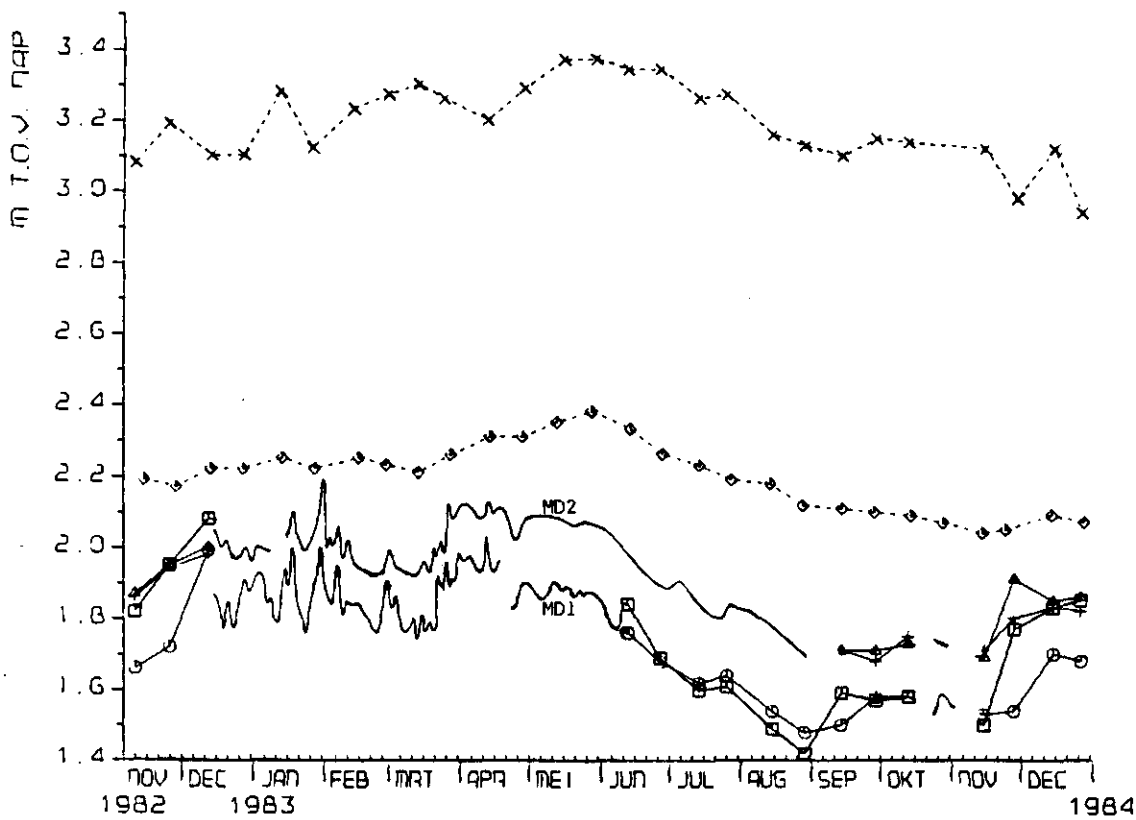
Figuur 64. Verloop van de gecorrigeerde stijghoogtes in peilput 49D-48 in de Augustapolder.



Figuur 65. Verloop van de gecorrigeerde stijghoogtes in peilput 490-49 in de Prins Karelpolder.



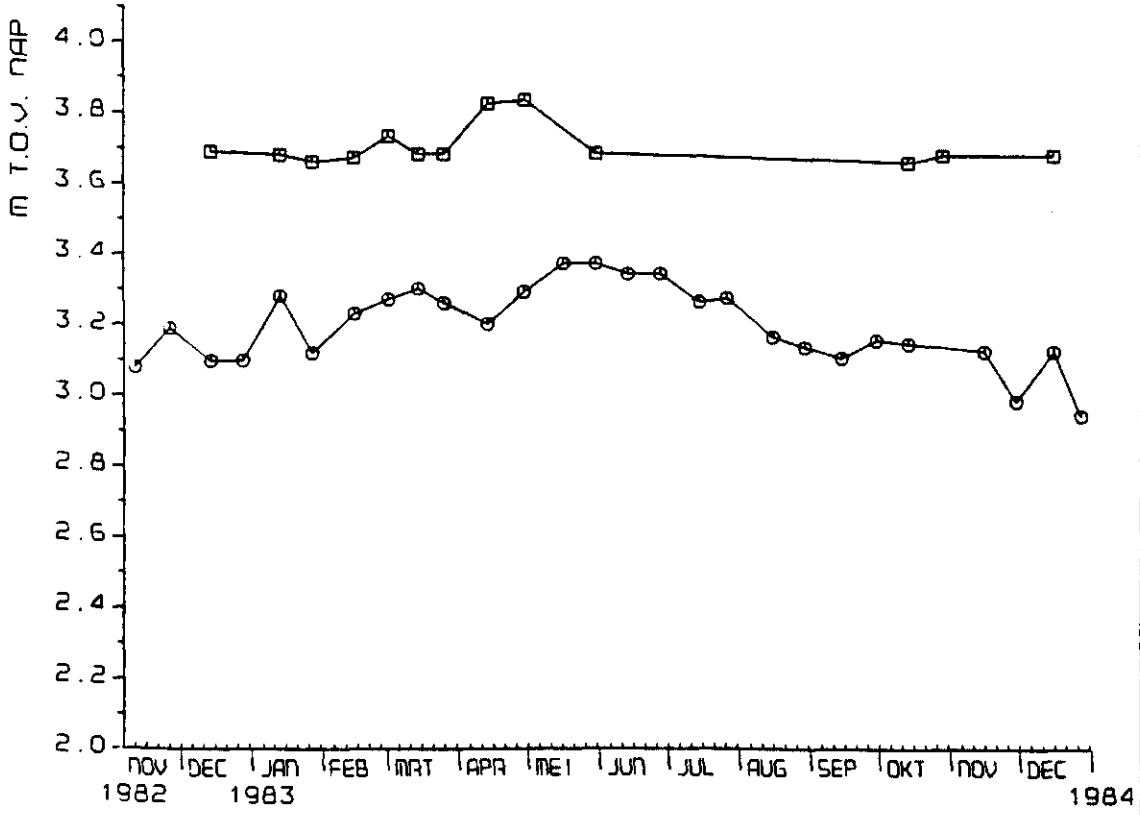
Figuur 66. Verloop van de grondwaterstanden in de landbouwbuizen in raai M.



- = MD1 FILTER1
- = MD1 FILTER2
- ▲ = MD2 FILTER1
- + = MD2 FILTER2
- x = MD3 FILTER2
- ◇ = WMZ 38 FILTER1

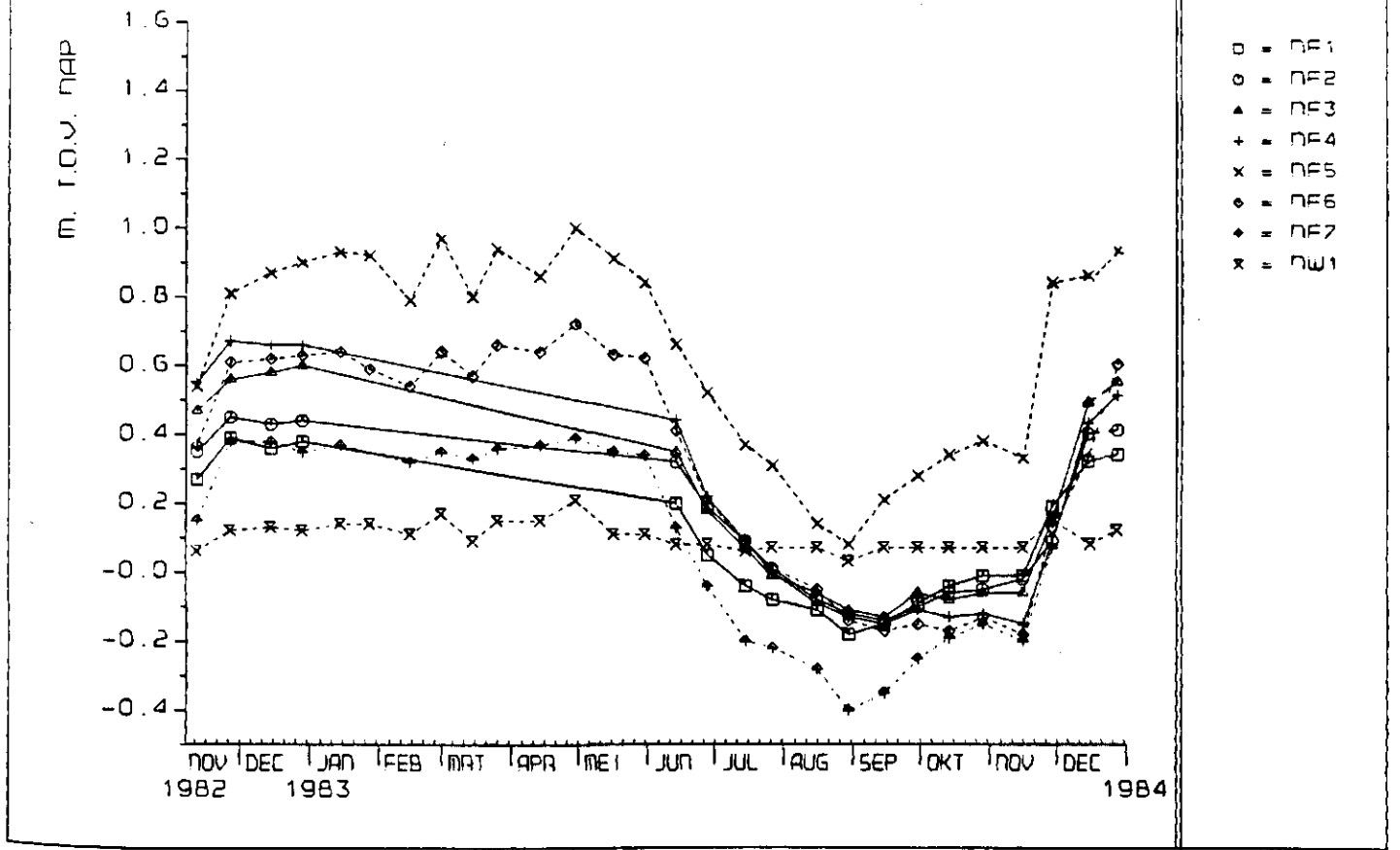
automatische registratie
 MD2 filter 2
 MD1 filter 2

Figuur 67. Verloop van de gecorrigeerde stijghoogte van de zowel uit handpeilingen als uit automatische registraties verkregen waterstanden in raai M.

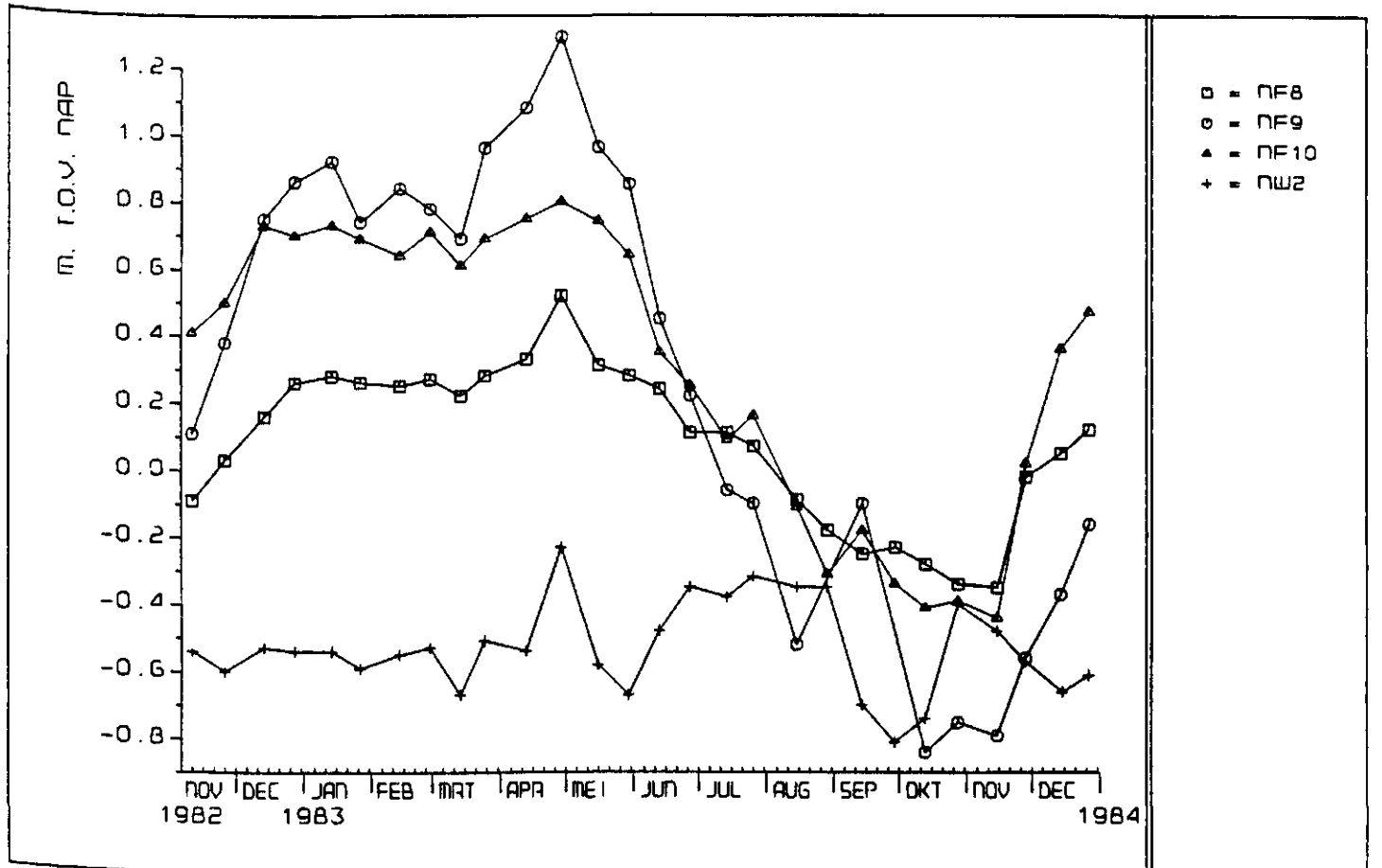


- = MD3 FILTER1
- = MD3 FILTER2

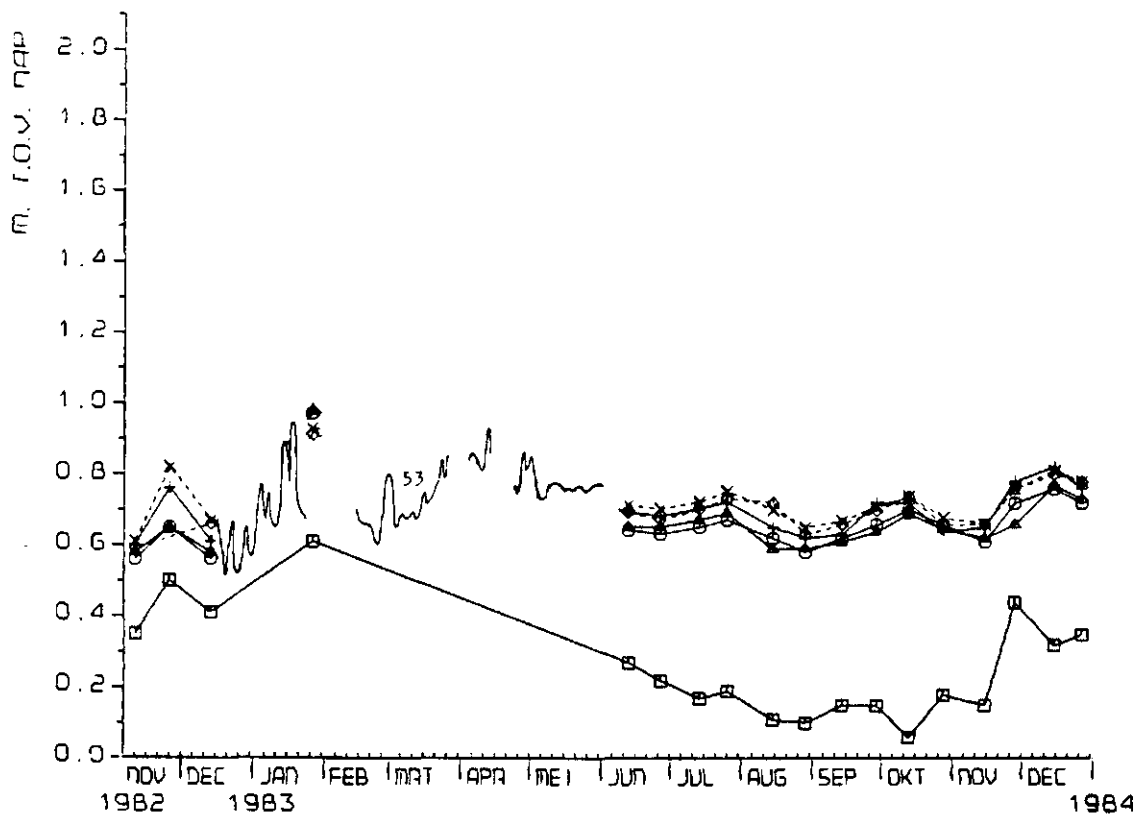
Figuur 68. Verloop van de gecorrigeerde stijghoogtes in peilput MD3.



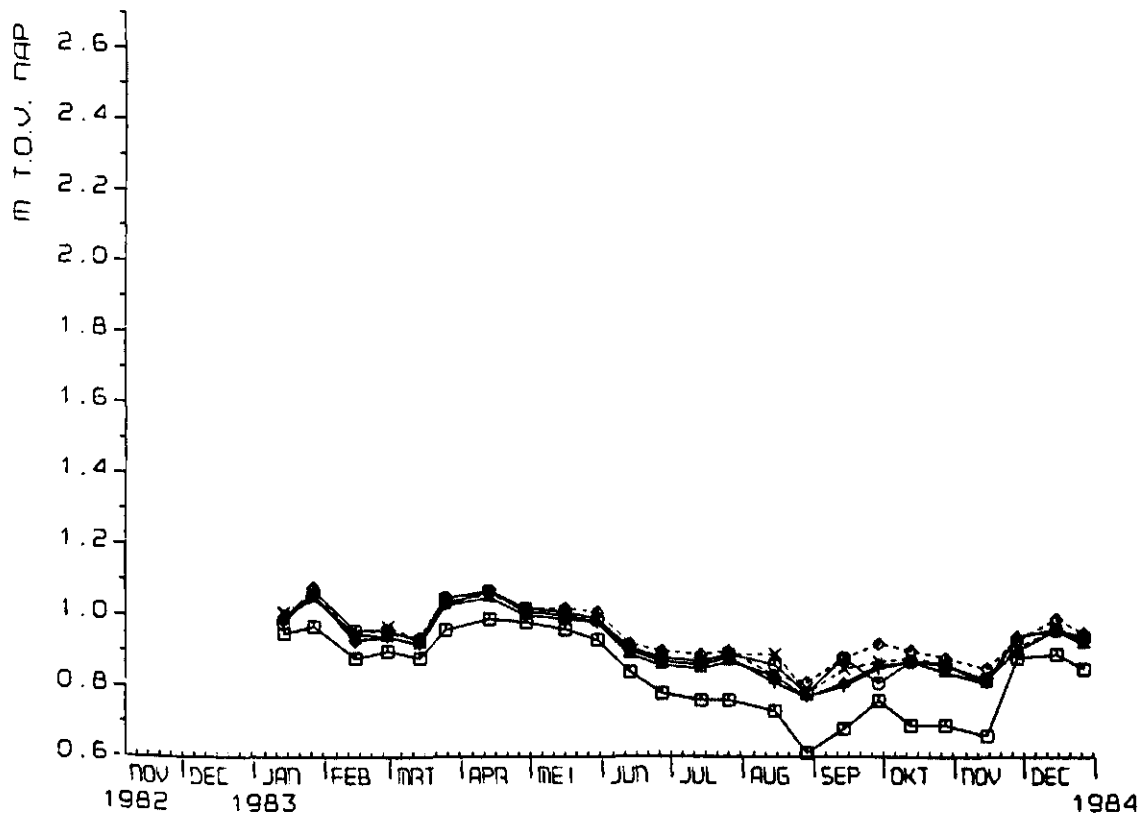
Figuur 69. Verloop van de grondwaterstanden in de landbouwbuizen en een slootpeil in raai N.



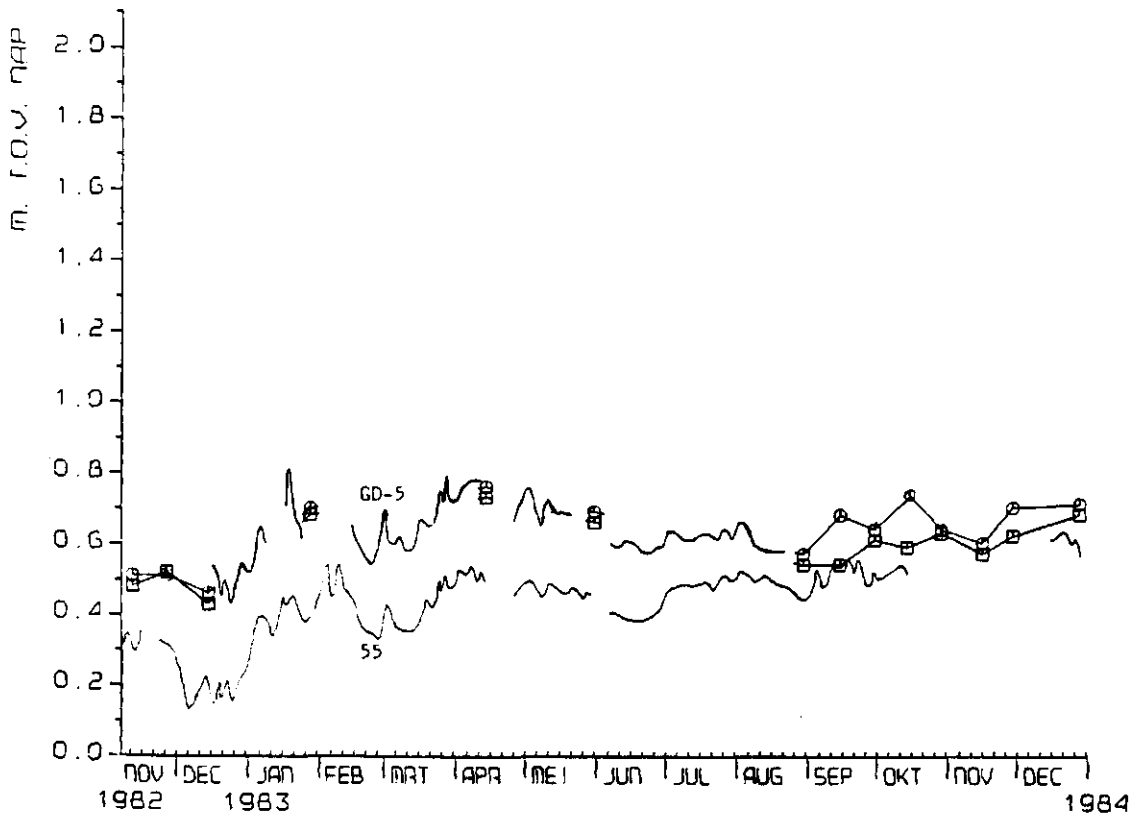
Figuur 70. Verloop van de grondwaterstanden in enkele landbouwbuizen en een slootpeil in raai N.



figuur 71. Verloop van de gecorrigeerde stijghoogten van de zowel uit handpeilingen als uit automatische registraties verkregen waterstanden in peilput 53.



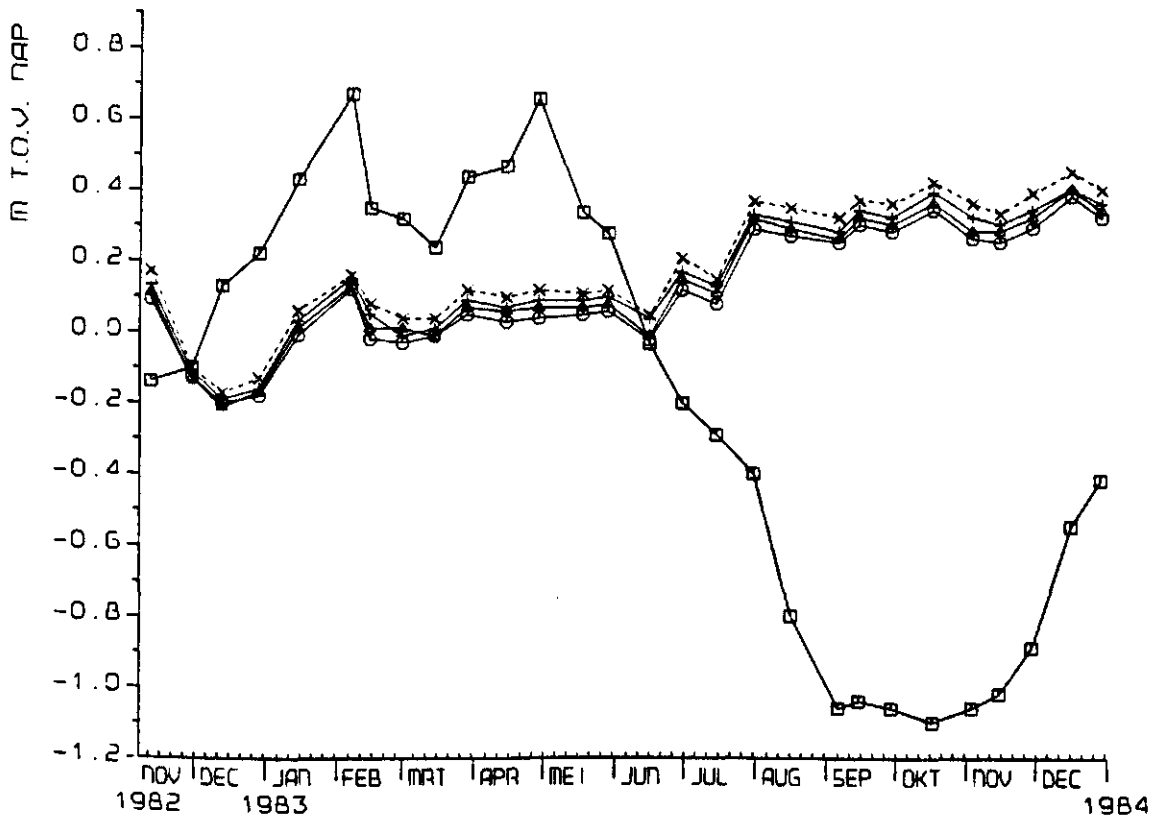
figuur 72. Verloop van de gecorrigeerde stijghoogtes in peilput 54.

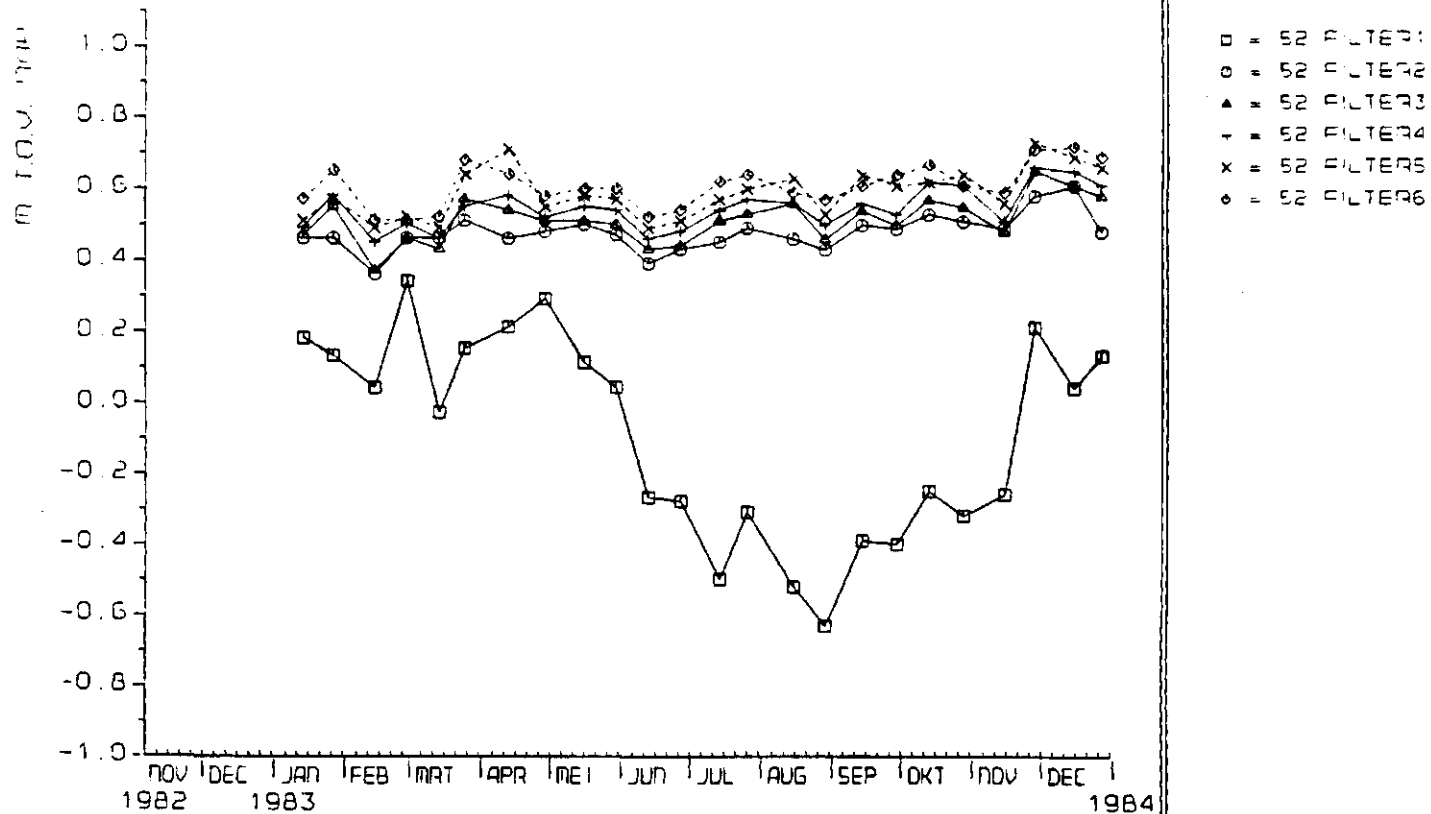


□ = GD-5 FILTER 1
○ = GD-5 FILTER 2

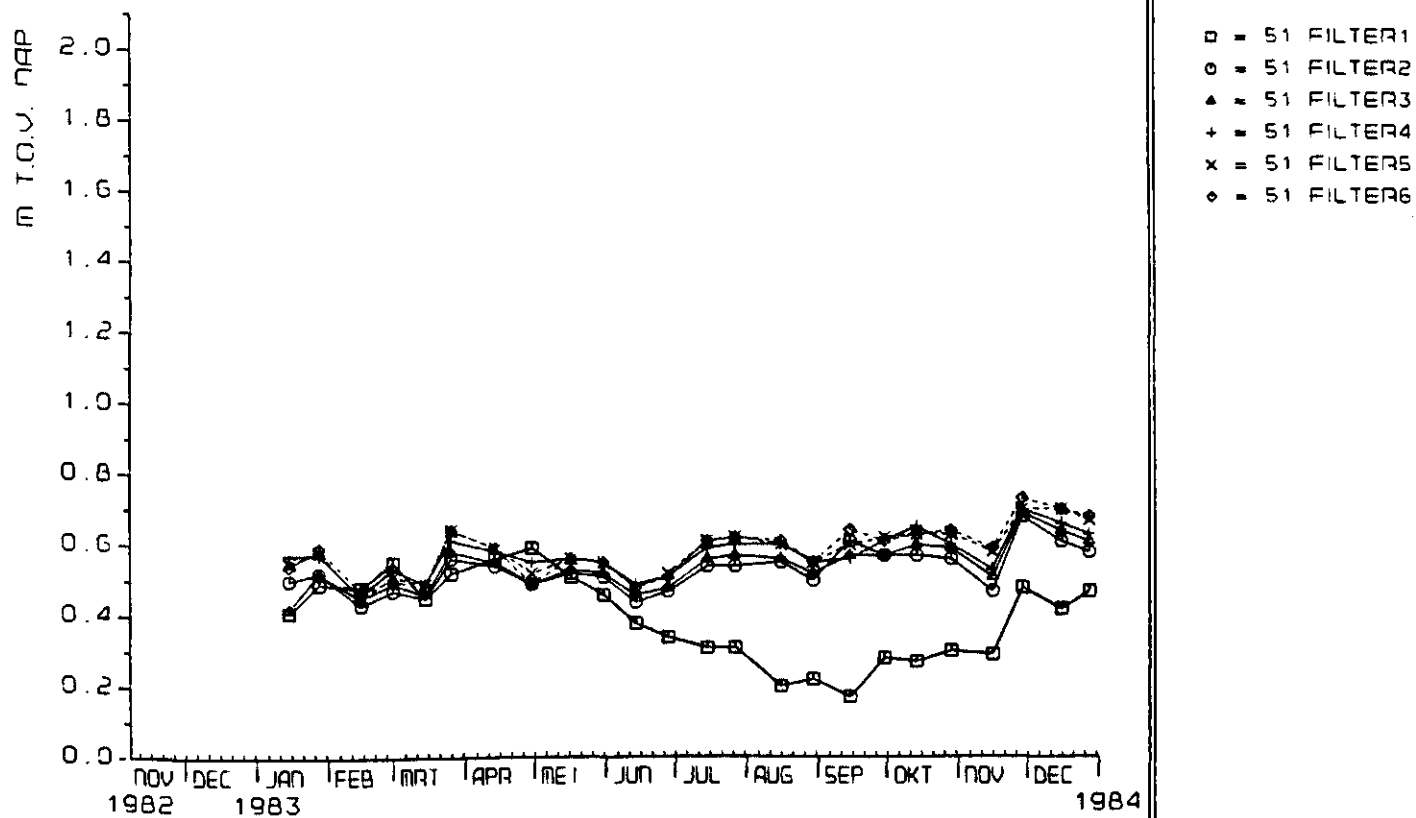
automatische registratie
GD-5 filter 1
55 filter 2

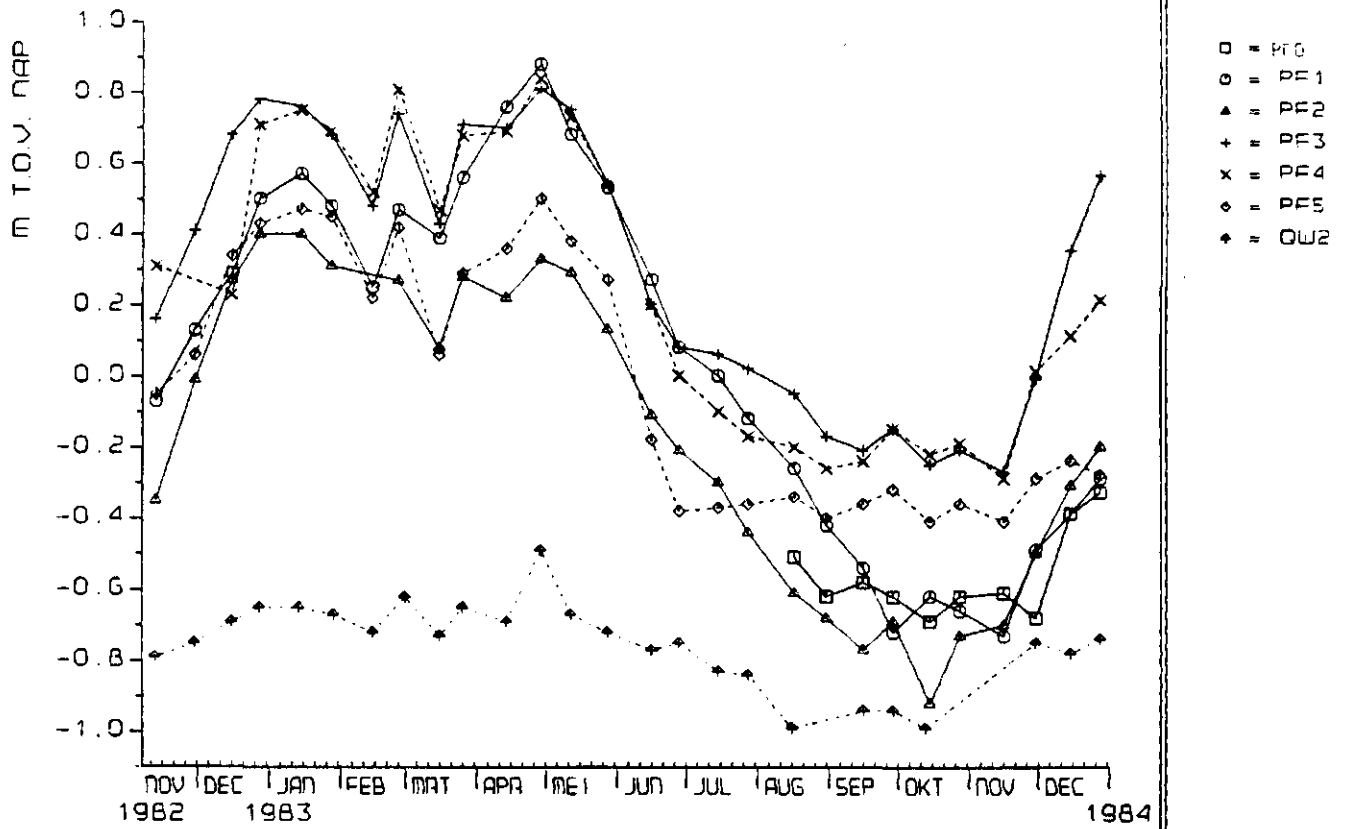
figuur 73. Verloop van de gecorrigeerde stijghoogten van de zowel uit handpeilingen als uit automatische registraties verkregen waterstanden in de peilputten GD-5 en 55.



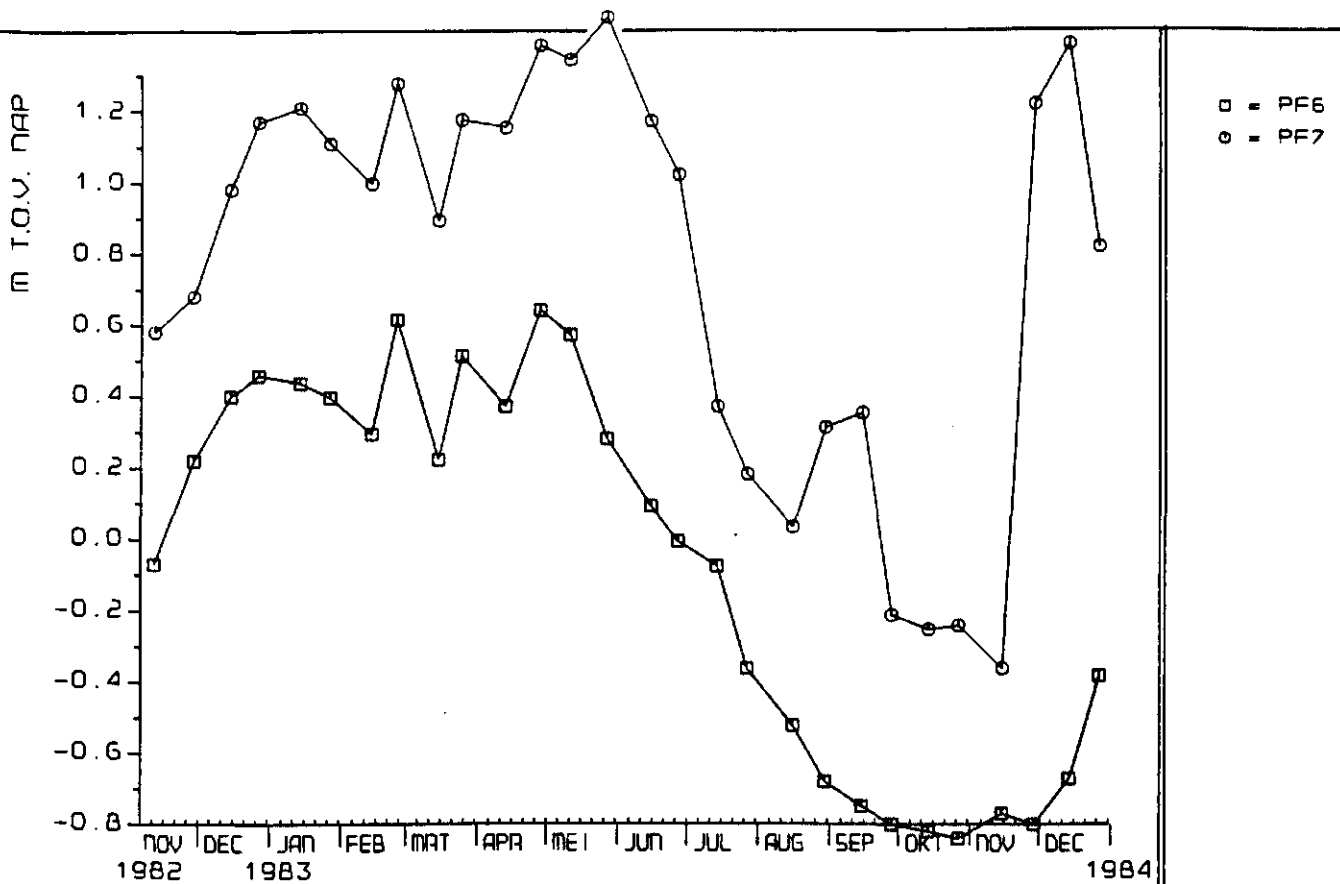


figuur 75. Verloop van de gecorrigeerde stijghoogtes in peilput 52.





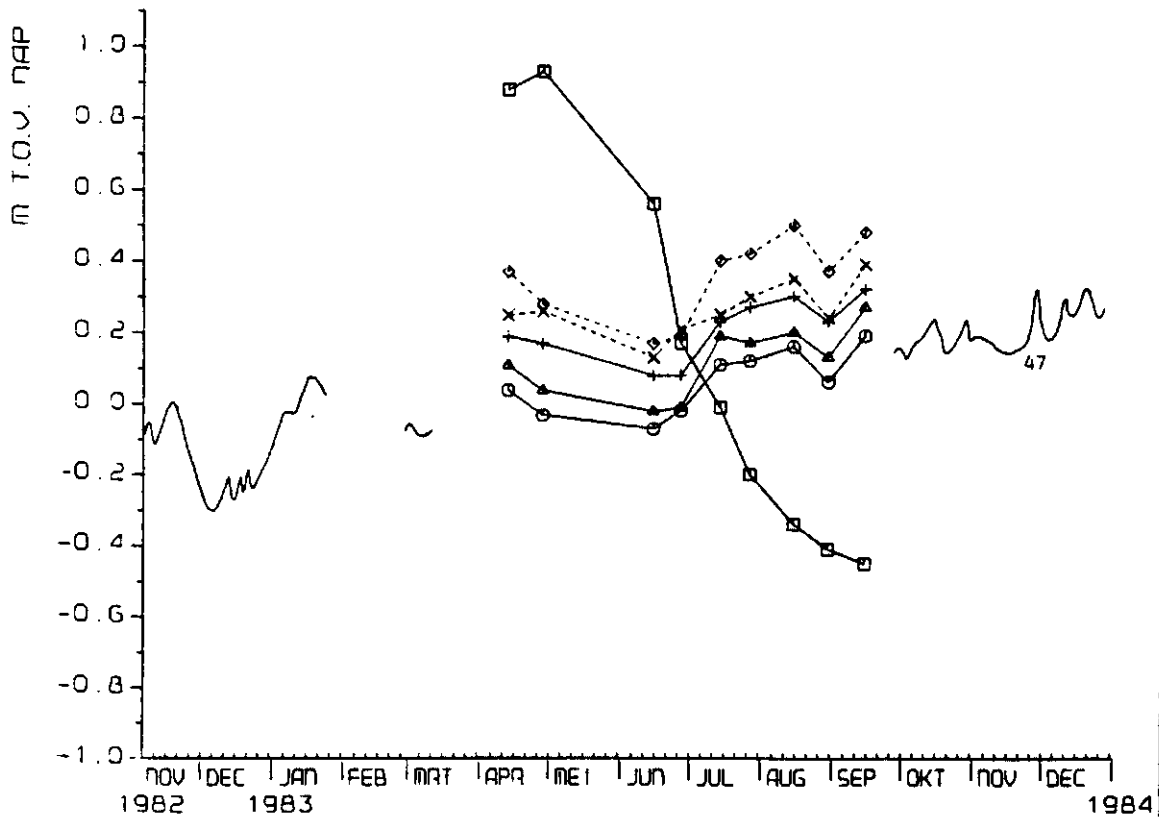
Figuur 77. Verloop van de grondwaterstanden in de landbouwbuizen en een slootpeil in raai P.





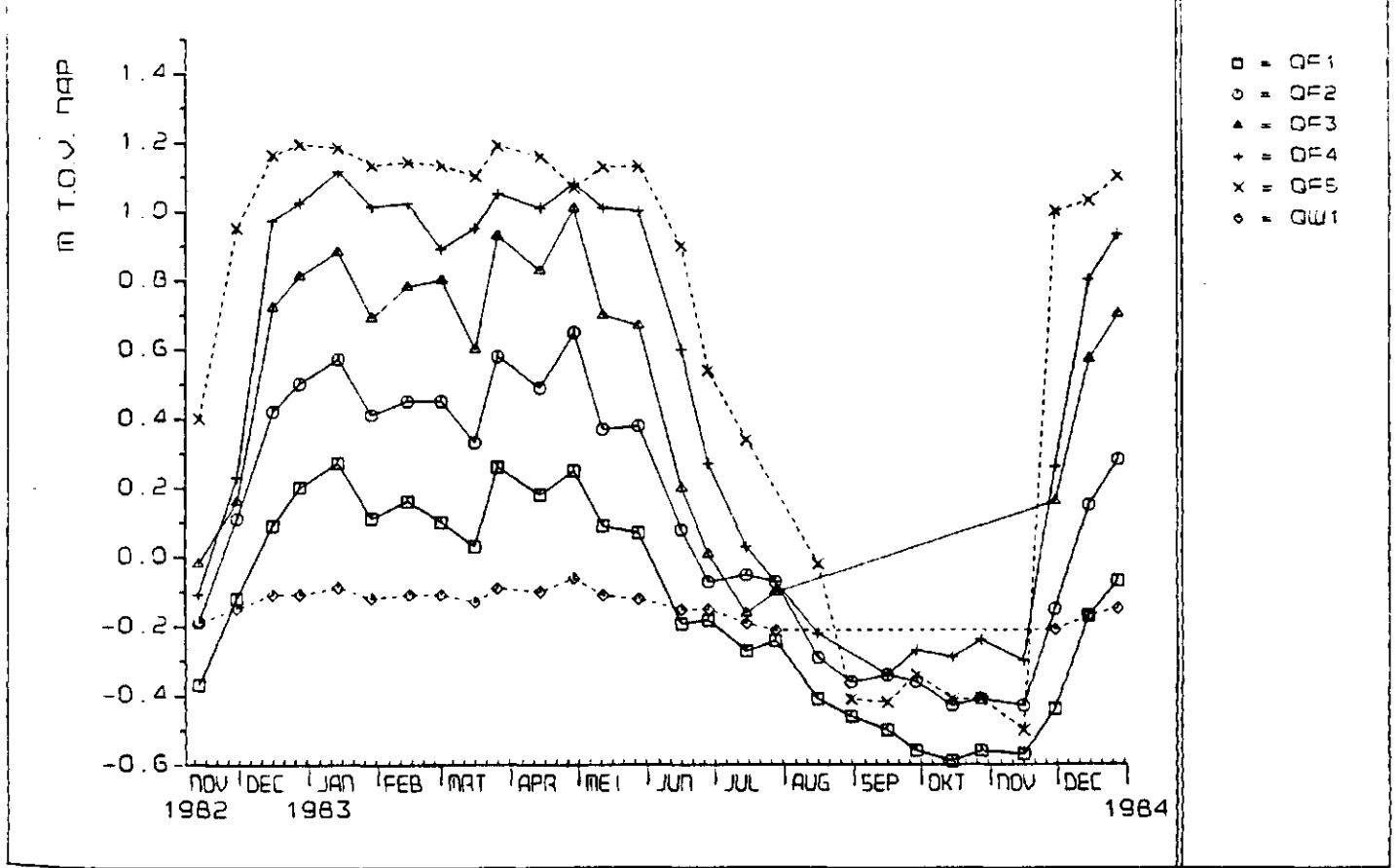
- = PD1 FILTER
- = PD2 FILTER
- ▲ = GLVS FILTER
- + = GLVS FILTER

Figuur 79. Verloop van de gecorrigeerde stijghoogtes in de peilputten in raai P.

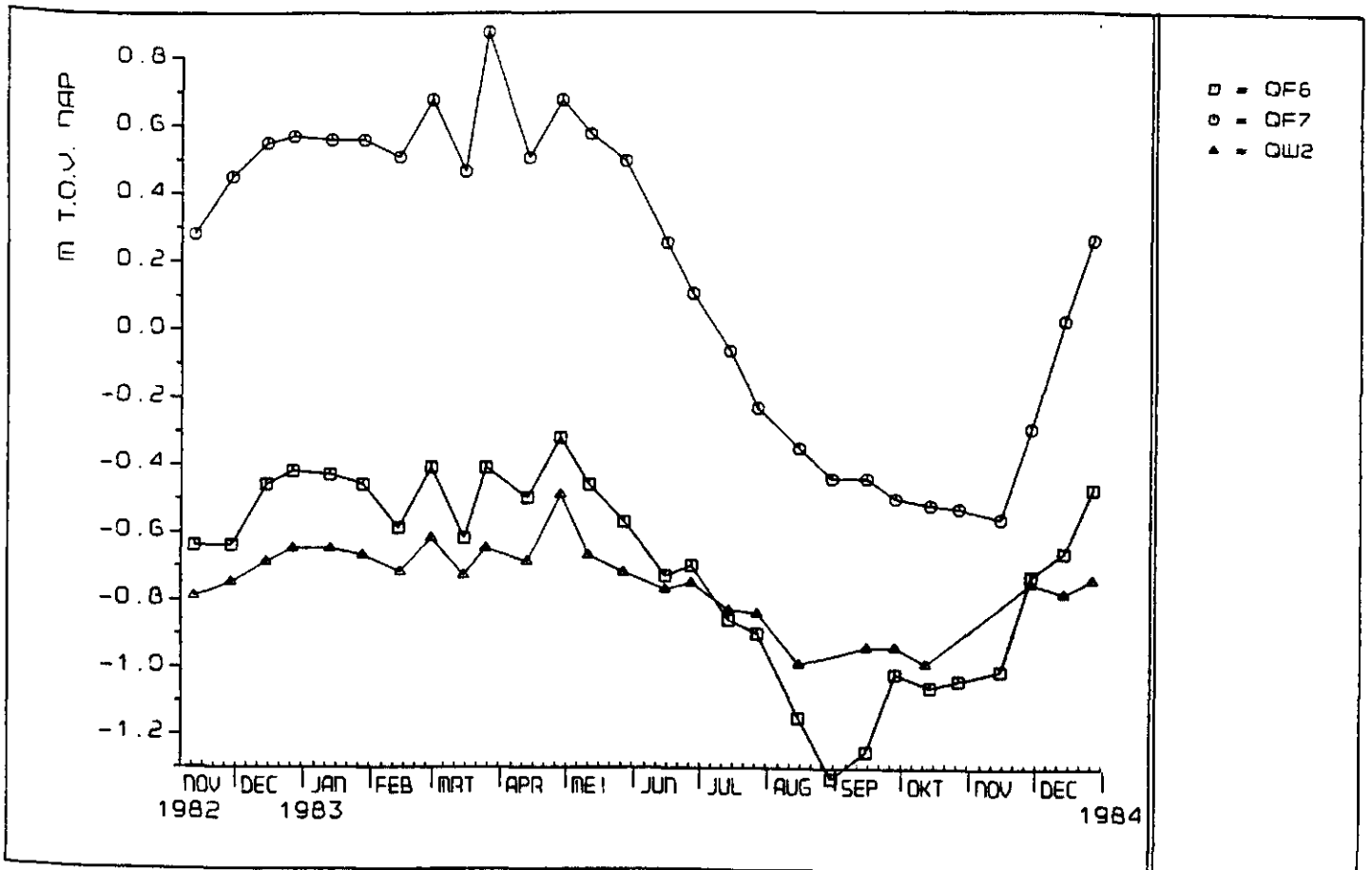


- = 47 FILTER1
- = 47 FILTER2
- ▲ = 47 FILTER3
- + = 47 FILTER4
- x = 47 FILTER5
- ◇ = 47 FILTER6

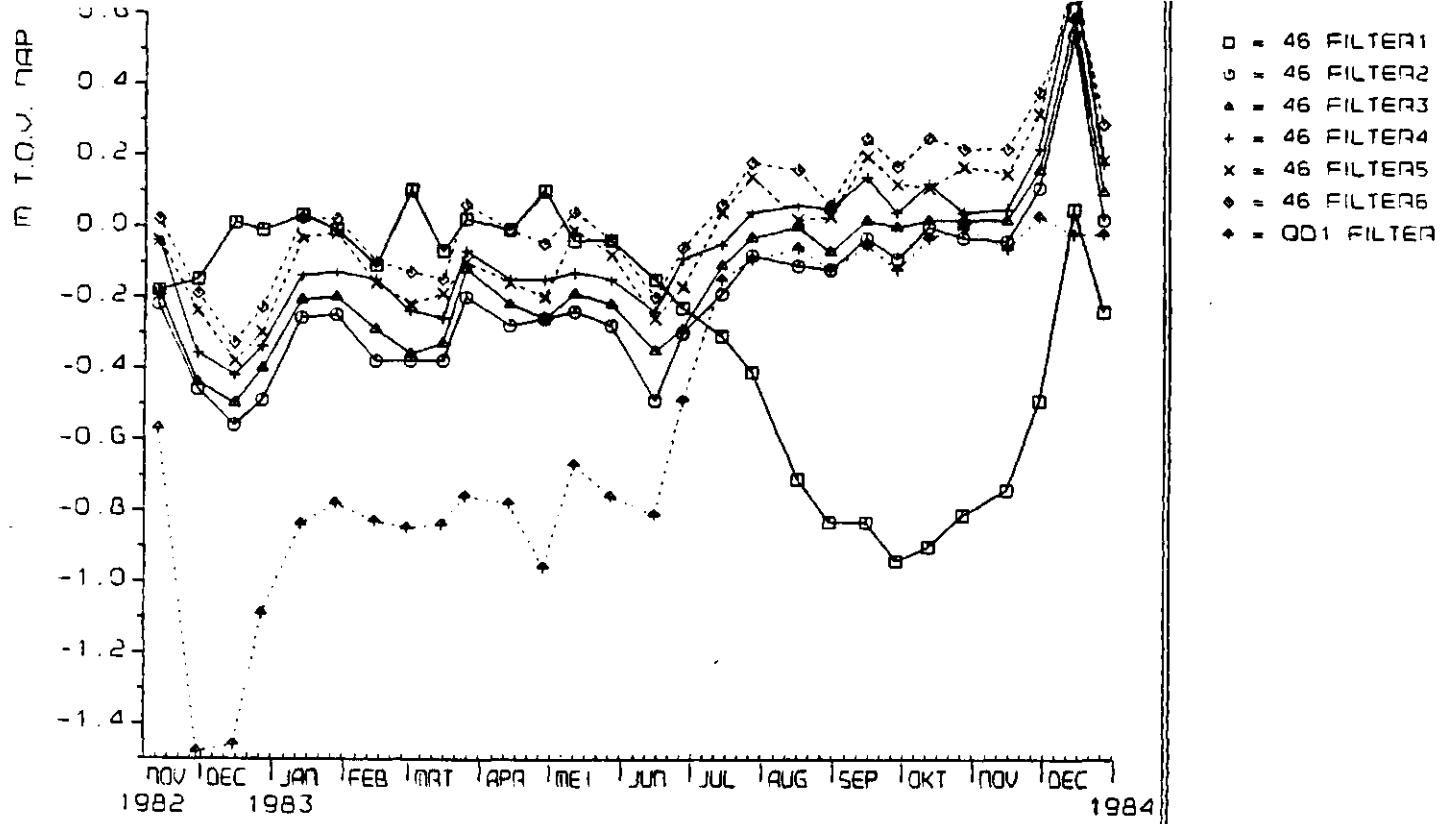
automatische registratie
47 filter2



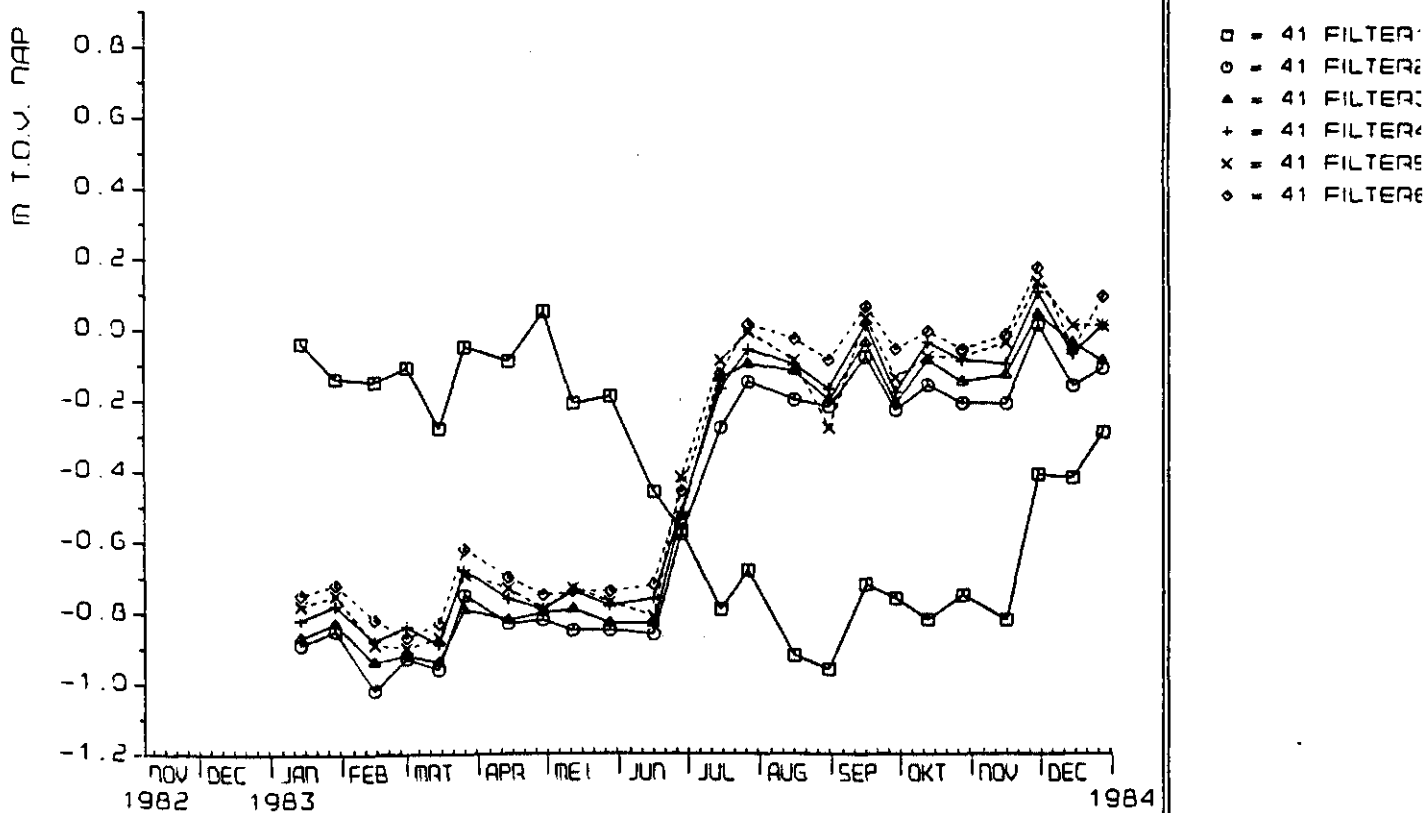
Figuur 81. Verloop van de grondwaterstanden in de landbouwbuizen en een slootpeil in raai Q.



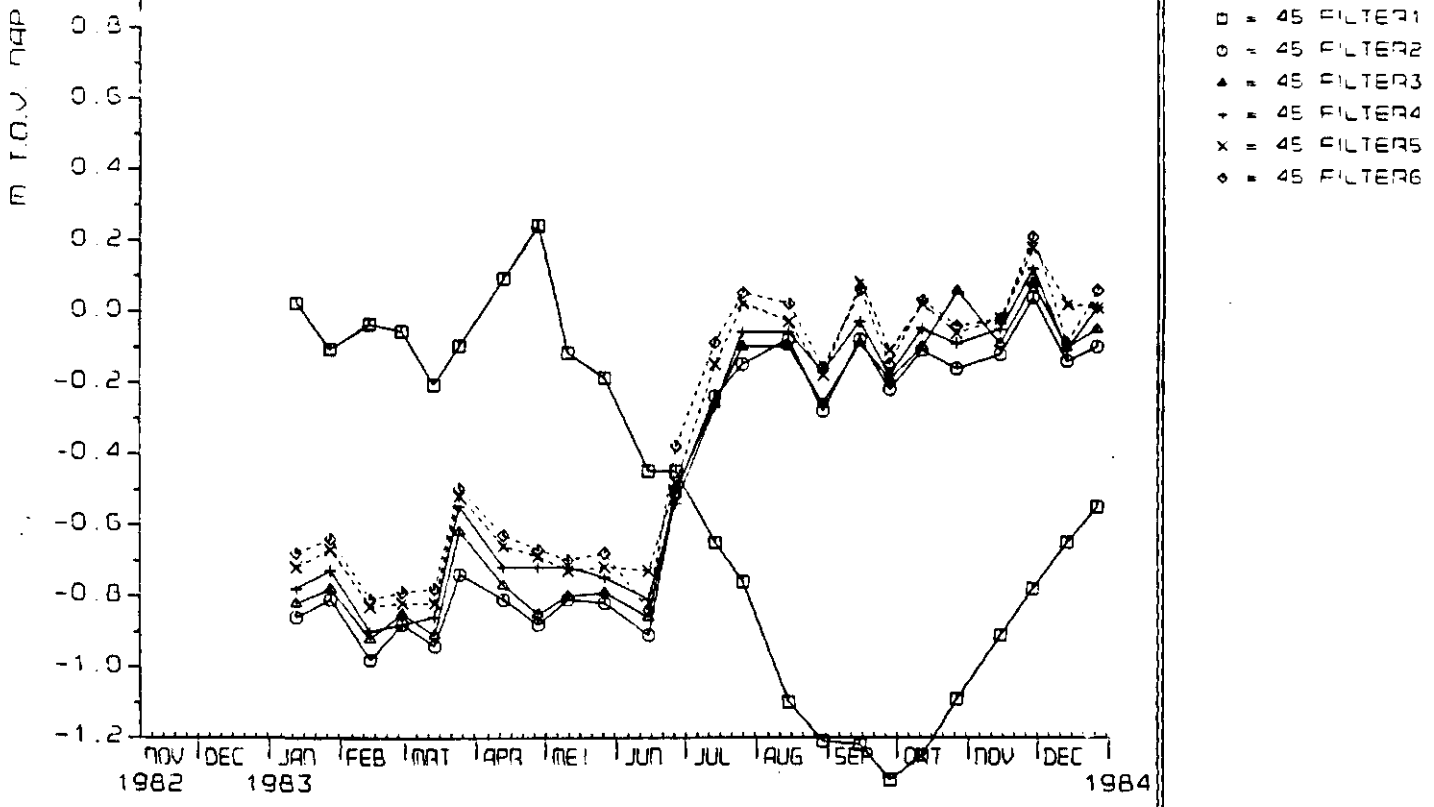
Figuur 82. Verloop van de grondwaterstanden in enkele landbouwbuizen en een slootpeil in raai Q.



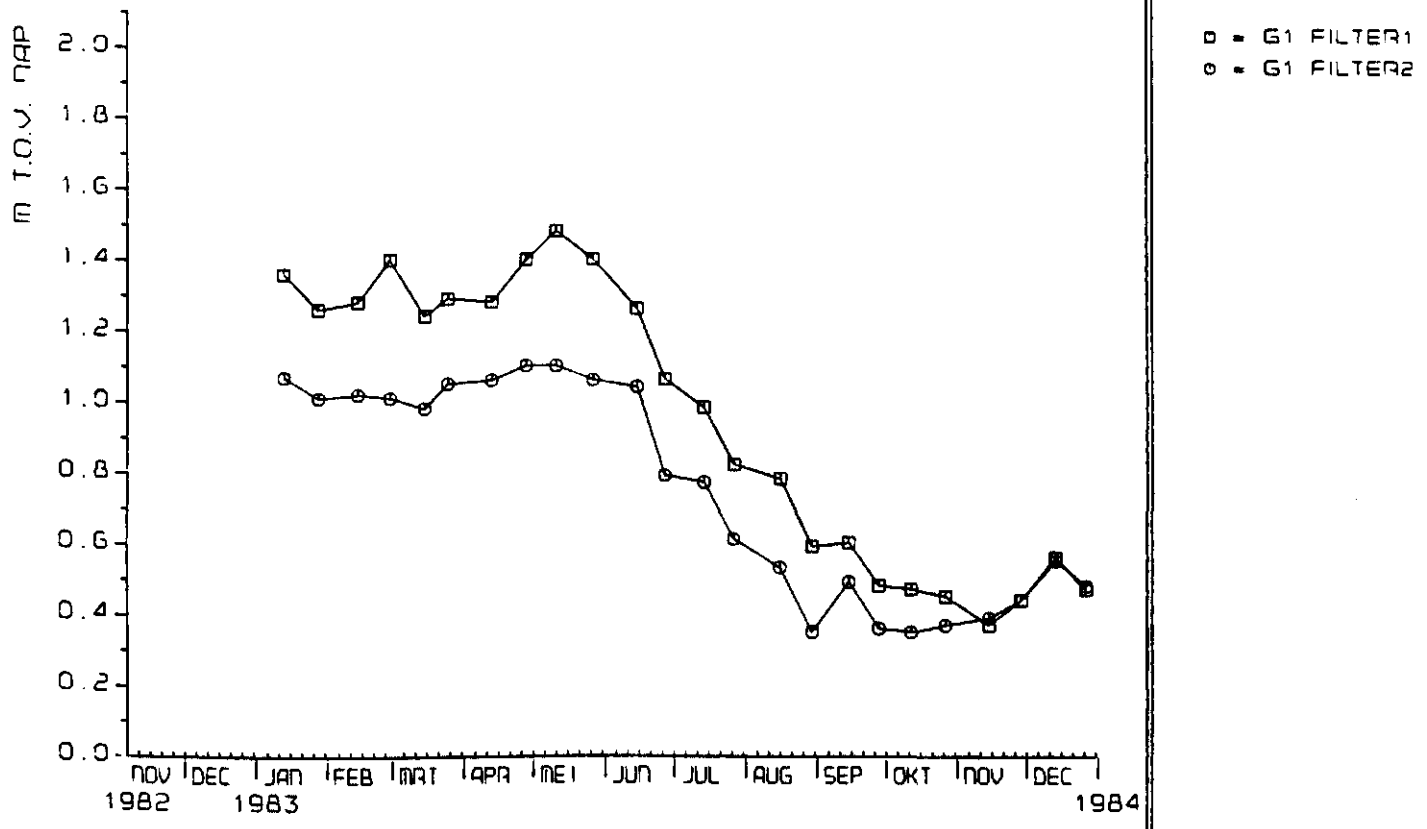
Figuur 83. Verloop van de gecorrigeerde stijghoogtes in peilput 46 en QD1.



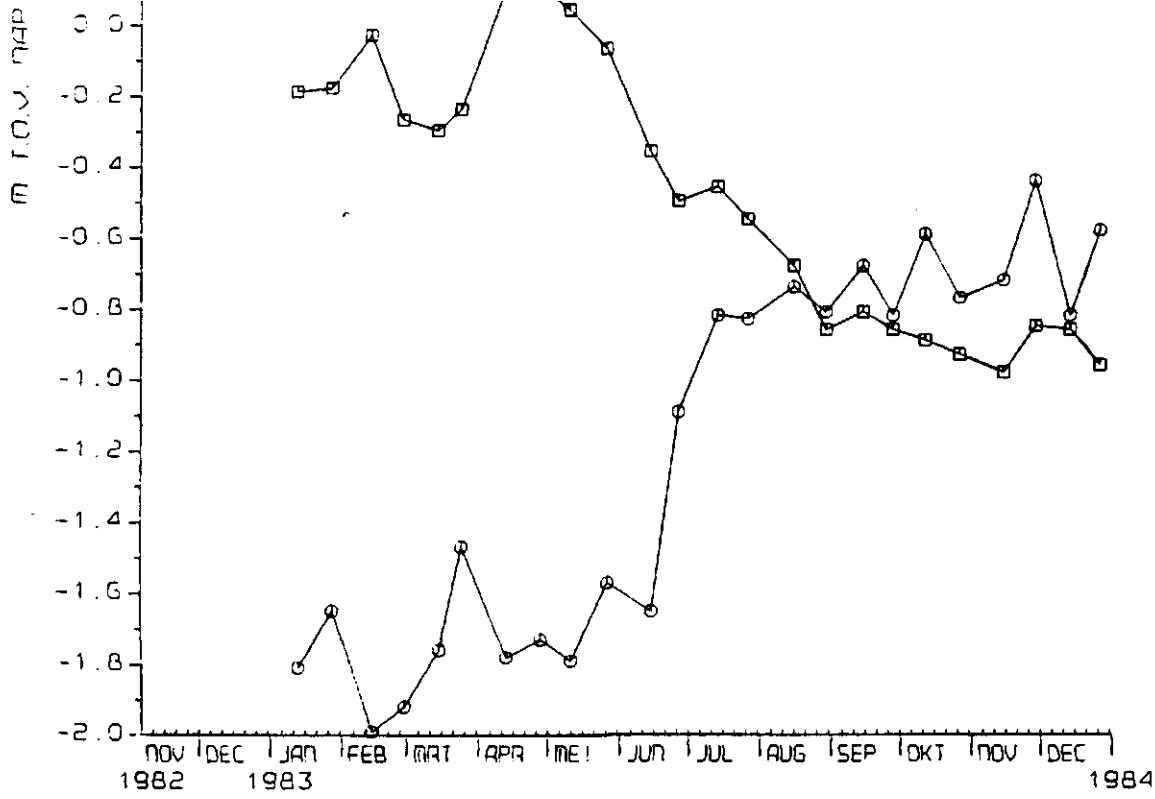
Figuur 84. Verloop van de gecorrigeerde stijghoogtes in peilput 41.



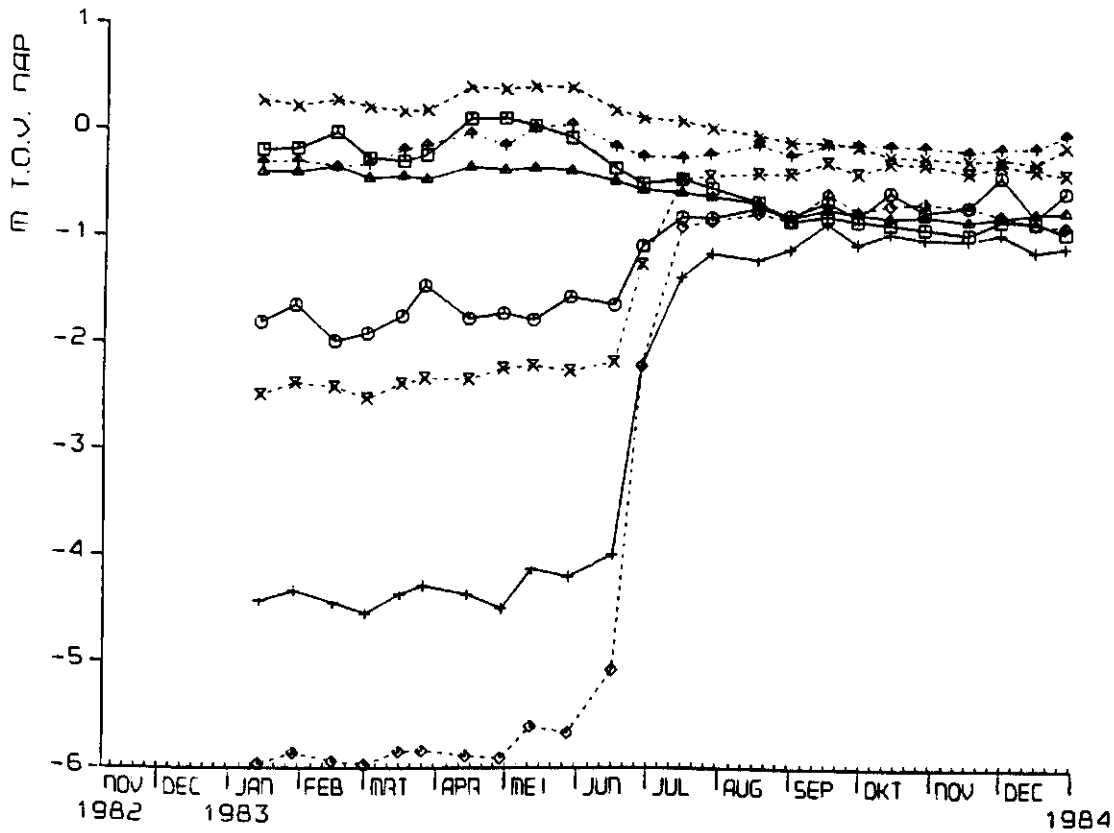
Figuur 85. Verloop van de gecorrigeerde stijghoogtes in peilput 45.



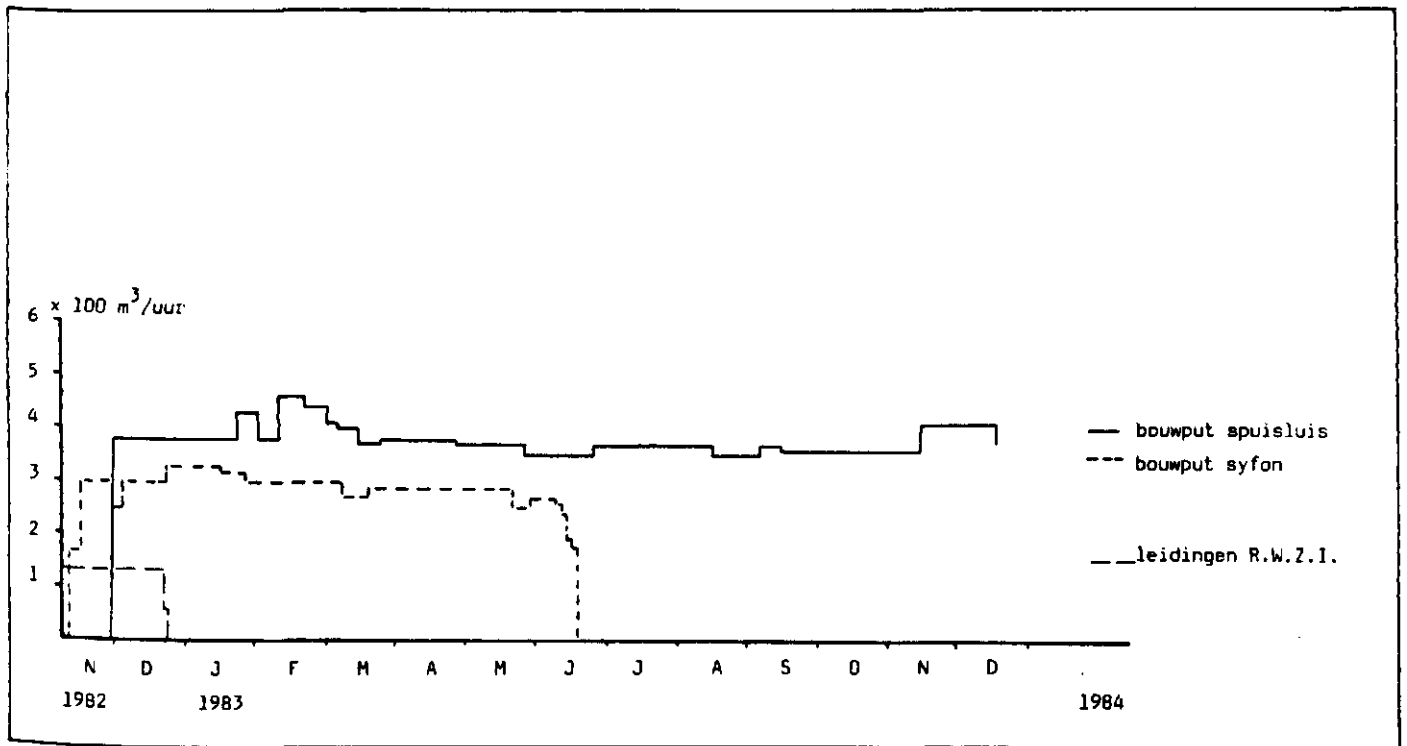
Figuur 86. Verloop van de gecorrigeerde stijghoogtes in peilput G1.



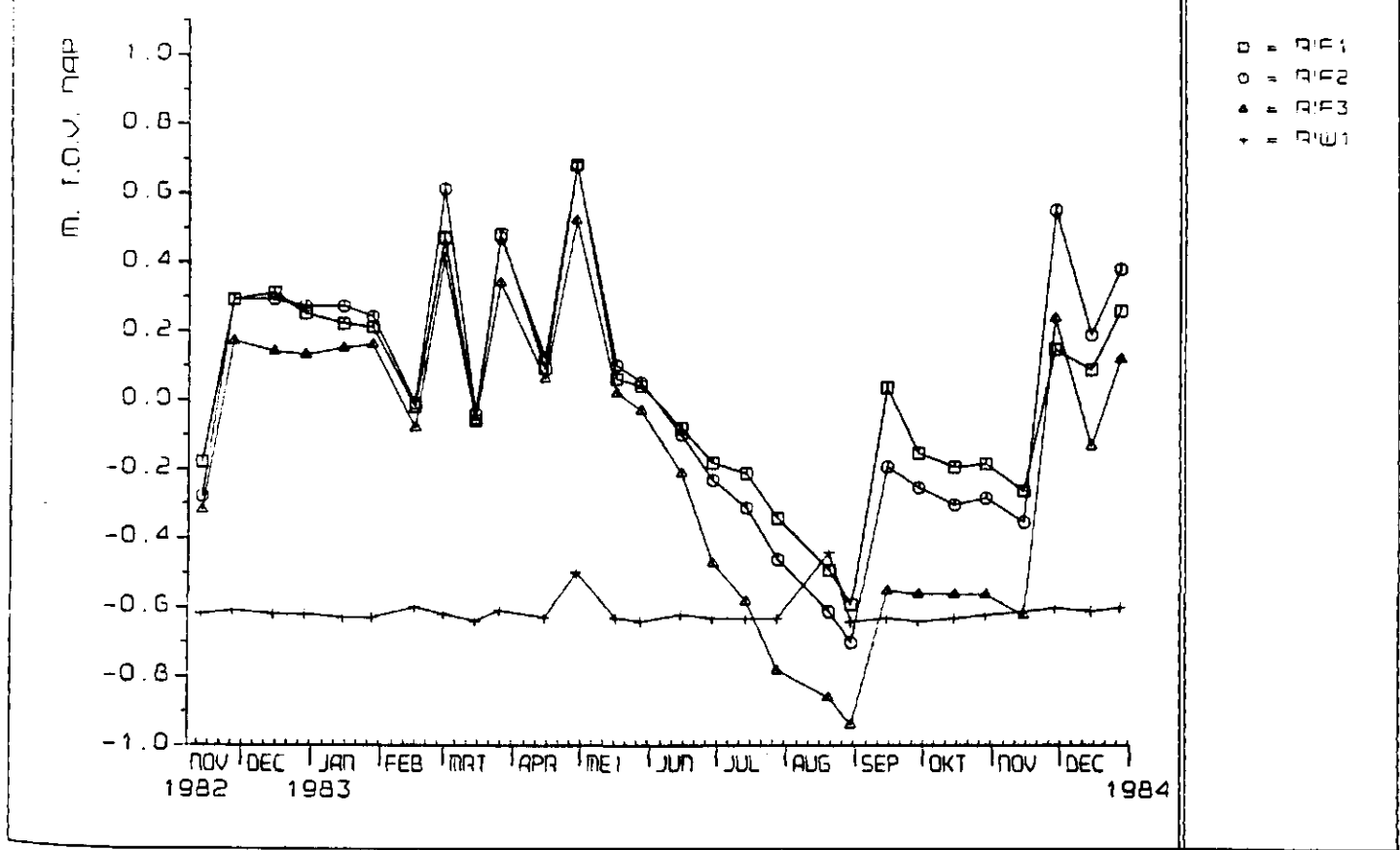
figuur 87. Verloop van de gecorrigeerde stijghoogtes in peilput G2.



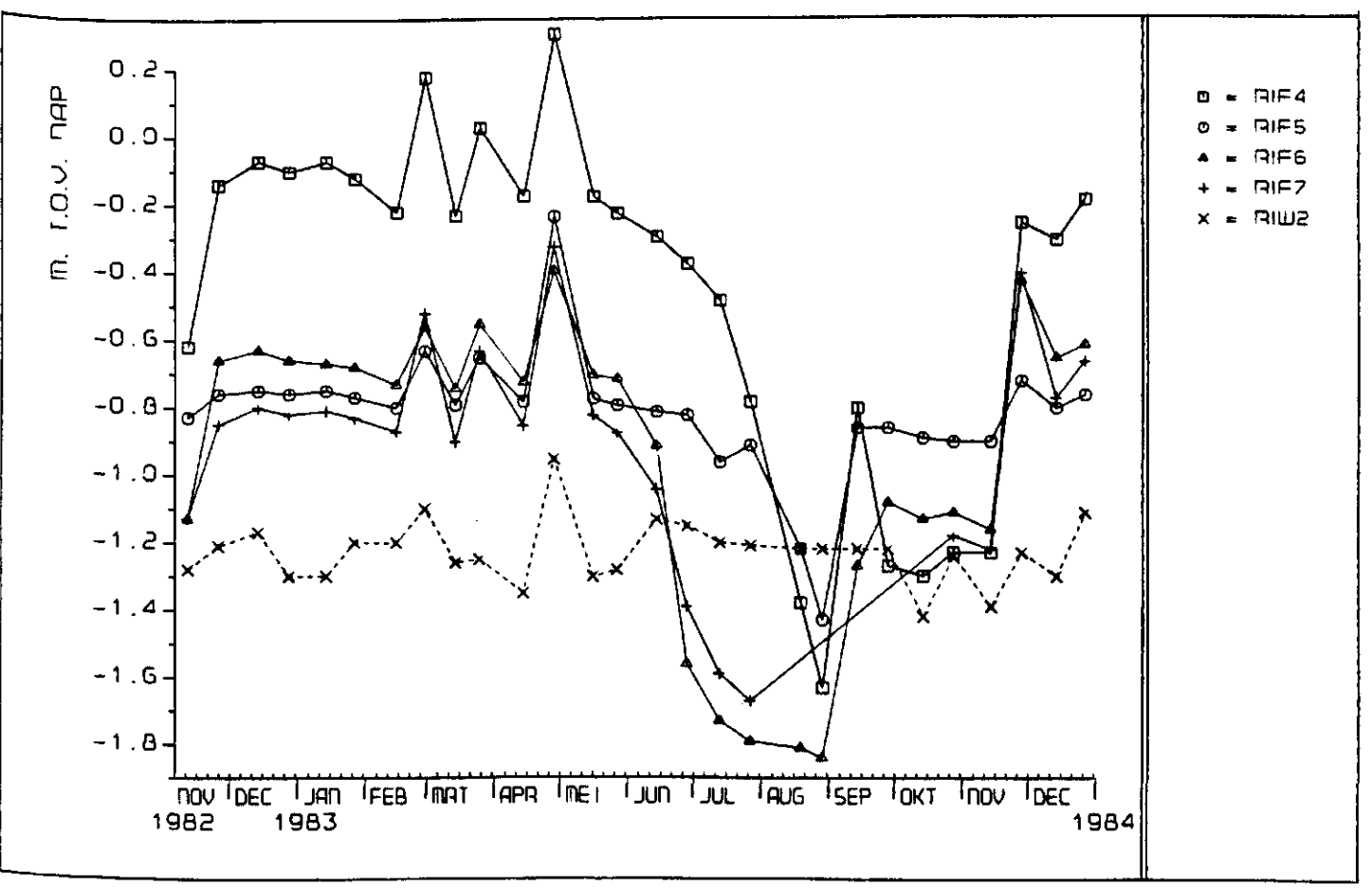
figuur 88. Verloop van de gecorrigeerde stijghoogtes in de peilputten G2 t/m G5.



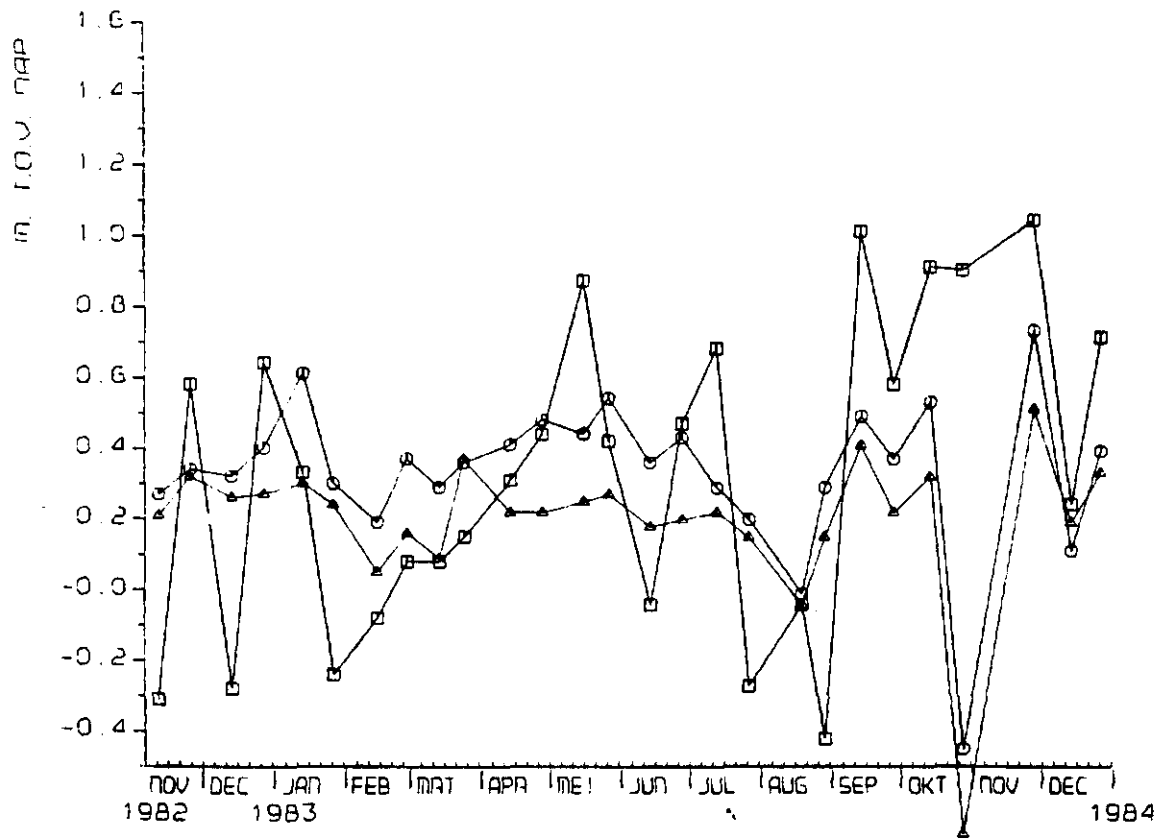
Figuur 89. Overzicht van de grondwateronttrekkingen voor de bouwputten van de spuisluis en een syfon in het Bathse Spuikanaal en een bronnering voor de aanleg van leidingen naar de nieuwe rioolwaterzuiveringsinstallatie (R.W.Z.I.) Gegevens volgens Provinciale Waterstaat Zeeland. Voor de lokaties zie bijlage 67 van I.C.W.-nota 1508.



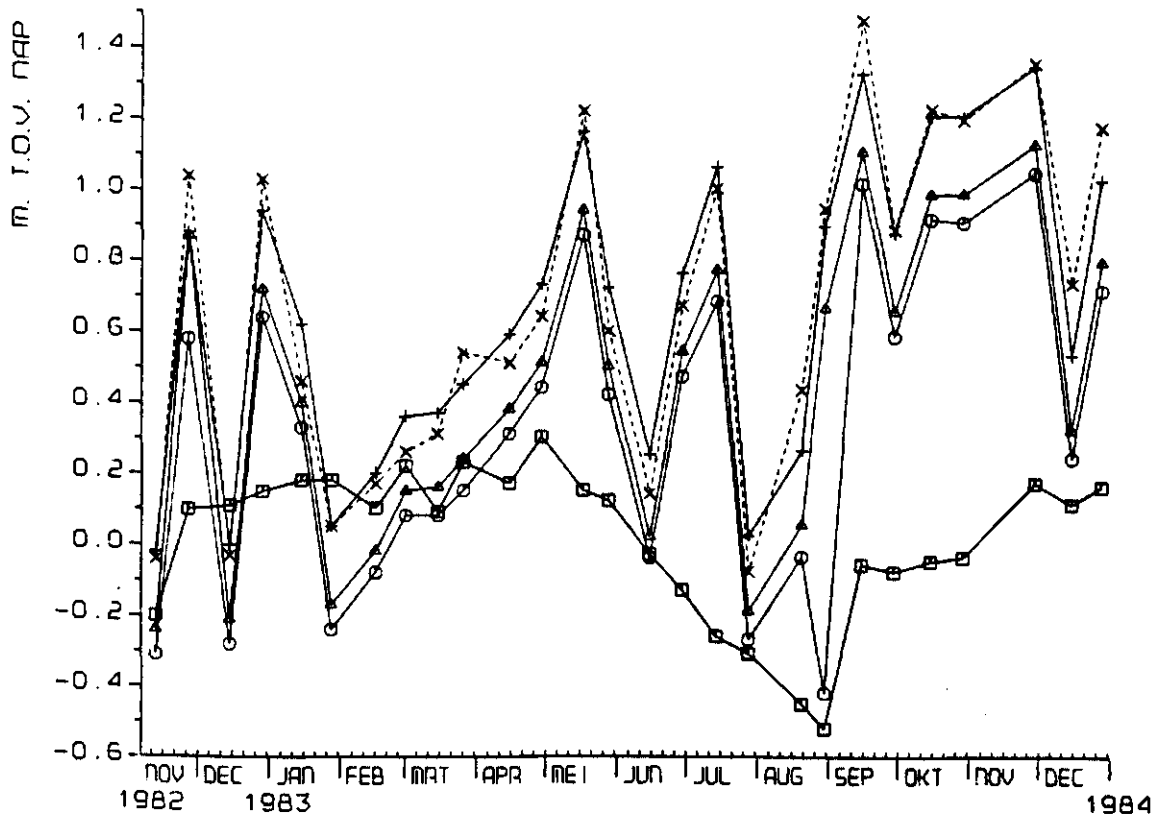
Figuur 90. Verloop van de grondwaterstanden in de landbouwbuizen en een slootpeil in raai RI.



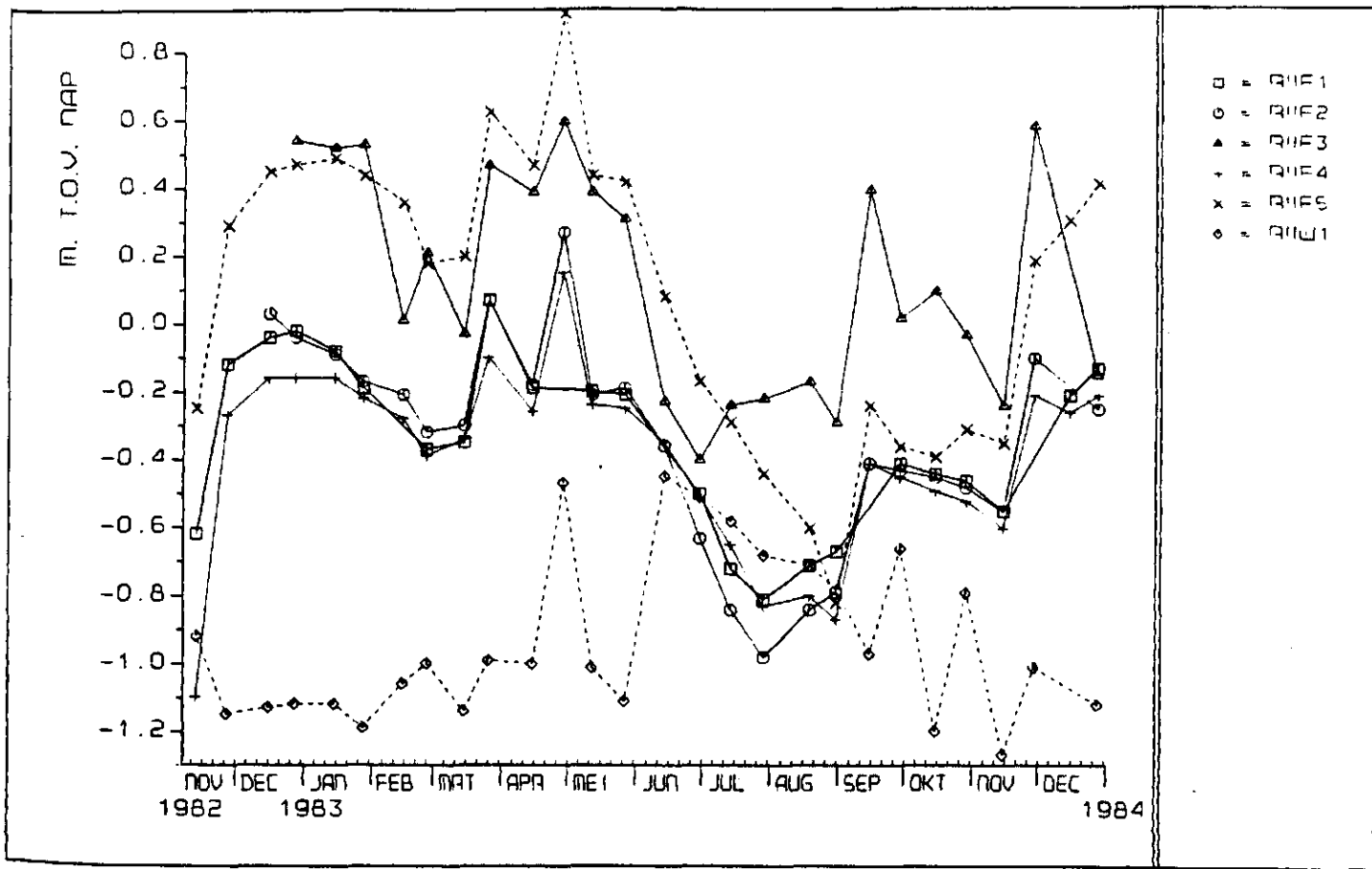
Figuur 91. Verloop van de grondwaterstanden in de landbouwbuizen en een slootpeil in raai RI.



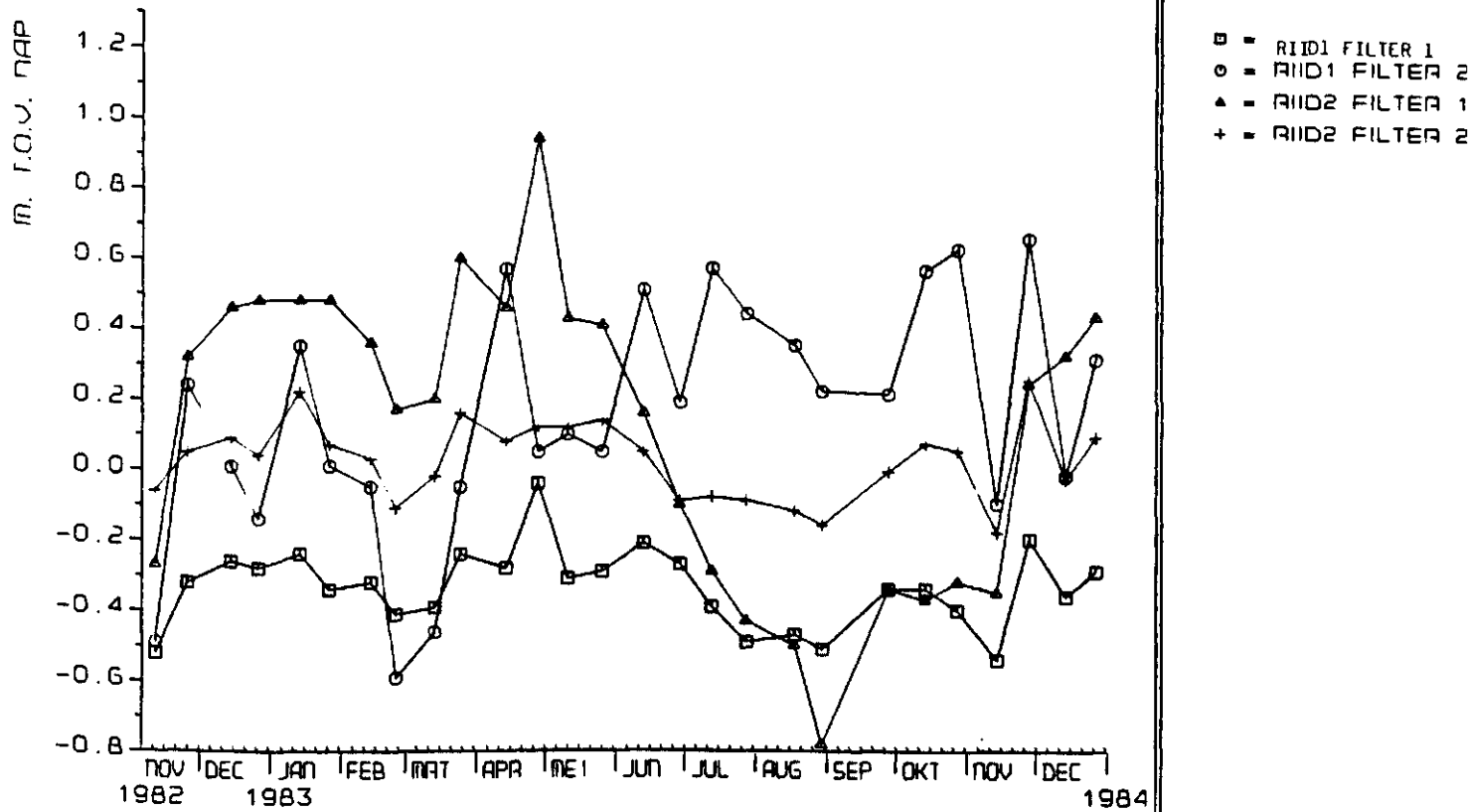
Figuur 92. Verloop van de gecorrigeerde stijghoogtes in de diepe filters in raai R1.



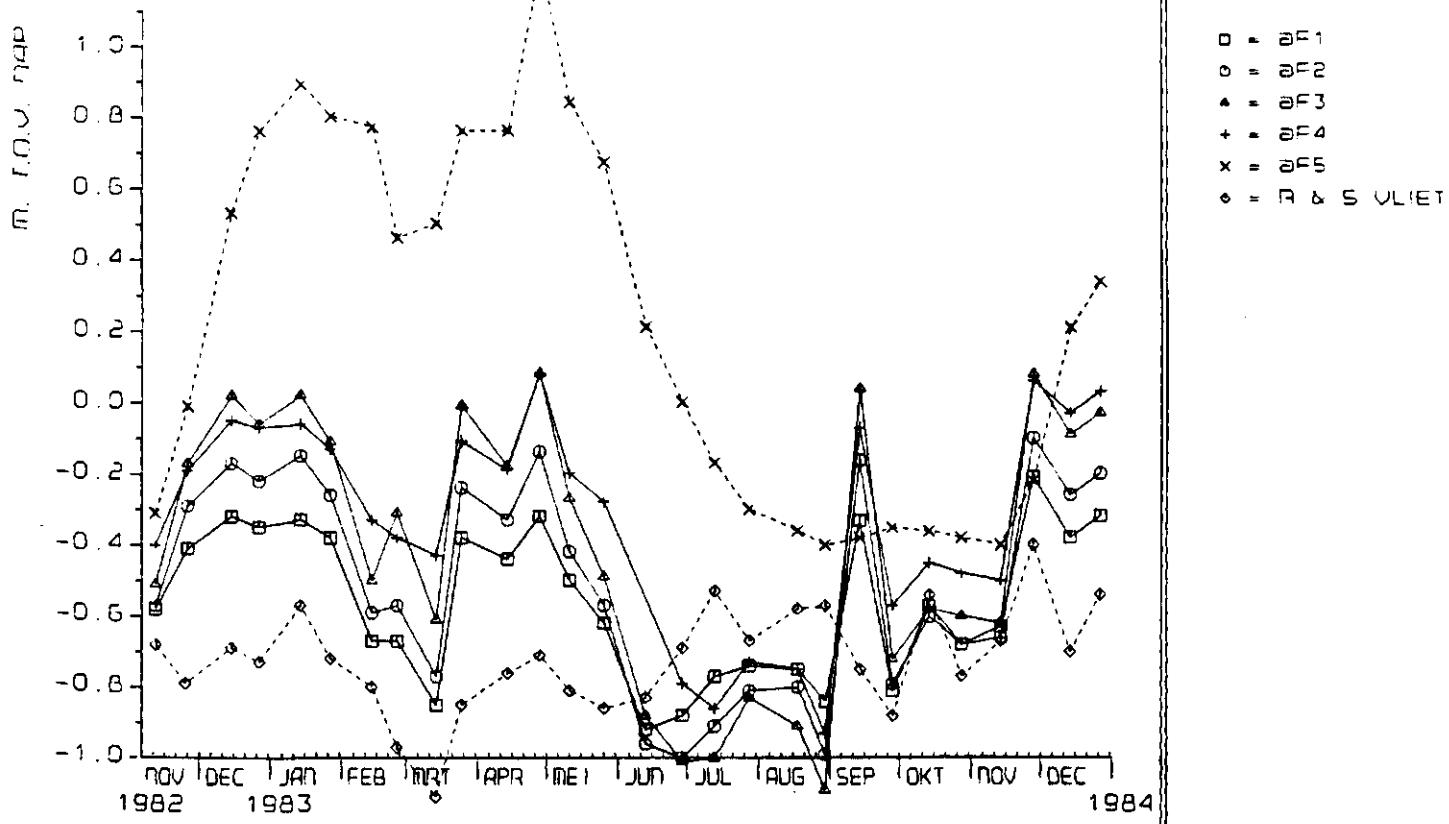
Figuur 93. Verloop van de gecorrigeerde stijghoogtes in peilput 74 in raai R1.



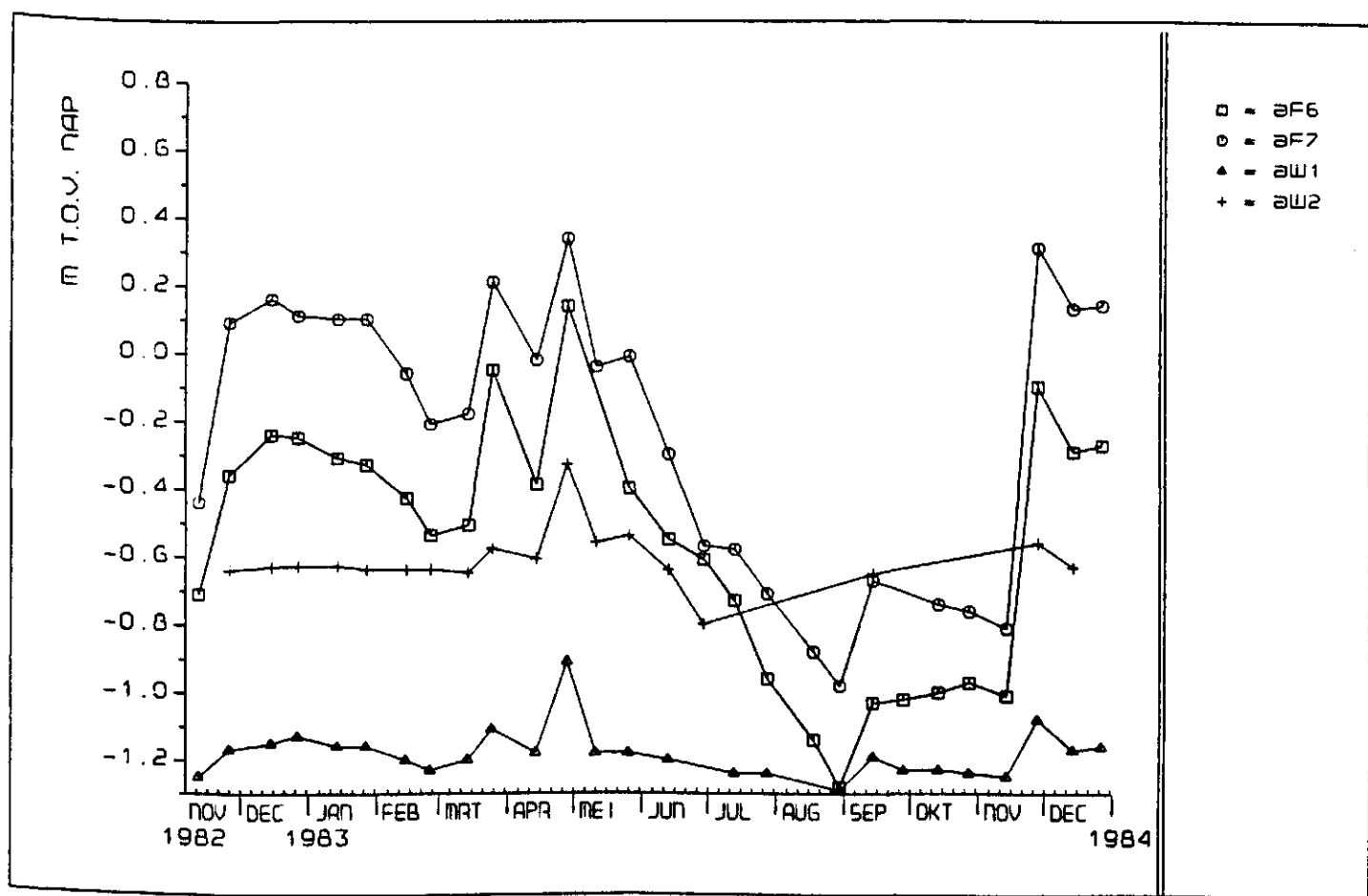
Figuur 94. Verloop van de grondwaterstanden in de landbouwbuizen en een slootpeil in raai RII.



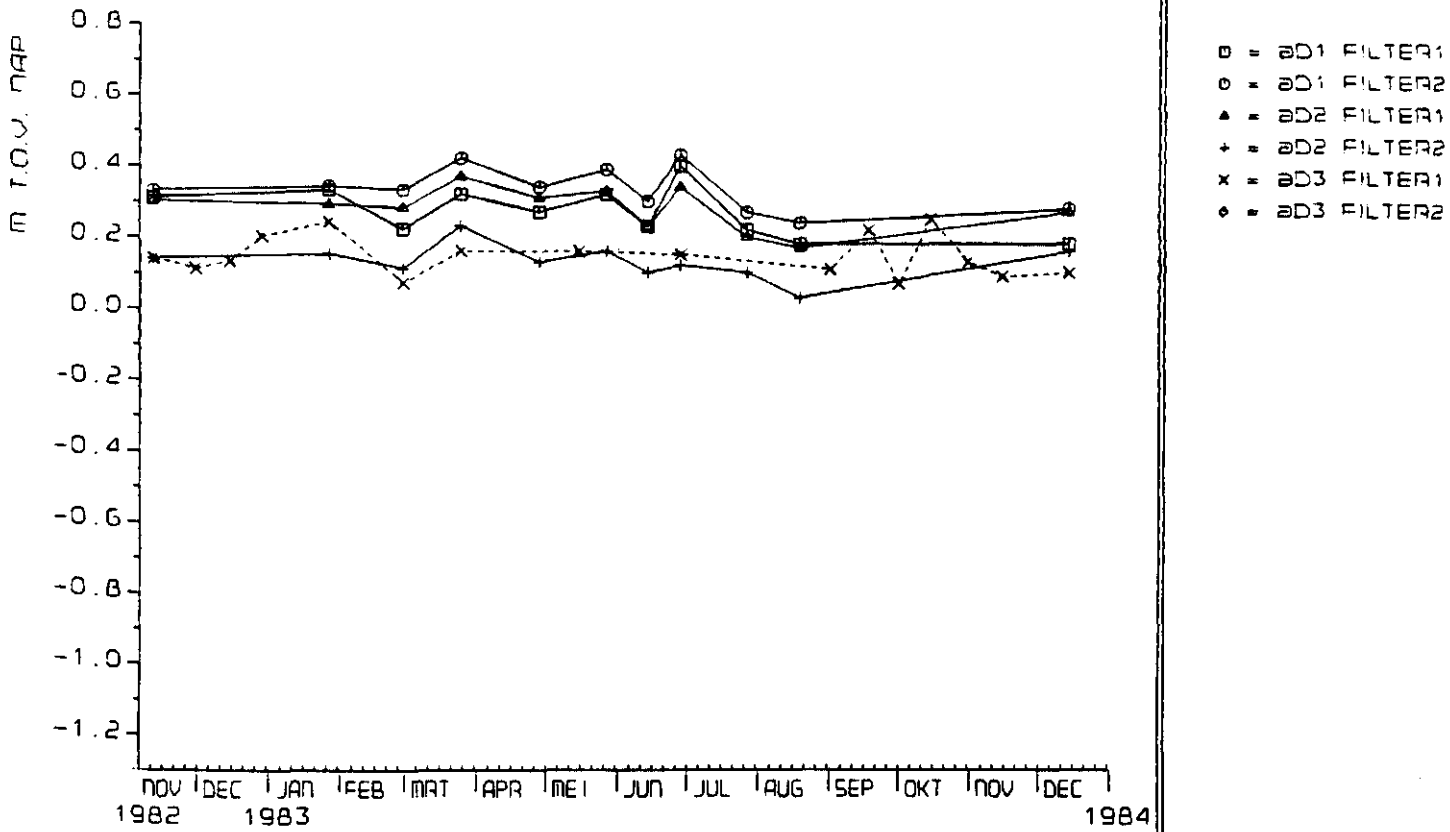
Figuur 95. Verloop van de gecorrigeerde stijghoogtes in de peilputten in raai RII.



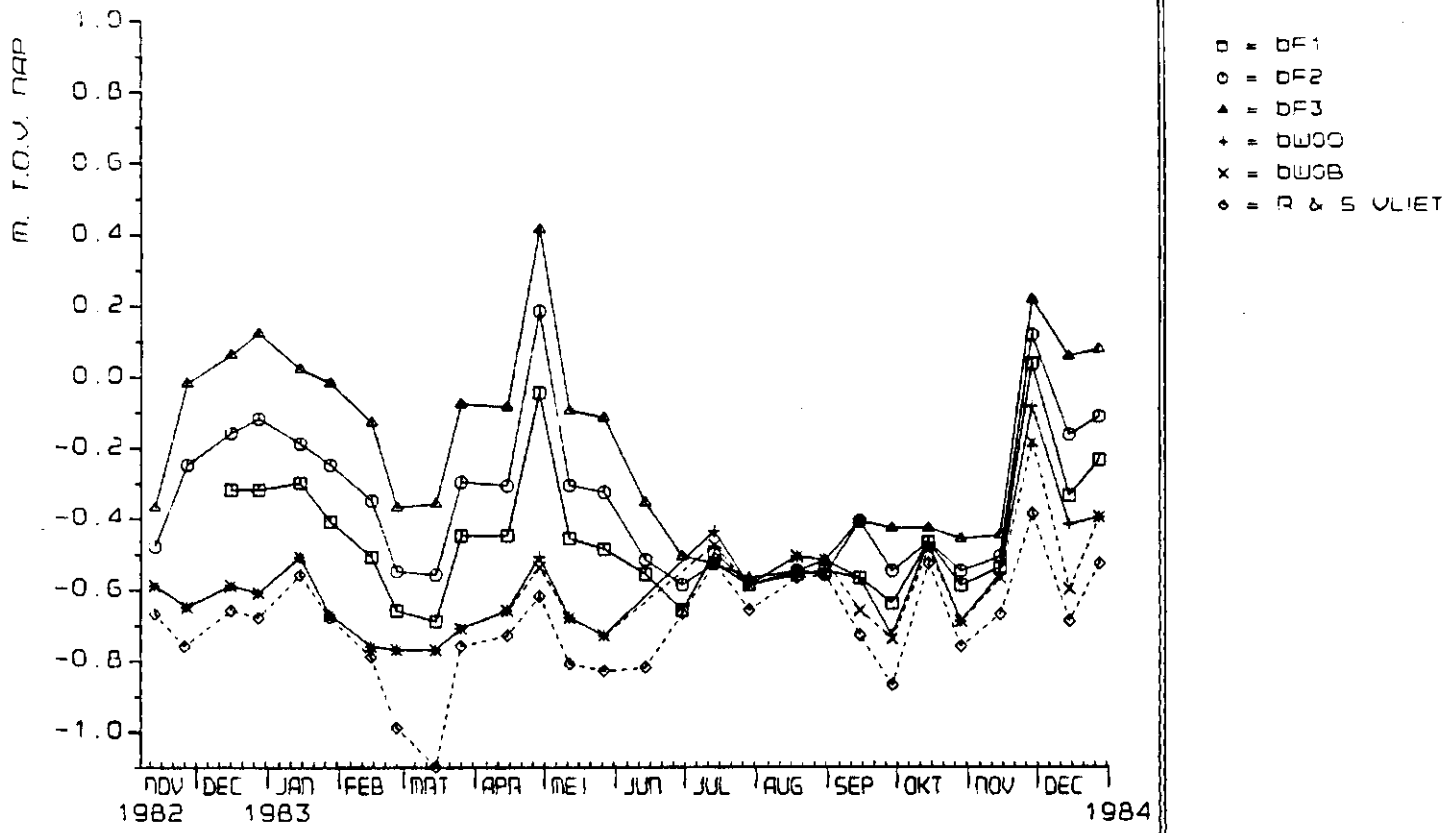
Figuur 96. Verloop van de grondwaterstanden in de landbouwbuizen in raai a en het peil in de Roosendaalsche- en Steenbergse Vliet.



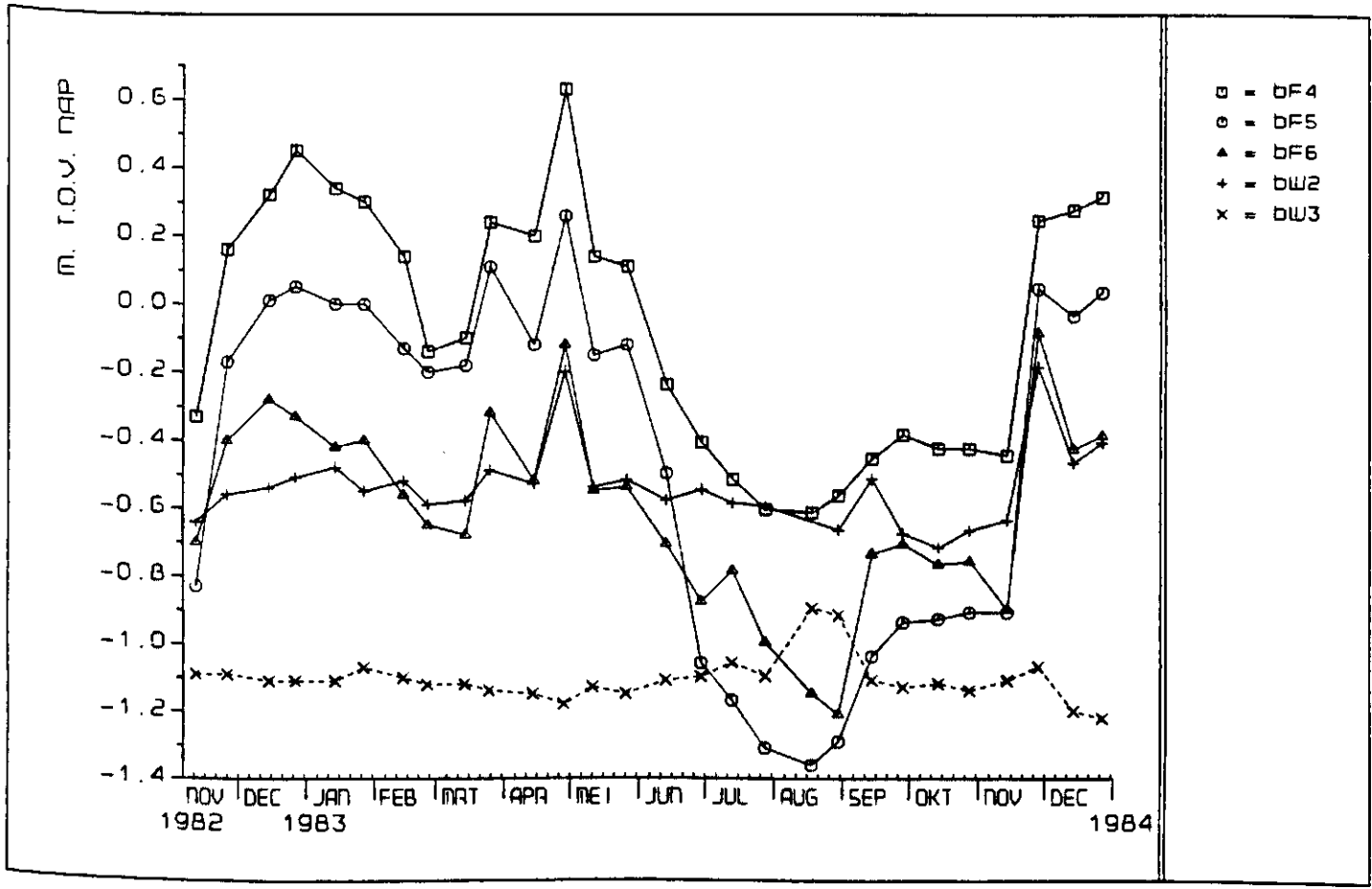
Figuur 97. Verloop van de grondwaterstanden in enkele landbouwbuizen en slootpeilen in raai a langs de Vliet.



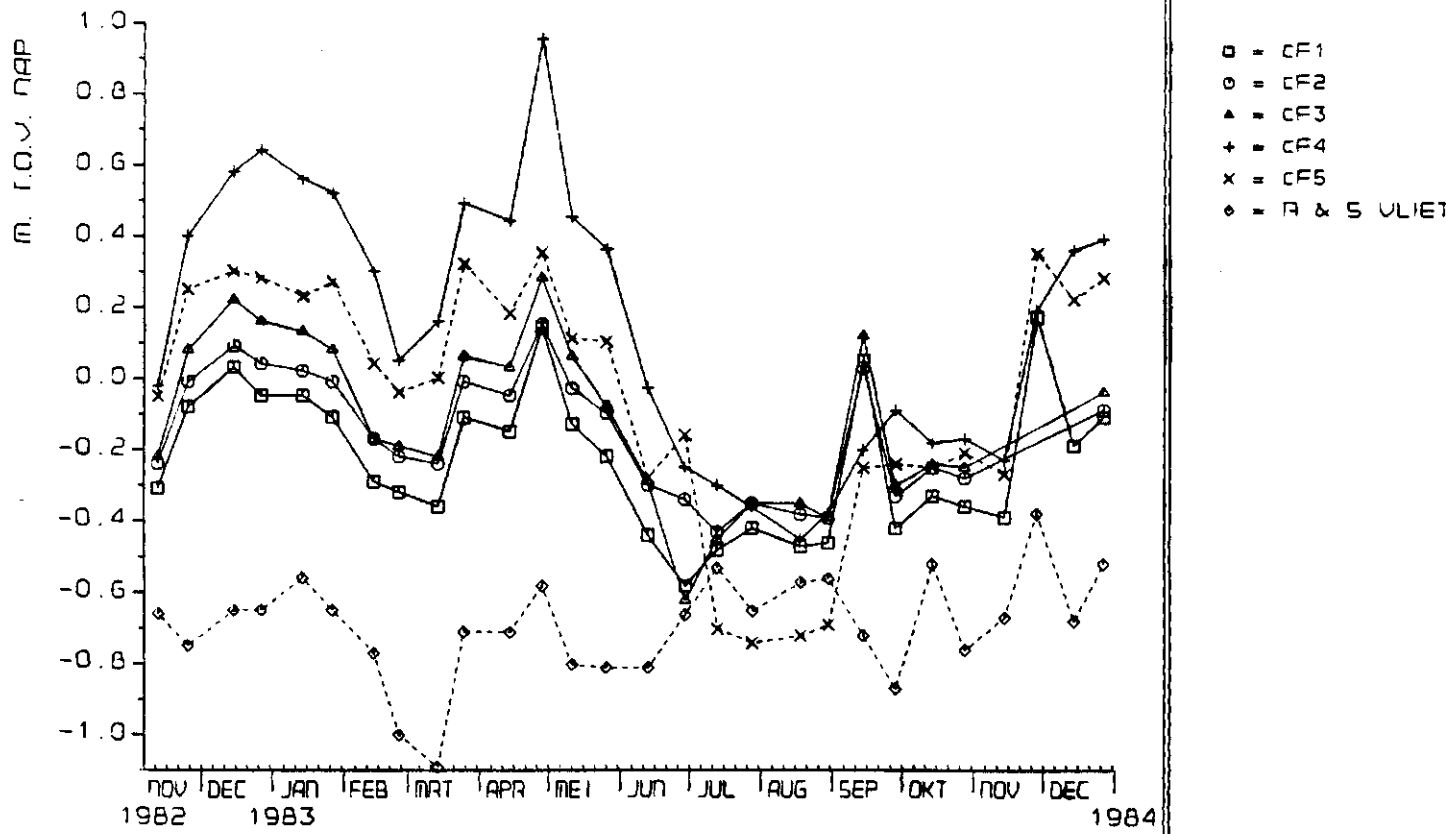
figuur 98. Verloop van de gecorrigeerde stijghoogtes in de peilputten in raai a.



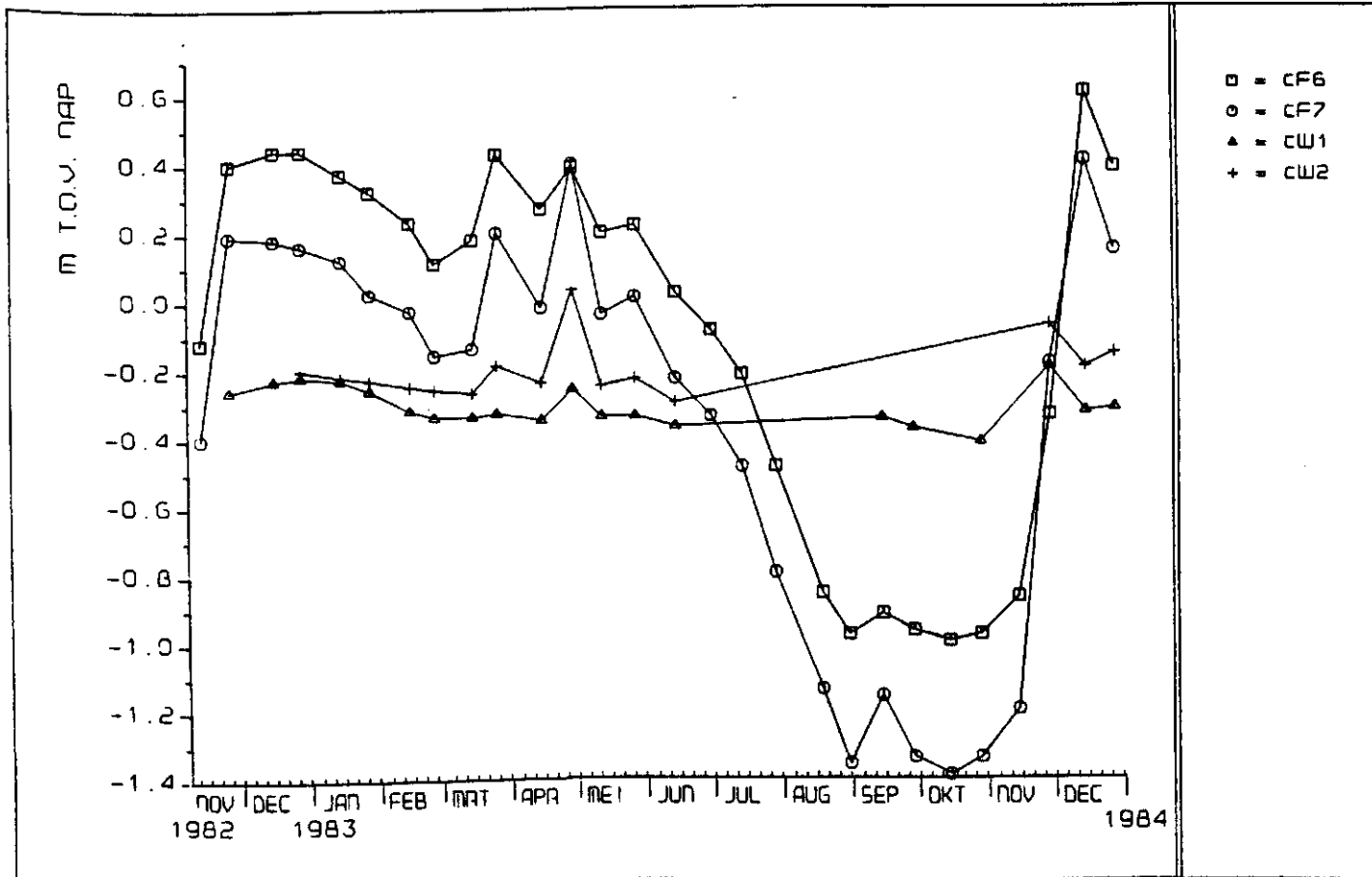
Figuur 99. Verloop van de grondwaterstanden in de landbouwbuizen, twee slootpeilen en het peil in de Roosendaalsche- en Steenbergse Vliet in raai b.



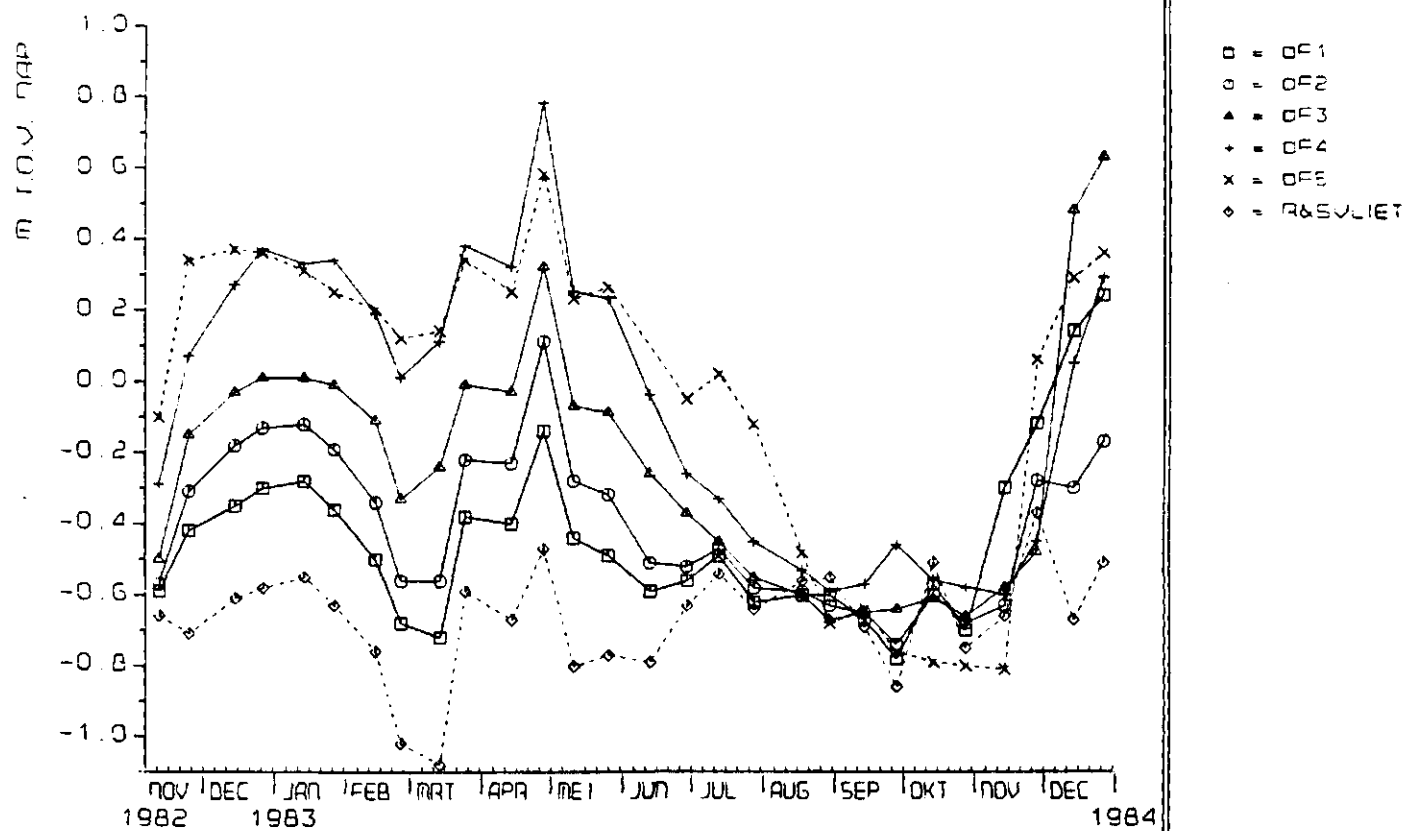
Figuur 100. Verloop van de grondwaterstanden in de landbouwbuizen in raai b langs de Vliet.



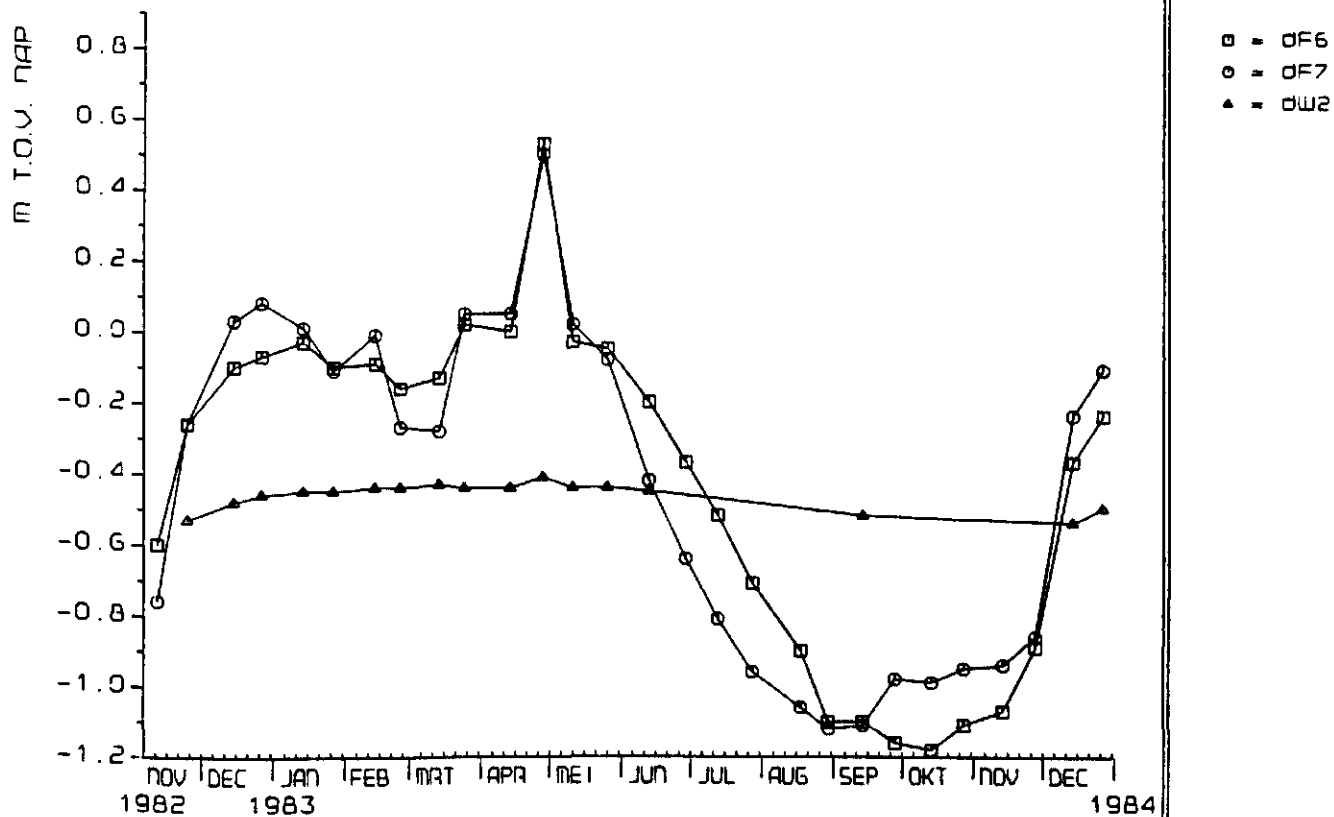
Figuur 101. Verloop van de grondwaterstanden in de landbouwbuizen en het peil in de Roosendaalsche- en Steenbergsche Vliet in raai c.



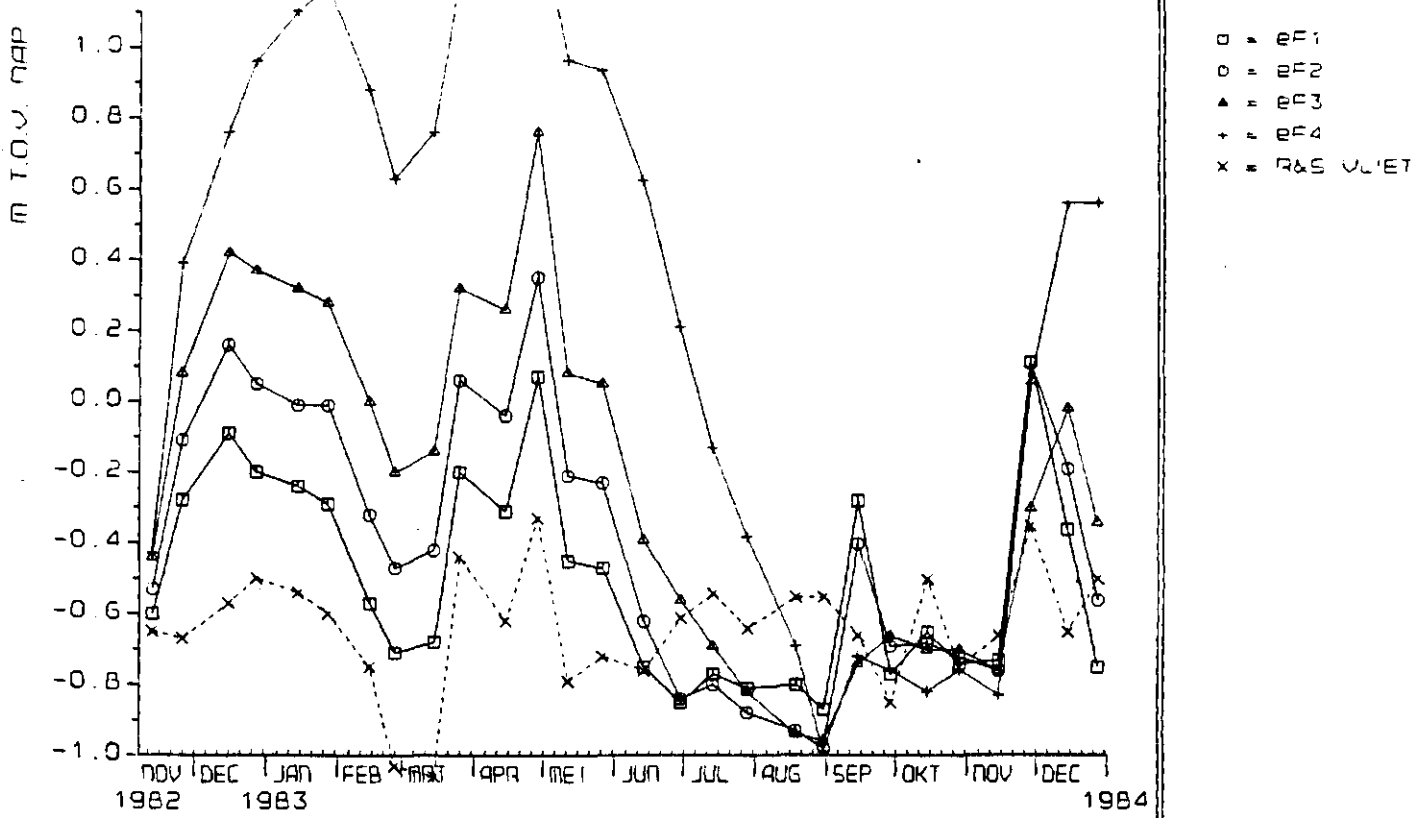
Figuur 102. Verloop van de grondwaterstanden in enkele landbouwbuizen en slootpeilen in raai c langs



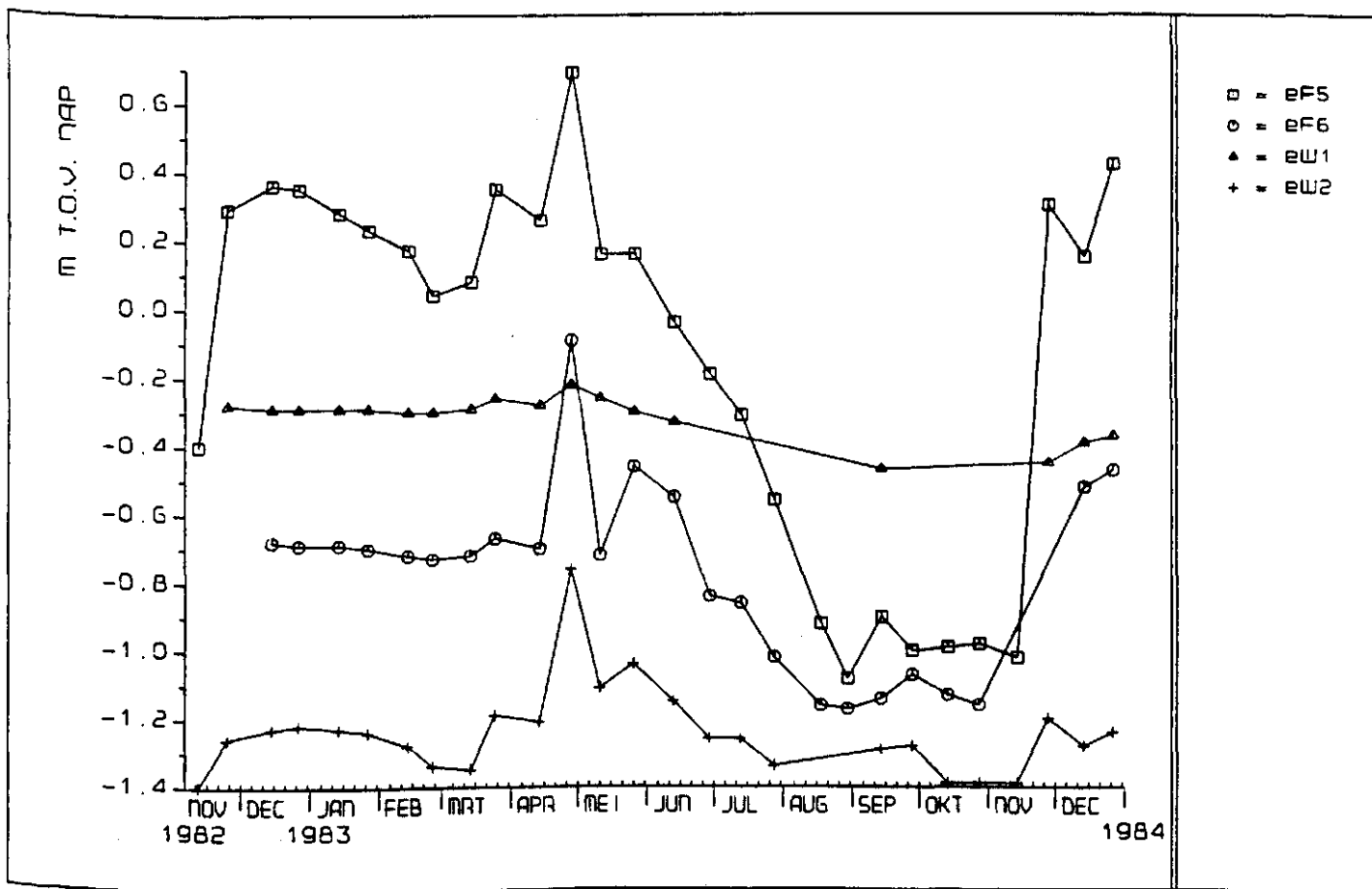
Figuur 103. Verloop van de grondwaterstanden in de landbouwbuizen in raai d en het peil in de Roosendaalsche- en Steenbergsche Vliet.



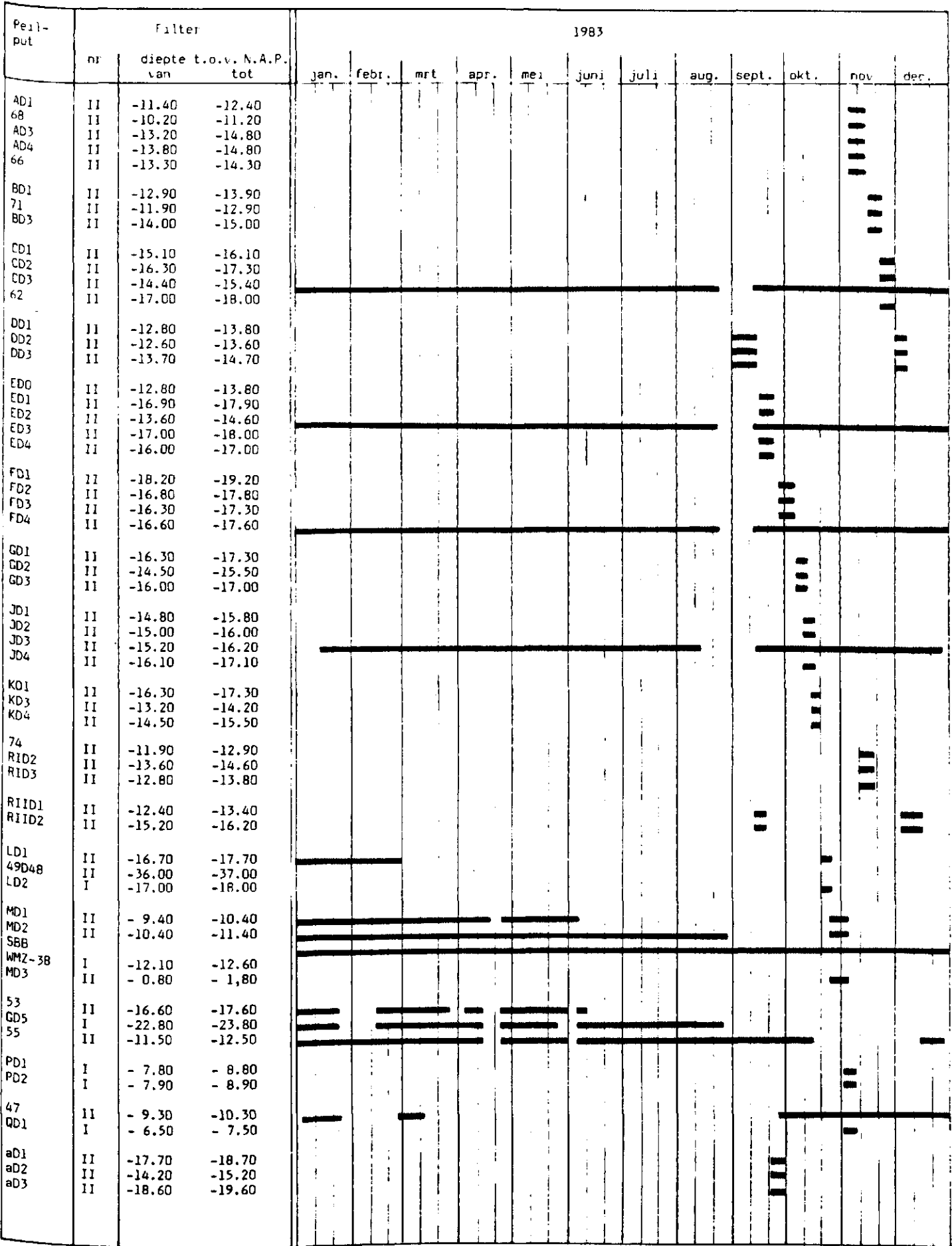
Figuur 104. Verloop van de grondwaterstanden in enkele landbouwbuizen en een slootpeil in raai d langs de Vliet.



Figuur 105. Verloop van de grondwaterstanden in de landbouwbuizen in raai e en het peil in de Roosendaalsche- en Steenbergsche Vliet.



Figuur 106. Verloop van de grondwaterstanden in enkele landbouwbuizen en slootpeilen in raai e langs



Figuur 107. Overzicht van de automatische registraties van de grondwaterstanden in 1983 in een aantal diepe peilbuizen.

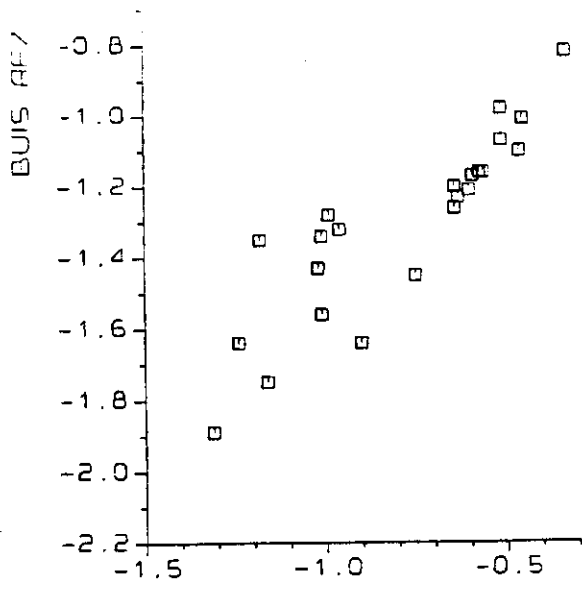


fig. 108
CORRELATED DIAGRAM 1983

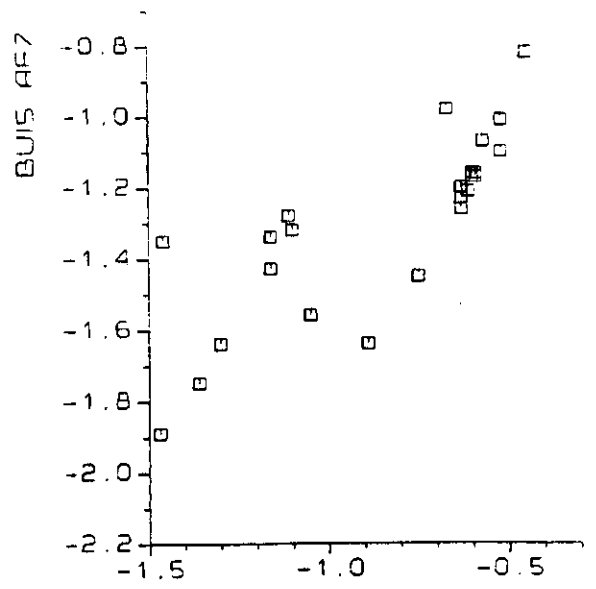


fig. 109
CORRELATED DIAGRAM 1983

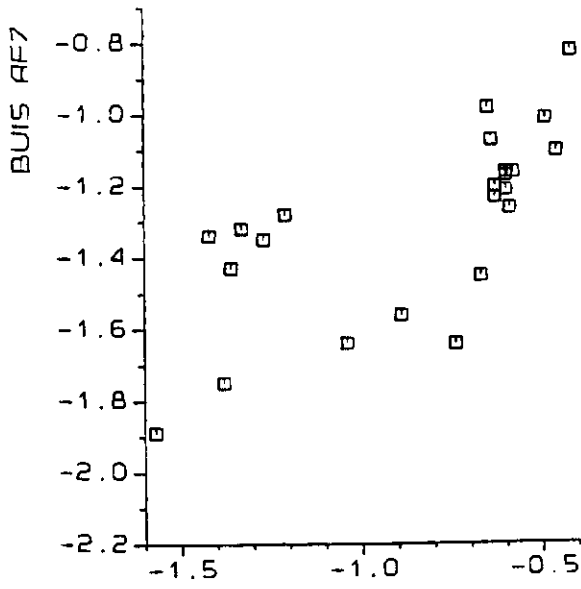


fig. 110
CORRELATED DIAGRAM 1983

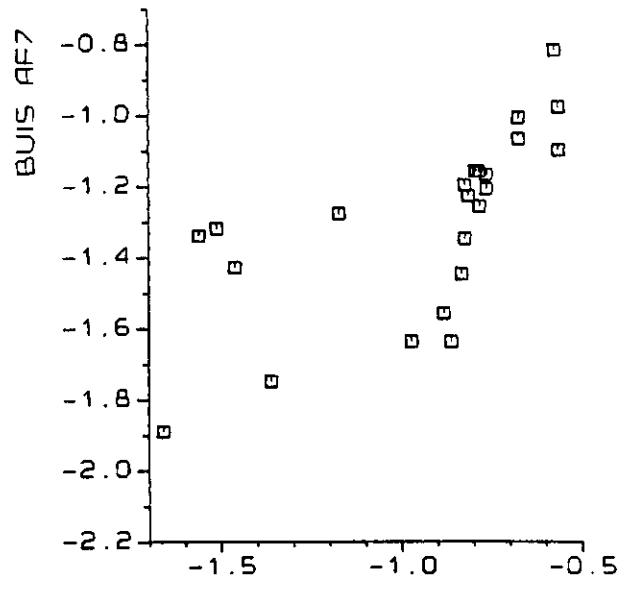


fig. 111
CORRELATED DIAGRAM 1983

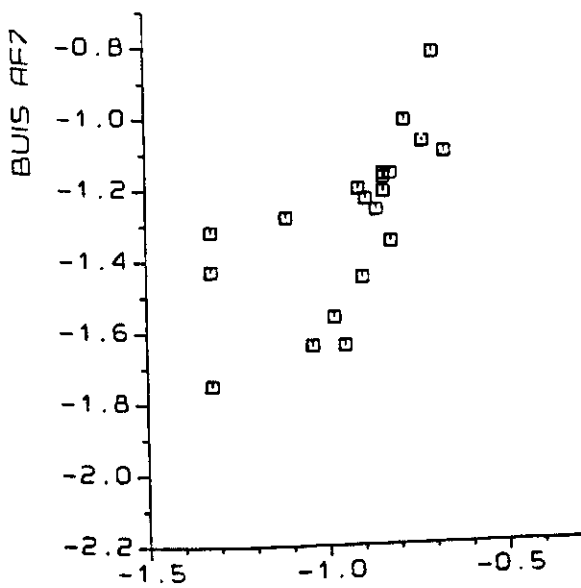


fig. 112
CORRELATED DIAGRAM 1983

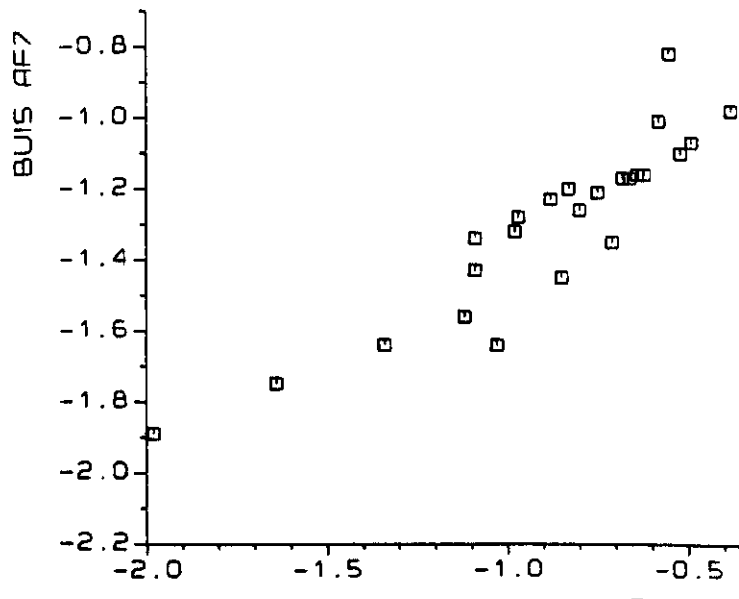


fig. 113
CORRELATED DIAGRAM 1983

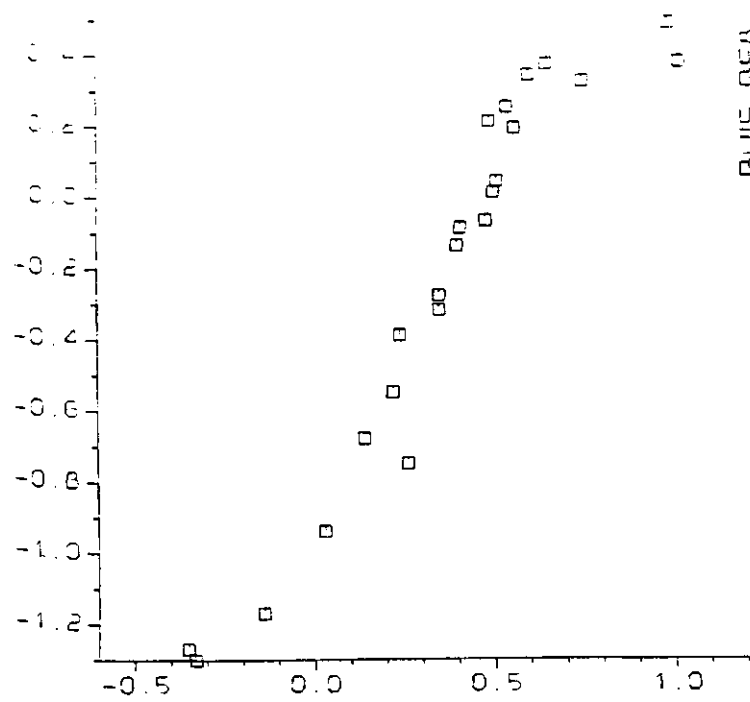


fig. 114

CORRELATEDIAGRAM 1983

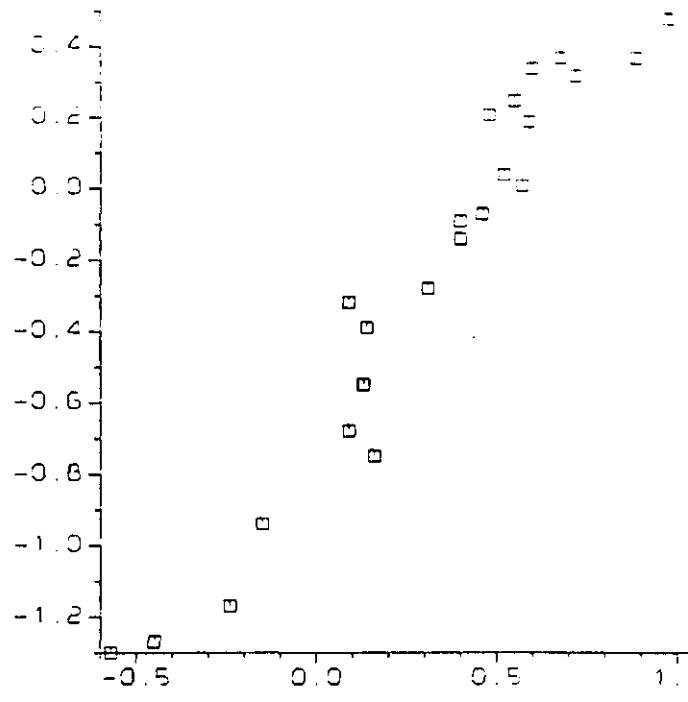


fig. 115

CORRELATEDIAGRAM 1983

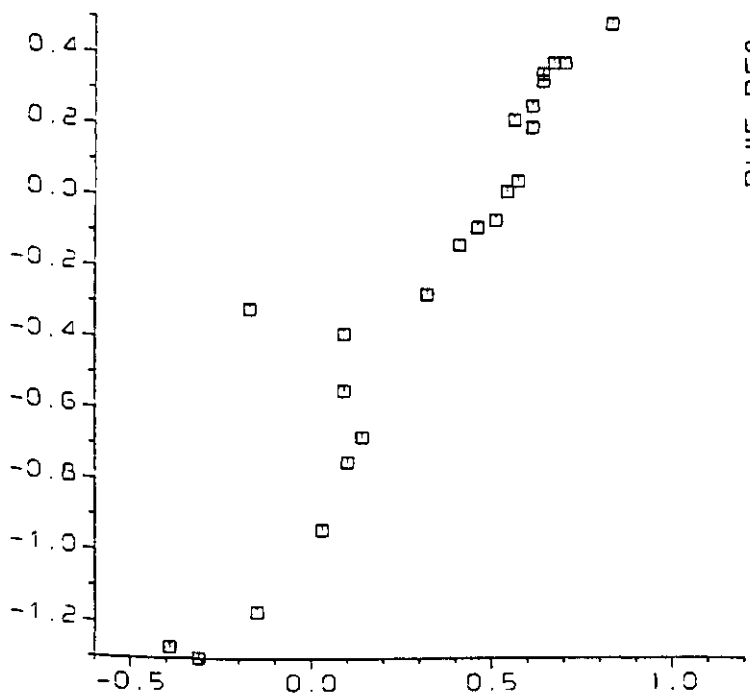


fig. 116

CORRELATEDIAGRAM 1983

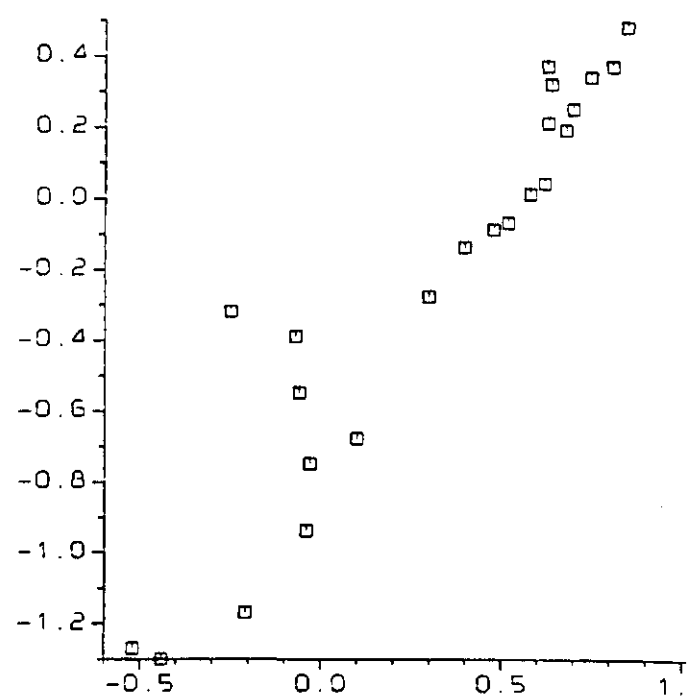


fig. 117

CORRELATEDIAGRAM 1983

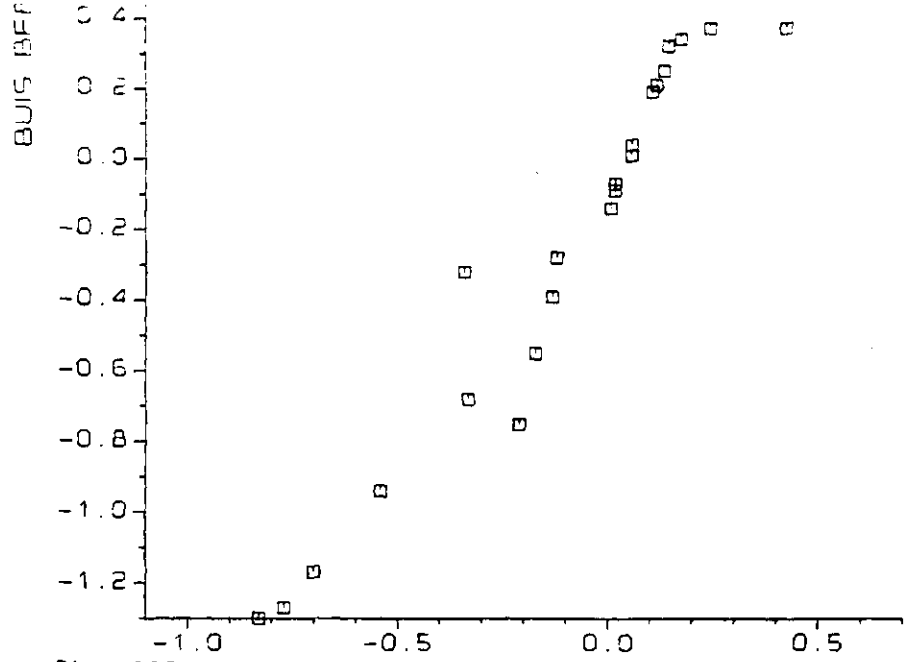


fig. 118

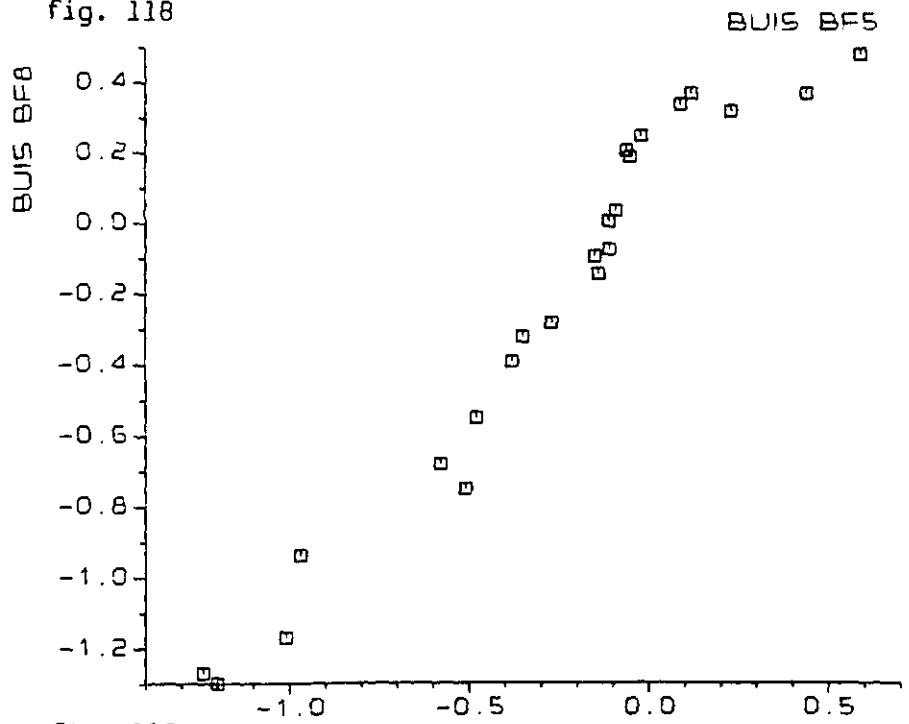
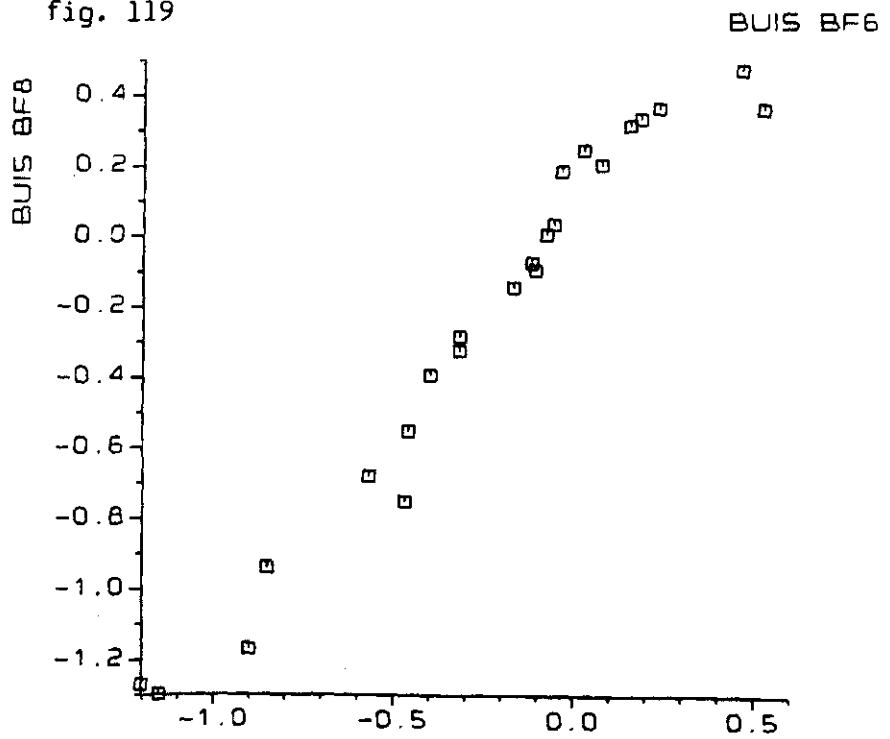


fig. 119



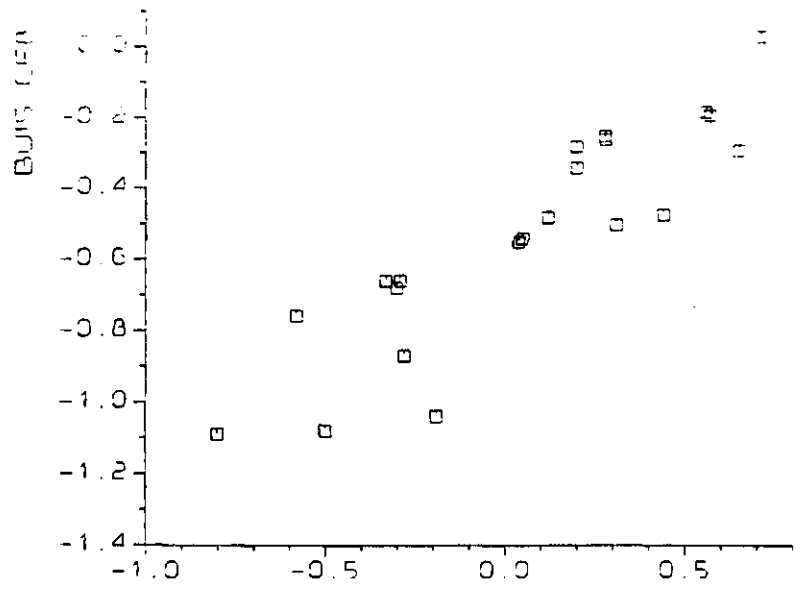


fig. 125

BUIS CF5
CORRELATION DIAGRAM 1983

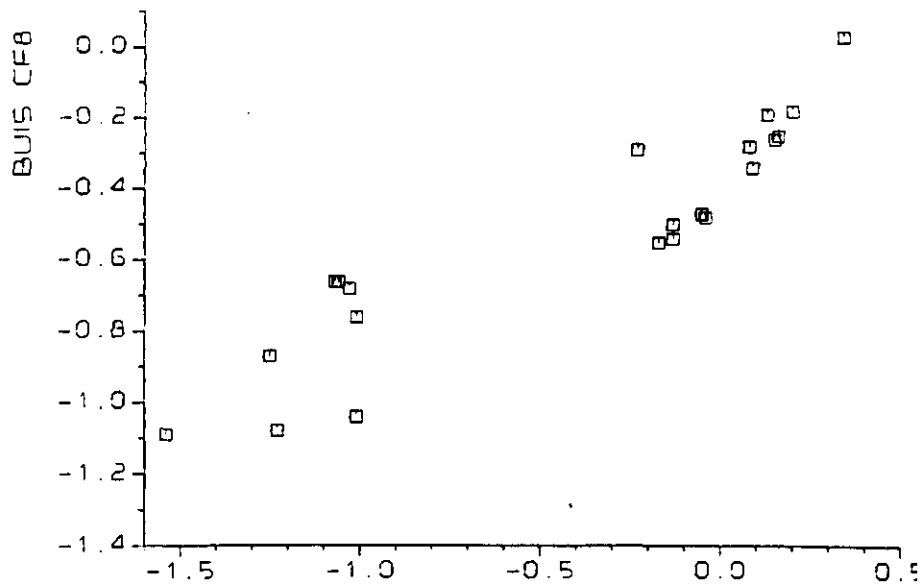


fig. 126

BUIS CF6
CORRELATION DIAGRAM 1983

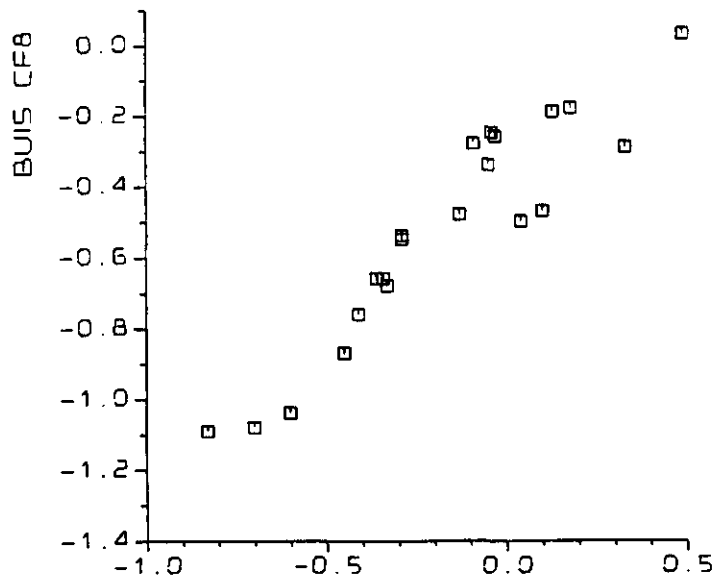


fig. 127

BUIS CF7
CORRELATION DIAGRAM 1983

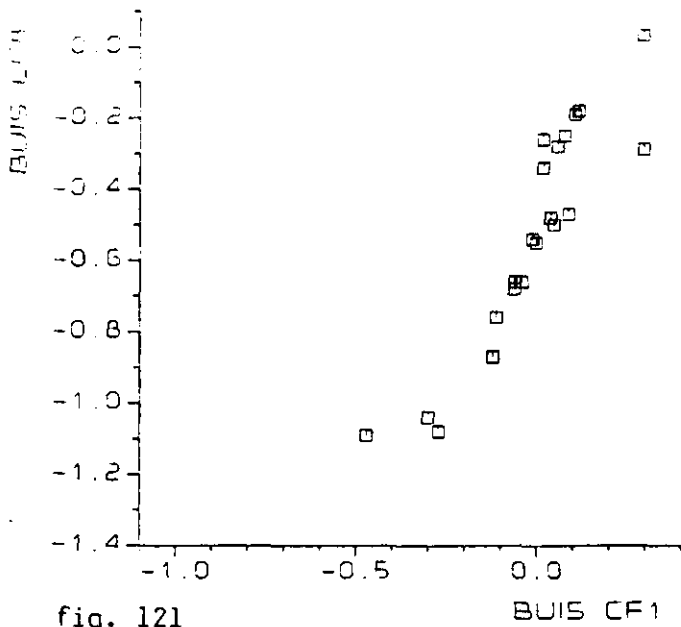


fig. 121

CORRELATION DIAGRAM 1983

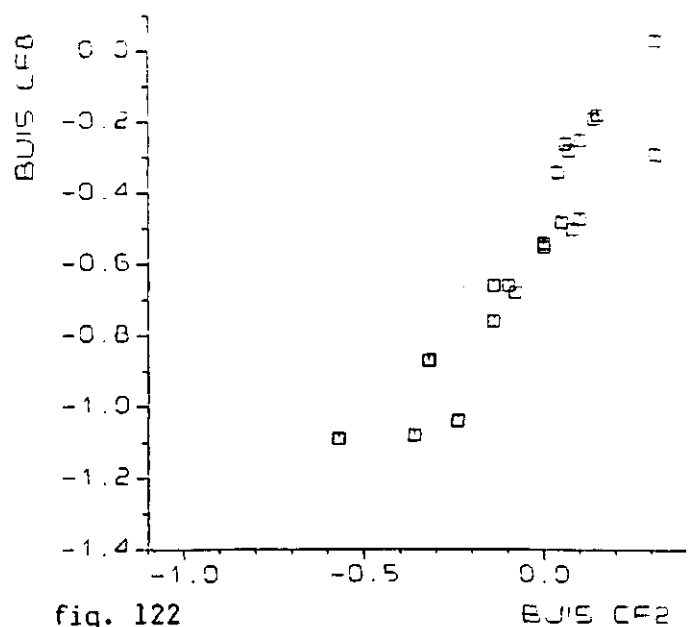


fig. 122

CORRELATION DIAGRAM 1983

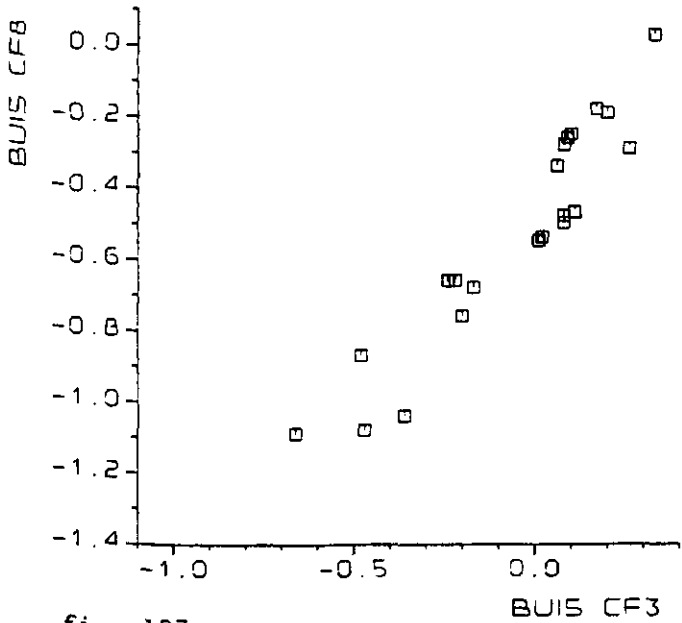


fig. 123

CORRELATION DIAGRAM 1983

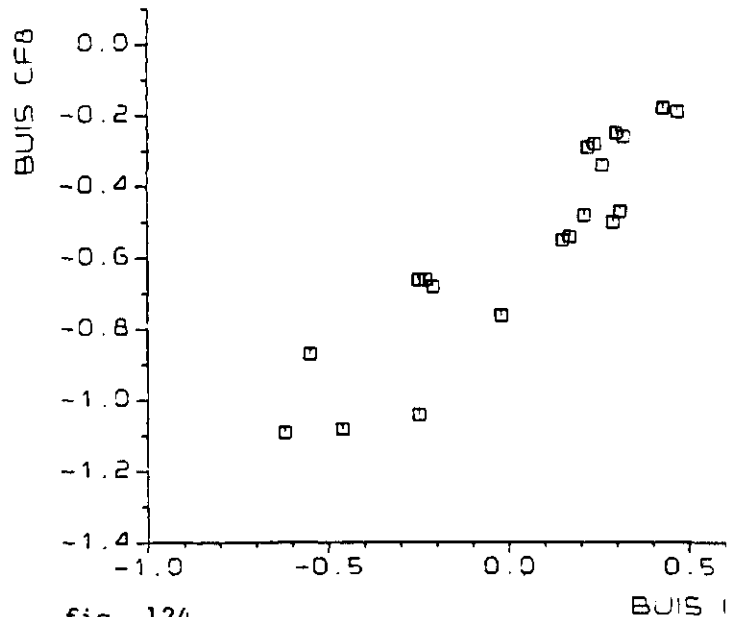


fig. 124

CORRELATION DIAGRAM 1983

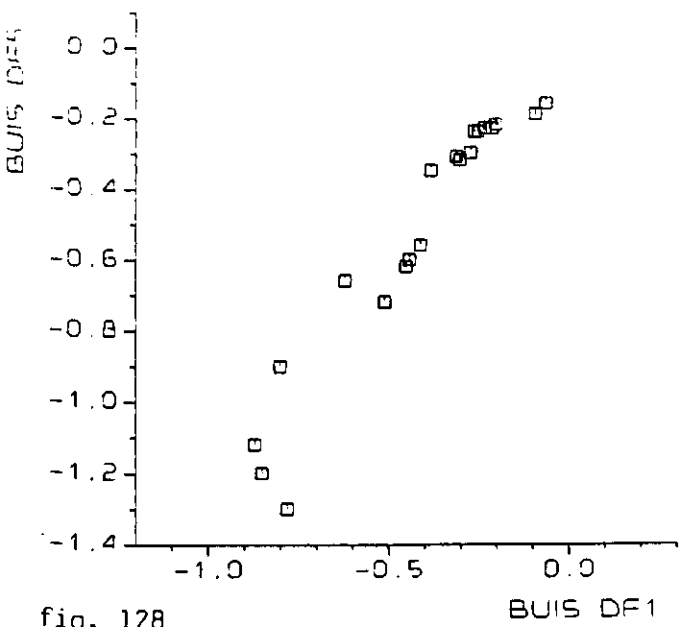


fig. 128

BUIS DF1
CORRELATIEDIAGRAM 1983

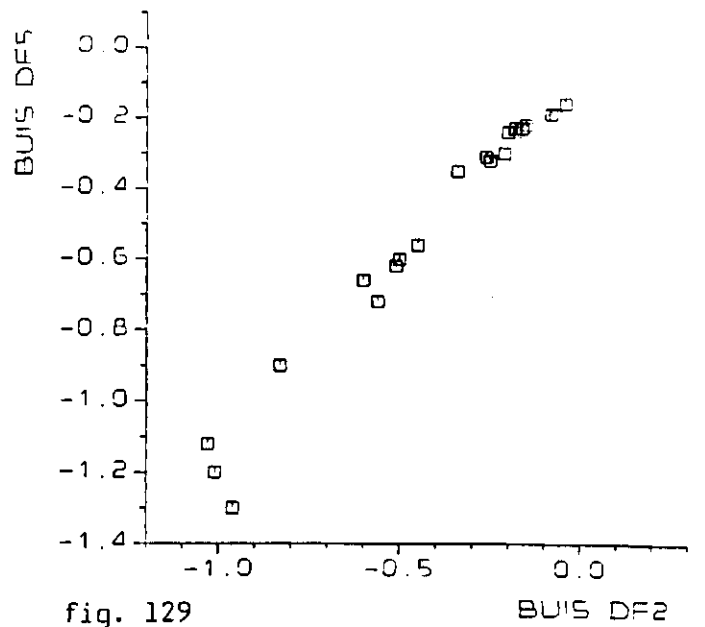


fig. 129

BUIS DF2
CORRELATIEDIAGRAM 1983

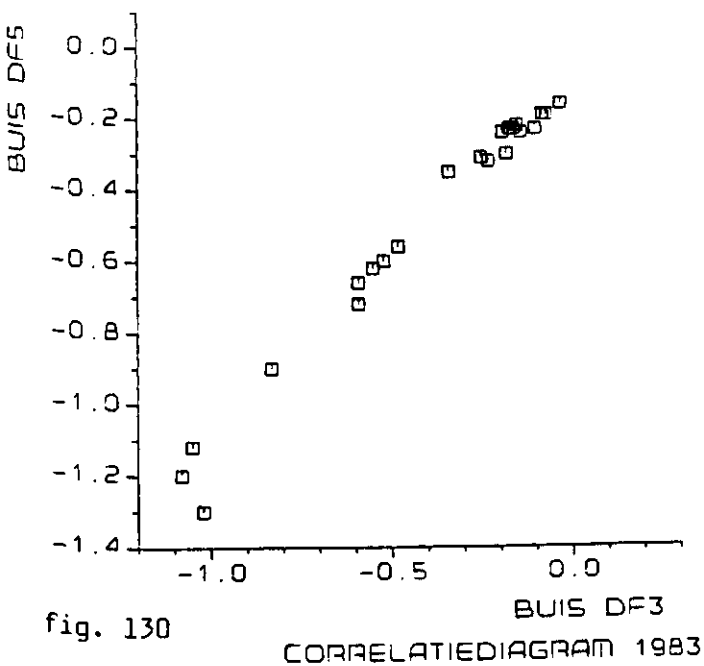


fig. 130

BUIS DF3
CORRELATIEDIAGRAM 1983

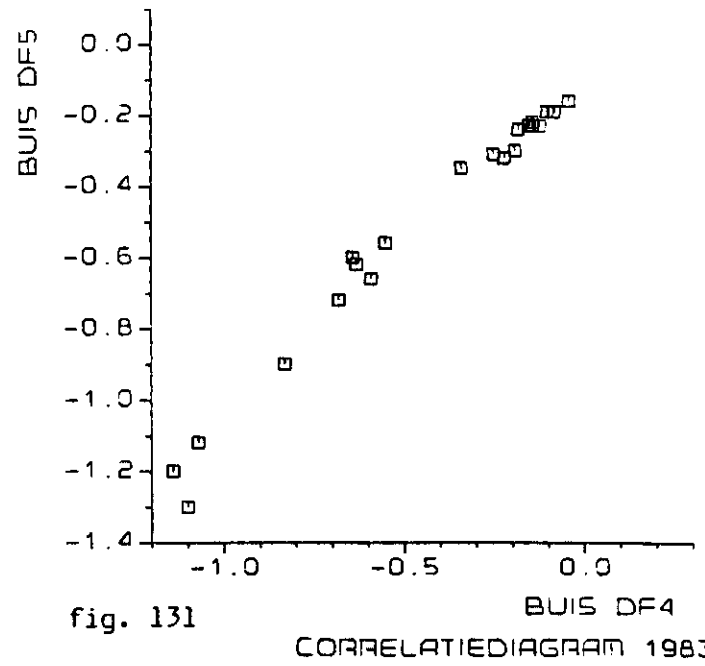


fig. 131

BUIS DF4
CORRELATIEDIAGRAM 1983

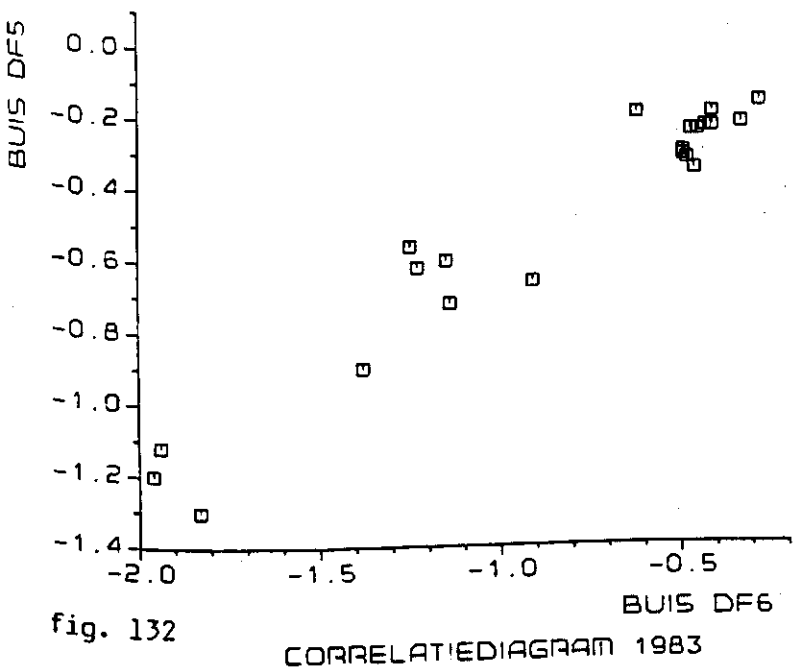
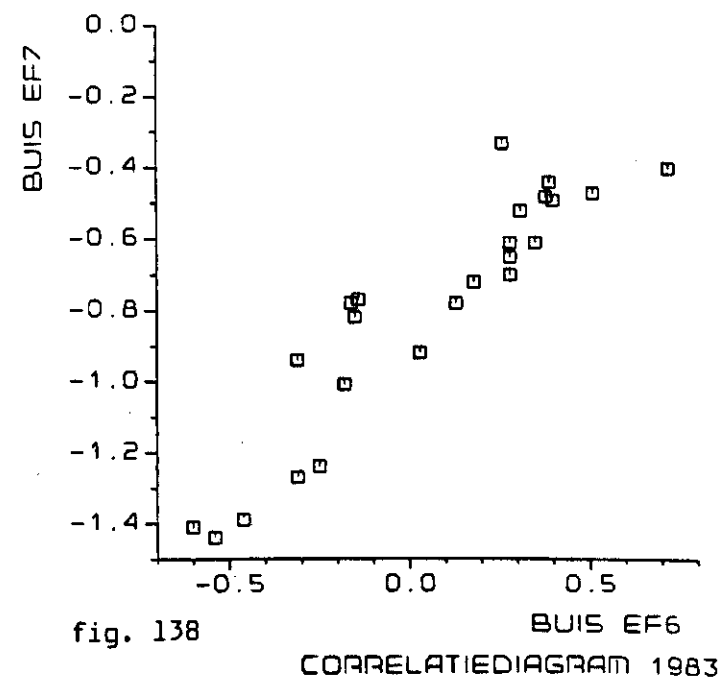
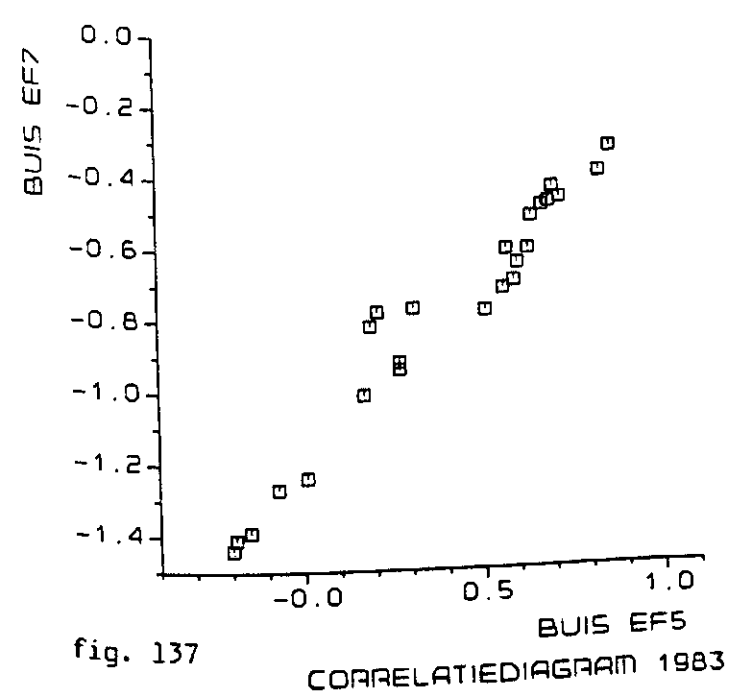
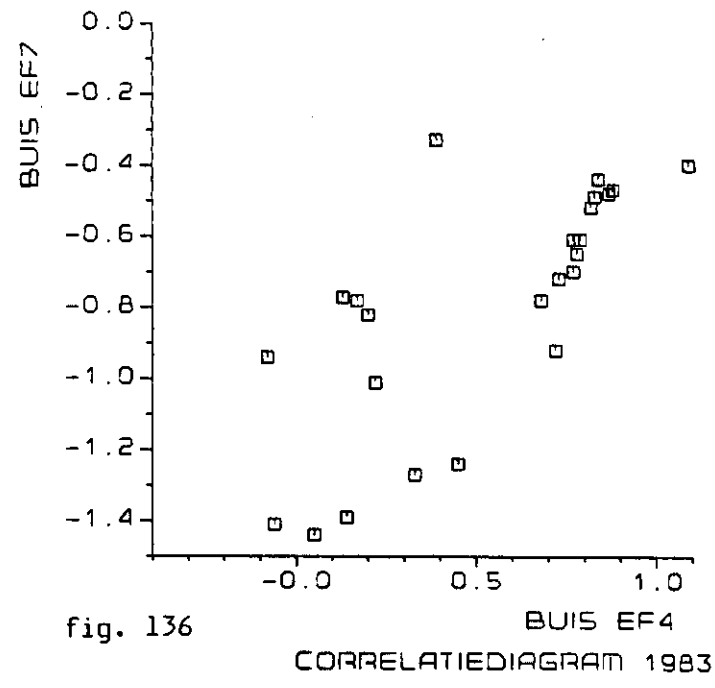
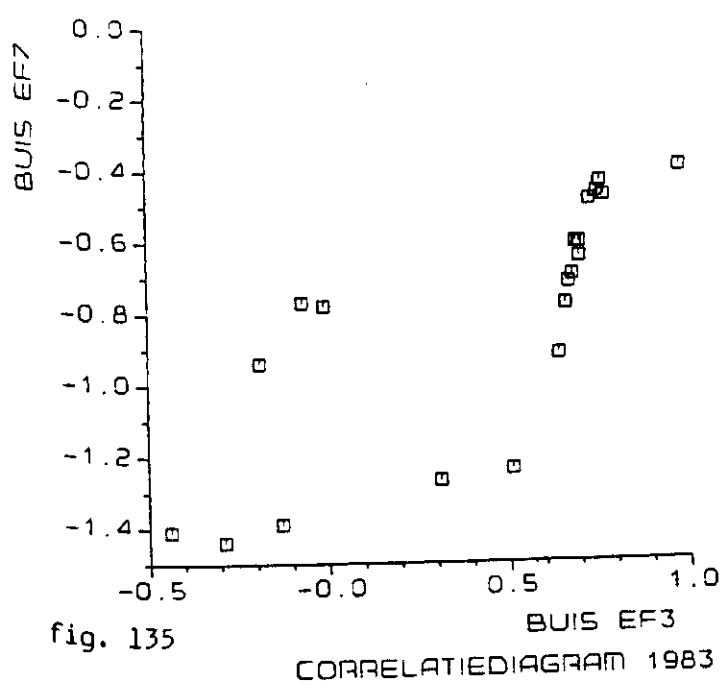
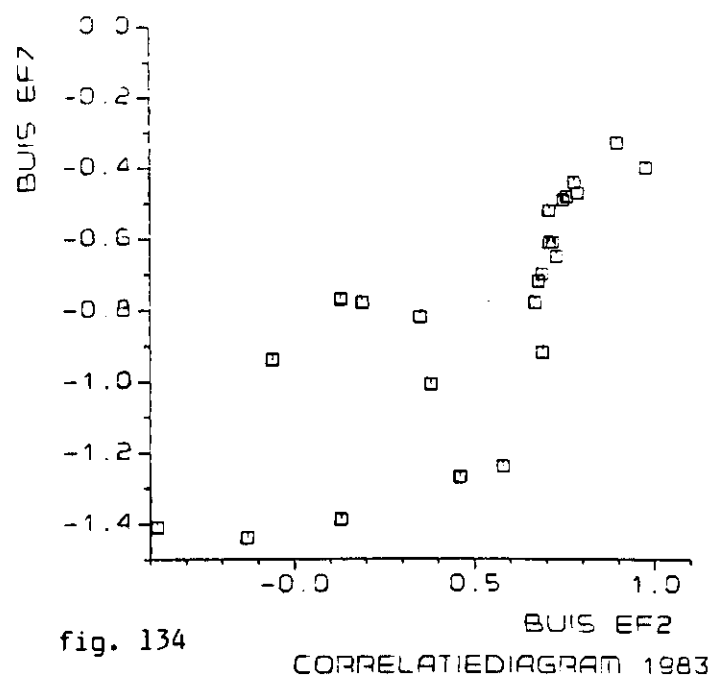
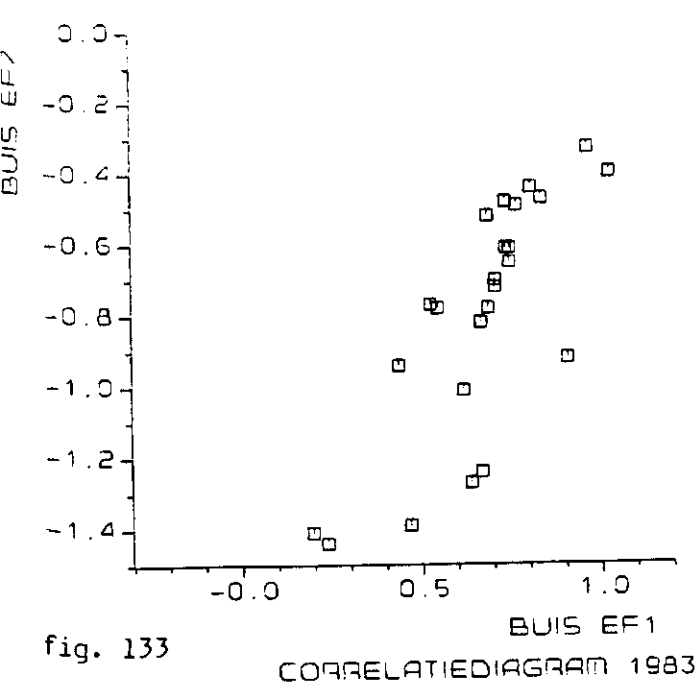


fig. 132

BUIS DF6
CORRELATIEDIAGRAM 1983



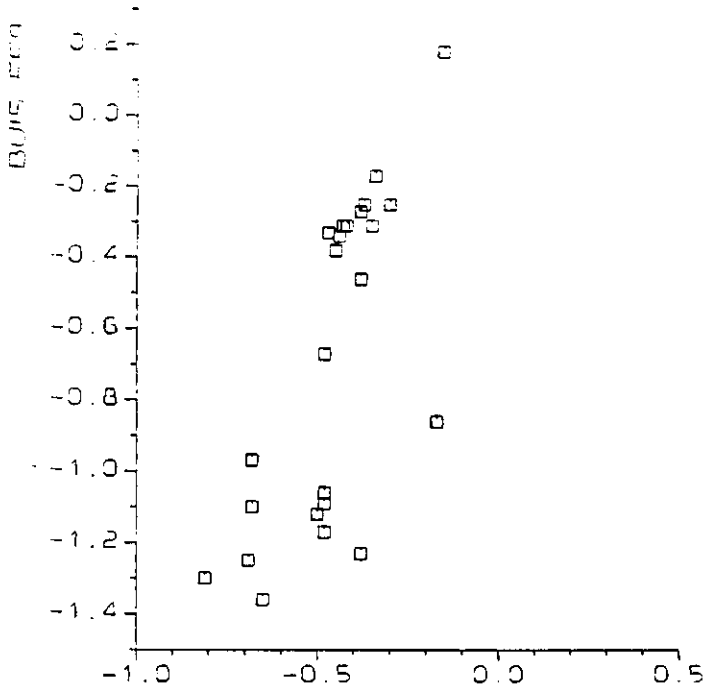


fig. 139
CORRELATEDIAGRAM 1983

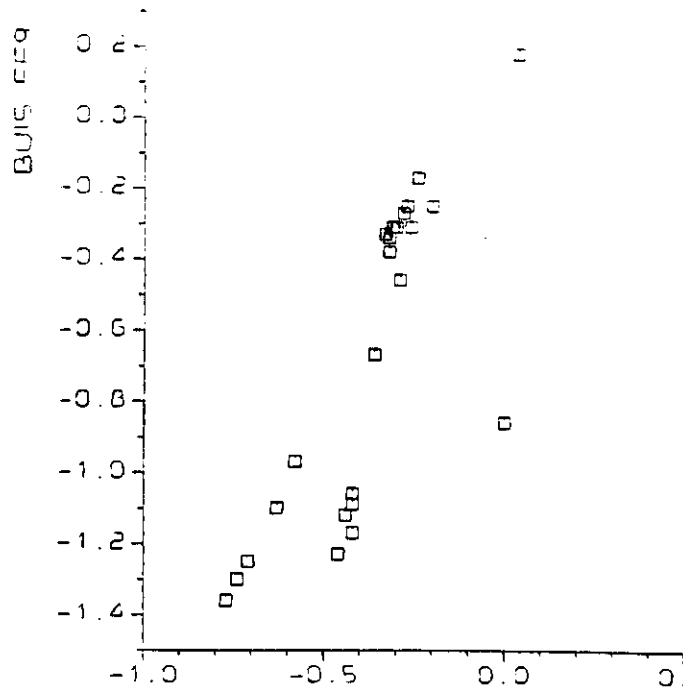


fig. 140
CORRELATEDIAGRAM 1983

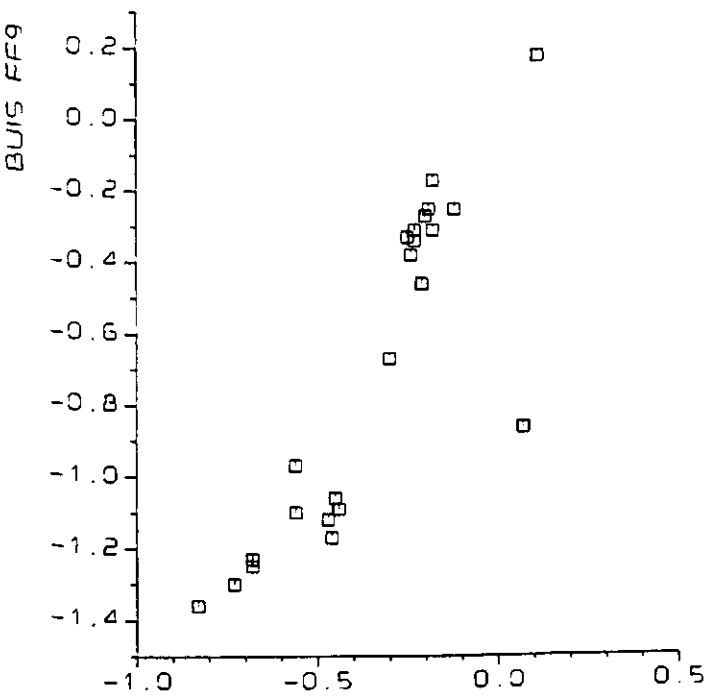


fig. 141
CORRELATEDIAGRAM 1983

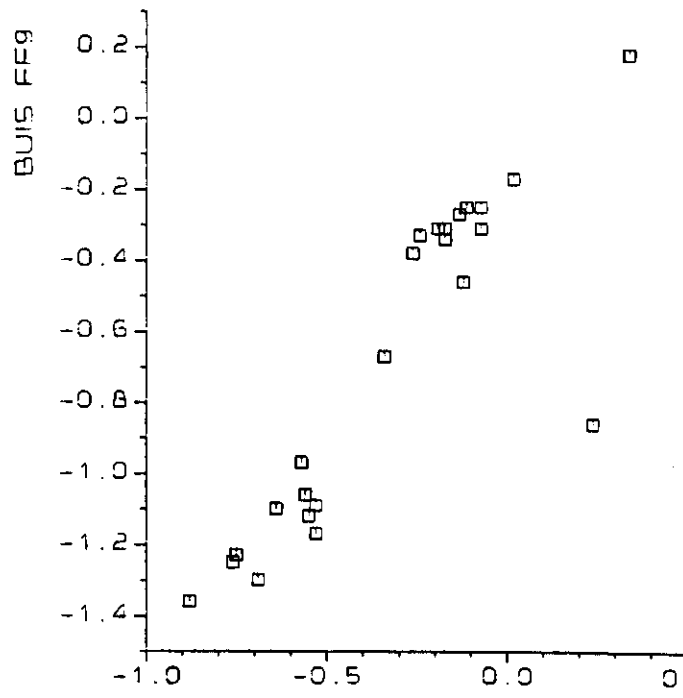
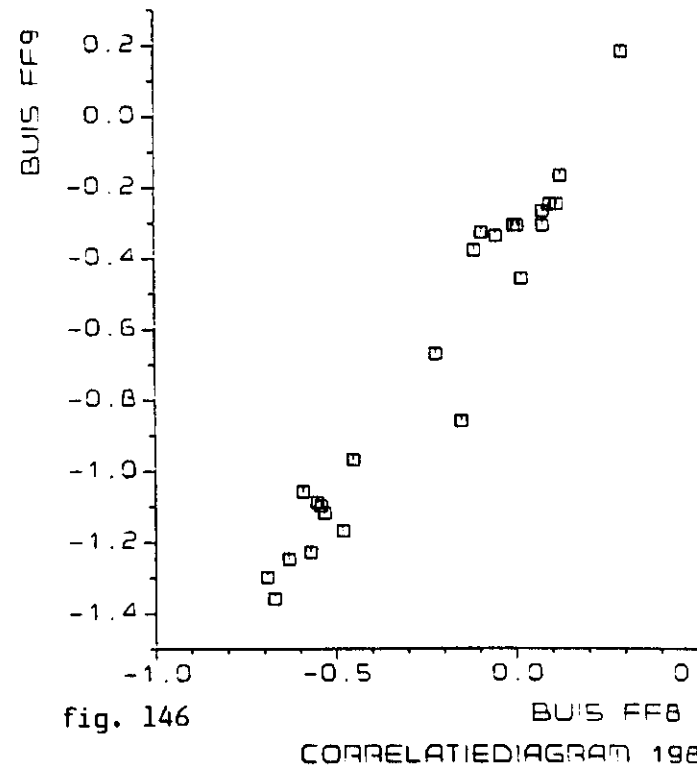
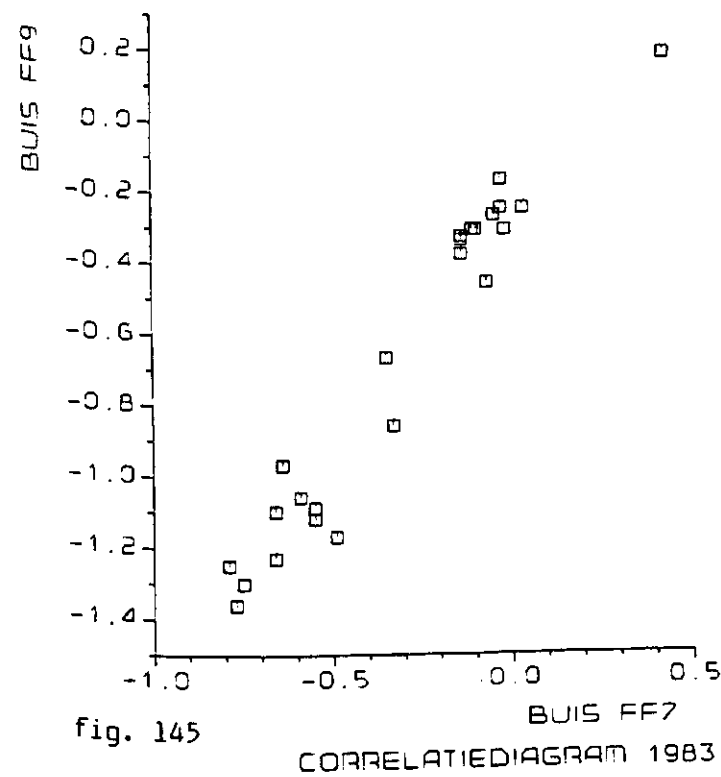
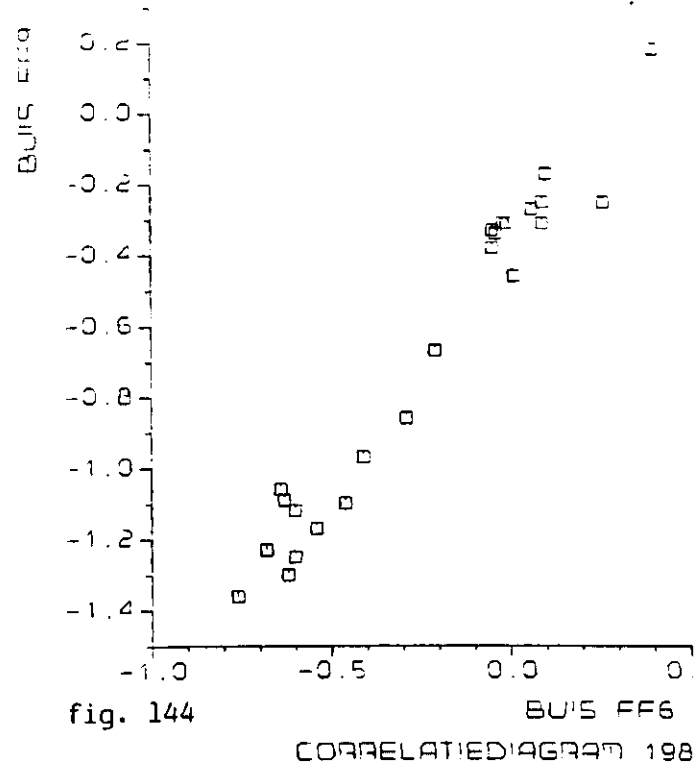
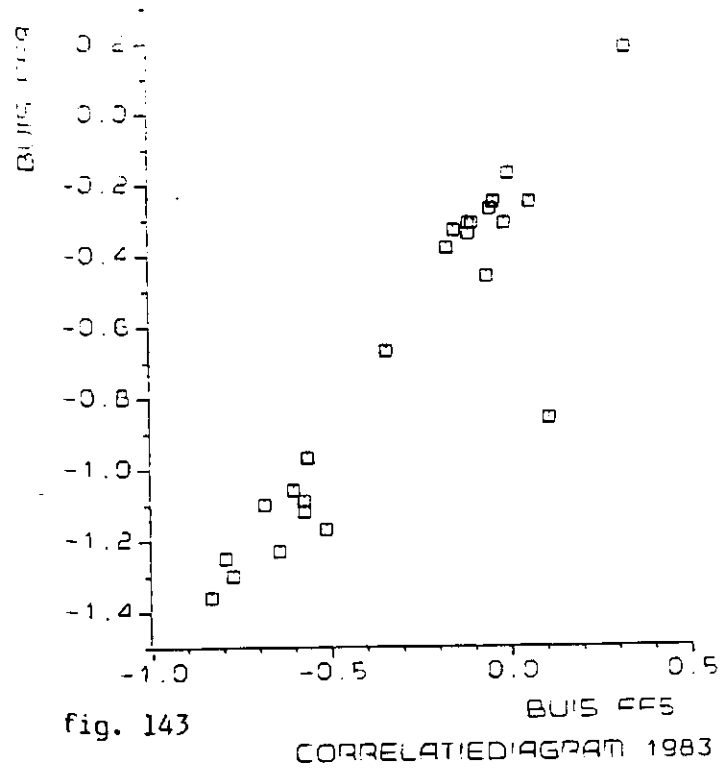


fig. 142
CORRELATEDIAGRAM 1983



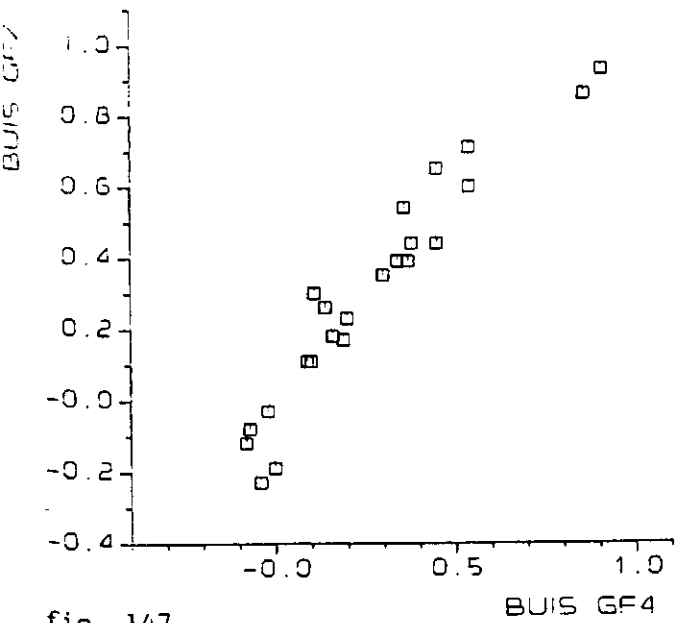


fig. 147

CORRELATIEDIAGRAM 1983

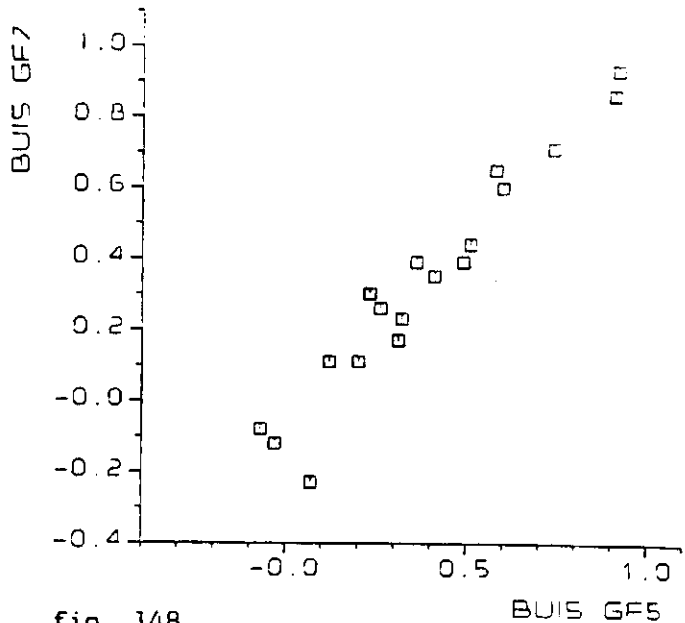


fig. 148

CORRELATIEDIAGRAM 1983

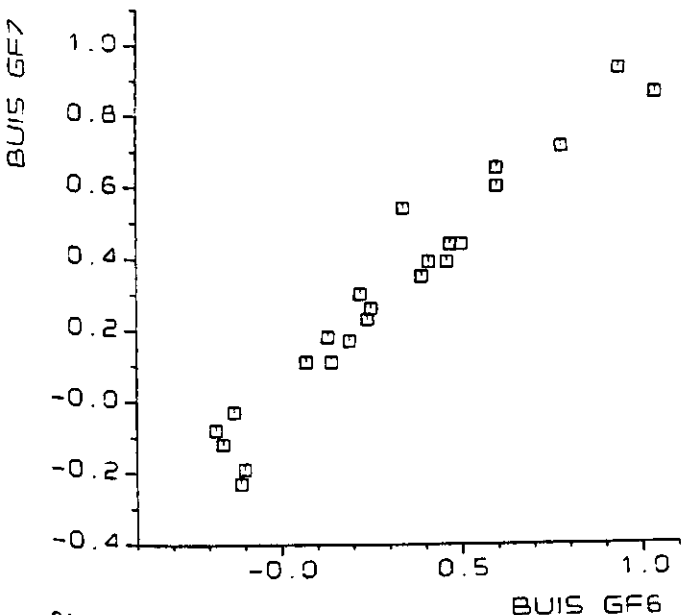


fig. 149

CORRELATIEDIAGRAM 1983

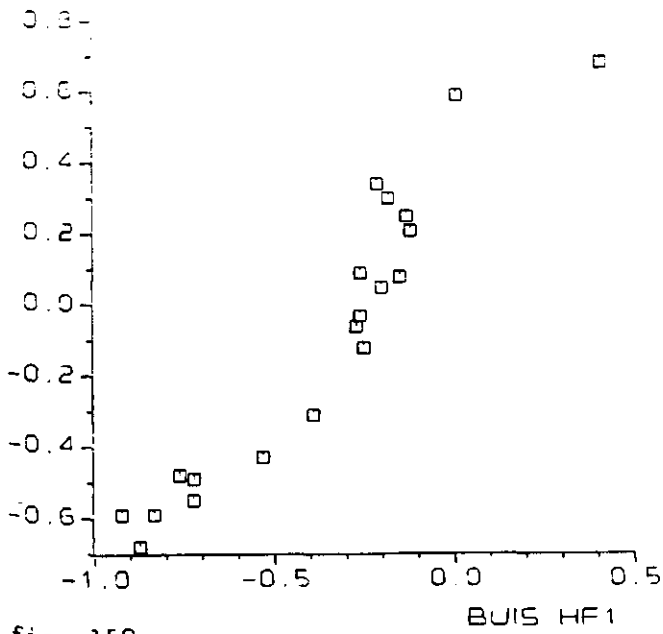


fig. 150
CORRELATEDIAGRAM 1983

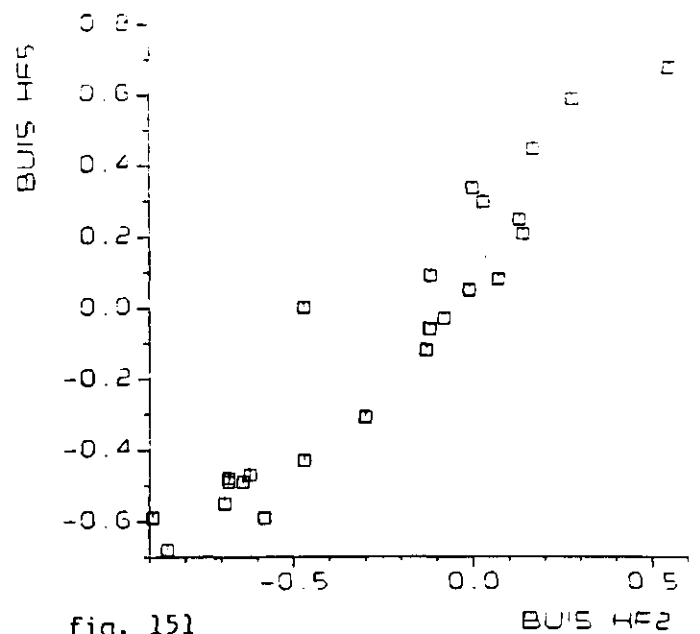


fig. 151
CORRELATEDIAGRAM 1983

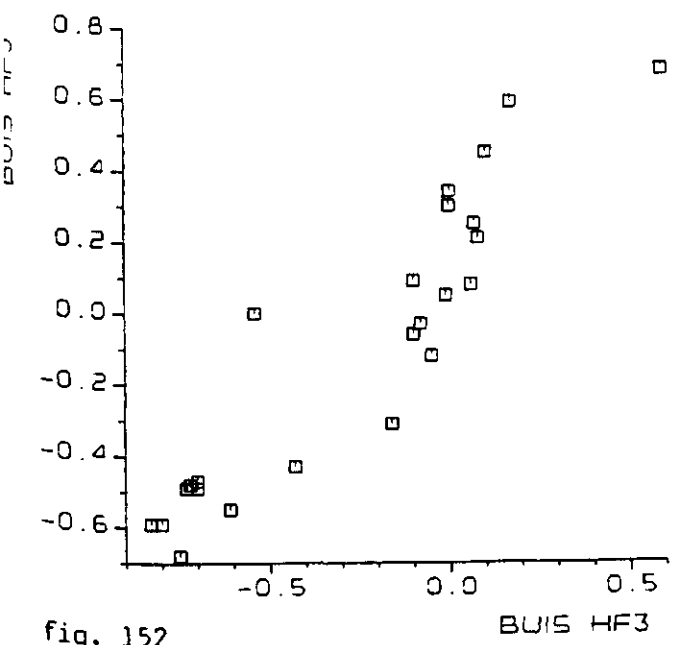


fig. 152
CORRELATEDIAGRAM 1983

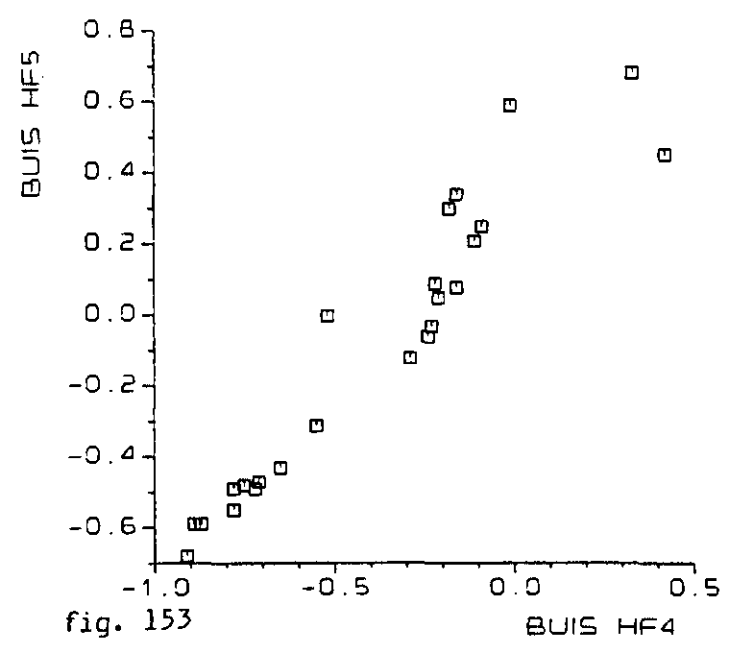


fig. 153
CORRELATEDIAGRAM 1983

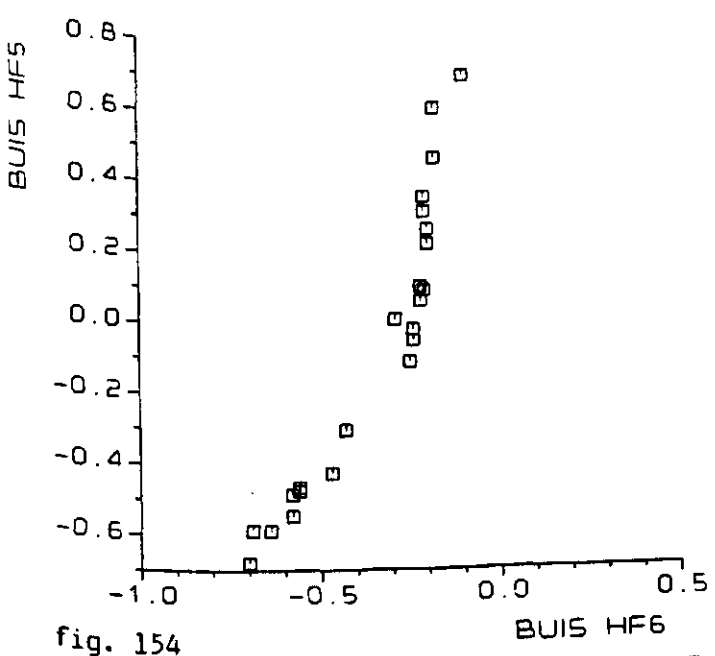
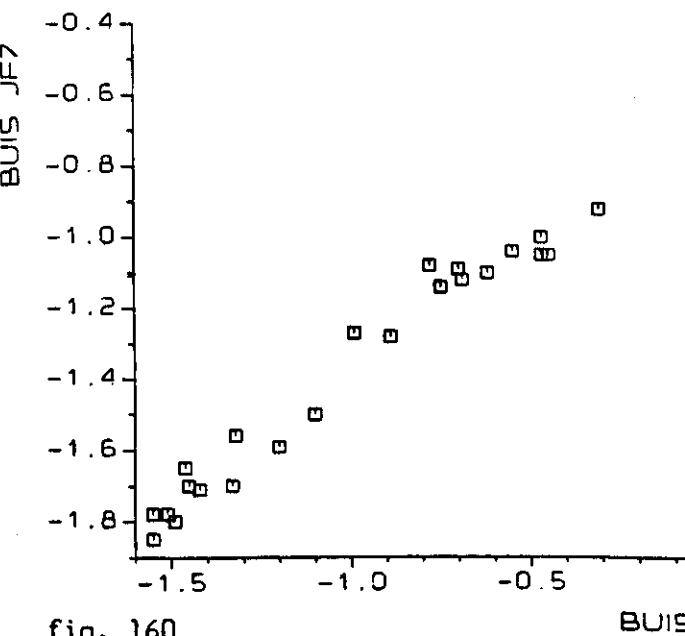
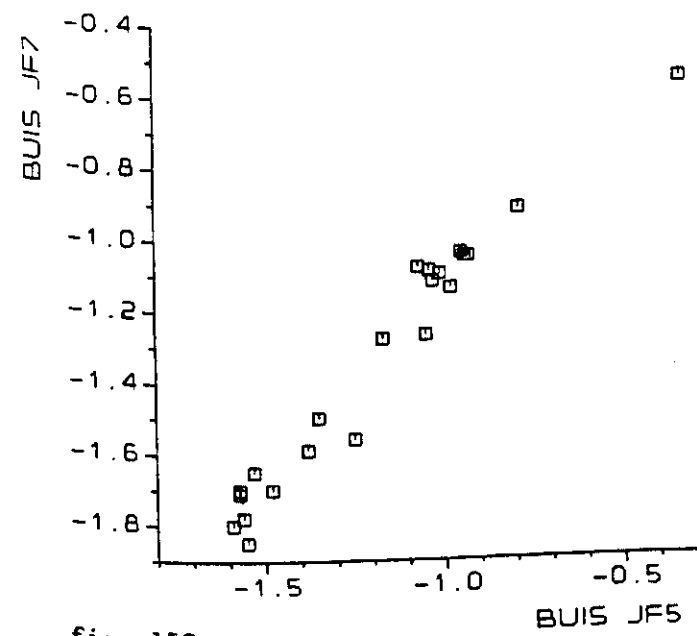
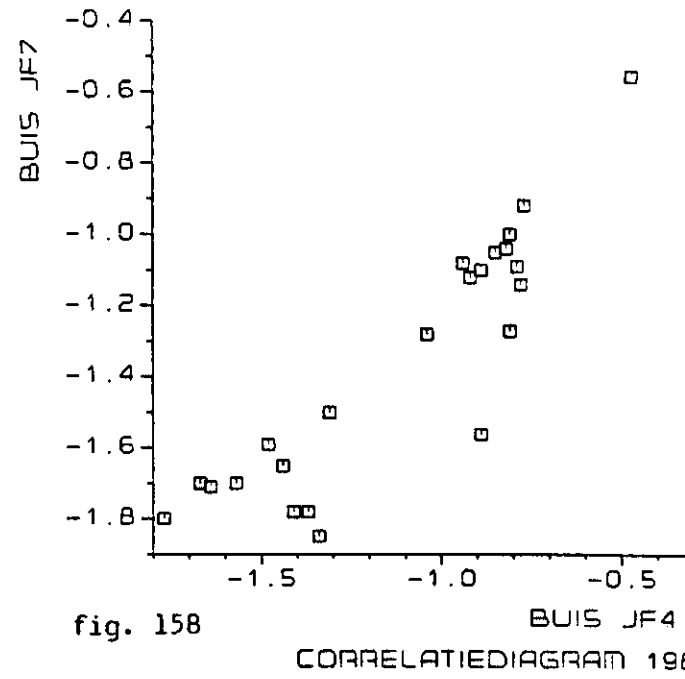
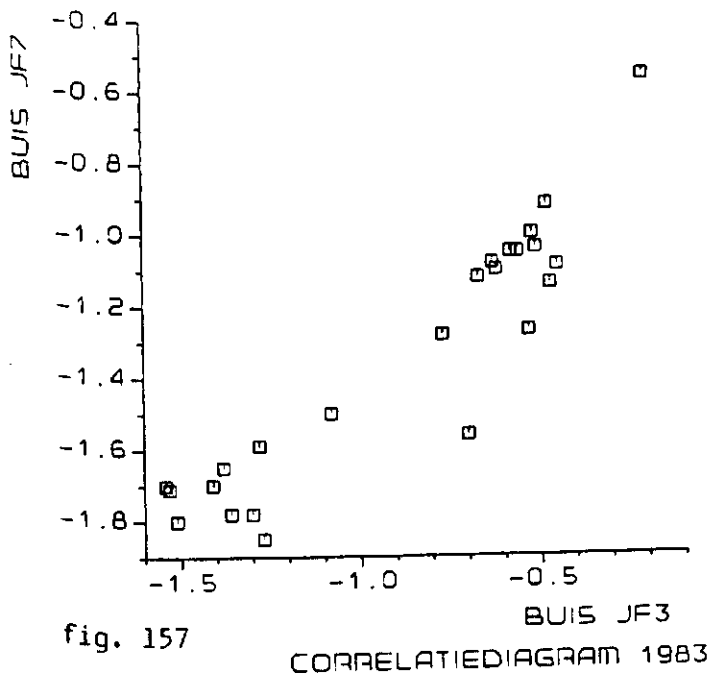
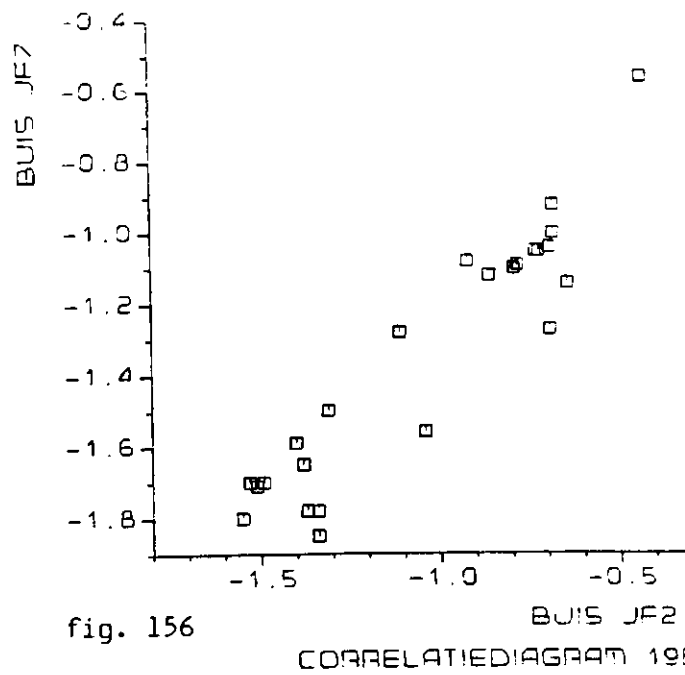
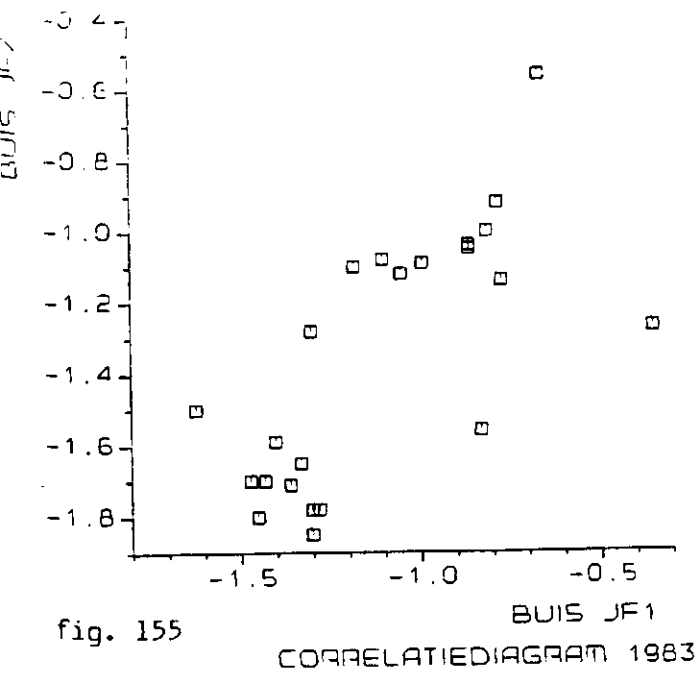


fig. 154
CORRELATEDIAGRAM 1983



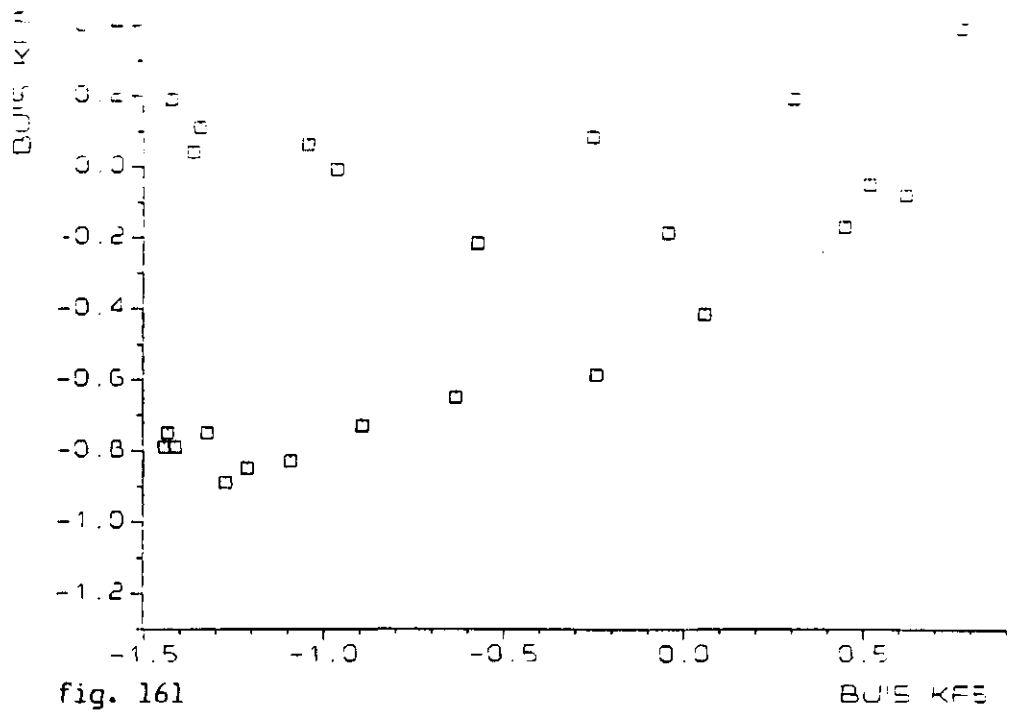


fig. 161

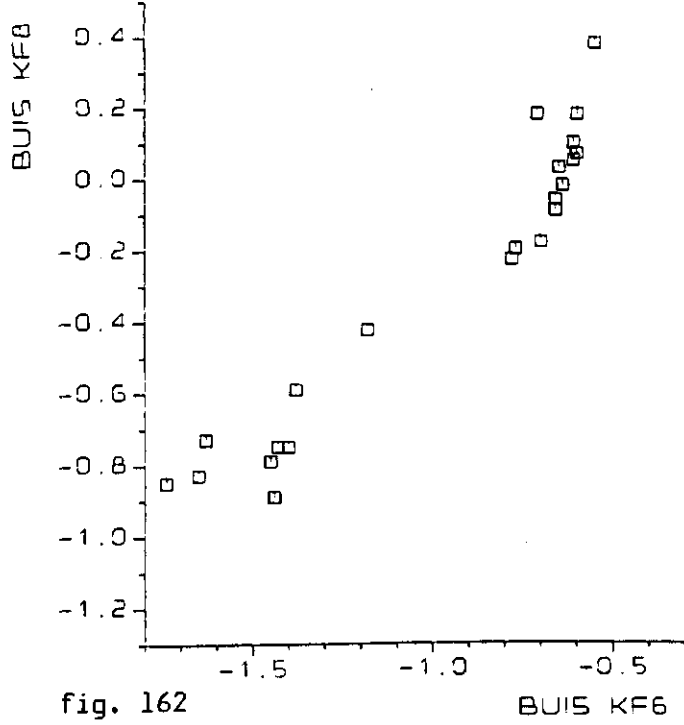


fig. 162

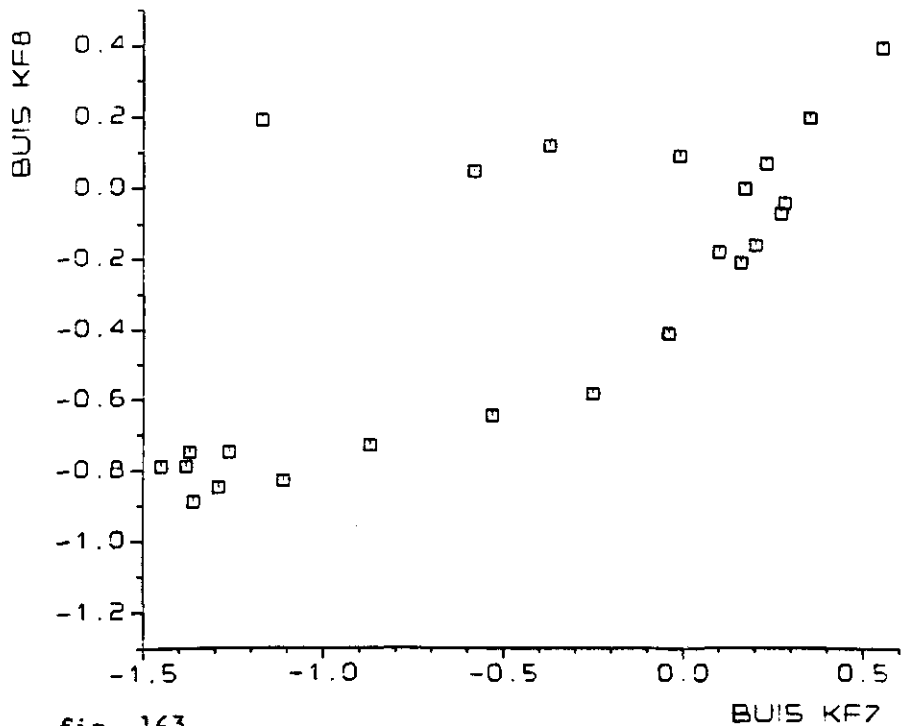


fig. 163

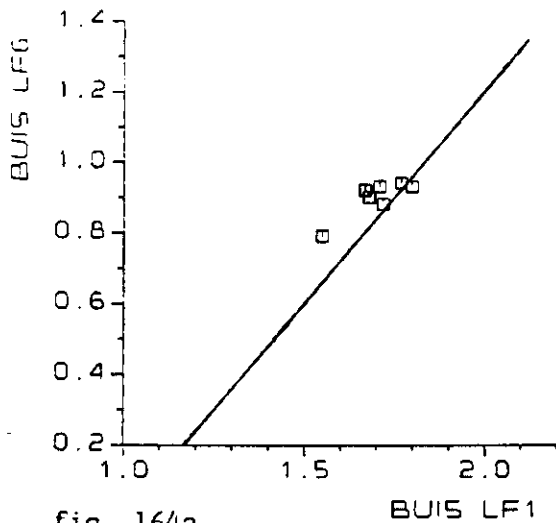


fig. 164a
CORR. DIAGRAM NOV'82 - FEB'83

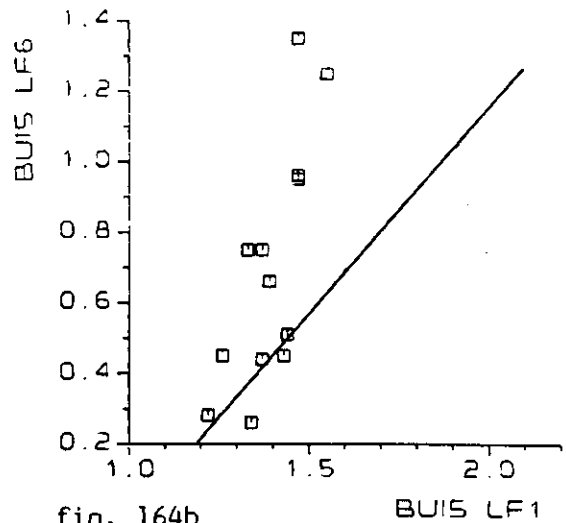


fig. 164b
CORR. DIAGRAM JUN'83 - DEC'83

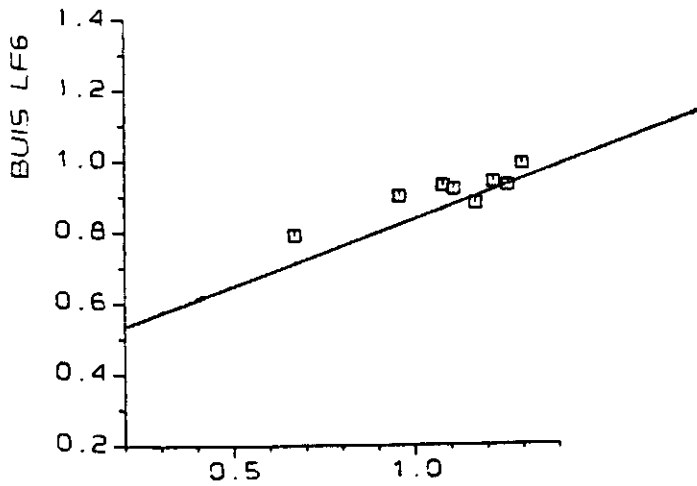


fig. 165a
CORR. DIAGRAM NOV'82 - FEB'83

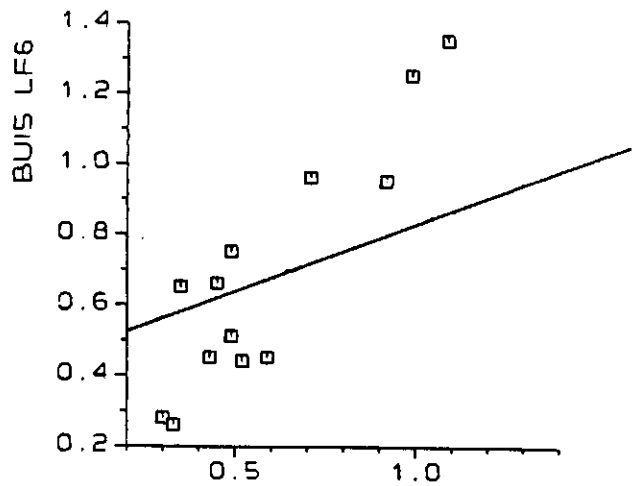


fig. 165b
CORR. DIAGRAM JUN'83 - DEC'83

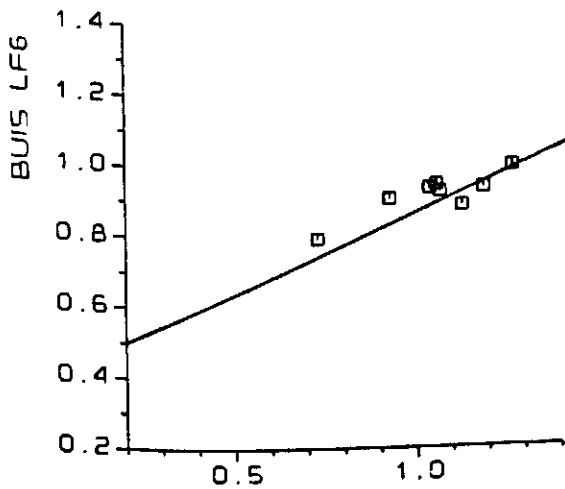


fig. 166a
CORR. DIAGRAM NOV'82 - FEB'83

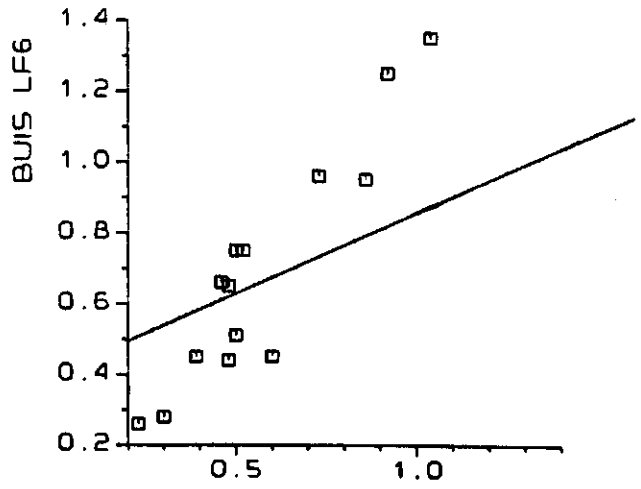


fig. 166b
CORR. DIAGRAM JUN'83 - DEC'83

Correlatiediagrammen 1983 met lineaire regressielijnen van '81-'82.

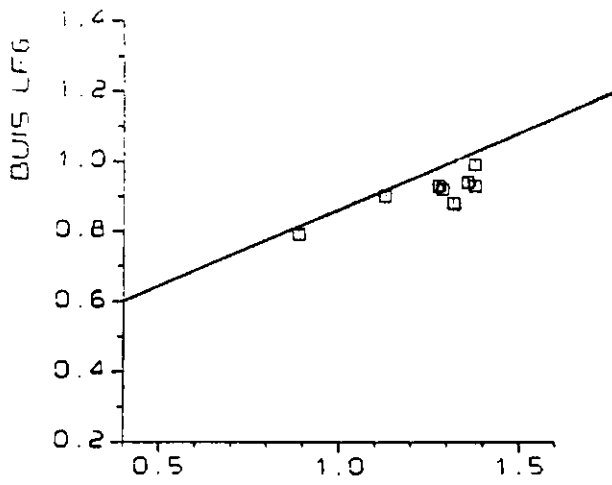


fig. 167a
CORR. DIAGRAM NOV'82 - FEB'83

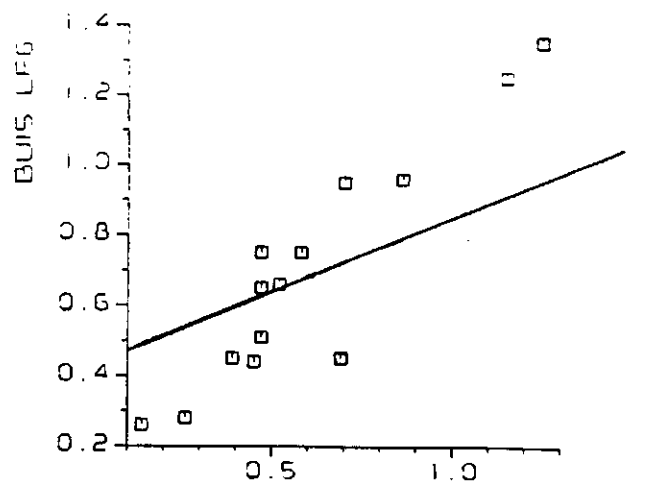


fig. 167b
CORR. DIAGRAM JUN'83 - DEC'83

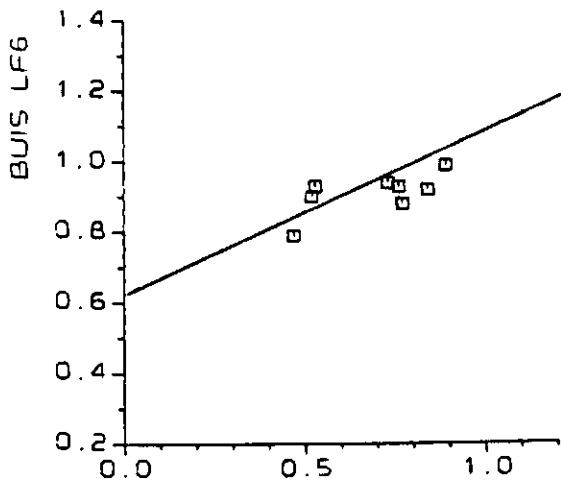


fig. 168a
CORR. DIAGRAM NOV'82 - FEB'83

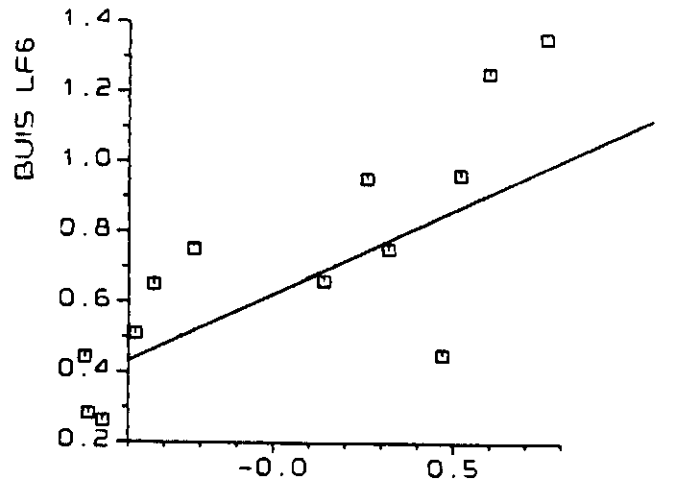


fig. 168b
CORR. DIAGRAM JUN'83 - DEC'83

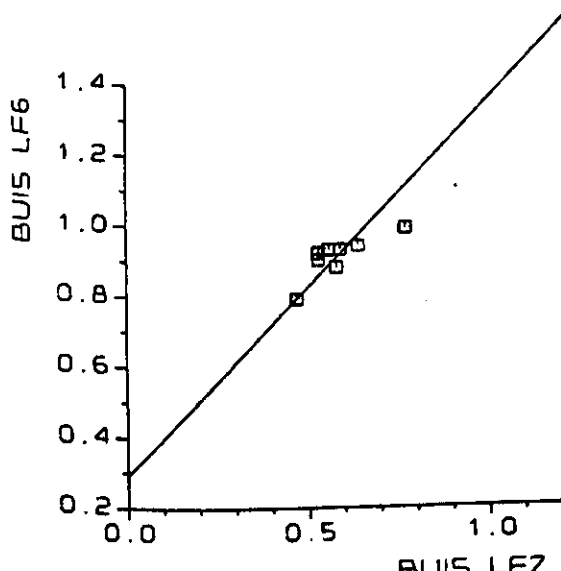


fig. 169a
CORR. DIAGRAM NOV'82 - FEB'83

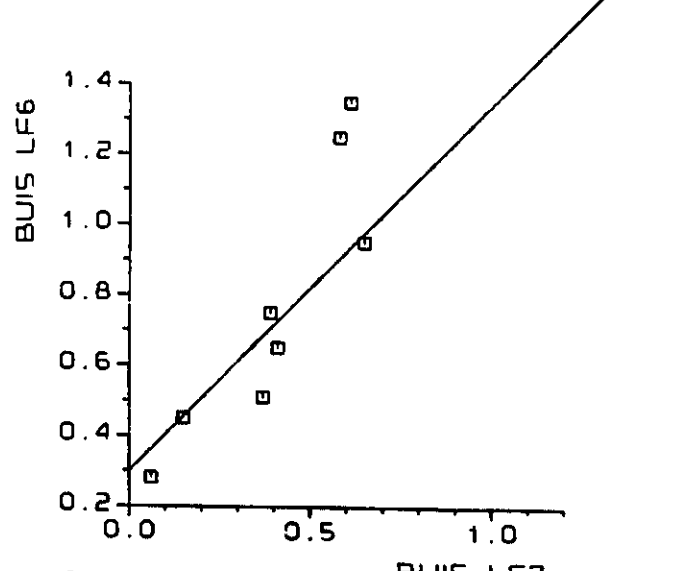


fig. 169b
CORR. DIAGRAM JUN'83 - DEC'83

Correlatiediagrammen 1983 met lineaire regressielijnen van '81-'82.

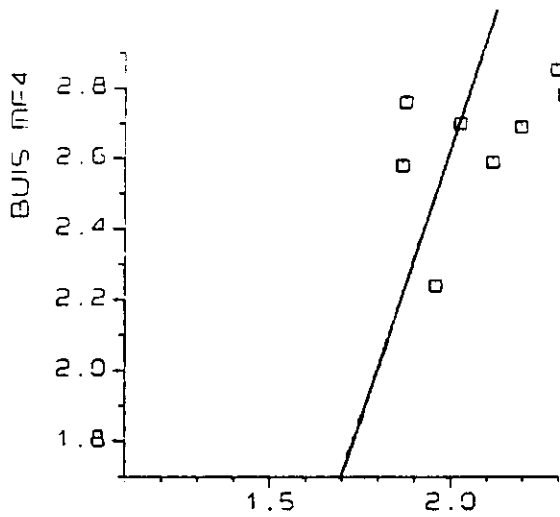


fig. 170a BUIS MF1
CORR. DIAGRAM NOV'82 - FEB'83

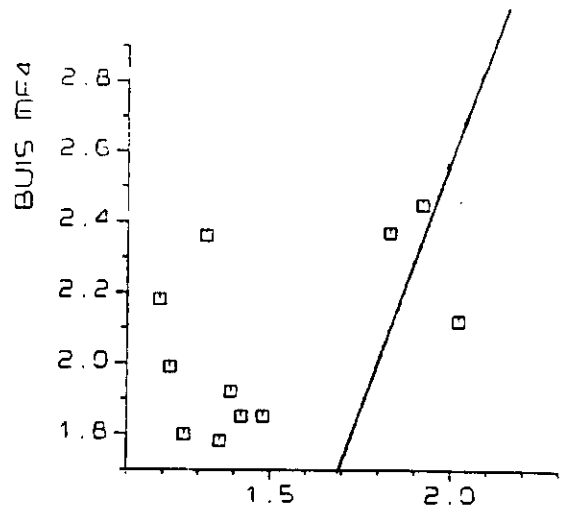


fig. 170b BUIS MF1
CORR. DIAGRAM JUN'83 - DEC'83

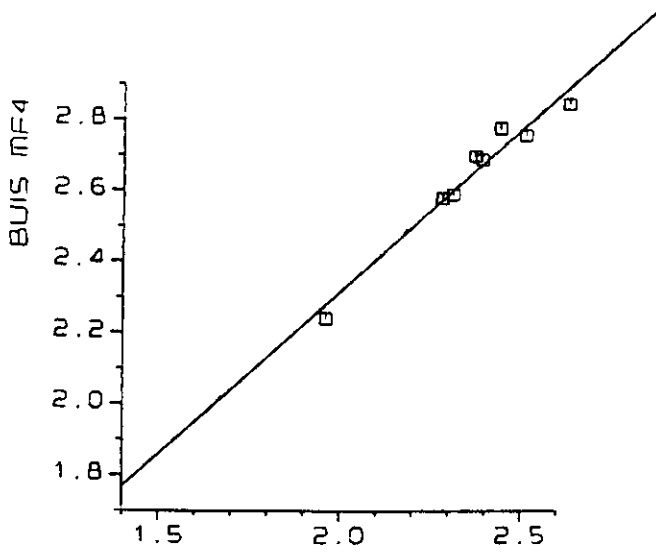


fig. 171a BUIS MF2
CORR. DIAGRAM NOV'82 - FEB'83

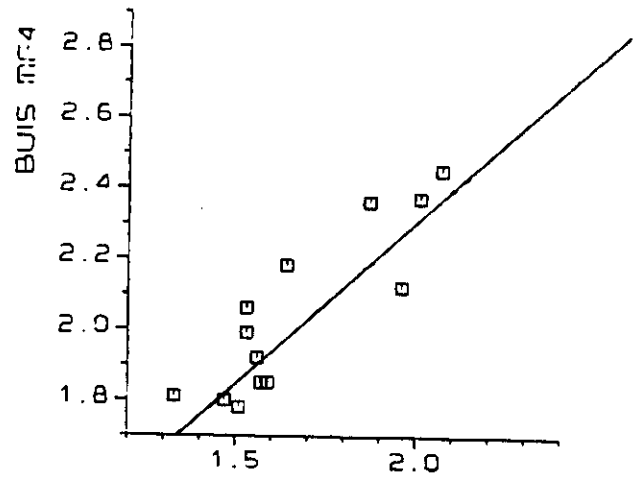


fig. 171b BUIS MF2
CORR. DIAGRAM JUN'83 - DEC'83

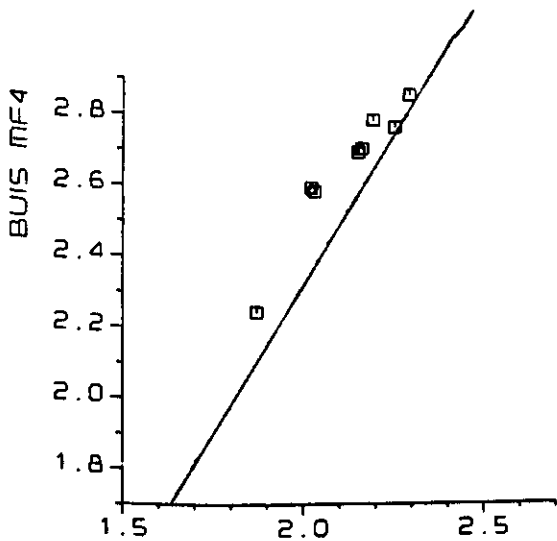


fig. 172a BUIS MF3
CORR. DIAGRAM NOV'82 - FEB'83

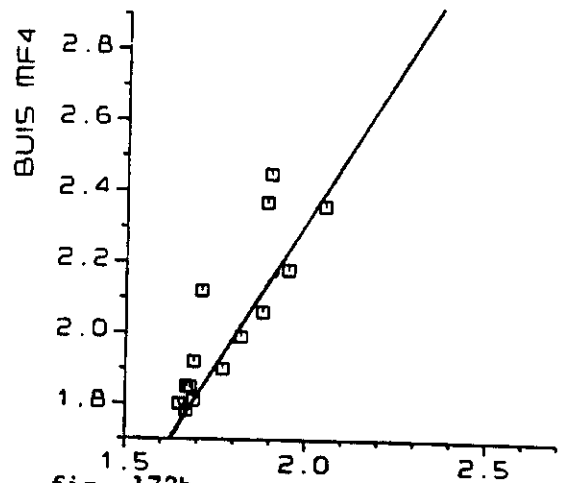


fig. 172b BUIS MF3
CORR. DIAGRAM JUN'83 - DEC'83

Correlatiediagrammen 1983 met lineaire regressielijnen van '81-'82.

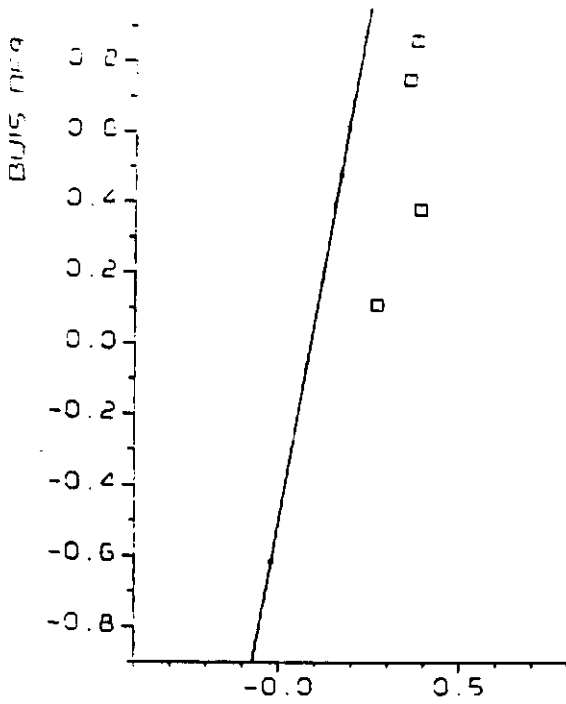


fig. 173a
CORR. DIAGRAM NOV'82 - FEB'83

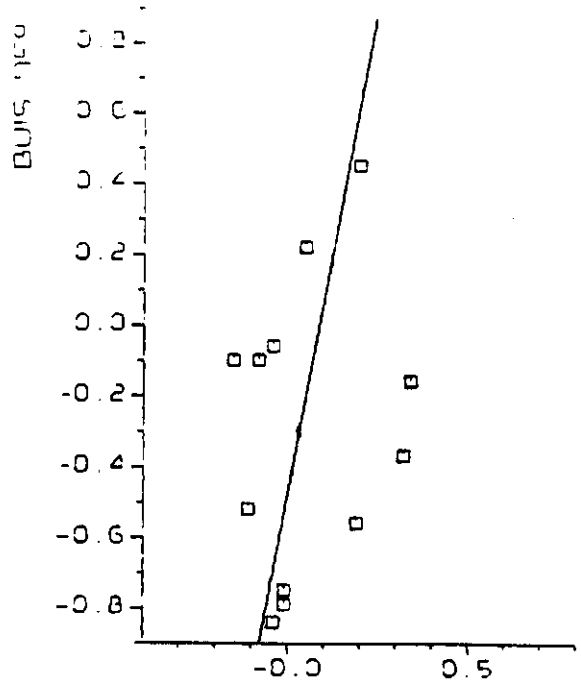


fig. 173b
CORR. DIAGRAM JUN'83 - DEC'83

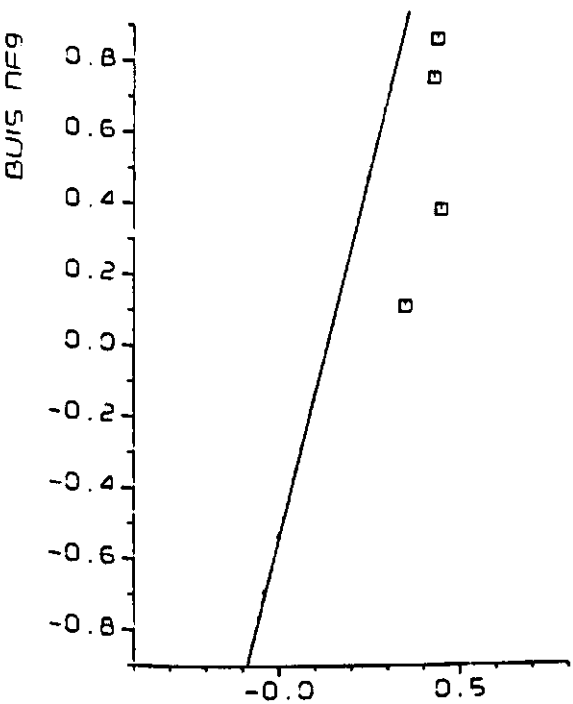


fig. 174a
CORR. DIAGRAM NOV'82 - FEB'83

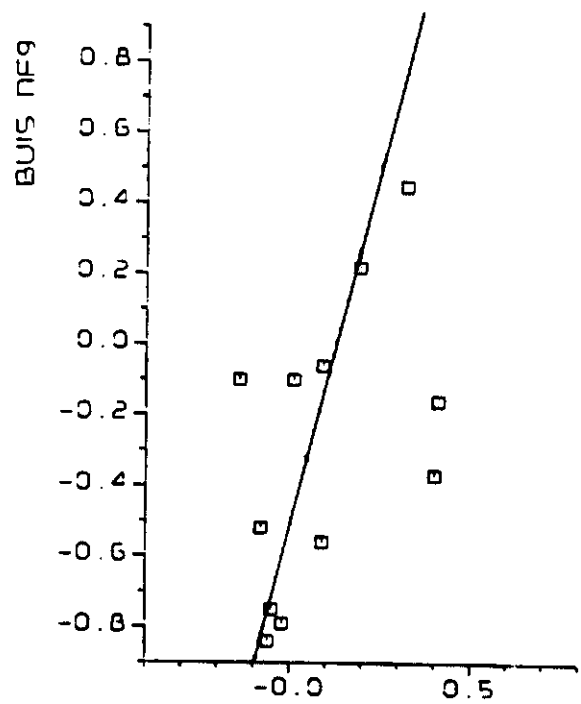


fig. 174b
CORR. DIAGRAM JUN'83 - DEC'83

Correlatiediagrammen 1983 met lineaire regressielijnen van '81-'82.

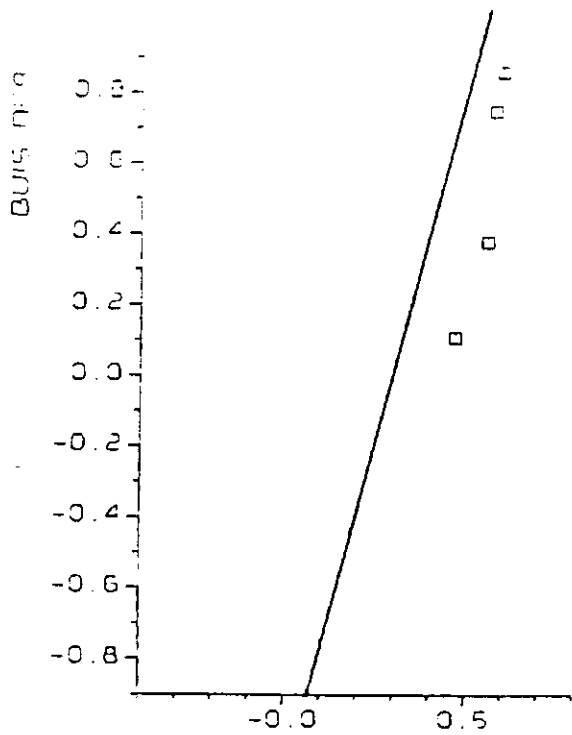


fig. 175a
CORR. DIAGRAM NOV'82 - FEB'83

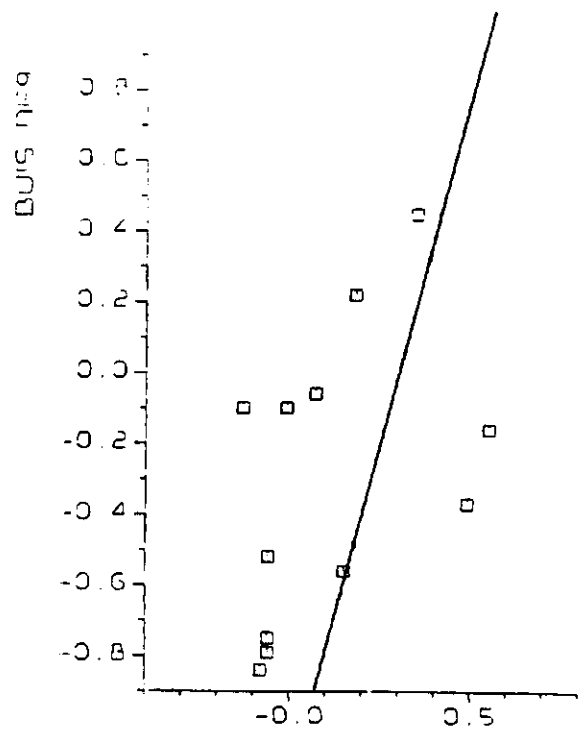


fig. 175b
CORR. DIAGRAM JUN'83 - DEC'83

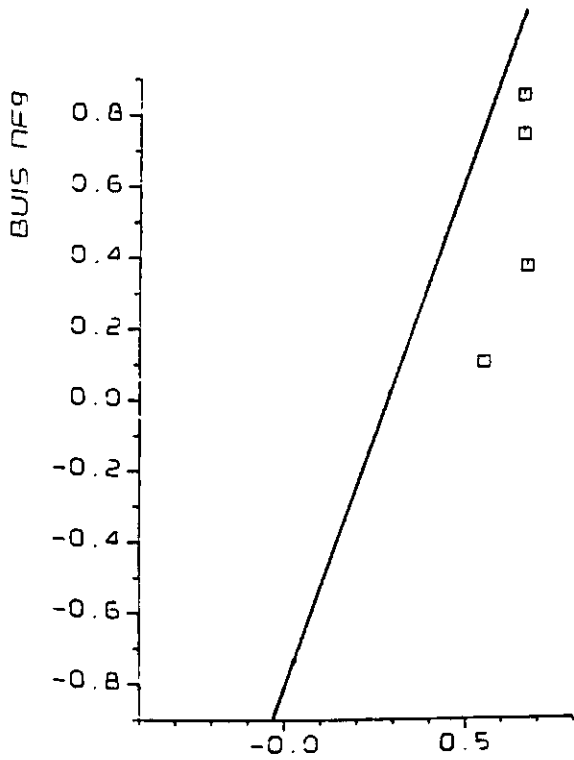


fig. 176a
CORR. DIAGRAM NOV'82 - FEB'83

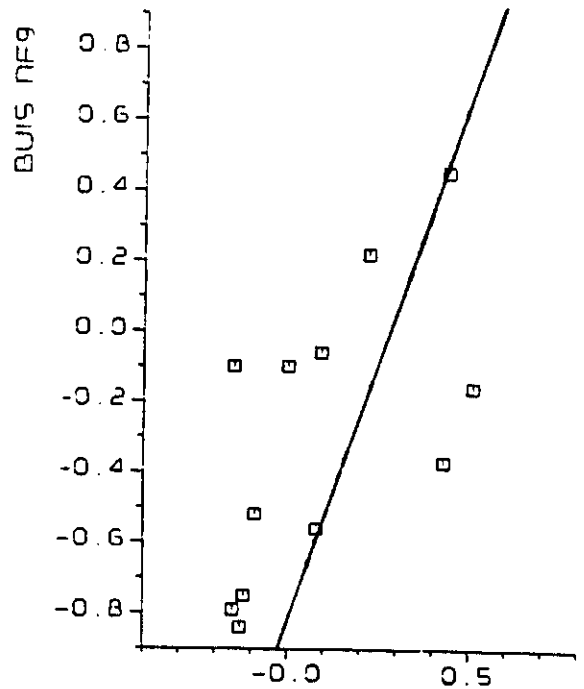


fig. 176b
CORR. DIAGRAM JUN'83 - DEC'83

Correlatiediagrammen 1983 met lineaire regressielijnen van '81-'82.

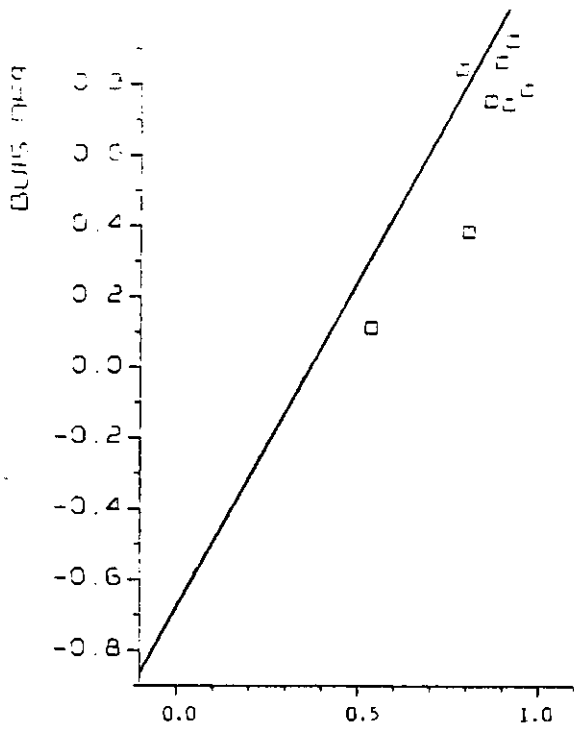


fig. 177a
CORR. DIAGRAM NOV'82 - FEB'83

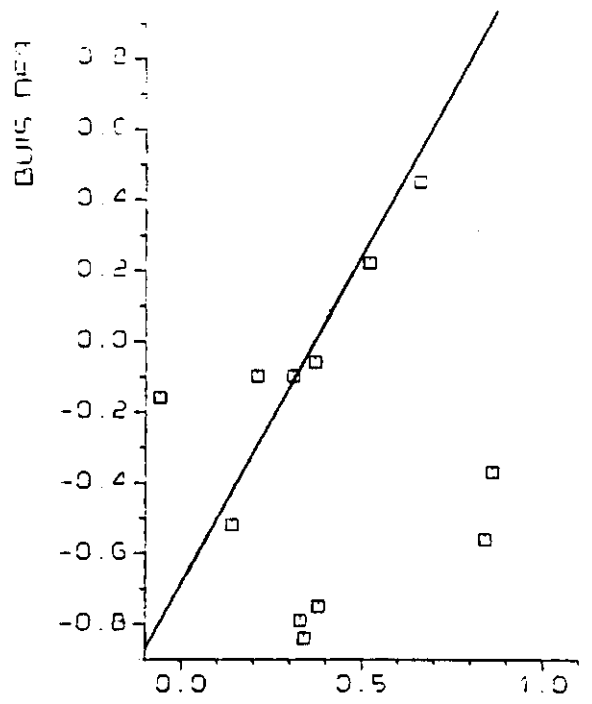


fig. 177b
CORR. DIAGRAM JUN'83 - DEC'83

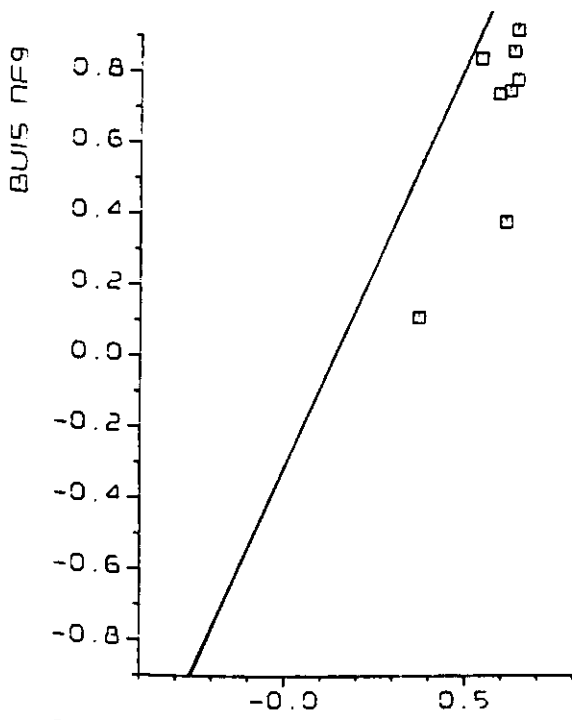


fig. 178a
CORR. DIAGRAM NOV'82 - FEB'83

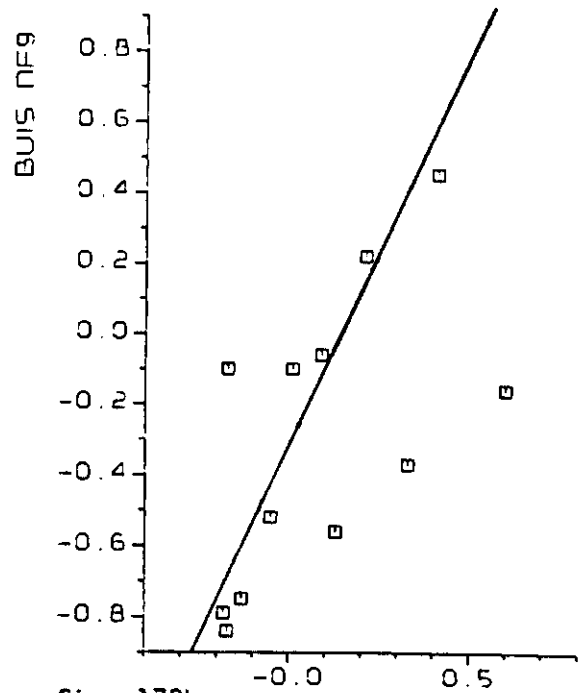


fig. 178b
CORR. DIAGRAM JUN'83 - DEC'83

Correlatiediagrammen 1983 met lineaire regressielijnen van '81-'82.

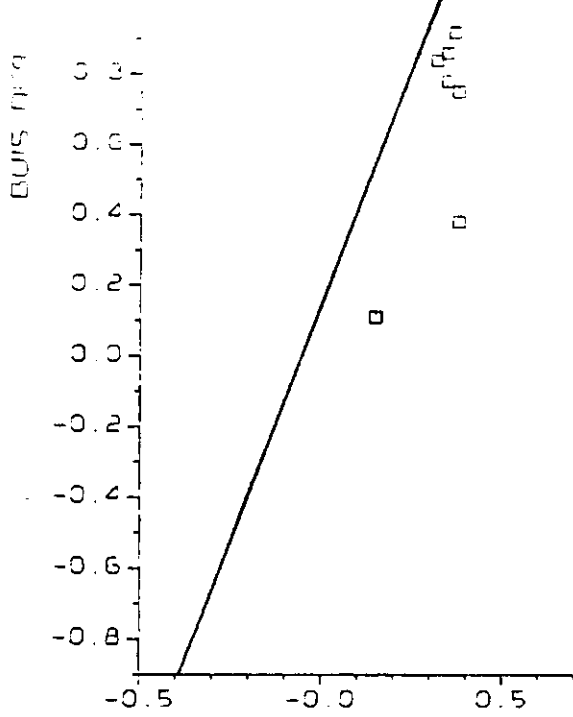


fig. 179a
CORR. DIAGRAM NOV'82 - FEB'83

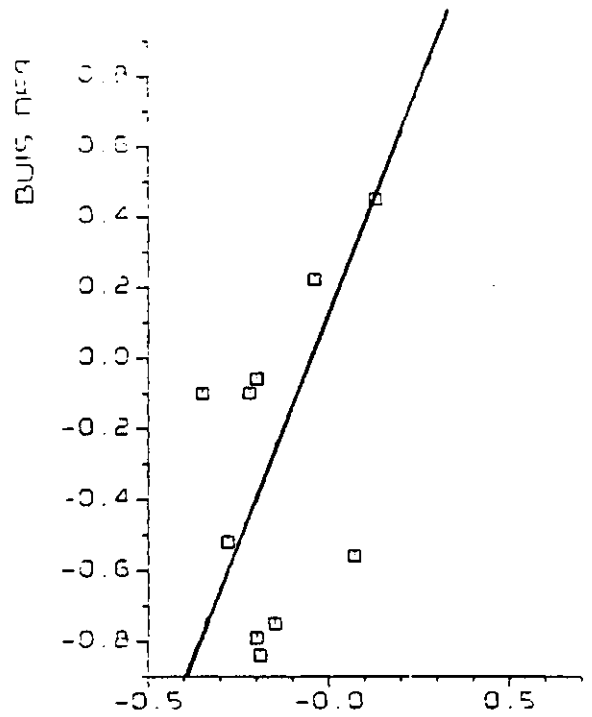


fig. 179b
CORR. DIAGRAM JUN'83 - DEC'83

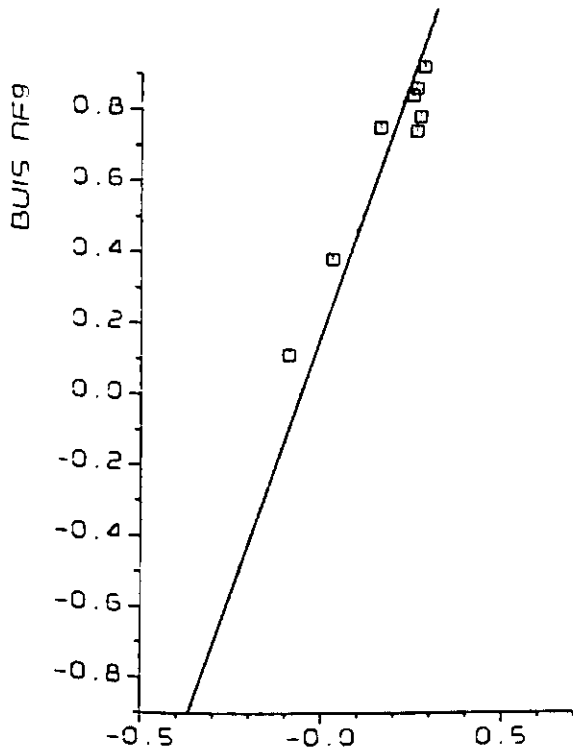


fig. 180a
CORR. DIAGRAM NOV'82 - FEB'83

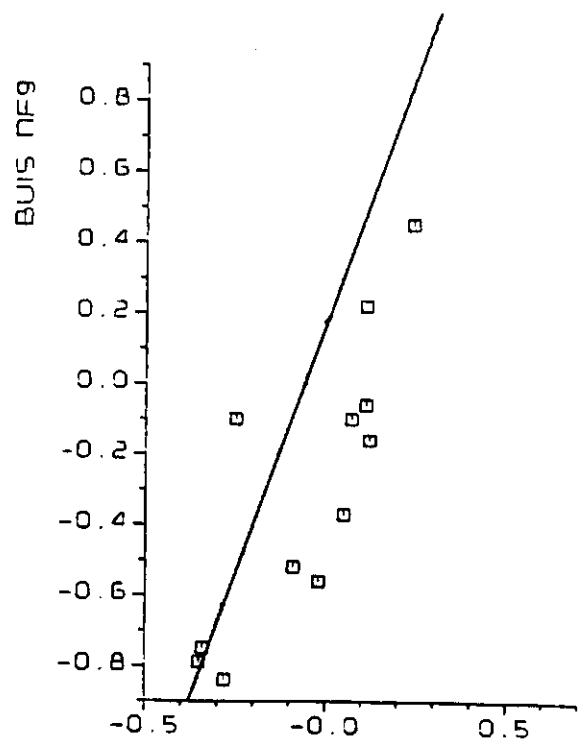


fig. 180b
CORR. DIAGRAM JUN'83 - DEC'83

Correlatiediagrammen 1983 met lineaire regressielijnen van '81-'82.

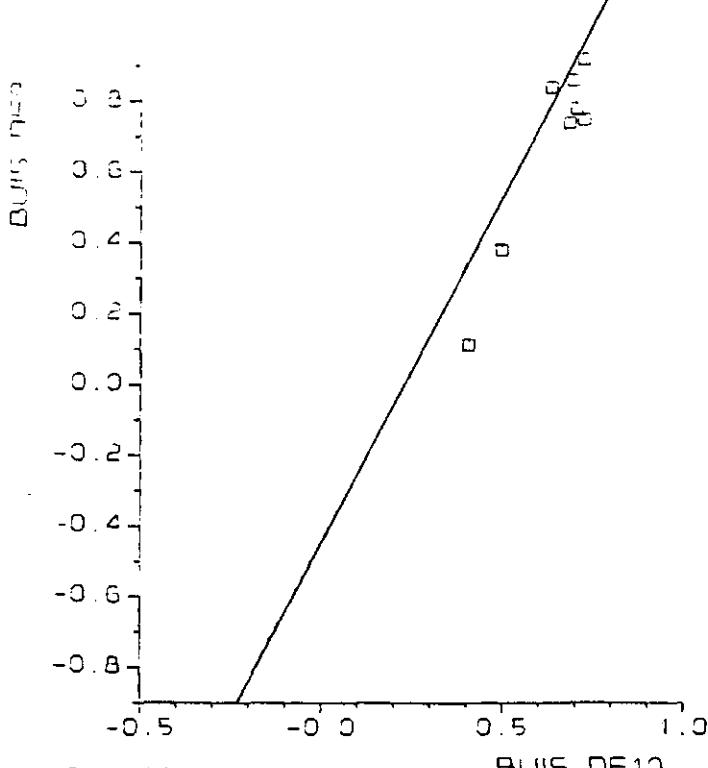


fig. 181a
CORR. DIAGRAM NOV'82 - FEB'83

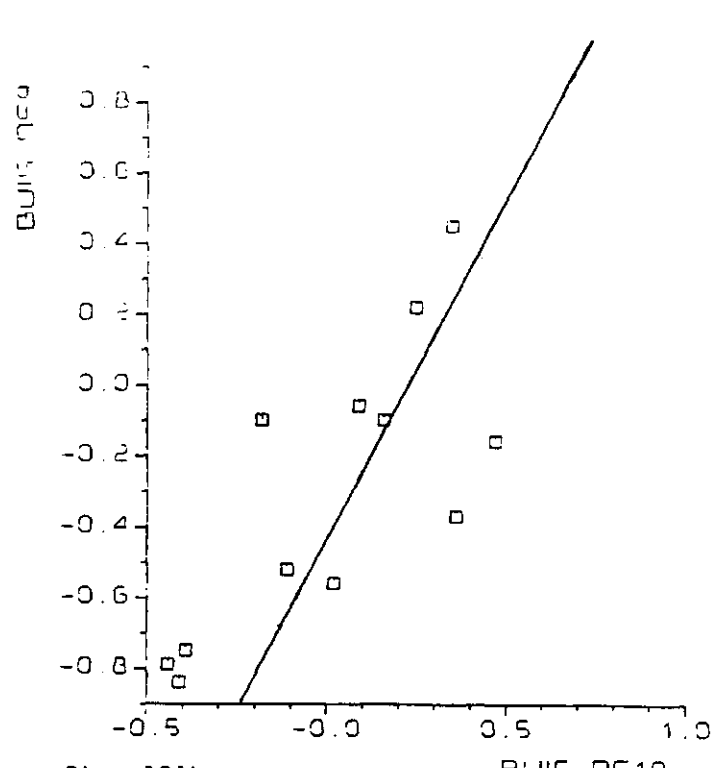


fig. 181b
CORR. DIAGRAM JUN'83 - DEC'83

Correlatiediagrammen 1983 met lineaire regressielijnen van '81-'82.

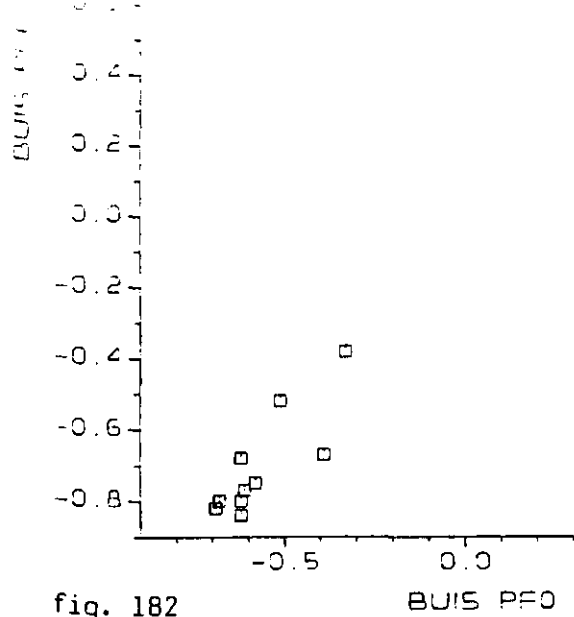


fig. 182

BUIS PF0
CORRELATEDIAGRAM 1983

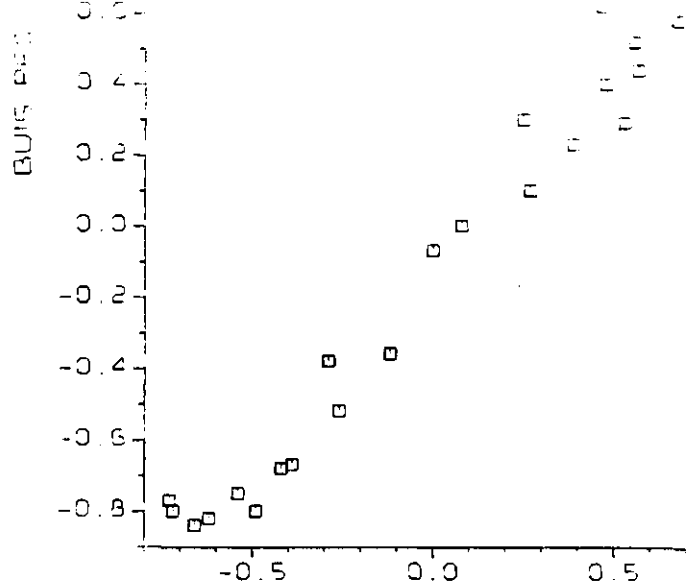


fig. 183

BUIS PF1
CORRELATEDIAGRAM 1983

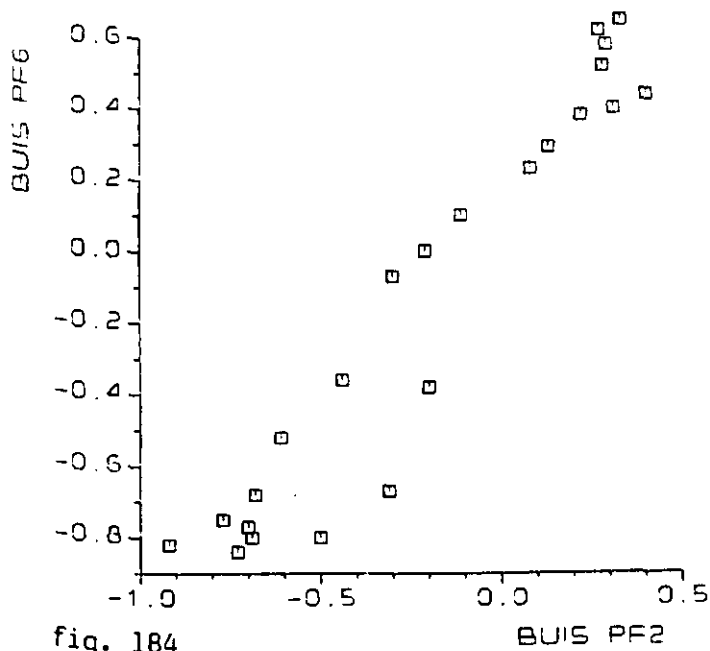


fig. 184

BUIS PF2
CORRELATEDIAGRAM 1983

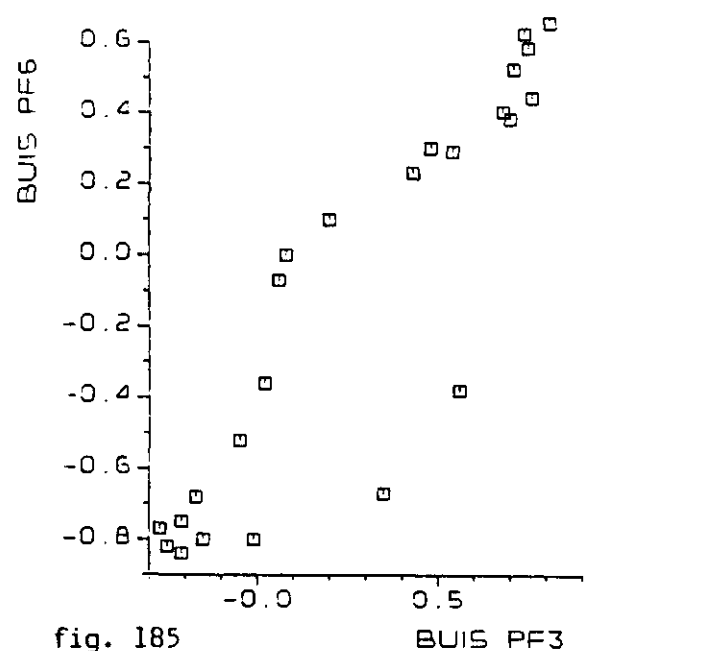


fig. 185

BUIS PF3
CORRELATEDIAGRAM 1983

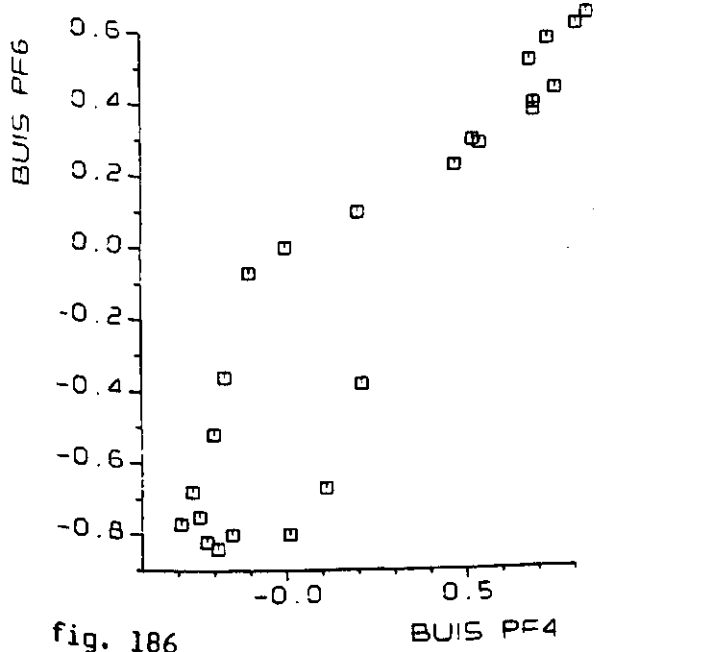


fig. 186

BUIS PF4
CORRELATEDIAGRAM 1983

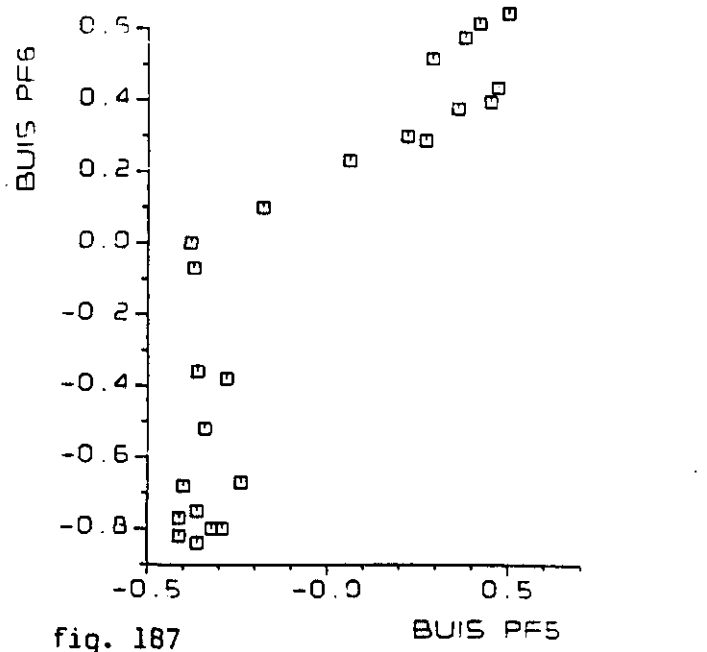


fig. 187

BUIS PF5
CORRELATEDIAGRAM 1983

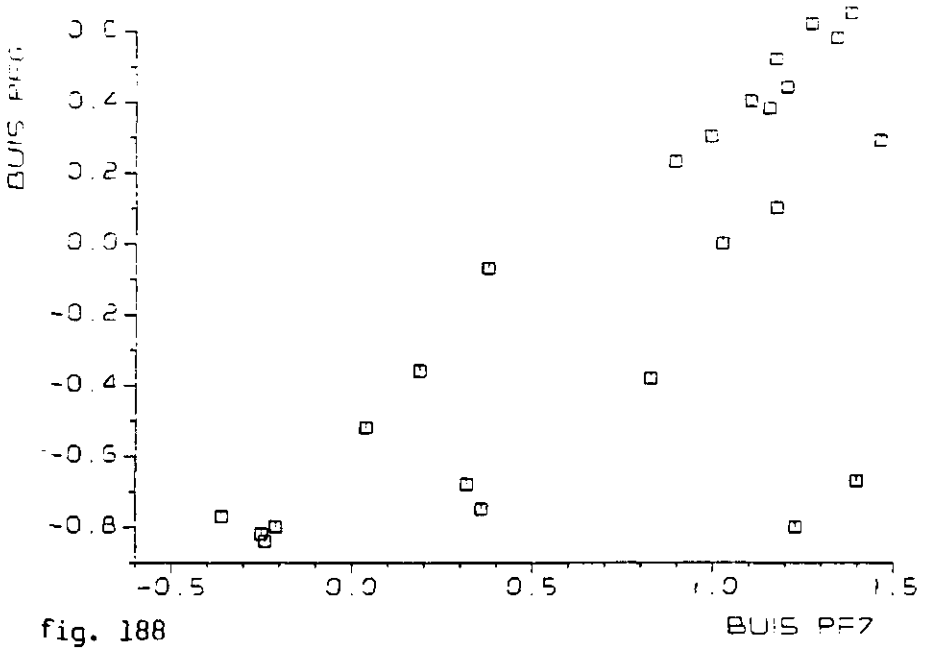


fig. 188

CORRELATION DIAGRAM 1983

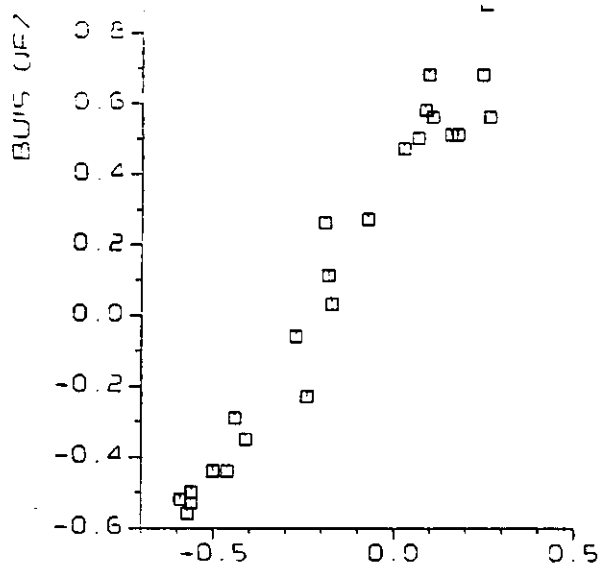


fig. 189
CORRELATEDIAGRAM 1983

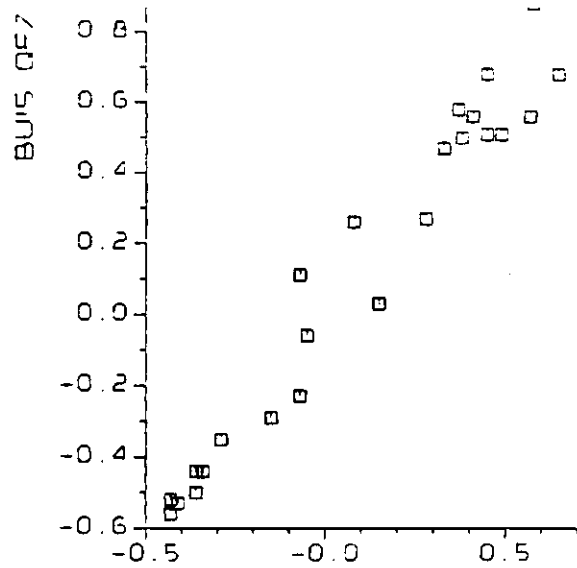


fig. 190
CORRELATEDIAGRAM 1983

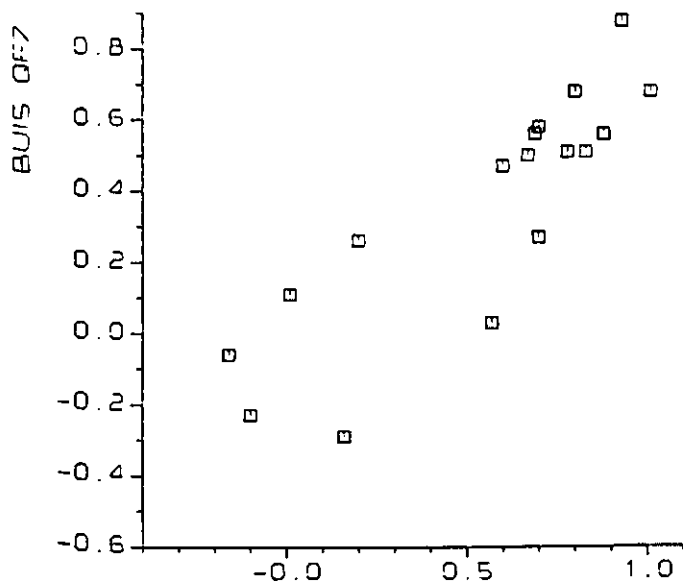


fig. 191
CORRELATEDIAGRAM 1983

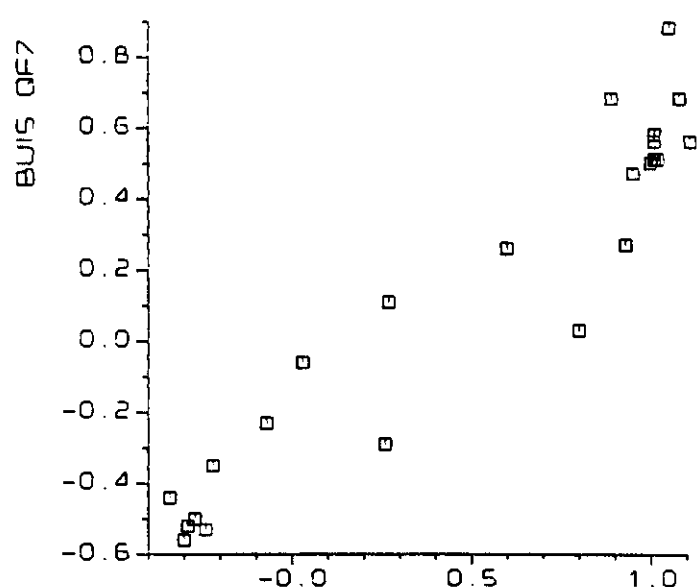


fig. 192
CORRELATEDIAGRAM 1983

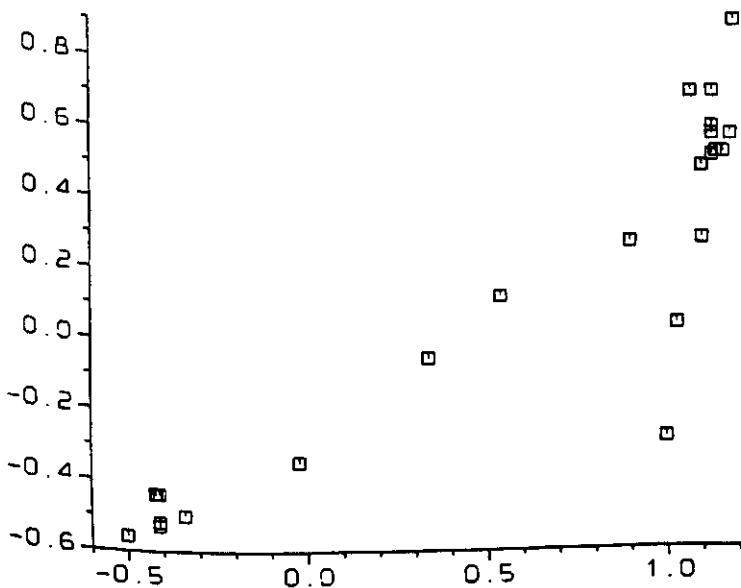


fig. 193
CORRELATEDIAGRAM 1983

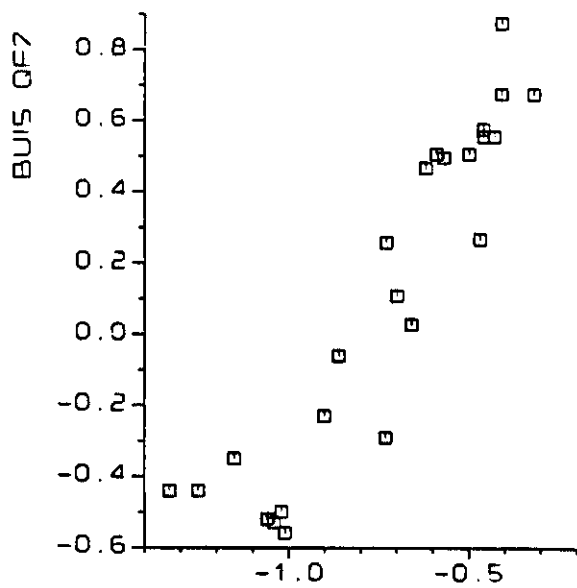


fig. 194
CORRELATEDIAGRAM 1983

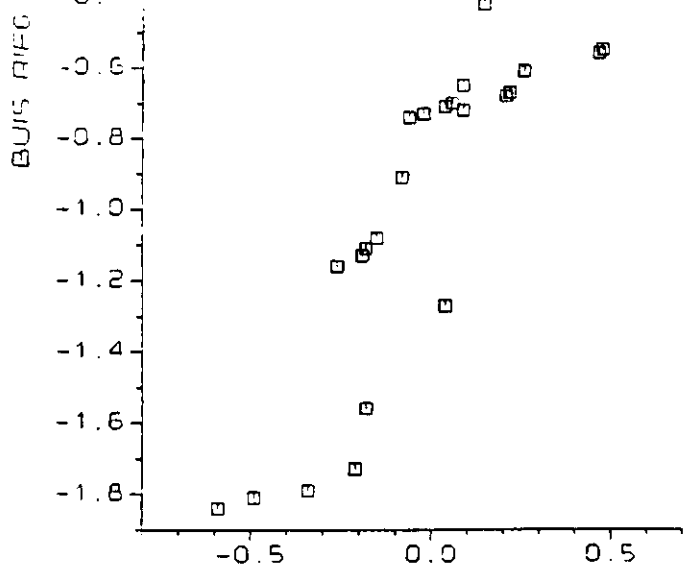


fig. 195

BUIS RIF1
CORRELATIEDIAGRAM 1983

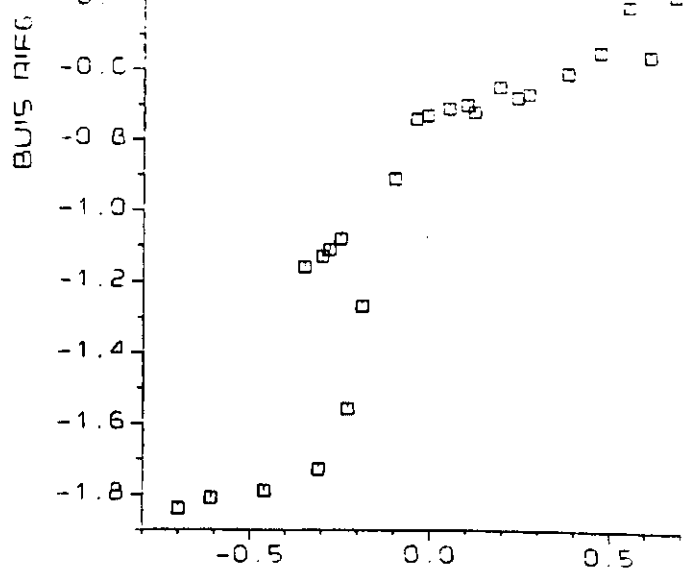


fig. 196

BUIS RIF2
CORRELATIEDIAGRAM 1983

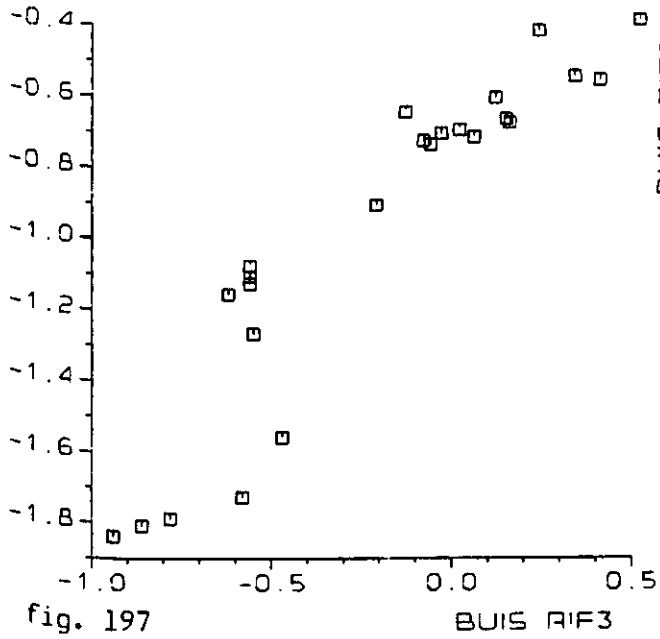


fig. 197

BUIS RIF3
CORRELATIEDIAGRAM 1983

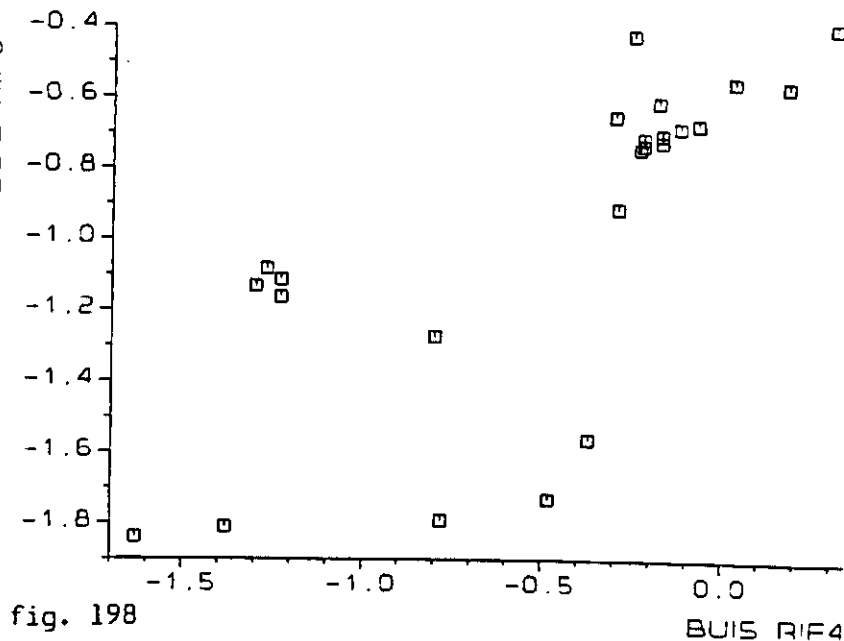
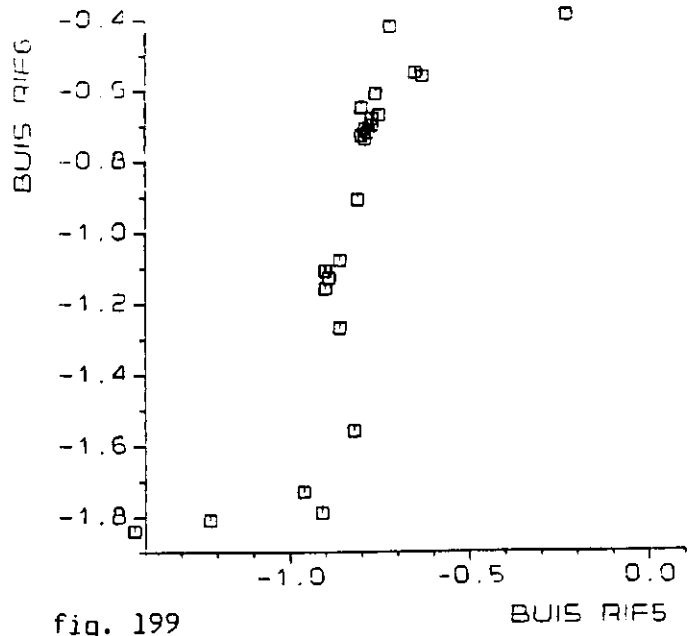
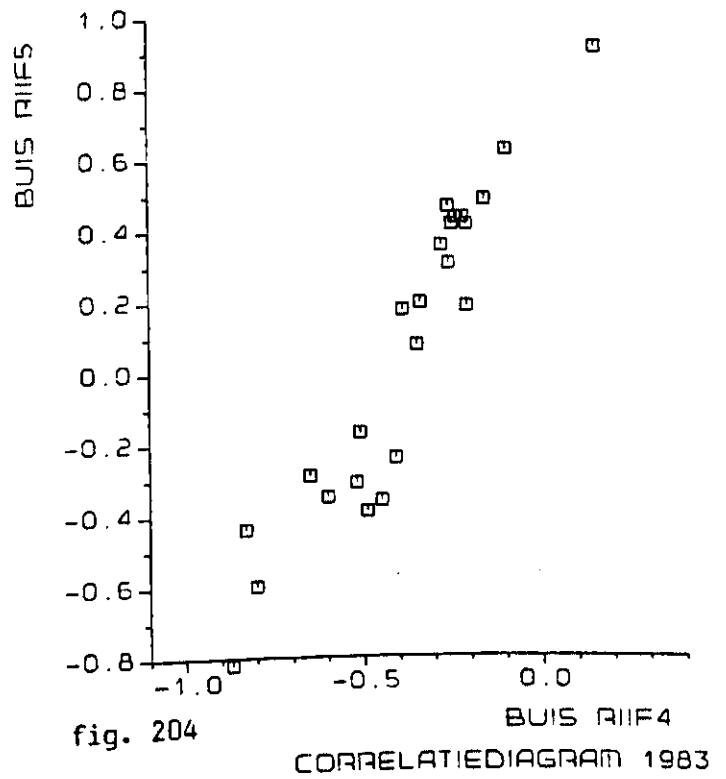
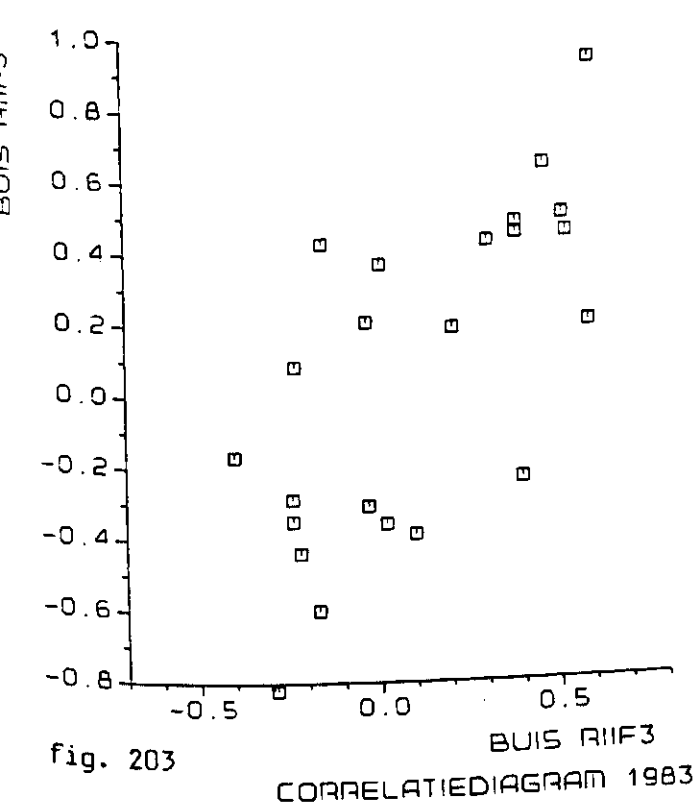
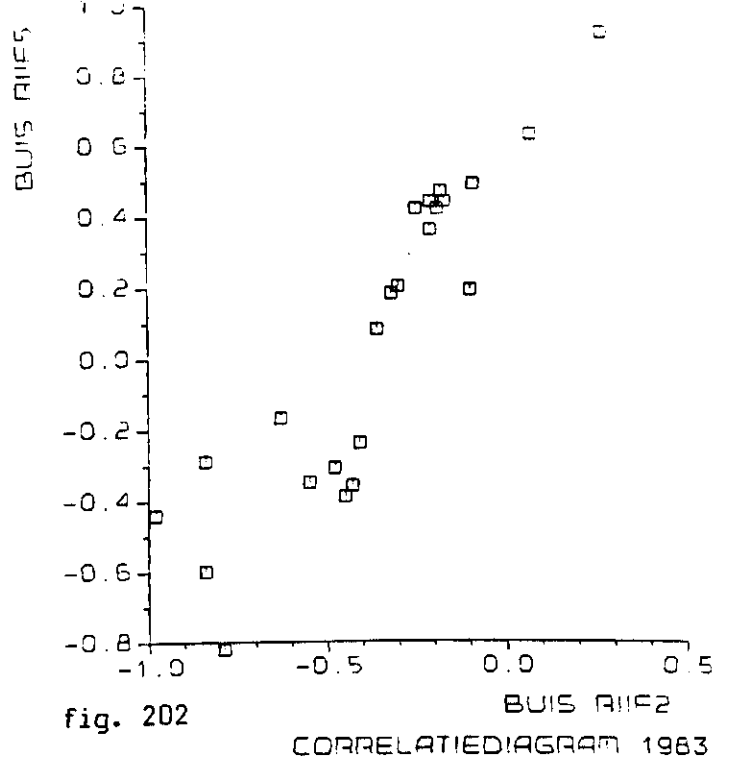
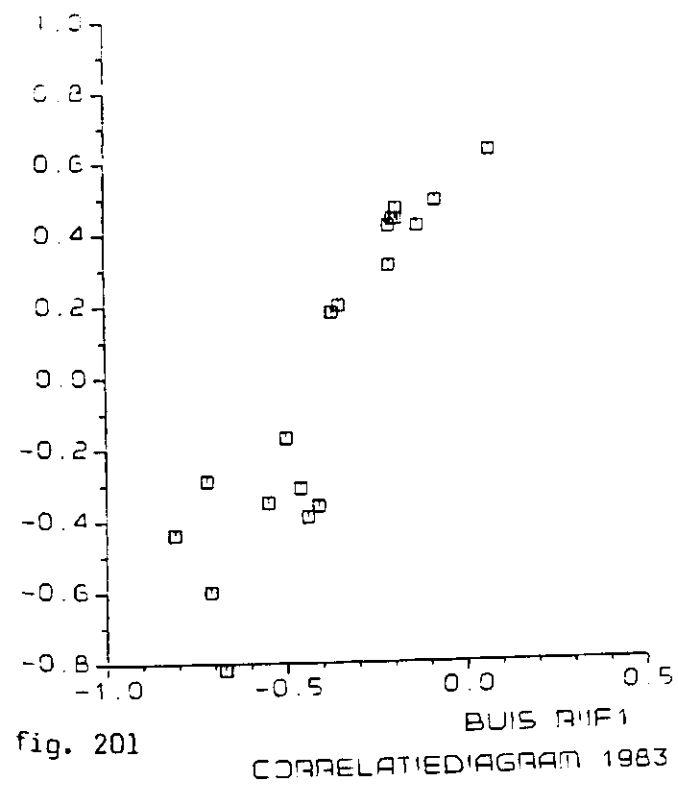


fig. 198

BUIS RIF4
CORRELATIEDIAGRAM 1983





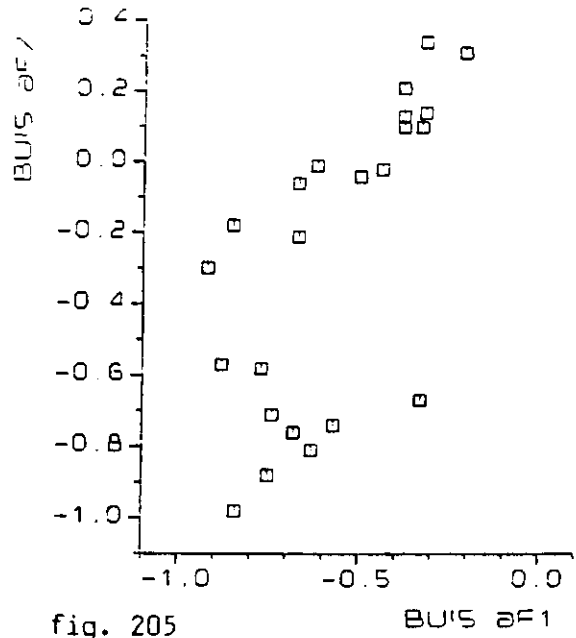


fig. 205
CORRELATIEDIAGRAM 1983

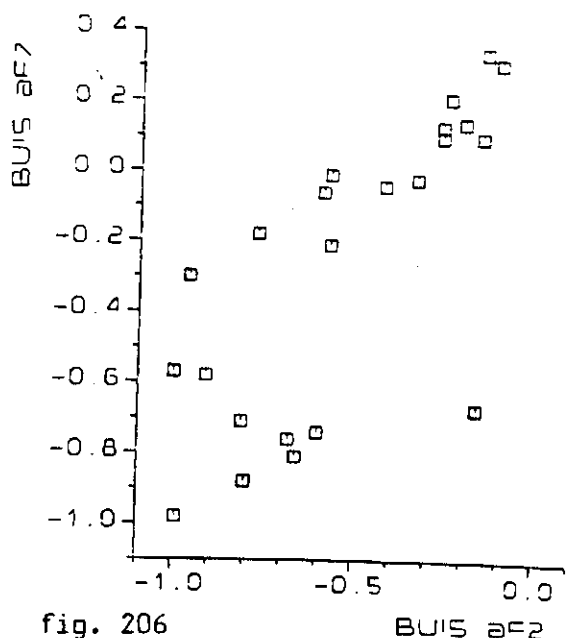


fig. 206
CORRELATIEDIAGRAM 1983

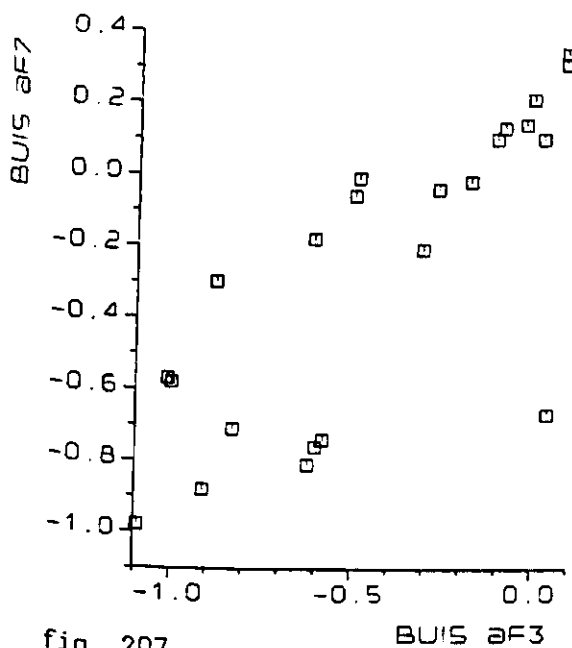


fig. 207
CORRELATIEDIAGRAM 1983

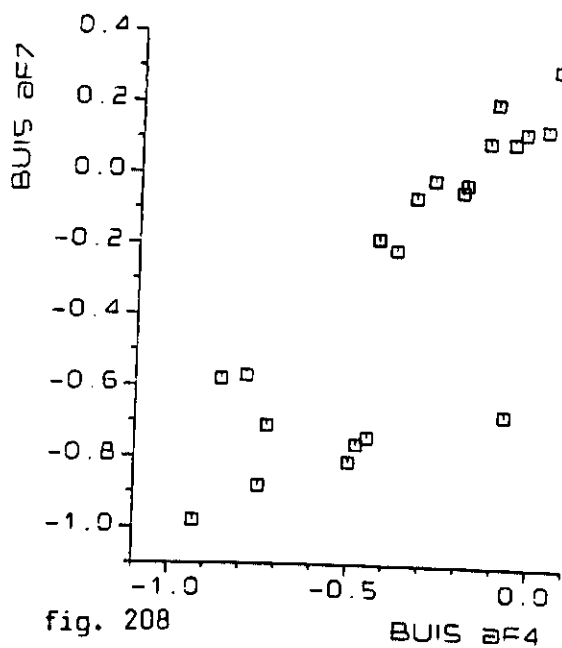


fig. 208
CORRELATIEDIAGRAM 1983

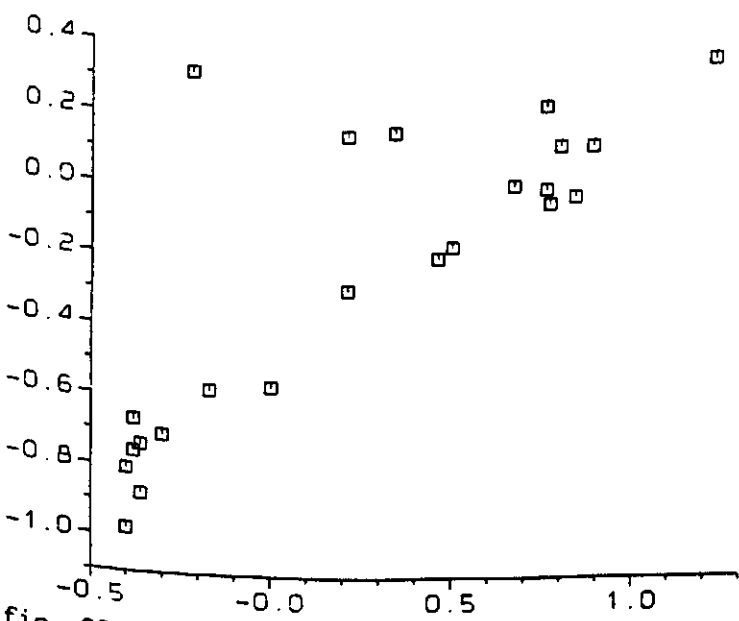


fig. 209

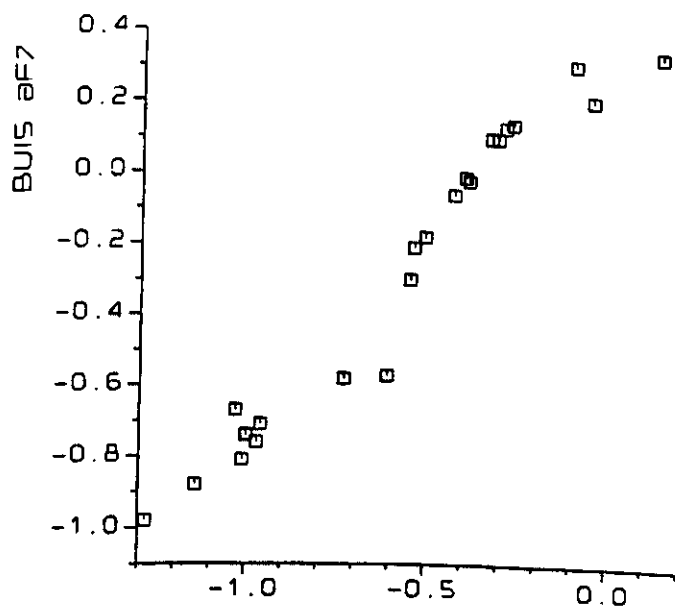
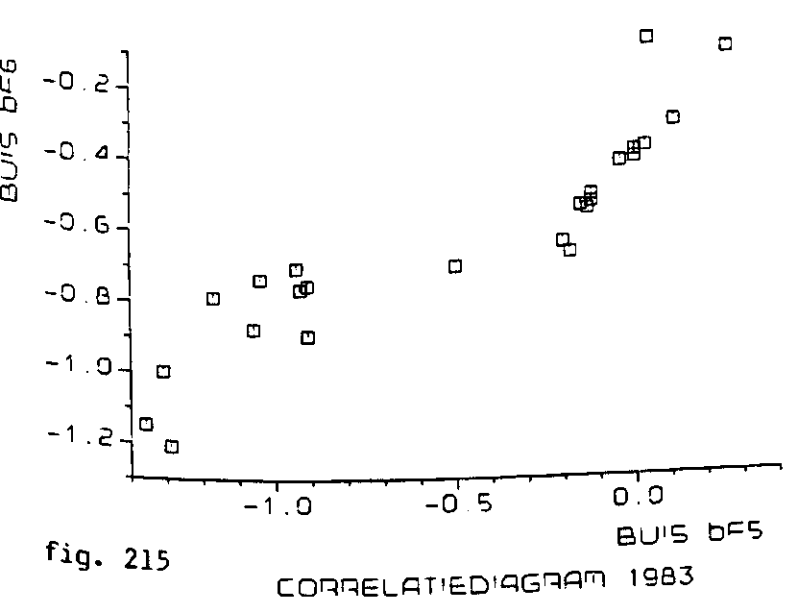
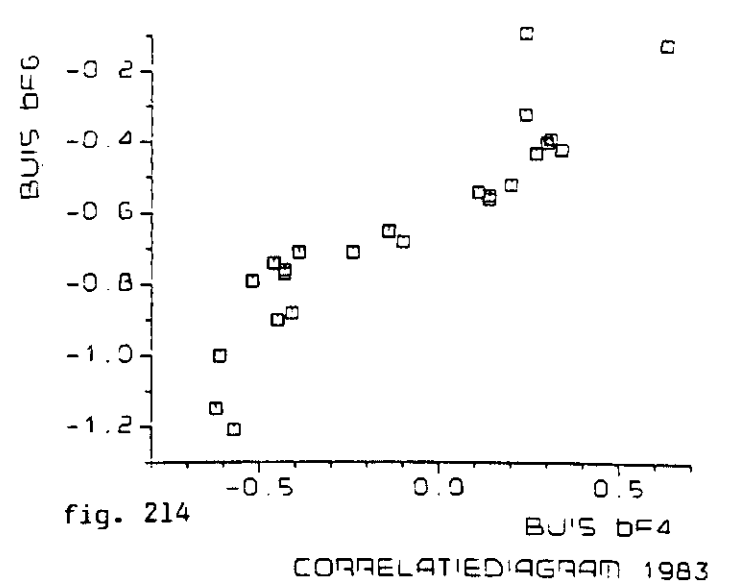
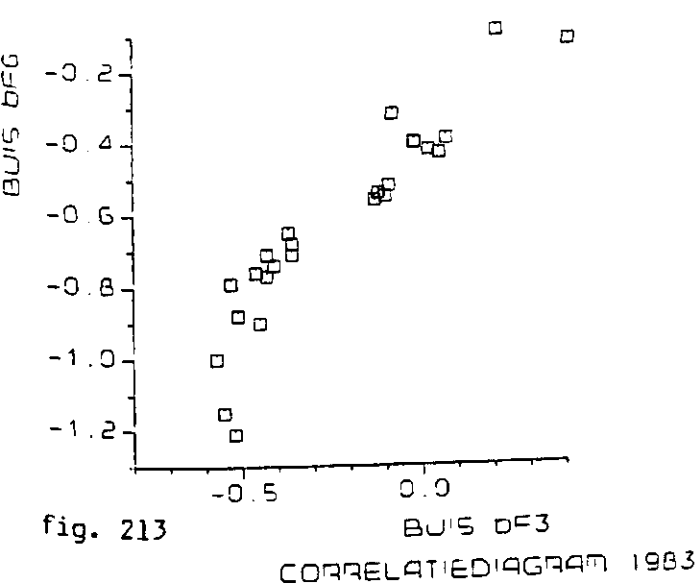
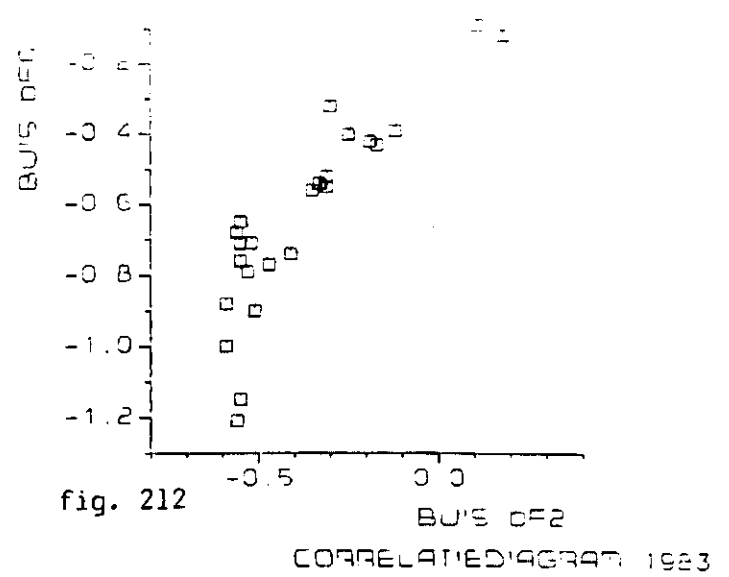
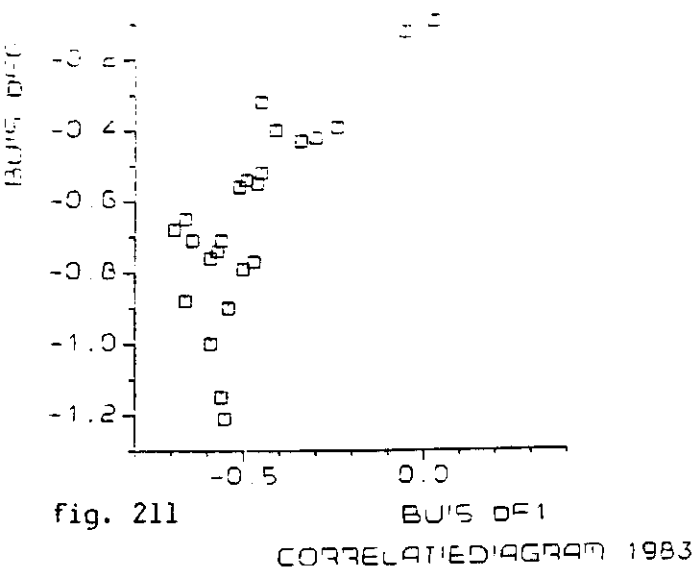


fig. 210



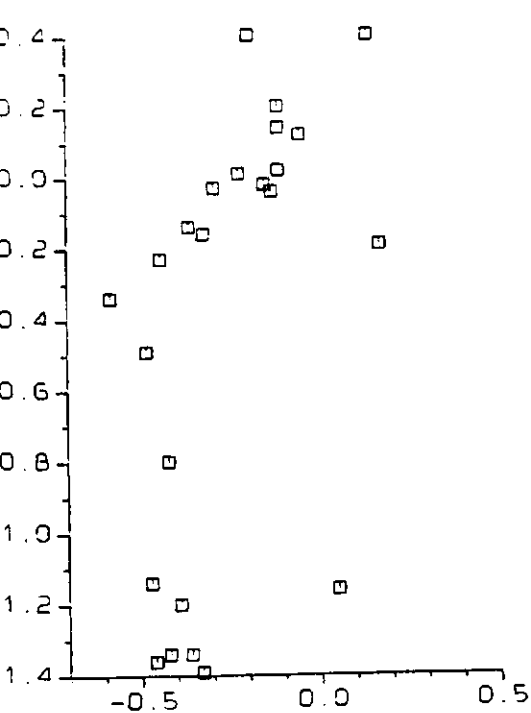


fig. 216
CORRELATIEDIAGRAM 1983

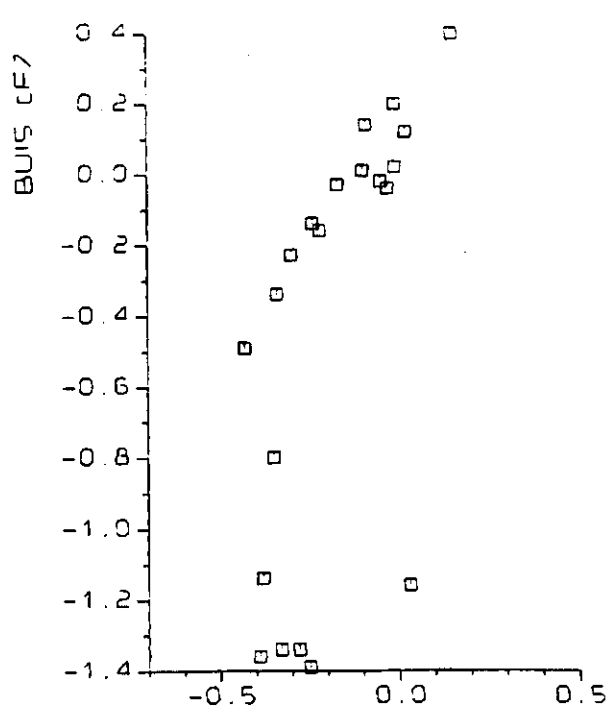


fig. 217
CORRELATIEDIAGRAM 1983

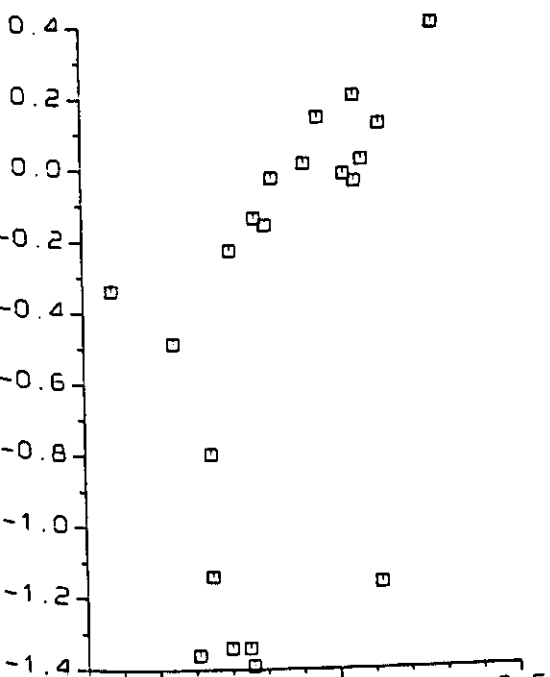


fig. 218
CORRELATIEDIAGRAM 1983

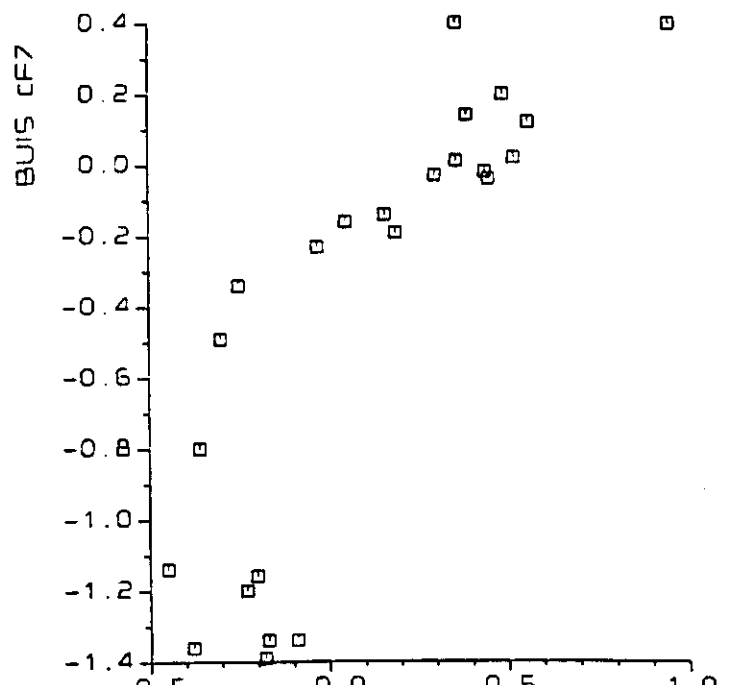


fig. 219
CORRELATIEDIAGRAM 1983

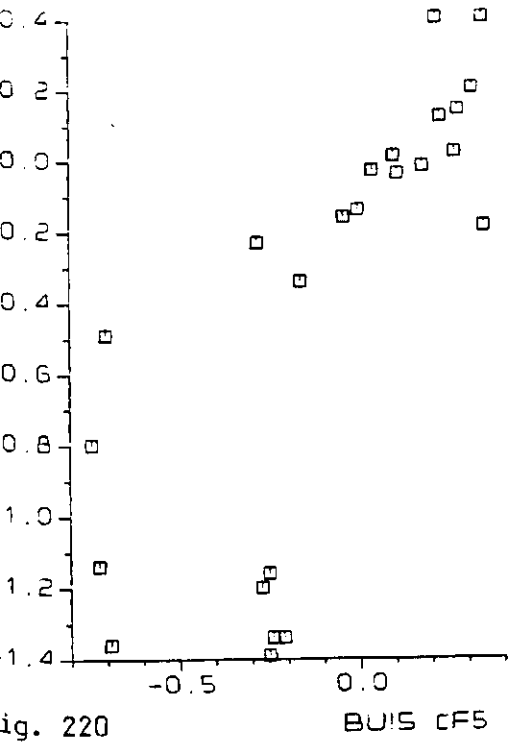


fig. 220
CORRELATIEDIAGRAM 1983

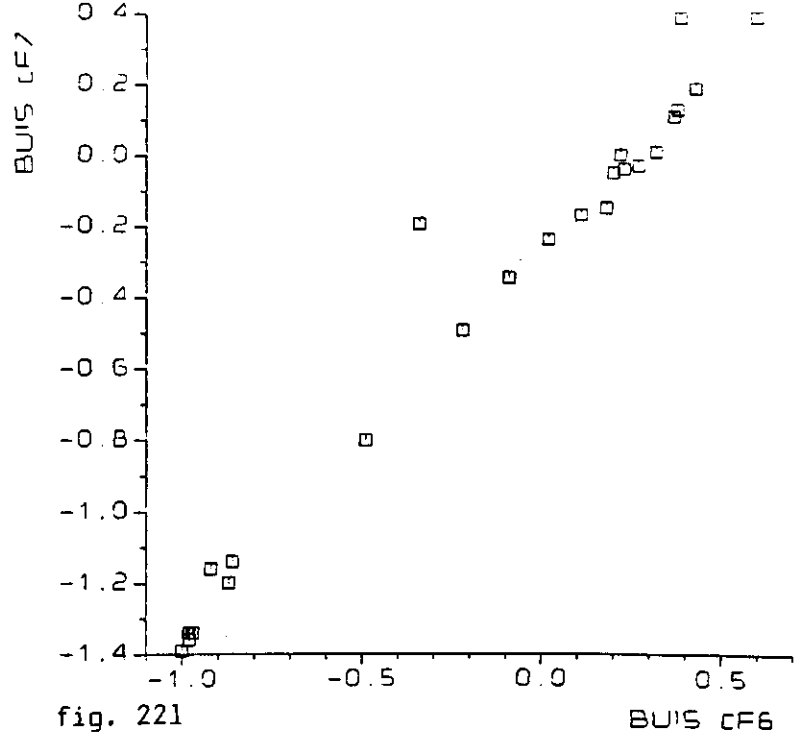


fig. 221
CORRELATIEDIAGRAM 1983

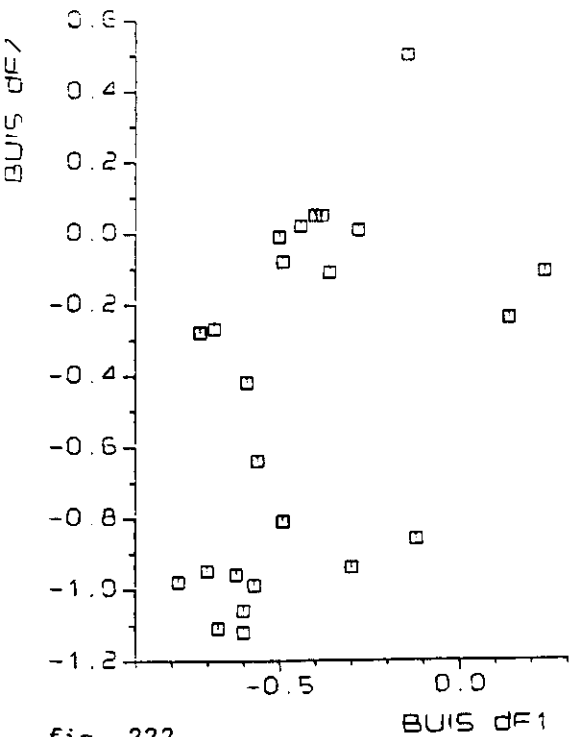


fig. 222

BUIS df1
CORRELATIEDIAGRAM 1983

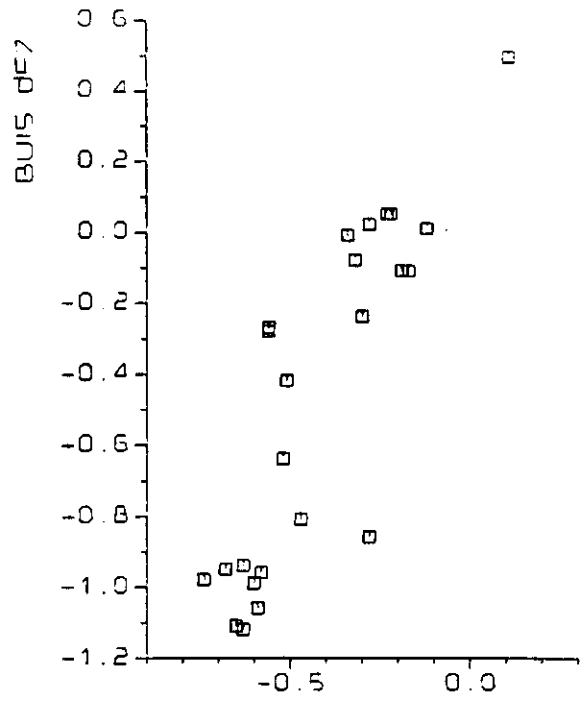


fig. 223

BUIS df2
CORRELATIEDIAGRAM 1983

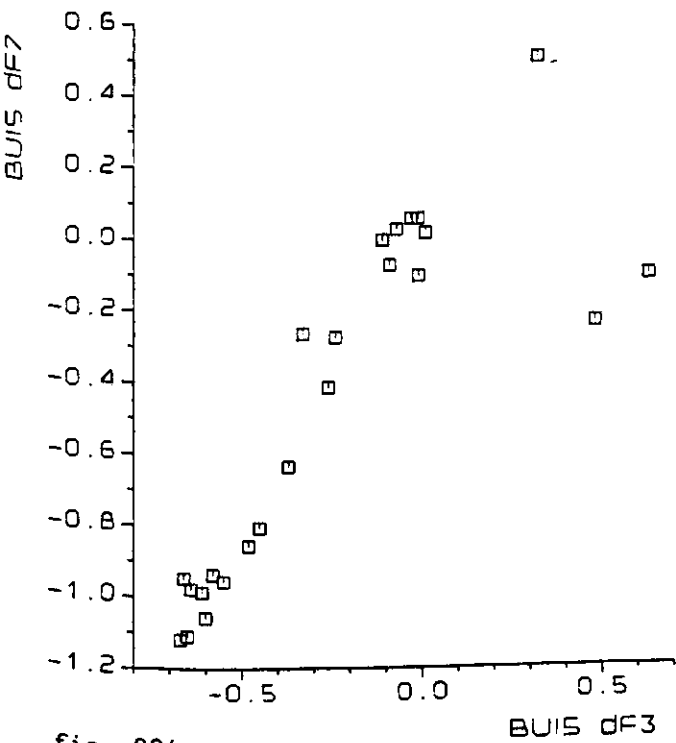


fig. 224

BUIS df3
CORRELATIEDIAGRAM 1983

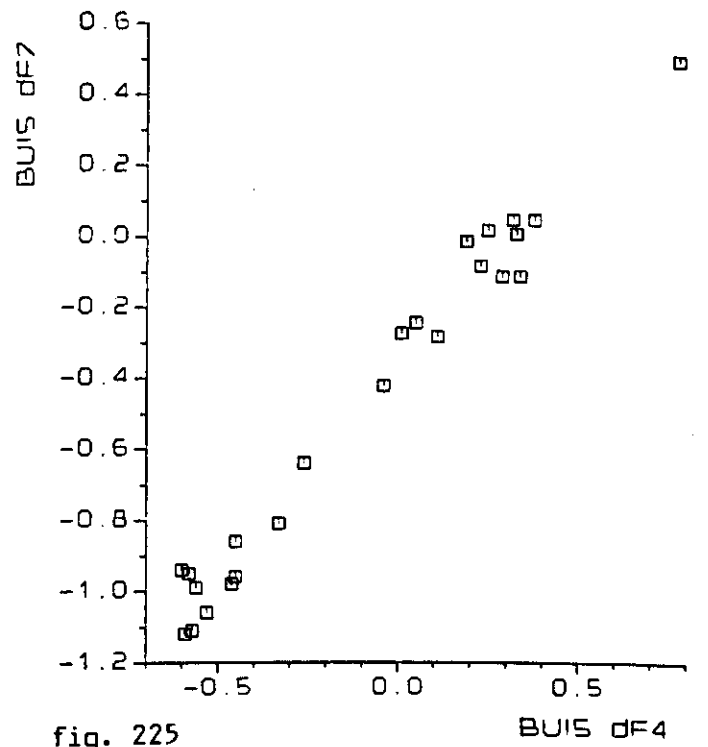


fig. 225

BUIS df4
CORRELATIEDIAGRAM 1983

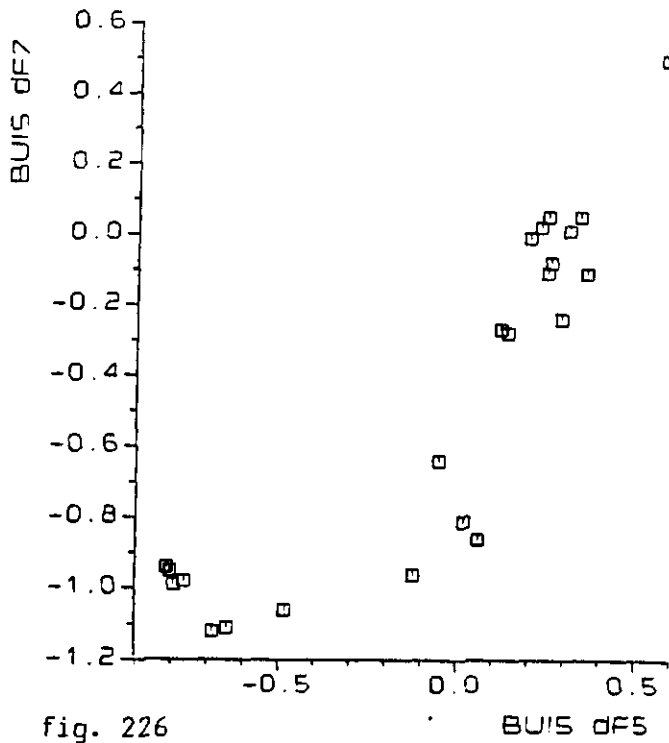


fig. 226

CORRELATION DIAGRAM 1983

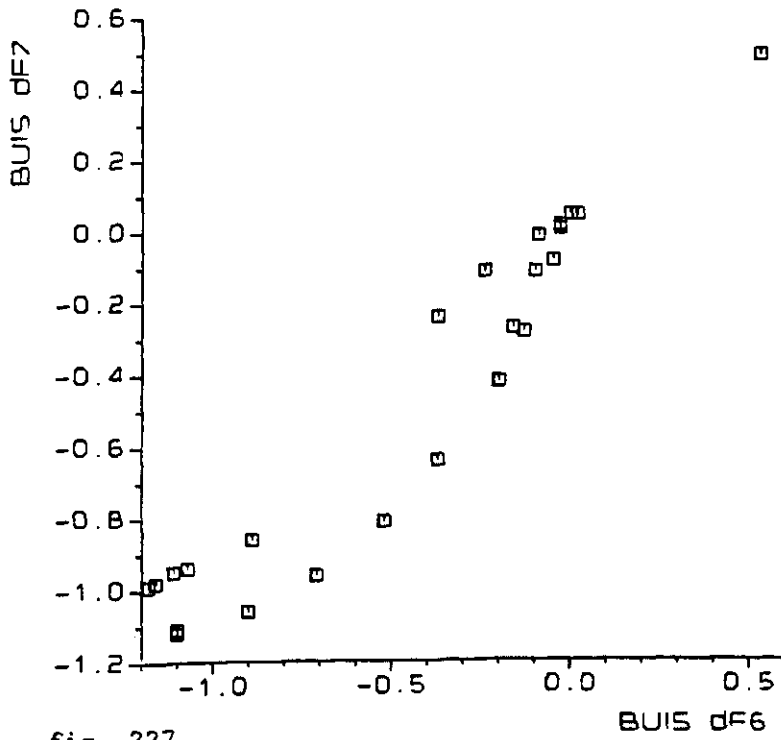


fig. 227

CORRELATION DIAGRAM 1983

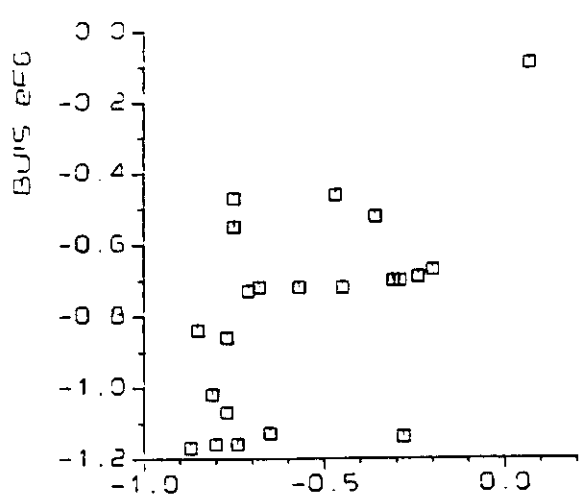


fig. 228

BUIS eF1
CORRELATED DIAGRAM 1983

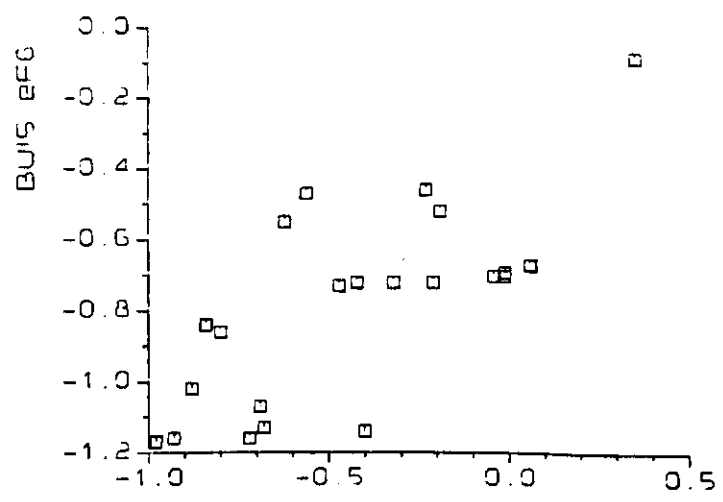


fig. 229

BUIS eF2
CORRELATED DIAGRAM 1983

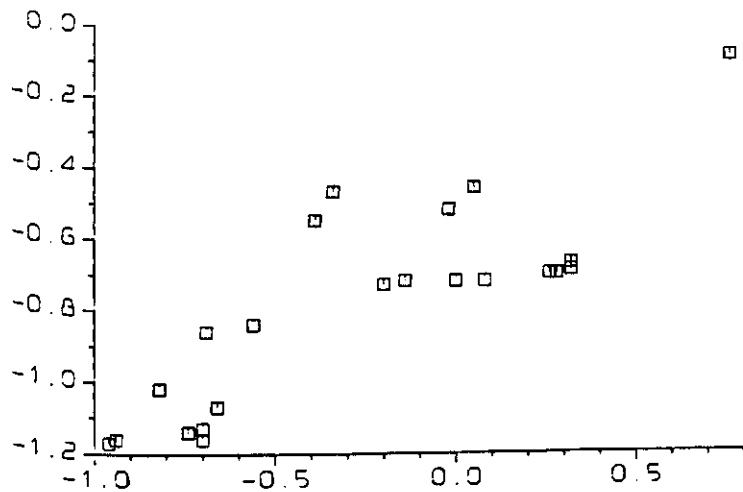


fig. 230

BUIS eF3
CORRELATED DIAGRAM 1983

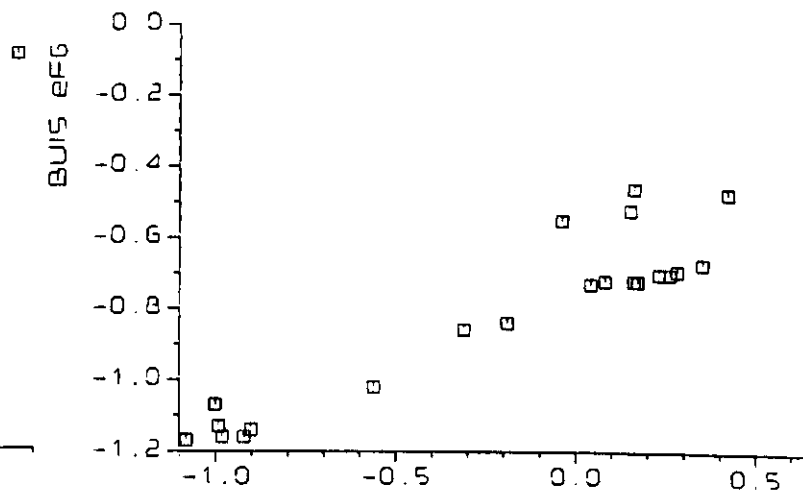


fig. 231

BUIS eF4
CORRELATED DIAGRAM 1983

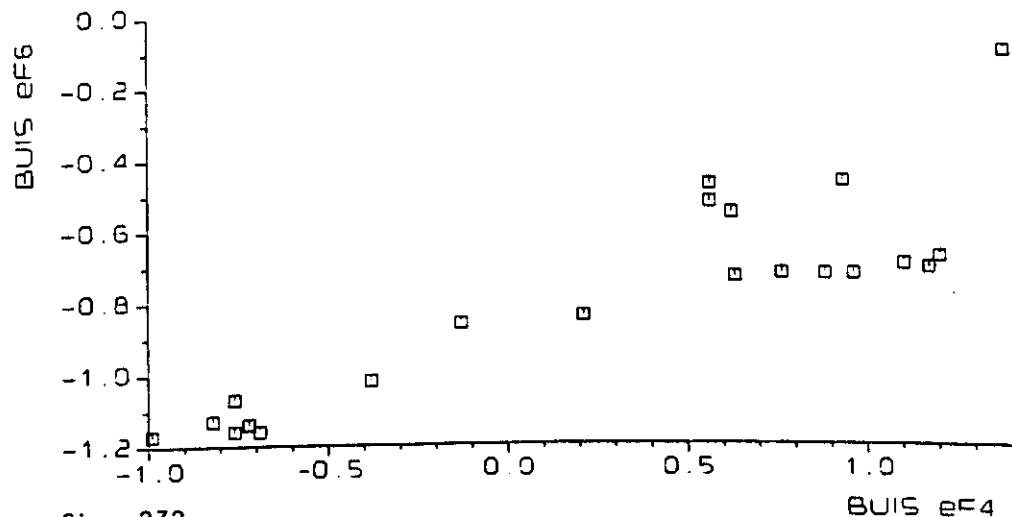


fig. 232

BUIS eF4
CORRELATED DIAGRAM 1983

Overzicht van gemeten zomer- en wintergrondwaterstanden met een ondergrens waarbij 10% of meer opbrengstdepressie optreedt voor bouwland en grasland gebruik en de minimale ontwateringseisen in de winter.

Peil- buis	Gemidd.m.v. omgeving cm t.o.v. N.A.P.	Bodem- kaart- eenheid	Zomergrondwaterstand 1983				Wintergrondwaterstand '82/'83				
			cm t.o.v. N.A.P.	cm - m.v.	ondergrens		cm t.o.v. N.A.P.	cm-m.v.	gem.ontwateringseis in cm-m.v.		
					bouwl.	grasl.			bouwl.	grasl.	boomg.
					2)	2)			2)	2)	2)
AF 1	+ 50	Mn 35A	- 113	163	geen		- 59	109	70		
2	+ 50	Mn 35A	- 126	176	geen		- 64	114	70		
3	+ 25	Mn 35A	- 115	140	geen		- 62	87	70		
4	+ 5	Mn 86C	- 109	114	geen		- 81	86	70		
5	+ 5	Mn 86C	- 112 1)	117	geen		- 85	90	70		
6	- 20	Mn 25A	- 130	110	geen	160	- 68	48	70	50	
7	- 25	Mn 15A	- 164	139	160		- 117	92	70		
RIF 1	+ 100	Mn 15A	- 30	130	160		+ 19	81	70		
2	+ 90	Mn 25A	- 42	132	geen		+ 21	69	70		
3	+ 70	Mn 25A	- 70	140	geen		+ 9	61	70		
4	+ 50	Mn 25A	- 91	141	geen		- 15	65	70		
5	+ 50	Mn 35A	- 103	153	geen		- 76	126	70		
6	0	Mn 25A	- 167	167	geen		- 72	72	70		
7	0	Mn 35A	- 175 1)	175	geen		- 83	83	70		
BF 1	+ 130	Mn 15A	- 5	135	160	115	+ 52	78	70	50	
2	+ 130	Mn 15A	- 20	150	160	115	+ 52	78	70	50	
3	+ 140	Mn 15A	- 14	154	160	115	+ 55	85	70	50	
4	+ 150	Mn 15A	- 23	173	160	115	+ 60	90	70	50	
5	+ 120	Mn 15A	- 59	179	160		+ 6	114	70		
6	+ 100	Mn 25A	- 89	189	geen		- 12	112	70		
7	+ 90	Mn 35A	- 83	173	geen		- 7	97	70		
8	+ 50	Mn 25A	- 95	145	geen		+ 9	41	70		
CF 1	+ 105	Mn 12A	- 29	134	115		+ 4	101	70		
2	+ 110	Mn 12A	- 35	145	115		+ 7	103	70		
3	+ 100	Mn 12A	- 45	145	115		+ 8	92	70		
4	+ 120	Mn 12A	- 44	164	115		+ 26	94	70		
5	+ 90	Mn 12A	- 43	133	115		+ 24	66	70		
6	+ 65	Mn 15A	- 119	184	160		+ 3	62	70		
7	+ 65	Mn 15A	- 62	127	160		- 6	71	70		
8	+ 50	Mn 15A	- 98 1)	148	160		- 31	81	70		
DF 1	+ 70	Sn 13A	- 73	143	115		- 24	94	70		
2	+ 65	Sn 13A	- 88	153	115		- 19	84	70		
3	+ 60	Sn 13A	- 92	142	115		- 17	77	70		
4	+ 45	Mn 15A	- 96	141	160		- 18	63	70		
5	+ 40	Mn 15A	- 104	144	160		- 26	66	70		
6	+ 65	Mn 25A	- 166	231	geen		- 44	109	70		
RIIF 1	+ 90	Mn 15A	- 63	153	160		- 21 1)	111	70		
2	+ 90	Mn 15A	- 75	165	160		- 18 1)	108	70		
3	+ 90	Mn 15A	- 15	105	160		+ 36 1)	53	70		
4	+ 80	Mn 25A	- 68	148	geen		- 34	114	70		
5	+ 115	Mn 35A	- 43	158		160	- 30	145	70	50	
EF 1	+ 160	Mn 15A	+ 44	116	160		+ 73	87	70		
2	+ 160	Mn 15A	+ 10	150	160		+ 72	88	70		
3	+ 160	Mn 15A	- 4	164	160		+ 72	88	70		
4	+ 170	Mn 25A	+ 14	156	geen		+ 78	92	70		
5	+ 150	Mn 35A	- 6	156	geen		+ 63	87	70		
6	+ 110	Mn 15A	- 41	151	160		+ 30	80	70		
7	+ 20	Mn 15A	- 128	148	160		- 60	80	70		
FF 1	+ 70	Mn 35A	- 65	135	geen		- 40	110	70		
2	+ 60	Mn 35A	- 65	125	geen		- 30	90	70		
3	+ 60	Mn 35A	- 67	127	geen		- 22	82	70		
4	+ 75	Mn 22A	- 72	147	160		- 18	93	70		
5	+ 75	Mn 22A	- 71	146	160		- 8	83	70		
6	+ 85	kZn 40A	- 59	144	115		+ 3	82	70		
7	+ 85	Mn 22A	- 71	156	160		- 9	94	70		
8	+ 95	Mn 12A	- 59	154	115		0	95	70		
9	+ 65	Mn 25A	- 120	185	geen		- 31	96	70		

Vervolg overzicht van gemeten zomer- en wintergrondwaterstanden met een ondergrens waarbij 10% of meer opbrengstdepressie optreedt voor bouwland en grasland gebruik en de minimale ontwateringseisen in de winter.

Peil- buis	Gemidd.m.v. omgeving cm t.o.v. N.A.P.	Bodem- kaart eenheid	Zomergrondwaterstand 1983				Wintergrondwaterstand '82/83				
			cm t.o.v. N.A.P.	cm -m.v.	ondergrens		cm t.o.v. N.A.P.	cm -m.v.	gem.ontwateringseis in cm -m.v.		
					bouwl. 2)	grasl. 2)			bouwl. 2)	grasl. 2)	boomg. 2)
af 1	- 10	Mn 15A	- 72	82			- 46	36		50	
2	+ 5	Mn 15A	- 78	83		115	- 35	40		50	
3	+ 10	Mn 15A	- 80	90		115	- 20	30		50	
4	+ 30	Mn 15A	- 69	99	160	115	- 20	50	70	50	
5	+ 150	Mn 15A	- 27	177	160	115	+ 49	101	70		
6	+ 40	Mn 25A	- 96	136	geen		- 40	80	70		
7	+ 60	Mn 35A	- 73	133	geen		- 2	62	70		
bF 1	+ 80	Mn 15A	- 57	137	160		- 41	121	70		
2	+ 80	Mn 15A	- 54	134	160		- 29	109	70		
3	+ 120	Mn 15A	- 51	171	160		- 9	129	70		
4	+ 140	Mn 15A	- 53	193	160		+ 15	125	70		
5	+ 80	Mn 35A	- 120	200	geen		- 16	96	70		
6	+ 35	Mn 15A	- 96	131	160		- 47	82	70		
cF 1	+ 40	Mn 15A	- 39	79	160	115	- 15	55	70	50	
2	+ 50	Mn 15A	- 31	81	160		- 6	56	70		
3	+ 50	Mn 15A	- 34	84	160		+ 1	49	70		
4	+ 135	Mn 15A	- 32	167	160		+ 38	97	70		
5	+ 90	Mn 25A	- 54	144	geen		+ 16	74	70		
6	+ 100	Mn 15A	- 59	159	150		+ 27	73	70		
7	+ 95	Mn 25A	- 88	183	geen		+ 1	94	70		
dF 1	+ 70	Mn 15A	- 59	129	160		- 44	114	70		
2	+ 70	Mn 15A	- 57	127	160		- 30	100	70		
3	+ 100	Mn 25A	- 55	155	geen		- 14	114	70		
4	+ 125	Mn 25A	- 46	171	geen		+ 16	109	70		
5	+ 125	Mn 35A	- 33	158	geen		+ 23	102	70		
6	+ 120	Mn 35A	- 78	198	geen		- 18	138	70		
7	+ 85	Mn 15A	- 95	180	160		- 16	101	70		
eF 1	+ 20	Mn 12A	- 73	93		90	- 37	57		50	
2	+ 40	Mn 12A	- 81	121		90	- 15	55		50	
3	+ 90	Mn 15A	- 79	169		115	+ 10	80		50	
4	+ 130	Mn 25A	- 45	175	geen	160	+ 68	62	70	50	
5	+ 110	Mn 25A	- 66	176	geen	160	+ 16	94	70	50	
6	+ 70	Mn 25A	- 103	173	geen		- 72	142	70		
Gf 1	+ 130	kZn 40A) peilbuizen		115						
2	+ 115	kZn 40A) opgeruimd		115						
3	+ 115	kZn 40A)	115	115						
4	+ 110	kZn 40A	+ 2	108	115		+ 41 1)	69	70		
5	+ 115	Mn 12 A	+ 8 1)	107 1)	115		+ 55 1)	60	70		
6	+ 115	Mn 12A	- 6	121	115		+ 55 1)	60	70		
7	+ 115	Mn 12A	- 2	117	115		+ 56 1)	59	70		
HF 1	+ 80	Mn 22A	- 71	151	160		- 24 1)	104	70		
2	+ 80	Mn 22A	- 63	143	160		- 6	86	70		
3	+ 85	Mn 22A	- 60	145	160		- 10	95	70		
4	+ 70	Mn 22A	- 78	148	160		- 12	82	70		
5	+ 80	Mn 22A	- 52	132	160		+ 15	65	70		
6	+ 80	Mn 22A	- 59	139	160		- 22	58	70		
JF 1	+ 25	Mn 25A	- 146	171	geen		- 95	120	70		
2	+ 25	Mn 25A	- 147	172	geen		- 80	105	70		
3	+ 20	Mn 25A	- 139	159	geen		- 62	82	70		
4	0	Mn 25A	- 157	157	geen		- 88	88	70		
5	+ 20	Mn 15A	- 149	169	160		- 105 1)	125	70		90
6	+ 35	Mn 15A	- 133	168	160		- 73	108	70		90
7	+ 25	Mn 25A	- 167	192	geen		- 115	140	70		90

Volg overzicht van gemeten zomer- en wintergrondwaterstanden met een ondergrens waarbij 10% of meer opbrengstdepressie optreedt voor bouwland en grasland gebruik en de minimale ontwateringseisen in de winter.

Peil- buis	Gemidd.m.v. omgeving cm t.o.v. N.A.P.	Bodem- kaart eenheid	Zomergrondwaterstand 1983				Wintergrondwaterstand '82-'83					
			cm t.o.v. N.A.P.	cm -m.v.	ondergrens cm - m.v.		cm t.o.v. N.A.P.	cm - m.v.	gem.ontwateringseis in cm -m.v.			
					bouwl. 2)	grasl. 2)			bouwl. 2)	grasl. 2)	boomg. 2)	
KF 1	+ 60	Mn 25A)peilbuizen			geen	160			70	50	
2	+ 60	Mn 25A)opgeruimd			geen	160			70	50	
3	+ 60	Mn 25A)			geen	160			70	50	
4	+ 60	Mn 25A)			geen	160			70	50	
5	+ 90	Mn 25A	- 89	179		geen	160	- 103	193	70	50	
6	- 10	Mn 15A	- 156 1)	146 1)		160		- 78	68	70		
7	+ 80	Mn 15A	- 90	170		160	115	- 27	107	70	50	
8	+ 55	Mn 25A	- 76	131		geen		- 22	77	70		
LF 1	+ 240	Mo 002	+ 133	107			90	+ 174 1)	66			50
2	+ 185	Mn 25A	+ 43	142		geen	160	+ 110	75	70		50
3	+ 185	Mn 25A	+ 42	143		geen	160	+ 105	80	70		50
4	+ 195	Mn 25A	+ 43	152		geen	160	+ 125	70	70		50
5	+ 160	Mn 80A	- 4 2)	164		geen		+ 69	91	70		
6	+ 150	Mo 80A	+ 48	102		geen	160	+ 91	59	70		
7	+ 120	Mo 80A	+ 25 1)	95		geen		+ 58	62	70		
MF 1	+ 230	Mo 002	+ 110 1)	120		n.v.t.		+ 209	21			n.v.t.
2	+ 330	Zn 21	+ 140 1)	190		n.v.t.		+ 236	94			n.v.t.
3	+ 330	Zn 21	+ 180	150		n.v.t.		+ 212	118			n.v.t.
4	+ 310	kZn 21	+ 195	115			90	+ 265	45			50
NF 1	+ 160	kZn 40A	- 8	168		90		+ 39 1)	121	70		
2	+ 160	kZn 40A	- 1	161		90		+ 46 1)	114	70		
3	+ 160	kZn 40A	- 1	161		90		+ 59 1)	101	70		
4	+ 150	kZn 40A	- 1	151		90		+ 67 1)	83	70		
5	+ 160	kZn 40A	+ 27	133		90		+ 84	76	70		
6	+ 130	kZn 40A	- 1	131		90		+ 58	72	70		
7	+ 110	Mn 12A	- 25	135		90		+ 33 1)	77	70		
8	+ 160	Mn 22A	- 4	164		115		+ 18	142	70		90
9	+ 160	Mn 35A	- 26 1)	186		geen		+ 67	93	70		
10	+ 150	Mn 15A	- 2	152		160	115	+ 64	86	70	50	
PF 0	+ 120	kZn 40A	- 40 1)	160		115	90					
1	+ 170	Mn 45A	- 21	191		geen		+ 33	137	70		
2	+ 120	kZn 40A	- 50	170		115	90	+ 18 1)	102	70		
3	+ 150	kZn 40A	- 4	154		115	90	+ 59	91	70		
4	+ 140	kZn 40A	- 16	156		115	90	+ 54 1)	86	70		
5	+ 100	kZn 40A	- 37	137		115	90	+ 29	71	70		
6	+ 140	Mn 15A	- 40	180		160		+ 35	105	70		
7	+ 180	Mn 25A	+ 39	141		geen	160	+ 100	80	70	50	
QF 1	+ 225	Mn 45A	- 34	259		geen		+ 6	219	70		
2	+ 230	Mn 45A	- 10	240		geen		+ 34	196	70		
3	+ 225	Mn 45A	- 8	233		geen		+ 60	165	70		
4	+ 230	Mn 45A	- 7	237		geen		- 77	153	70		
5	+ 210	Mn 45A	+ 4 1)	206		geen		+ 104	106	70		
6	+ 25	Mn 15A	- 103	128		160	115	- 51	76	70	50	
7	+ 140	Mn 35A	- 24	164		geen		+ 52	88	70		

- 1) gemiddelde gebaseerd op onvolledige waarnemingenreeks aangevuld met uit interpolatie verkregen gegevens.
- 2) opgave van de boven- en ondergrens van de grondwaterstand geeft tevens weer of het cultuurgebruik ter plaatse al dan niet uit bouwland, grasland en/of boomgaard bestaat.

Overzicht van de gemeten concentraties Cl^- (g/l) in de diepe peilbuizen.

Peilput	Filter	Filterstelling m t.o.v. N.A.P.		1983		Peilput	Filter	Filterstelling m t.o.v. N.A.P.		1983	
		van	tot	Datum	Cl^-			van	tot	Datum	Cl^-
AD1	II	-11.40	-12.40	24-8	2.8	51	I	-0.30	-1.30	5-10	3.6
68	I	-0.70	-1.70	21-4	2.7		II	-14.70	-15.70		1.2
	II	-10.20	-11.20		2.5		III	-28.30	-29.30		0.8
	III	-18.20	-19.20		1.0		IV	-40.20	-41.20		0.6
	IV	-25.70	-26.70		2.6		V	-46.20	-47.20		0.1
	V	-46.70	-47.70		7.3		VI	-51.80	-52.80		-
AD3	II	-13.20	-14.20	24-8	0.7	52	I	-0.20	-1.20	5-10	1.7
AD4	II	-13.80	-14.80		0.2		II	-7.10	-8.10		2.8
66	I	-1.30	-2.30		-		III	-13.80	-14.80		1.1
	II	-13.30	-14.30		-		IV	-25.80	-26.80		2.0
	III	-22.80	-23.80		-		V	-38.20	-39.20		3.9
	IV	-36.80	-37.80		-		VI	-45.80	-46.80		1.2
	V	-44.20	-45.20		-						
74	I	-0.90	-1.90		-	53	I	-0.30	-1.30	7-10	13.1
	II	-11.90	-12.90		-		II	-16.60	-17.60	2.9	
	III	-21.90	-22.90		-		III	-29.50	-30.50	0.7	
	IV	-33.90	-34.90		-		IV	-40.80	-41.80	5.9	
	V	-44.40	-45.40		-		V	-46.40	-47.40	5.6	
						VI	-52.30	-53.30		5.0	
RID2	II	-13.60	-14.60	24-8	1.7	54	I	+0.20	-0.80	5-10	0.1
RID3	II	-12.80	-13.80		0.9		II	-10.50	-11.50		0.05
					7.6		III	-19.50	-20.50		0.06
BD1	II	-12.90	-13.90		-		IV	-31.10	-32.10		0.2
					-		V	-40.30	-41.30		2.7
71	I	+0.10	-0.40	25-4	-	55	VI	-46.70	-47.70		0.3
	II	-14.40	-15.40		6.2		I	-1.50	-2.50	4-10	1.2
	III	-25.40	-26.40		7.4		II	-11.50	-12.50		1.0
	IV	-38.40	-39.40		9.9		III	-22.20	-23.20		0.9
	V	-48.90	-49.90		8.8		IV	-31.40	-32.40		1.6
BD3	II	-14.00	-15.00	24-8	4.1	V	-43.10	-44.10		0.8	
CD1	II	-15.10	-16.10	24-8	5.6	VI	-51.30	-52.30		1.0	
	II	-16.30	-17.30		4.1	49D-49	I	-33.20	-34.20		-
	II	-14.40	-15.40		4.3		II	-60.10	-61.10		-
				4.3	III		-78.10	-79.10		-	
62	I	-7.00	-8.00	18-5	4.3		IV	-112.40	-113.40		-
	II	-17.00	-18.00		2.8		GD5	I	-22.80	-23.80	6-9
	III	-24.50	-25.50		7.8	II	-37.40	-38.40		2.4	
	IV	-33.50	-34.50		8.7	PD1	I	-7.80	-8.80	7-9	2.0
	V	-44.50	-45.50		9.7	PD2	I	-7.90	-8.90		2.0
DD1	II	-12.80	-13.80	25-8	1.2	G LVS	II	-8.90	-9.90	7-9	1.4
DD2	II	-12.60	-13.60		1.1	QD1	I	-6.50	-7.50	7-9	4.8
DD3	II	-13.70	-14.70		0.7	G1	II	-3.30	-4.30	8-9	6.2
RIID1	II	-12.40	-13.40	25-8	4.2	G2	II	-6.60	-7.60		3.7
RIID2	II	-15.20	-16.20		0.8	G3	II	-6.60	-7.60		2.1
eD1	II	-17.70	-18.70	31-8	1.0	G4	II	-6.40	-7.40		7.0
	II	-14.20	-15.20		0.2	G5	II	-6.50	-7.50		4.5
	II	-18.60	-19.60		0.04	41	I	-1.10	-2.10	7-9	6.0
ED0	II	-12.80	-13.80	25-8	9.6		II	-7.60	-8.60		3.5
ED1	II	-16.90	-17.90		8.6		III	-17.40	-18.40		3.0
ED2	II	-13.60	-14.60		6.6		IV	-30.80	-31.80		3.1
ED3	II	-17.00	-18.00		2.6		V	-37.50	-38.50		3.5
ED4	II	-16.00	-17.00		0.08	VI	-44.40	-45.50		4.2	
FD1	II	-18.20	-19.20	31-8	0.07	45	I	-1.50	-2.50	6-10	4.4
FD2	II	-16.80	-17.80		0.08		II	-12.40	-13.40		3.1
FD3	II	-16.30	-17.30		0.03		III	-24.30	-25.30		3.0
FD4	II	-16.60	-17.60		0.04		IV	-34.00	-35.00		3.5
					12.7		V	-40.10	-41.10		3.9
GD1	II	-16.30	-17.30	31-8	14.1	VI	-49.00	-50.00		4.2	
GD2	II	-14.50	-15.50		14.1	46	I	-1.30	-2.30	8-9	6.5
GD3	II	-16.00	-17.00		14.1		II	-8.70	-9.70		4.1
JD1	II	-14.80	-15.80	1-9	3.1		III	-20.80	-21.80		4.7
JD2	II	-15.00	-16.00		2.1		IV	-31.40	-32.40		7.4
JD3	II	-15.20	-16.20		0.7		V	-42.30	-43.30		5.3
JD4	II	-16.10	-17.10		0.5	VI	-50.30	-51.30		6.0	
KD1	II	-16.30	-17.30	1-9	3.5	47	I	+0.20	-0.80	6-11	0.7
KD3	II	-13.20	-14.20		1.0		II	-9.30	-10.30		3.7
KD4	II	-14.50	-15.50		0.3		III	-21.10	-22.10		4.4
LD1	II	-16.70	-17.70	6-9	0.08		IV	-31.80	-32.80		6.8
LD2	I	-17.00	-18.00		0.02		V	-40.90	-41.90		8.0
49D 48	I	+2.30	+1.30		-	VI	-50.90	-51.90		6.8	
	II	-36.00	-37.00		-						
	III	-66.00	-67.00		-						
	IV	-81.00	-82.00		-						
	V	-152.00	-153.00		-						
MD1	II	-9.40	-10.40	6-9	1.4						
MD2	II	-10.40	-11.40		0.4						
MD3	II	-0.80	-1.80		0.06						

Concentraties Cl⁻ (g/l) van oppervlaktewater rondom Zoommeer

Nrs bemonsterings- punten	Flakkee											Noordwest Brabant langs Volkerak							
	67	1	2	3	4	5	6	7	8	9	10	11	12	13	14	15	16	17	18
1983 januari	0.5	1.5	1.2	3.8	2.1	2.0	1.7	1.7	1.7	1.3	0.8	0.7	1.3	1.3	1.4	1.2	0.8	1.5	1.3
februari	1.0	1.2	1.5	0.8	1.3	1.0	1.9	1.0	1.5	0.9	0.4	0.6	2.6	1.9	1.4	-	-	2.1	1.0
maart	0.4	1.9	0.6	0.9	1.1	0.8	1.8	1.0	2.2	0.9	0.8	0.5	1.3	0.5	1.3	0.6	0.5	1.4	1.0
april	0.3	0.8	0.2	0.2	0.4	0.4	1.0	0.4	0.6	0.6	0.4	0.3	0.2	0.2	0.4	0.2	0.1	0.4	0.4
mei	0.4	3.0	0.8	5.0	2.5	2.1	3.3	1.8	2.3	1.4	1.5	0.5	3.3	1.1	1.3	1.0	0.8	1.7	1.2
juni	5.1	4.6	0.8	5.1	5.6	4.6	7.0	2.9	6.5	12.9	4.6	0.5	0.3	2.8	2.3	2.2	2.1	3.6	3.1
juli	7.8	1.6	3.9	5.1	8.6	dr.	6.3	2.5	5.9	10.1	3.0	0.2	3.0	3.7	0.9	2.4	2.4	dr.	1.4
augustus	8.0	4.2	3.8	6.2	3.2	dr.	dr.	4.3	4.8	11.3	3.2	0.6	4.4	4.1	dr.	3.0	3.0	dr.	2.2
september	4.1	3.8	2.6	4.9	3.2	2.7	8.0	6.0	5.6	4.8	2.1	0.7	3.7	1.3	2.1	2.1	1.9	4.3	1.0
oktober	3.8	4.2	3.6	4.9	3.9	3.0	7.2	6.6	5.8	3.8	2.6	0.8	5.1	3.0	2.0	2.4	3.2	2.9	1.2
november	3.3	1.4	0.3	0.6	0.9	1.3	2.8	1.0	2.4	0.9	0.2	0.5	0.4	0.5	0.9	0.5	0.4	0.7	0.7
december	2.1	0.7	0.8	1.5	1.3	1.4	1.1	1.5	1.3	0.7	0.6	0.6	3.6	0.6	0.7	0.8	0.6	1.2	1.0
Omgeving Roosendaalsche en Steenbergsche Vliet																			
Nrs bemonsterings- punten	19	20	21	22	23	24	25	26	27	28	29	30	31	32	33	34			
1983 januari	0.3	0.5	0.5	0.3	0.2	0.2	1.1	0.3	0.2	0.2	0.2	0.7	0.09	0.1	0.1	0.1			
februari	0.6	0.7	0.3	0.5	0.2	0.3	2.4	0.4	0.3	0.3	0.2	0.4	-	0.2	0.2	0.2			
maart	0.2	0.3	0.4	0.1	0.3	0.1	0.6	0.2	0.2	0.2	0.1	0.5	0.09	0.1	0.1	0.1			
april	0.07	0.08	0.2	0.07	0.1	0.08	0.2	0.1	0.07	0.07	0.04	0.5	0.1	0.05	0.05	0.05			
mei	0.3	0.3	0.5	0.2	0.3	0.2	1.3	0.3	0.2	0.2	0.2	0.4	0.08	0.1	0.09	0.2			
juni	2.3	1.2	0.9	0.3	dr.	dr.	4.5	dr.	0.4	1.0	dr.	dr.	dr.	0.3	0.2	0.2			
juli	1.3	1.3	0.9	1.2	dr.	dr.	5.0	dr.	dr.	0.4	0.2	dr.	dr.	0.2	0.3	0.2			
augustus	1.8	0.8	1.8	1.1	dr.	dr.	7.3	dr.	dr.	dr.	dr.	dr.	dr.	dr.	0.4	dr.			
september	1.3	0.2	0.8	0.7	dr.	dr.	7.2	0.6	dr.	0.4	dr.	dr.	dr.	0.09	0.09	0.09			
oktober	2.4	1.1	1.4	0.8	dr.	dr.	6.4	0.4	dr.	0.5	dr.	dr.	dr.	0.2	0.3	0.2			
november	0.6	0.3	0.3	0.1	0.3	dr.	0.7	0.2	0.1	0.1	0.07	dr.	0.03	0.1	0.2	0.2			
december	0.2	0.2	0.5	0.1	0.1	0.04	0.9	0.1	0.2	0.3	0.1	0.5	0.04	0.09	0.09	0.1			

Opmerkingen: monsternamen omstreeks 28e van elke maand.

dr. = sloot droog.

- = geen waarneming

vervolg concentraties Cl⁻ (g/l) van oppervlaktewater rondom Zoommeer

Nrs bemonsteringspunten	Noord-Brabant				St. Philipsland			Tholen									
	35	36	37	38	39	40A	40B	68	41	42	43	44	45	46	47	48	49
1983 januari	1.4	3.5	1.3	5.8	5.0	3.0	2.4	4.0	1.9	0.9	4.2	7.3	0.7	0.3	1.5	1.0	2.1
februari	0.8	2.1	1.5	0.2	3.8	2.3	1.6	2.3	2.6	1.0	4.4	6.2	1.0	0.4	4.3	1.1	2.3
maart	1.1	3.0	0.7	4.5	4.1	2.6	2.0	1.2	1.5	0.6	3.1	4.3	2.7	0.3	2.9	0.9	0.8
april	0.3	1.3	0.8	5.1	1.4	0.8	0.3	1.2	0.6	0.2	1.5	0.8	0.1	0.2	1.3	0.1	0.6
mei	2.9	0.2	1.7	8.2	5.4	4.7	3.7	7.6	3.4	1.1	5.1	4.9	6.4	0.3	1.2	1.7	2.2
juni	6.2	8.5	6.7	7.8	9.9	11.8	6.5	9.2	7.3	6.0	9.1	9.8	0.5	0.5	-	3.9	8.2
juli	6.2	9.2	dr.	10.0	6.8	10.1	3.8	8.0	9.9	9.4	1.2	10.5	10.7	0.5	6.3	5.6	8.7
augustus	2.2	10.0	dr.	9.9	8.1	9.7	10.4	10.5	6.5	0.5	dr.	11.1	11.2	dr.	9.4	6.6	10.7
september	7.3	9.2	dr.	10.2	8.7	9.5	6.9	5.0	8.8	2.7	10.5	10.4	10.4	0.6	7.7	7.8	6.7
oktober	6.9	9.2	dr.	9.8	7.6	9.8	6.7	12.6	8.4	6.3	8.6	10.6	10.9	0.6	9.2	7.8	8.4
november	1.0	1.9	dr.	3.6	0.9	1.5	0.6	6.3	3.4	1.0	2.6	4.0	2.2	0.3	3.6	0.2	1.8
december	1.5	2.5	2.5	4.9	4.9	3.4	1.9	3.6	0.6	1.2	2.8	5.8	0.4	0.3	4.6	1.0	1.7

Nrs. be- monsterings- punten	West Noord-Brabant langs Eendracht						Rondom Markiezaatsmeer										Langs Spui- kanaal	
	50	51	52	53	54	69	55	56	57	58	59	60	70	61	62	63	65	66
1983 januari	0.4	0.4	2.1	2.0	0.4	0.6	0.2	0.05	2.1	0.06	0.8	1.1	2.2	0.2	0.5	1.8	0.5	0.4
februari	0.4	0.7	1.2	1.5	0.4	0.9	0.1	0.04	0.6	0.05	0.9	-	-	-	-	-	-	-
maart	0.3	0.7	2.6	1.5	0.3	0.3	0.1	0.07	0.6	0.05	1.3	1.5	1.5	0.2	0.4	1.8	0.6	0.4
april	0.1	0.3	0.5	0.1	0.2	0.1	0.07	0.05	0.5	0.03	0.7	0.8	0.6	0.1	0.2	0.9	0.7	0.2
mei	0.2	0.7	4.0	2.5	0.5	0.5	0.1	0.04	1.5	0.03	0.7	2.2	1.9	0.2	0.6	2.3	1.3	0.8
juni	0.6	0.3	1.7	0.9	2.2	11.8	0.2	0.07	2.3	0.1	1.6	12.3	5.4	0.3	0.8	6.0	0.8	2.5
juli	0.8	2.4	dr.	0.7	dr.	6.2	0.1	0.06	2.1	0.06	2.1	11.5	5.0	0.1	0.8	6.5	dr.	2.6
augustus	0.6	3.7	dr.	0.4	dr.	dr.	0.3	0.05	2.3	0.1	4.2	13.4	5.7	0.1	dr.	7.3	dr.	dr.
september	0.6	3.8	6.0	8.3	2.6	4.9	0.2	0.05	1.7	0.1	3.0	12.7	3.8	0.2	0.6	4.9	dr.	dr.
oktober	0.5	1.4	5.8	8.0	2.7	4.7	0.2	0.05	1.6	0.06	1.9	12.3	2.7	0.09	0.6	5.0	dr.	dr.
november	0.2	0.6	1.9	1.7	1.1	2.0	0.09	0.04	0.4	0.1	0.4	3.5	2.5	0.1	0.4	3.9	dr.	1.0
december	0.2	0.4	2.4	0.7	0.6	0.5	0.1	0.05	0.8	0.06	0.9	1.6	1.5	0.2	0.4	0.6	0.5	1.2

Opmerkingen: monsternamen omstreeks 28e van elke maand.

dr. = sloot droog.

- = geen waarneming